



ใบรับรองวิทยานิพนธ์  
บัณฑิตวิทยาลัย มหาวิทยาลัยเกษตรศาสตร์

วิศวกรรมศาสตรมหาบัณฑิต (วิศวกรรมเครื่องกล)  
ปริญญา

วิศวกรรมเครื่องกล

สาขาวิชา

วิศวกรรมเครื่องกล

ภาควิชา

เรื่อง การศึกษาการไหลของของไหหลังที่ไหหล่อผ่านอุปกรณ์แลกเปลี่ยนความร้อน  
แบบท่อเกลียวโดยวิธีพลศาสตร์ของไหเชิงคำนวณ

A Study of Fluid Flow in Spirally Corrugated Tube Heat Exchanger  
by Computational Fluid Dynamics Method

นามผู้วิจัย นายภูมิ ชาตุนิตานันท์

ได้พิจารณาเห็นชอบโดย

อาจารย์ที่ปรึกษาวิทยานิพนธ์หลัก

( อาจารย์อภิชาต แจ้งบำรุง, Ph.D. )

หัวหน้าภาควิชา

( รองศาสตราจารย์ชวัลิต กิตติชัยการ, Ph.D. )

บัณฑิตวิทยาลัย มหาวิทยาลัยเกษตรศาสตร์รับรองแล้ว

( รองศาสตราจารย์กัญจนा ธีระกุล, D.Agr. )

คณบดีบัณฑิตวิทยาลัย

วันที่ ..... เดือน ..... พ.ศ. ....

วิทยานิพนธ์

เรื่อง

การศึกษาการไหลของของไหลที่ไหลผ่านอุปกรณ์แลกเปลี่ยนความร้อนแบบห่อเกลียว  
โดยวิธีพลศาสตร์ของไหลเชิงคำนวณ

A Study of Fluid Flow in Spirally Corrugated Tube Heat Exchanger  
by Computational Fluid Dynamics Method

โดย

นายภูมิ ชาตุนิตานันท์

เสนอ

บัณฑิตวิทยาลัย มหาวิทยาลัยเกษตรศาสตร์  
เพื่อความสมบูรณ์แห่งปริญญาวิศวกรรมศาสตร์มหาบัณฑิต (วิศวกรรมเครื่องกล)  
พ.ศ. ๒๕๕๓

สิงหนาท มหาวิทยาลัยเกษตรศาสตร์

กฎมิ จดุนิตานนท์ 2553: การศึกษาการไหลของของไอลที่ไหลผ่านอุปกรณ์แลกเปลี่ยนความร้อนแบบท่อเกลียว โดยวิธีพลศาสตร์ของไอลเชิงคำนวน ปริญญาวิศวกรรมศาสตร์มหาบัณฑิต (วิศวกรรมเครื่องกล) สาขาวิศวกรรมเครื่องกล ภาควิชาชีวกรรมเครื่องกล อาจารย์ที่ปรึกษาวิทยานิพนธ์หลัก: อาจารย์อภิชาต แจ้งบำรุง, Ph.D. 159 หน้า

งานวิจัยนี้เป็นการศึกษาถึงการเพิ่มประสิทธิภาพของการถ่ายเทความร้อนของเครื่องแลกเปลี่ยนความร้อนแบบไอลสวนทาง (Counter Flow Heat Exchanger) โดยการคำนวนทางพลศาสตร์ของไอลเชิงตัวเลข (CFD) การเพิ่มประสิทธิภาพของการถ่ายเทความร้อนของเครื่องแลกเปลี่ยนความร้อนในงานวิจัยนี้ทำโดยการเพิ่มร่องเกลียวให้กับท่อของเครื่องแลกเปลี่ยนความร้อนซึ่งจะเป็นการเพิ่มพื้นที่ในการถ่ายเทความร้อนและการเพิ่มการไหลแบบปั่นป่วนของของไอลที่ใช้เป็นสารทำงาน

ในงานวิจัยนี้ทำการศึกษาการไหลในเครื่องแลกเปลี่ยนความร้อนแบบท่อเรียบແล้าวท่อเกลียว โดยวิธีพลศาสตร์ของไอลเชิงคำนวน ในการวิเคราะห์หาผลเฉลยของคำตوبโดยผ่านทางคอมพิวเตอร์ โดยทำการเปรียบเทียบผลที่ได้จากโปรแกรมกับทฤษฎีสำหรับการไหลในเครื่องแลกเปลี่ยนความร้อนแบบท่อเรียบและทำการศึกษาผลของค่า **Reynolds number**,  $(e/d)$ ,  $(p/d)$  และ  $(Pr)$  ต่อค่า **friction factor** และค่า **Nusselt number** ในเครื่องแลกเปลี่ยนความร้อนแบบท่อเกลียวตลอดจนนำผลที่ได้มาสร้างสมการที่ใช้ประมาณค่า **friction factor** และ **Nusselt number** และนำสมการที่ได้มาเปรียบเทียบกับผลจากการทดลองเพื่อหาความคลาดเคลื่อนของสมการ

จากผลพบว่าวิธีพลศาสตร์ของไอลเชิงคำนวนสามารถประมาณค่า **friction factor** และ **Nusselt number** ได้ใกล้เคียงกับผลของทางทฤษฎีของท่อเรียบ โดยมีความคลาดเคลื่อนสูงสุดอยู่ 15 % สมการ  $\tilde{f} = 2.025(e/d)^{0.1232} (p/d)^{-0.372} (Re)^{-0.2967}$  สามารถประมาณค่า **friction factor** ที่เกิดขึ้นในท่อเกลียวได้ใกล้เคียงกับผลการทดลอง โดยมีความคลาดเคลื่อนสูงสุดอยู่ที่ 15 % และสามารถประมาณค่า  $\tilde{Nu} = 0.9362(e/d)^{0.0627} (p/d)^{-0.1218} (Re)^{0.6751} (Pr)^{-0.4794}$  สามารถประมาณค่า **Nusselt number** ที่เกิดขึ้นในท่อเกลียวได้ใกล้เคียงกับผลการทดลอง โดยมีความคลาดเคลื่อนสูงสุดอยู่ประมาณ 15 % เช่นกัน

Poom Jatunitanon 2010: A Study of Fluid Flow in Spirally Corrugated Tube Heat Exchanger by Computational Fluid Dynamics Method. Master of Engineering (Mechanical Engineering), Major Field: Mechanical Engineering, Department of Mechanical Engineering. Thesis Advisor: Mr. Apichart Chaengbamrung, Ph.D. 159 pages.

The paper presents the results to increase the performance of double-pipe counter flow heat exchanger by computational fluid dynamics method (CFD). The performance can be increase by adds the spirally corrugated in the tube of working fluid. The results obtained from the heat exchanger with spirally corrugated in tubes are compared with those without spirally corrugated in tubes. It is found that the spirally corrugated have a significant effect on the heat transfer and pressure drop augmentations.

The results of smooth tube heat exchanger by computational fluid dynamics method (CFD) are to be compare with Theory of smooth pipe. And study the effect Reynolds number,  $(e/d)$  .  $(p/d)$ , $(Pr)$  for fluid flow in spirally corrugated heat exchanger. As a result the effect of spirally corrugated tube can be set in The equation of friction factor and Nusselt number to compare with experiment.

The results show computational fluid dynamics method (CFD) can be estimate the friction factor and Nusselt number for Theory of smooth tube heat exchanger with the maximum error is 15 % error and the equation  $\tilde{f} = 2.025(e/d)^{0.1232} (p/d)^{-0.372} (Re)^{-0.2967}$  from CFD method can be estimate the friction factor for spirally corrugated tube heat exchanger and The equation  $\tilde{Nu} = 0.9362(e/d)^{0.0627} (p/d)^{-0.1218} (Re)^{0.6751} (Pr)^{-0.4794}$  can be estimate the Nuseelt number for spirally corrugated tube heat exchanger with the maximum error is 15 %.

---

Student's signature

---

Thesis Advisor's signature

/ /

## กิตติกรรมประกาศ

ข้าพเจ้าขอกราบขอบพระคุณ อาจารย์ ดร.อภิชาต แจ้งบำรุง ประธานกรรมการที่ปรึกษา  
สำหรับการแนะนำสู่สาขาวิชาการเทอร์โม-ไฮโล ให้คำปรึกษาทั้งด้านทฤษฎีและการใช้โปรแกรม  
ด้านของไฮโลในรูปแบบต่างๆ ช่วยเหลือในการวางแผนงานวิจัยในวิทยานิพนธ์ฉบับนี้ ตลอดจน  
การตรวจสอบแก้ไขข้อบกพร่องต่างๆ มาโดยตลอด

ขอขอบคุณมหาวิทยาลัยเกษตรศาสตร์ที่เอื้อเฟื้อสถานที่และอุปกรณ์การทำวิจัย รวมทั้ง  
ทุนวิจัย รวมถึงงานสัมมนา และขอขอบคุณนักเรียนทุกท่านที่มอบความรู้อันมีค่าบนหนังสือ  
บทความวิชาการทั้งในวารสารวิชาการและงานประชุมวิชาการ

ท้ายสุดนี้ ข้าพเจ้าขอกล่าวคำว่าขอบพระคุณแด่ คุณพ่อ คุณแม่ พี่ๆ และน้องๆ ทุกคน  
ที่เคยให้ความช่วยเหลือให้กำลังใจ ชี้แนะและสนับสนุนการทำวิทยานิพนธ์จนสำเร็จลุล่วงได้ด้วยดี

ภูมิ ชาตุนิตานนท์  
มีนาคม 2553

## สารบัญ

	หน้า
สารบัญ	(1)
สารบัญตาราง	(2)
สารบัญภาพ	(4)
คำอธิบายสัญลักษณ์และคำย่อ	(10)
คำนำ	1
วัตถุประสงค์	3
การตรวจสอบสาร	4
อุปกรณ์และวิธีการ	68
อุปกรณ์	68
วิธีการ	68
ผลและวิจารณ์	76
สรุปผลการทดลองและข้อเสนอแนะ	103
สรุปผลการทดลอง	103
ข้อเสนอแนะ	108
เอกสารและสิ่งอ้างอิง	109
ภาคผนวก	112
ภาคผนวก ก การออกแบบเครื่องแยกเปลี่ยนความร้อนแบบเกลียว ด้วยโปรแกรม Solid Work	113
ภาคผนวก ข การกำหนดเงื่อนไขของปั๊มห้าโดยโปรแกรม GAMBIT	122
ภาคผนวก ค วิธีการแก้ปั๊มห้าด้วยโปรแกรม Fluent	134
ภาคผนวก ง ความคลาดเคลื่อนของโปรแกรมและความคลาดเคลื่อนของ สมการที่ใช้ประมาณการ ไอลайнเครื่องแยกเปลี่ยนความร้อน แบบท่อเกลียว	150
ประวัติการศึกษาและการทำงาน	159

## สารบัญตาราง

ตารางที่	หน้า
1 ความรุขระสมมูลของผิวท่อที่ทำจากวัสดุต่าง ๆ	29
2 ค่าแฟกเตอร์ของตะกรัน	37
ตารางผนวกที่	
ง1 แสดงค่า <b>Friction Factor</b> ของเครื่องแยกเปลี่ยนความร้อนแบบท่อเรียบ ที่คำนวณทางพลศาสตร์ของไอลเซิงตัวเลขและจากทฤษฎีของ Colebrook	151
ง2 แสดงค่า <b>Friction Factor</b> ของเครื่องแยกเปลี่ยนความร้อนแบบท่อเกลียว ที่คำนวณทางพลศาสตร์ของไอลเซิงตัวเลข และ สมการของ <b>Friction Factor</b> ที่ได้จากการทดลองของการไอลในท่อเกลียว	152
ง3 แสดงค่า <b>Friction Factor</b> ของท่อเกลียวเบริญเบี้ยนกับท่อเรียบและ % การเพิ่มขึ้นของ <b>Friction Factor</b>	153
ง4 แสดงค่า <b>Nusselt number</b> ของท่อเกลียวและ % การเพิ่มขึ้นของ <b>Nusselt number</b>	153
ง5 ความคลาดเคลื่อนจากสมการที่ใช้ประมาณค่า <b>friction factor</b> กับ ค่า <b>friction factor</b> ที่ได้จากวิธีพลศาสตร์ของไอลเซิงคำนวณ ในการนี้มีการเปลี่ยนแปลงค่า <b>Reynolds number</b>	154
ง6 ความคลาดเคลื่อนจากสมการที่ใช้ประมาณค่า <b>friction factor</b> กับ ค่า <b>friction factor</b> ที่ได้จากวิธีพลศาสตร์ของไอลเซิงคำนวณ ในการนี้มีการเปลี่ยนแปลงค่า $(e/d)$	154
ง7 ความคลาดเคลื่อนจากสมการที่ใช้ประมาณค่า <b>friction factor</b> กับ ค่า <b>friction factor</b> ที่ได้จากวิธีพลศาสตร์ของไอลเซิงคำนวณ ในการนี้มีการเปลี่ยนแปลงค่า $(p/d)$	155
ง8 ความคลาดเคลื่อนจากสมการที่ใช้ประมาณค่า <b>Nusselt number</b> กับ ค่า <b>Nusselt number</b> ที่ได้จากวิธีพลศาสตร์ของไอลเซิงคำนวณ ในการนี้มีการเปลี่ยนแปลงค่า <b>Reynolds number</b>	155

### สารบัญตาราง (ต่อ)

ตารางที่	หน้า
๙ ความคลาดเคลื่อนจากสมการที่ใช้ประมาณค่า Nusselt number กับค่า Nusselt number ที่ได้จากการวิธีพลศาสตร์ของไอลเชิงคำนวณในกรณีมีการเปลี่ยนแปลงค่า ( $e/d$ )	156
๑๐ ความคลาดเคลื่อนจากสมการที่ใช้ประมาณค่า Nusselt number กับค่า Nusselt number ที่ได้จากการวิธีพลศาสตร์ของไอลเชิงคำนวณในกรณีมีการเปลี่ยนแปลงค่า ( $p/d$ )	156
๑๑ ความคลาดเคลื่อนจากสมการที่ใช้ประมาณค่า Nusselt number กับค่า Nusselt number ที่ได้จากการวิธีพลศาสตร์ของไอลเชิงคำนวณในกรณีมีการเปลี่ยนแปลงค่า ( $\Pr$ )	157
๑๒ ความคลาดเคลื่อนของสมการประมาณค่า friction factor กับผลการทดลองของ (Dong <i>et al.</i> , 2001)	157
๑๓ ความคลาดเคลื่อนของสมการประมาณค่า Nusselt number กับผลการทดลองของ (Dong <i>et al.</i> , 2001)	158

## สารบัญภาพ

ภาพที่	หน้า
1 การกระจายความเร็วและอุณหภูมิของของไหหลนจะเกิดการพา ความร้อนบริเวณไกลีพิว่าให้ความร้อน	7
2 การแพร่รังสีแลกเปลี่ยนกันระหว่างพื้นผิวน้ำที่กับสิ่งแวดล้อมโดยรอบ	9
3 ชั้นขอบเขตของความเร็ว	11
4 ชั้นขอบเขตความร้อน	13
5 การพัฒนาการของความเร็วของของไหหลนในการไหหลนท่อ	18
6 การไหหลนแบบราบเรียบของของไหหลนท่อกรณีที่ผิวท่ออุดกให้ความร้อนคงที่	21
7 ปริมาตรควบคุมของก้อนของไหหลน	22
8 การไหหลนแบบราบเรียบของของไหหลนท่อกรณีที่ผิวท่อมีอุณหภูมิคงที่	24
9 แผนภาพมูด์ใช้หาตัวประกอบความเสียดทาน	30
10 อุปกรณ์แลกเปลี่ยนความร้อนชนิดท่อคู่	31
11 การไหหลนแบบขนานในอุปกรณ์แลกเปลี่ยนความร้อนชนิดท่อคู่	32
12 การไหหลนแบบสวนทางในอุปกรณ์แลกเปลี่ยนความร้อนชนิดท่อคู่	32
13 อุปกรณ์แลกเปลี่ยนความร้อนชนิดเปลือกและท่อ	33
14 อุปกรณ์แลกเปลี่ยนความร้อนแบบไหหลนขาม	33
15 ภาพหน้าตัดของอุปกรณ์แลกเปลี่ยนความร้อนชนิดท่อคู่	35
16 ความสัมพันธ์ระหว่างอุณหภูมิของของไหหลนกับระบบทางการไหหลนในอุปกรณ์แลกเปลี่ยนความร้อนชนิดท่อคู่โดยการไหหลนของไหหลนเป็นการไหหลนแบบขนาน	38
17 ความสัมพันธ์ระหว่างอุณหภูมิของของไหหลนกับระบบทางการไหหลนในอุปกรณ์แลกเปลี่ยนความร้อนชนิดท่อคู่โดยการไหหลนของไหหลนเป็นการไหหลนแบบไหหลนสวนทาง	39
18 กริดแบบมีโครงสร้าง (Structured Grid)	44
19 กริดแบบไม่มีโครงสร้าง (Unstructured Grid)	44
20 ปริมาตรควบคุม 3 มิติ	59
21 การประมาณค่าแบบระเบียบวิธีผลต่างต้นลมอันดับหนึ่ง	62

## สารบัญภาพ (ต่อ)

ภาพที่	หน้า
22 การประมาณค่าแบบเบี้ยนวิธีผลต่างต้นลมอันดับสอง	63
23 การประมาณค่าแบบเบี้ยนวิธีผลต่างแบบกวิก	64
24 เครื่องแลกเปลี่ยนความร้อนแบบท่อเรียน	69
25 เครื่องแลกเปลี่ยนความร้อนแบบท่อเกลียว	71
26 ผลการเปรียบเทียบค่า <b>friction factor</b> จากโปรแกรมกับทางทฤษฎี	76
27 ผลการเปรียบเทียบค่า <b>Nusselt number</b> จากโปรแกรมกับทางทฤษฎี	77
28 ผลการเปรียบเทียบผลของ <b>friction factor</b> ของท่อเกลียวกับผลของท่อเรียนจากวิธีผลศาสตร์ของไอลเชิงคำนวณ	78
29 ผลการเปรียบเทียบผลของ <b>Nusselt number</b> ของท่อเกลียวกับผลของท่อเรียนจากวิธีผลศาสตร์ของไอลเชิงคำนวณ	79
30 ผลของ <b>friction factor</b> ต่อค่า <b>Reynolds number</b> ของท่อเกลียว	80
31 ผลของ <b>Nusselt number</b> ต่อค่า <b>Reynolds number</b> ของท่อเกลียว	81
32 ผลของ <b>friction factor</b> ต่อค่า $(e/d)$ ของท่อเกลียว	82
33 ผลของ <b>Nusselt number</b> ต่อค่า $(e/d)$ ของท่อเกลียว	83
34 ผลของ <b>friction factor</b> ต่อค่า $(p/d)$ ของท่อเกลียว	84
35 ผลของ <b>Nusselt number</b> ต่อค่า $(p/d)$ ของท่อเกลียว	85
36 ผลของ <b>Nusselt number</b> ต่อค่า $(Pr)$ ของท่อเกลียว	86
37 ความคลาดเคลื่อนของสมการประมาณค่า <b>friction factor</b> กับผลของค่า <b>friction factor</b> จากวิธีผลศาสตร์ของไอลเชิงคำนวณในกรณีเปลี่ยนแปลงค่า <b>Reynolds number</b>	94
38 ความคลาดเคลื่อนของสมการประมาณค่า <b>Nusselt number</b> กับผลของค่า <b>Nusselt number</b> จากวิธีผลศาสตร์ของไอลเชิงคำนวณในกรณีเปลี่ยนแปลงค่า <b>Reynolds number</b>	95
39 ความคลาดเคลื่อนของสมการประมาณค่า <b>friction factor</b> กับผลของค่า <b>friction factor</b> จากวิธีผลศาสตร์ของไอลเชิงคำนวณในกรณีเปลี่ยนแปลงค่า $(e/d)$	96

## สารบัญภาพ (ต่อ)

ภาคที่	หน้า
40 ความคลาดเคลื่อนของสมการประมาณค่า <b>Nusselt number</b> กับ ผลของค่า <b>Nusselt number</b> จากวิธีพลศาสตร์ของไอลเชิงคำนวณ ในการณีเปลี่ยนแปลงค่า ( $e/d$ )	97
41 ความคลาดเคลื่อนของสมการประมาณค่า <b>friction factor</b> กับ ผลของค่า <b>friction factor</b> จากวิธีพลศาสตร์ของไอลเชิงคำนวณ ในการณีเปลี่ยนแปลงค่า ( $p/d$ )	98
42 ความคลาดเคลื่อนของสมการประมาณค่า <b>Nusselt number</b> กับ ผลของค่า <b>Nusselt number</b> จากวิธีพลศาสตร์ของไอลเชิงคำนวณ ในการณีเปลี่ยนแปลงค่า ( $p/d$ )	99
43 ความคลาดเคลื่อนของสมการประมาณค่า <b>Nusselt number</b> กับ ผลของค่า <b>Nusselt number</b> จากวิธีพลศาสตร์ของไอลเชิงคำนวณ ในการณีเปลี่ยนแปลงค่า ( $\Pr$ )	100
44 ความคลาดเคลื่อนของสมการประมาณค่า <b>friction factor</b> กับ ผลการทดลองของ (Dong <i>et al.</i> , 2001)	101
45 ความคลาดเคลื่อนของสมการประมาณค่า <b>friction factor</b> กับ ผลการทดลองของ (Dong <i>et al.</i> , 2001)	101

## ภาคผนวกที่

ก1 การเลือกจากรับภาพ	114
ก2 การสร้างวงกลมช้อนกัน 2 วง	115
ก3 การให้ขนาดของวงกลม	115
ก4 การขีนรูปท่อจากภาพวงกลม	116
ก5 ห่อที่ขีนรูปเสร็จสมบูรณ์แล้ว	116
ก6 เครื่องแยกเปลี่ยนความร้อนแบบท่อเรียบ	117
ก7 การสร้างวงกลมของเครื่องแยกเปลี่ยนความร้อนแบบห่อเกลียว	117

## สารบัญภาพ (ต่อ)

ภาพนวนครที่	หน้า
ก8 การสร้างเกลี่ยว	118
ก9 การกำหนดขนาดของร่องเกลี่ยว	118
ก10 การสร้างวงกลมที่จุดเริ่มต้นของเกลี่ยว	119
ก11 การขีนรูปเกลี่ยว	119
ก12 การเลือกพื้นที่เช่าร่องเกลี่ยว	120
ก13 การเช่าร่องเกลี่ยว	120
ก14 เครื่องแลอกเปลี่ยนความร้อนแบบท่อเกลี่ยว	121
ข1 การ Import file .STEP ในโปรแกรม GAMBIT	123
ข2 เครื่องแลอกเปลี่ยนความร้อนในโปรแกรม GAMBIT	124
ข3 การสร้างพื้นที่หน้าตัด f1 จาก edge 18 และ edge 8	124
ข4 การสร้างพื้นที่หน้าตัด f2 จาก edge 17 และ edge 7	125
ข5 การสร้างปริมาตรจากพื้นที่หน้าตัด f1 และ f2	125
ข6 การลบปริมาตรของห้องออก	126
ข7 การแยกปริมาตรออกจากกัน	126
ข8 ปริมาตรที่ถูกแยกออกจากกันแล้ว	127
ข9 การเลือกทางเข้าของสารทำงาน	127
ข10 การเลือกทางออกของสารทำงาน	128
ข11 การเลือกทางเข้าของสารที่ใช้ถ่ายเทความร้อนให้แก่สารทำงาน	128
ข12 การเลือกทางออกของสารที่ใช้ถ่ายเทความร้อนให้แก่สารทำงาน	129
ข13 การสร้างขอบเขตของท่อภายใน	129
ข14 การสร้างขอบเขตของท่อภายนอก	130
ข15 การกำหนดปริมาตรของของไอลที่มีอุณหภูมิต่ำ	130
ข16 การกำหนดปริมาตรของของไอลที่มีอุณหภูมิสูง	131
ข17 การกำหนดปริมาตรของของแข็ง	131
ข18 การกำหนดปริมาตรของของไอลอุณหภูมิต่ำที่ต้องการทำ Mesh	132
ข19 การกำหนดปริมาตรของของไอลอุณหภูมิสูงที่ต้องการทำ Mesh	132

## สารบัญภาพ (ต่อ)

ภาพนวนครที่	หน้า
ข20 การสร้างไฟล์ .msh จากปัญหา	133
ค1 การเลือกรูปแบบ 3d	135
ค2 การเปิดไฟล์ของปัญหา	136
ค3 การเลือกไฟล์สกุล .msh	136
ค4 การเปลี่ยนหน่วย	137
ค5 การเลือกรูปแบบการ ไหลด	137
ค6 การเลือกรูปแบบการ ไหลดเป็นแบบ Steady	138
ค7 การเลือกใช้สมการพลังงาน	138
ค8 การเลือกแบบจำลองของการ ไหลด	139
ค9 การเลือกแบบจำลองการ ไหลดแบบปั่นป่วน $k - \varepsilon$	139
ค10 การเลือกแบบวัสดุ	140
ค11 การเลือกชนิดของของ ไหลดเป็น engine - oil	140
ค12 การเลือกชนิดของของ ไหลดเป็นน้ำ	141
ค13 การเลือกชนิดของของแข็งเป็นทองแดง	141
ค14 การกำหนดปัญหาบนเขต	142
ค15 การกำหนดอุณหภูมิและความเร็วของของ ไหโลุณหภูมิต่ำ	142
ค16 การกำหนดชนิดของของ ไหโลุณหภูมิต่ำ	143
ค17 การกำหนดชนิดของของ ไหโลุณหภูมิสูง	143
ค18 การกำหนดอุณหภูมิและความเร็วของของ ไหโลุณหภูมิสูง	144
ค19 การกำหนดชนิดของของแข็งบริเวณท่อด้านในเป็นทองแดง	144
ค20 การกำหนดชนิดของของแข็งบริเวณท่อด้านนอกเป็นทองแดง	145
ค21 การแก้ปัญหาด้วยระเบียบวิธีเชิงตัวเลขแบบทำซ้ำ	145
ค22 การกำหนดค่า Under-Relaxation ของปัญหา	146
ค23 การเริ่มต้นการแก้ปัญหา	146
ค24 การเริ่มต้นการแก้ปัญหาจากทุกส่วน	147

## สารบัญภาพ (ต่อ)

ภาพนونวกที่	หน้า
ค25 การกำหนดค่าแม่เหลือ	147
ค26 การกำหนดค่า Convergence Criterion	148
ค27 การกำหนดจำนวนรอบการทำซ้ำของระบบเบี้ยบวิธีเชิงตัวเลข	148
ค28 การลู่เข้าของปัญหา	149

## คำอธิบายสัญลักษณ์และอักษรย่อ

### คำอธิบายสัญลักษณ์

$\dot{Q}_x$	= การถ่ายเทความร้อนผ่านตัวกลางชนิดของแข็ง ( $W$ )
$k$	= ค่าสภาพการนำความร้อน ( $W / m \cdot K$ )
$A$	= พื้นที่ของการถ่ายเทความร้อน ( $m^2$ )
$q''_x$	= ฟลักซ์ความร้อนผ่านตัวกลาง ( $W / m^2$ )
$h$	= ค่าสัมประสิทธิ์การพาความร้อน ( $W / m^2 \cdot K$ )
$T_s$	= อุณหภูมิของพื้นผิว ( $K$ )
$T_\infty$	= อุณหภูมิของ无穷 ใกล้ ( $K$ )
$u_\infty$	= ความเร็วของ无穷 ใกล้ ( $m / s$ )
$h_m$	= ค่าสัมประสิทธิ์การพาความร้อนเฉลี่ย ( $W / m^2 \cdot K$ )
$q''_{rad}$	= ฟลักซ์ของการแผ่รังสีความร้อน ( $W / m^2$ )
$\sigma$	= ค่าคงที่ของชเดฟาน- โบลต์ซมันน์ ( $W / m^2 \cdot K^4$ )
$\varepsilon$	= สภาพการเปล่งรังสีของวัตถุ
$T_{sur}$	= อุณหภูมิสิ่งแวดล้อม ( $K$ )
$\rho$	= ความหนาแน่น ( $kg / m^3$ )
$C_p$	= ค่าความจุความร้อนจำเพาะ ( $J / kg \cdot K$ )
$\tau$	= ความเค้นเฉือนบริเวณพื้นผิว ( $N / m^2$ )
$\delta$	= ความหนาของชั้นความเร็วของ无穷 ใกล้ ( $m$ )
$x$	= ระยะทางของแนวการ ใกล้ ( $m$ )
$x_c$	= ระยะทางของแนวการ ใกล้ วิกฤต ( $m$ )
$T_w$	= อุณหภูมิของแผ่นพื้นผิว ( $K$ )
$\delta_t$	= ความหนาของชั้นผิวความร้อน ( $m$ )
$D_h$	= เส้นผ่านศูนย์กลางเส้นเมือง ( $m$ )
$Z_e$	= ความยาวช่วงความเร็วที่ปากทางเข้า ( $m$ )
$Z_t$	= ความยาวช่วงความร้อนที่ปากทางเข้า ( $m$ )
$h_z$	= สัมประสิทธิ์การพาความร้อนเฉพาะที่ ( $W / m^2 \cdot K$ )
$T_b$	= อุณหภูมิของก้อนของ ใกล้ ( $K$ )

## คำอธิบายสัญลักษณ์และอักษรย่อ (ต่อ)

$T_{bo}$	= อุณหภูมิของก้อนของไอลที่มีอยู่ในปริมาตรควบคุม ( $K$ )
$T_{bi}$	= อุณหภูมิของก้อนของไอลที่ไอลเข้าปริมาตรควบคุม ( $K$ )
$\mu_w$	= ค่าความหนืดของของไอลที่อุณหภูมิของไอล ( $kg/m \cdot s$ )
$\Delta P$	= ค่าความดันตกคร่อม ( $N/m^2$ )
$v_{avg}$	= ความเร็วเฉลี่ยของของไอลที่ไอลในท่อ ( $m/s$ )
$L$	= ความยาวของท่อหน้าตัดรูปวงกลม ( $m$ )
$D$	= เส้นผ่านศูนย์กลางท่อ ( $m$ )
$f$	= ค่าสัมประสิทธิ์ความเสียดทาน
$R_k$	= ค่าความต้านทานการนำความร้อน ( $W/m^2 \cdot K$ )
$R_{c-2}$	= ค่าความต้านทานการพาความร้อน ( $W/m^2 \cdot K$ )
$U_i$	= ค่าสัมประสิทธิ์การถ่ายเทความร้อนรวมที่ผิวค้างใน ( $W/m^2 \cdot K$ )
$U_o$	= ค่าสัมประสิทธิ์การถ่ายเทความร้อนที่ผิวค้างนอก ( $W/m^2 \cdot K$ )
$R_d$	= แฟกเตอร์ของตะกรัน
$U_{clean}$	= ค่าสัมประสิทธิ์การถ่ายเทความร้อนรวมสำหรับพื้นผิวที่สะอาด ปราศจากตะกรัน ( $W/m^2 \cdot K$ )
$R_{di}$	= แฟกเตอร์ของตะกรันที่ผิวค้างในของชั้นใน ( $m^2 \cdot K/W$ )
$R_{do}$	= แฟกเตอร์ของตะกรันที่ผิวค้างนอกของห่อชั้นใน ( $m^2 \cdot K/W$ )
$\dot{m}_c$	= อัตราการไอลของของไอลเย็น ( $kg/s$ )
$\dot{m}_h$	= อัตราการไอลของของไอลร้อน ( $kg/s$ )
$T_{c,out}$	= อุณหภูมิของไอลเย็นทางออก ( $K$ )
$T_{c,in}$	= อุณหภูมิของไอลเย็นทางเข้า ( $K$ )
$T_{h,out}$	= อุณหภูมิของไอลร้อนทางออก ( $K$ )
$T_{h,in}$	= อุณหภูมิของไอลร้อนทางเข้า ( $K$ )
$\mu_t$	= ค่าความหนืดหมุนวน ( $kg/m \cdot s$ )
$\phi_{old}$	= ค่าของตัวแปรจากการคำนวณในรอบก่อนหน้านี้
$\phi$	= ค่าของตัวแปรจากการคำนวณในรอบปัจจุบัน
$\phi_{max}$	= ค่าของตัวแปรจากการคำนวณที่มากที่สุดในรอบปัจจุบัน
$\bar{u}$	= เวกเตอร์ความเร็ว ( $m/s$ )

## คำอธิบายสัญลักษณ์และอักษรย่อ (ต่อ)

### อักษรย่อ

Re	=	Reynolds number
Pr	=	Prandtl number
Nu	=	Nusselt number
LMTD	=	Log Mean Temperature Difference
CFD	=	Computational Fluid Dynamics
PDE	=	Partial Differential Equations
TDMA	=	Tri-Diagonal Matrix Algorithm

**การศึกษาการไหลของของไอลที่ไอลผ่านอุปกรณ์แลกเปลี่ยนความร้อน  
แบบท่อเกลียวโดยวิธีพลศาสตร์ของไอลเชิงคำนวณ**

**A Study of Fluid Flow in Spirally Corrugated Tube Heat Exchanger  
by Computational Fluid Dynamics Method**

**คำนำ**

ในปัจจุบันเครื่องแลกเปลี่ยนความร้อนมีความสำคัญทั้ง ในชีวิตประจำวันและในภาคของ อุตสาหกรรม ดังนั้นการใช้ประโยชน์จากเครื่องแลกเปลี่ยนความร้อนจะต้องคำนึงถึงประสิทธิภาพ, การส่งถ่ายความร้อน, ขนาด ตลอดจนรูปแบบการใช้งานที่ถูกต้องและเหมาะสม ดังนั้น การศึกษา ในเชิงลึกของการส่งถ่ายความร้อนของเครื่องแลกเปลี่ยนความร้อนจึงมีความจำเป็นอย่างมากที่จะ ทำให้บรรลุถึงหลักการใช้งาน ซึ่ง โดยปกติในเครื่องแลกเปลี่ยนความร้อนอย่างจะประกอบด้วย ของไอลที่ทำหน้าที่แลกเปลี่ยนความร้อนโดยของไอลนี้จะถูกทำให้เกิดการ ไอลทึ่งแบบธรรมชาติ แล้วแบบบังคับ ซึ่งในเครื่องแลกเปลี่ยนความร้อนที่ใช้กันอย่างแพร่หลายจะมีลักษณะ โดยให้ของ ไอลไอลในท่อซึ่งนำความร้อน โดยความร้อนจะถูกส่งเข้าสู่หรือออกจากของไอลผ่านผิวท่อและ ถูกส่งต่อไปยังส่วนที่นำความร้อนไปใช้งานหรือส่วนที่ต้องการนำความร้อนออกไป

ท่อโดยทั่วไปที่ใช้ในเครื่องแลกเปลี่ยนความร้อนจะเป็นผิวท่อเรียบซึ่งอาจทำจาก ทองแดง, อะลูมิเนียม หรือโลหะอื่นๆ แต่ในปัจจุบันความต้องการเครื่องแลกเปลี่ยนความร้อนที่มีขนาดเล็ก แต่มีความสามารถในการแลกเปลี่ยนความร้อนสูง ทำให้รูปแบบการพัฒนาเครื่องแลกเปลี่ยน ความร้อนมีการพัฒนาเพื่อตอบสนองความต้องการนั้น ซึ่งรูปแบบการพัฒนาเครื่องแลกเปลี่ยน ความร้อนมีด้วยกันสองแนวทาง ได้แก่ หนึ่งการเพิ่มการ ไอลแบบบันบวนที่ผิวของของไอลกับ ผิวโลหะ ซึ่งวิธีนี้จะทำการเพิ่มลักษณะผิวท่อ เช่นเพิ่มความขรุขระ, เพิ่มการ ไอลวนจากท่อเกลียว เป็นต้น และอีกแนวทางหนึ่ง คือ เพิ่มการ ไอลหมุนวนของของไอลอันได้แก่ การใส่แผ่นบังคับ การ ไอลแบบหมุนวน (*twisted tape*)

ในปัจจุบันการเพิ่มการ ไหลดแบบปั่นปวนที่ผิวของของ ไหลดกับผิวโลหะ โดยการเพิ่มร่องเกลียวลงไปในท่อเรียบแบบธรรมดานี้เป็นวิธีที่ได้นำมาใช้จริงแล้วในการผลิตเครื่องแลอกเปลี่ยนความร้อนโดยมีจากการวิจัยที่นักทดลองได้ศึกษามาแล้ว ซึ่งจากการทดลองพบว่า ความกว้างของร่องเกลียว ความลึกของร่องเกลียวและระยะพิทซ์มีผลต่อความสามารถในการถ่ายเทความร้อนของเครื่อง แลอกเปลี่ยนความร้อน แต่ข้อจำกัดของข้อมูลจากการทดลองมีจำกัดอันเนื่องมาจากการไม่สามารถเปลี่ยนแปลงค่าความลึกของร่องเกลียว หรือค่าทางกายภาพอื่นๆ ได้มาก เพราะมีข้อจำกัด ดังนั้น การศึกษาผลการทดลองจะทางทางกายภาพของเกลียวต่อความสามารถในการถ่ายเทความร้อน โดยหลักพลศาสตร์ของของ ไหลดเชิงตัวเลขซึ่งมีความสำคัญที่จะเพิ่มศักยภาพในการศึกษาถึง การ ไหลดของของ ไหลดผ่านท่อเกลียว รวมถึงความสามารถขยายไปยังการ ไหลดผ่านท่อในรูปแบบอื่นๆ เช่น ท่อที่มีแผ่นเพิ่มการ ไหลดหมุนวน, ท่อหลายเกลียว ฯลฯ



## วัตถุประสงค์

1. เพื่อศึกษาพัฒนาระบบของท่อเกลียว ความดันต่ำคร่อมและการถ่ายเทความร้อนของท่อเกลียวในขนาดต่างๆ
2. เพื่อประยุกต์ใช้แบบจำลองการถ่ายเทความร้อนของท่อไอลโดยพลศาสตร์ของไอล เชิงคำนวณ (CFD) ในการจำลองการถ่ายเทความร้อนและการกระจายตัวของอุณหภูมิในท่อเกลียว
3. เพื่อทำการศึกษาเปรียบเทียบถึงผลกระบวนการของท่อเกลียว (**Spirally corrugated tube**) ต่อลักษณะทางกายภาพของท่อไอลในท่อเกลียว (**Spirally corrugated tube**) โดยเปรียบเทียบกับลักษณะทางกายภาพของการไอลในท่อเรียบธรรมชาติ
4. เพื่อทำการศึกษาถึงการเปลี่ยนแปลงค่าเรซ์โนลด์ส์น้ำเบอร์และลักษณะทางกายภาพของท่อเกลียวต่อความดันต่ำคร่อมและการถ่ายเทความร้อนของท่อเกลียว
5. เพื่อประเมินประสิทธิภาพการถ่ายเทความร้อนของท่อเกลียว (**Spirally corrugated tube**) เปรียบเทียบกับท่อแบบเรียบธรรมชาติ

## การตรวจเอกสาร

### ผลงานวิจัยที่เกี่ยวข้อง

การเพิ่มประสิทธิภาพในการถ่ายเทความร้อนของเครื่องแลกเปลี่ยนความร้อนวิธีการที่ง่ายที่สุด คือ อาศัยกฎข้อที่หนึ่งทางอุณหพลศาสตร์หรือใช้หลักการของ "Performance Evaluation Criteria" (PEC) ใน การเพิ่มประสิทธิภาพโดยอาศัยพื้นผิวที่ไม่เรียบของท่อที่นำมาใช้ในเครื่องแลกเปลี่ยนความร้อน นอกจากอาศัยกฎข้อที่หนึ่งทางอุณหพลศาสตร์แล้ว (Bejan, 1996) ได้อาศัยกฎข้อที่สองทางอุณหพลศาสตร์มาประยุกต์การเพิ่มประสิทธิภาพของการถ่ายเทความร้อนที่เรียกว่า "the entropy generation minimization (EGM)" หรือเรียกอีกชื่อหนึ่งว่า "thermodynamic optimization" ในขณะที่ (Zimparov, 2000) ทำการพัฒนาหลักการของ PEC ในการหาผลของการถ่ายเทความร้อนของท่อที่มีอุณหภูมิที่ผิวนอกที่

Zimparov (2000) ยังได้ศึกษาการเพิ่มประสิทธิภาพการถ่ายเทความร้อน โดยการลดขนาดความหนาของ Boundary layer โดยเพิ่มความลุ่มละ ให้กับผิว ผสมกับการเพิ่มการไหลวนของของไหหลอดโดยการใส่แผ่นเพิ่มการไหลหมุนวน (*twisted tape*) เข้าไปในท่อ เข้าพบว่าท่อเกลียวที่ใส่แผ่นเพิ่มการไหลหมุนวนสามารถเพิ่มประสิทธิภาพในการถ่ายเทความร้อนได้ถึง 30% เมื่อเทียบกับท่อเรียบและยังมากกว่าท่อเกลียวเดียวที่ใส่แผ่นเพิ่มการไหลหมุนวนที่เข้าได้ทำการศึกษาไว้ในกรณีทึ้งหมุดนิ้นเข้าทำการพิจารณาว่าผิวนอกของท่อที่มีอุณหภูมิกิงที่ในปี ค.ศ. 2002 (Zimparov, 2001) ได้ทำการศึกษาการเพิ่มการถ่ายเทความร้อนผ่านท่อเกลียวโดยที่ผนังของท่อมีการถ่ายเทความร้อนแบบฟลักก์ความร้อนคงที่จากการศึกษาพบว่า ค่า *rib-height-to-diameter (e/D)* ที่ทำให้การถ่ายเทความร้อนดีที่สุดอยู่ที่ 0.04

Dong et al. (2001) ได้ทำการทดลองเพื่อที่จะหาผลของการถ่ายเทความร้อนของท่อเกลียว 4 แบบ ที่ทำการเปลี่ยนค่าเรย์โนล์ดส์มูนเบอร์จาก 6000 ถึง 93000 โดยใช้น้ำเป็นของไห และ 3200 ถึง 19000 โดยใช้น้ำมัน ซึ่งพบว่าการเพิ่มของการถ่ายเทความร้อนนี้จะส่งผลให้เกิดการเพิ่มของ *friction factor* ด้วย

*Vicente et al. (2004)* ได้ทำการศึกษาการถ่ายเทความร้อนและคุณสมบัติของ friction ของ การไหหลินท่อเกลียวโดยเขาได้เสนอ severity index ( $\phi$ ) ในการวิเคราะห์ผลของร่องเกลียวต่อ การถ่ายเทความร้อน และนอกจากนั้นเขายังพบว่าในการเปลี่ยนค่าของ Prandtl number จะมีผลต่อ การเพิ่มความสามารถในการส่งถ่ายเทความร้อนโดยเขาเสนอว่า  $Nu \propto Pr^{0.44}$  โดยเขายังเสนออีกว่า ในกรณีการไหหลินที่มีค่าเรย์โนลด์นั้มเบอร์ต่ำ ( $Re < 10000$ ) ควรจะใช้ท่อเกลียวที่มีค่า severity index สูงๆ ( $\phi > 3 \times 10^3$ ) แต่ในกรณีที่การไหหลินมีค่าเรย์โนลด์นั้มเบอร์สูงๆ ( $Re = 10000-400000$ ) ควรเลือกใช้ท่อเกลียวที่มีค่า severity index ไม่สูงมากนัก ( $\phi > 1-2 \times 10^3$ )

จากการศึกษาที่ผ่านมาจะพบว่าซึ่งไม่มีการศึกษาโดยใช้หลักการของกลศาสตร์ของของไหหลึงตัวเดบมาใช้ในการศึกษาพฤติกรรมการไหหลินท่อเกลียวมาก่อนเลย ซึ่งอาจจะมีผล อันเนื่องมาจากการทำการสร้างแบบจำลองของท่อเกลียวซึ่งความลึกของท่อมีขนาดเล็กนั้น มีความจำเป็นที่จะต้องใช้การสร้างกริดที่มีขนาดเล็กเพียงพอที่จะสามารถบ่งบอกพฤติกรรมของ ของไหหล อย่างไรก็ตาม จึงการศึกษาเบื้องต้นพบของ (องคณา เบญจลากาชาด, 2549) ว่ามีความเป็นไปได้ในการศึกษาการไหหลินท่อเกลียวโดยใช้กลศาสตร์ของไหหลึงตัวเดบ

### ทฤษฎีของการถ่ายเทความร้อน

การศึกษาการถ่ายเทความร้อนมีทั้งสิ้น 3 แบบ ได้แก่ การนำความร้อน (conduction heat transfer) การพาความร้อน (convection heat transfer) และการแผรังสีความร้อน (radiation heat transfer) โดยมีรายละเอียดดังนี้

#### 1. การนำความร้อน (conduction heat transfer)

การนำความร้อน หมายถึง การส่งถ่ายพลังงานความร้อนที่เกิดขึ้นในตัวกลางอัตราการถ่ายเท ความร้อนผ่านตัวกลางจากด้านหนึ่งที่มีอุณหภูมิสูงไปสู่ด้านหนึ่งที่มีอุณหภูมิต่ำกว่า โดยส่งถ่าย ความร้อนจากโมเลกุลหนึ่งสู่อีกโมเลกุลหนึ่งอย่างต่อเนื่องกัน การนำความร้อนสามารถเกิดขึ้นได้ ในตัวกลางที่เป็นของแข็ง ของเหลว และก๊าซ อัตราการถ่ายเทความร้อนผ่านตัวกลางแบบนำ ความร้อนคำนวณจากกฎของฟูเรียร์ (Fourier's law)

กฎของฟูเรียร์ (Fourier's law) กล่าวว่า สำหรับการนำความร้อนผ่านตัวกลางในทิศทางใดทิศทางหนึ่งอัตราการถ่ายเทความร้อน ( $\dot{Q}_x$ ) ผ่านตัวกลางในทิศทางนั้นเป็นปฏิภาคโดยตรงกับพื้นที่ถ่ายเทความร้อนที่ตั้งฉากกับทิศทางของการไหลของความร้อน ( $A$ ) และการเปลี่ยนแปลงอุณหภูมิของตัวกลางในทิศทางดังกล่าว ( $dT/dx$ ) สำหรับการนำความร้อนในทิศทาง  $x$  ภายใต้สภาวะคงตัว (steady state) อุณหภูมิในตัวกลาง  $T = T(x)$  จากกฎของฟูเรียร์ (Fourier's law)

$$\dot{Q}_x = -kA \frac{dT}{dx} \quad \text{หน่วยเป็น } W \quad (1)$$

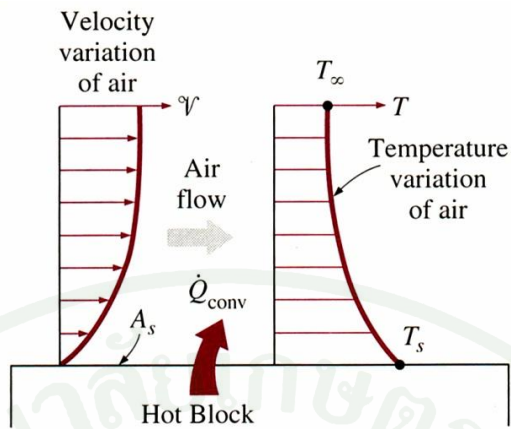
โดยค่า  $k$  คือ ค่าคงที่สัดส่วน ซึ่งเรียกว่า ค่าสภาพการนำความร้อน (thermal conductivity) ของตัวกลาง มีหน่วยเป็น  $W / m \cdot K$

ผลักดันความร้อนผ่านตัวกลางสามารถคำนวณได้จาก

$$q''_x = \frac{\dot{Q}_x}{A} = -k \frac{dT}{dx} \quad \text{หน่วยเป็น } W / m^2 \quad (2)$$

## 2. การพาความร้อน (convection)

การพาความร้อน หมายถึง การถ่ายเทความร้อนระหว่างผิวของแข็งกับของไหล ผลการเคลื่อนไหวของของไหลส่งผลให้เกิดการถ่ายเทโน้ม-men ซึ่งมีผลต่อสัมประสิทธิ์การพาความร้อนที่ผิวของแข็งนั้น ( $h, W / m^2 \cdot K$ ) พลังงานความร้อนถูกโอนถ่ายเป็นพลมาจากกระบวนการแพร่ (diffusion) ของโมเลกุลและผลจากการเคลื่อนไหวไปทั่วปริมาตรของของไหล



ภาพที่ 1 การกระจายความร้อนและอุณหภูมิของของไหหลนจะเกิดการพาความร้อน  
บริเวณใกล้ผิวให้ความร้อน

การพาความร้อนจำแนกออกเป็น 2 ประเภท คือ

- 1) การพาความร้อนตามธรรมชาติ (**natural convection**) กล่าวถึงการเคลื่อนไหวของของไหเป็นผลของแรงดึงด้วยตัว ซึ่งเกิดจากผลการเปลี่ยนแปลงความหนาแน่น อันเกิดจากมีผลต่างของอุณหภูมิของของไหใน 2 บริเวณ
- 2) การพาความร้อนโดยบังคับ (**forced convection**) กล่าวถึงการเคลื่อนไหวของของไหที่เป็นผลมาจากการกระทำจากภายนอก เช่น เครื่องสูบ เครื่องเป่าลม เป็นต้น

เมื่อพิจารณาการพาความร้อนจากผิวของแข็งพื้นที่  $A_s$  อุณหภูมิ  $T_s$  ขณะของไหหลนผ่านด้วยความเร็ว  $u_\infty$  และอุณหภูมิ  $T_\infty$  คงที่ ฟลักซ์ความร้อนเฉพาะที่คำนวณเป็นไปตามกฎการทำให้เย็นตัวลงของนิวตัน (*Newton's law of cooling*)

$$q''_{\text{conv}} = h(T_s - T_\infty) \quad \text{หน่วยเป็น } W/m^2 \quad (3)$$

โดยค่า  $h$  คือ สัมประสิทธิ์การพาความร้อนเฉพาะที่  $W/m^2 \cdot K$  ดังนั้น จะคำนวณอัตราการพาความร้อนทั้งหมดบนพื้นผิว  $A_s$  จาก

$$\dot{Q}_{conv} = \int_{A_s} q''_{conv} dA_s = (T_s - T_\infty) \int h dA_s \quad (4)$$

$$\dot{Q}_{conv} = h_m A_s (T_s - T_\infty) \quad \text{หน่วยเป็น } W \quad (5)$$

โดยค่า  $h_m$  คือ สัมประสิทธิ์การพาความร้อนเฉลี่ย (average convection coefficient) สำหรับแผ่นระนาบ ความยาว  $L$  จะพบว่า

$$h_m = \frac{1}{L} \int_0^L h dx \quad \text{หน่วยเป็น } W/m^2 \cdot K \quad (6)$$

### 3. การแผ่รังสีความร้อน (radiation)

การแผ่รังสีความร้อน หมายถึง การถ่ายเทความร้อนจากผิวตัวกลางหนึ่งไปสู่อีกผิวตัวกลางหนึ่ง ซึ่งมีอุณหภูมิแตกต่างกัน พลังงานของการแผ่รังสีถูกส่งถ่ายในรูปของคลื่นแม่เหล็กไฟฟ้า (electromagnetic wave) หรือในรูปของโฟตอน โดยไม่ต้องอาศัยสัมผัตต์ตัวกลาง การแผ่รังสีความร้อน จึงสามารถเกิดในสัญญาณได้ฟลักซ์สูงสุดของการแผ่รังสีออกจากผิวตัวกลาง คำนวณจากกฎของชเตฟาน-โบลต์ซมันน์ (Stefan-Boltzmann) ดังนี้

$$q''_{rad} = \sigma T_s^4 \quad \text{หน่วยเป็น } W/m^2 \quad (7)$$

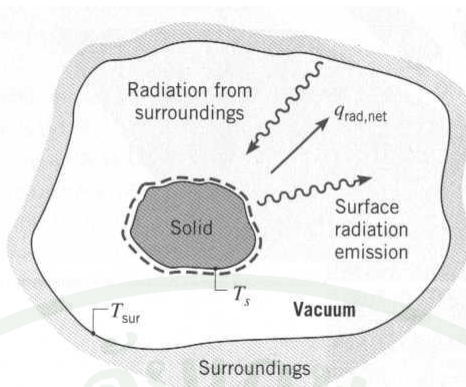
โดยที่

$T_s$  คือ อุณหภูมิผิวแผ่รังสีในหน่วยองศาสัมบูรณ์ (K)

$\sigma$  คือ ค่าคงที่ของชเตฟาน-โบลต์ซมันน์ มีค่า  $5.67 \times 10^{-8} W/m^2 \cdot K^4$

สมการ (7) ใช้กับกรณีของตัวแผ่รังสีในอุณหภูมิ (**ideal radiator**) หรือวัตถุดำ (**black body**) สำหรับกรณีพื้นผิวจริง (**real surface**) ฟลักซ์แผ่รังสีจะน้อยกว่ากรณีของวัตถุดำ ทั้งนี้จะขึ้นกับสภาพเปล่งรังสี (**emissivity**) ของพื้นผิวนั้น ( $\varepsilon$ ) ด้วย ฟลักซ์แผ่รังสีบนพื้นผิวจริงคำนวณจาก

$$q''_{rad} = \varepsilon \sigma T_s^4 \quad \text{หน่วยเป็น } W/m^2 \quad (8)$$



ภาพที่ 2 การแผ่รังสีแลกเปลี่ยนกันระหว่างพื้นผิวหนึ่งกับลิ่งแวดล้อมโดยรอบ

พิจารณาการแผ่รังสีแลกเปลี่ยนกันระหว่างพื้นผิว  $A$  อุณหภูมิ  $T_s$  มีสภาพเปลี่ยนรังสี  $\varepsilon$  กับลิ่งแวดล้อมโดยรอบซึ่งมีอุณหภูมิคงที่  $T_{sur}$  ขัตตราการแผ่รังสีสู่ทิศบันพื้นผิว  $A$  คือ

$$q''_{net} = \frac{\dot{Q}_{rad,net}}{A} = \varepsilon\sigma (T_s^4 - T_{sur}^4) \quad (9)$$

นอกจากรูปแบบสมการที่ (9) แล้ว รูปแบบสมการอย่างง่ายสำหรับคำนวณการแผ่รังสีจะเขียนใหม่ได้เป็น

$$\dot{Q}_{rad,net} = h_r A(T_s - T_{sur}) \quad (10)$$

โดยที่  $h_r$  คือสัมประสิทธิ์การแผ่รังสีความร้อนมีหน่วยเป็น  $W/m^2 \cdot K$  คำนวณได้จาก

$$h_r = \varepsilon\sigma (T_s + T_{sur})(T_s^2 + T_{sur}^2) \quad (11)$$

## ทฤษฎีของการพาราความร้อนเบื้องต้น

การพาราความร้อน หมายถึง การถ่ายเทความร้อนระหว่างผิวของแข็งกับของไหลดโดยมีการไหลงของไหเข้ามาเกี่ยวข้อง การเคลื่อนที่ของของไหมีผลต่ออัตราถ่ายเทความร้อน เพราะการถ่ายโอนพลังงานความร้อนจะอาศัยการแพร่ของโมเลกุลของของไห และรวมถึงผลการเคลื่อนไหไปทึ้งปริมาตรของของไหนั้น ดังนั้น อัตราการถ่ายเทความร้อนผ่านของไหโดยวิธีการพาราความร้อนจะสูงกว่าการนำความร้อน นอกจากนี้ยังพบว่าของไหที่มีความเร็วในการไหสูงก็จะช่วยทำให้อัตราการถ่ายเทความร้อนสูงขึ้นตามไปด้วย

ค่าคุณสมบัติของของไห เช่น ค่าความหนืด ค่าสัมประสิทธิ์การนำความร้อนของของไห ( $k, W / m \cdot K$ ) ค่าความหนาแน่น ( $\rho, kg / m^3$ ) ค่าความจุความร้อนจำเพาะ ( $C_p, J / kg \cdot K$ ) และค่าความเร็วในการไห ( $v, m / s$ ) ค่าคุณสมบัติเหล่านี้มีผลต่อสัมประสิทธิ์การพาราความร้อนทึ้งสิ้น นอกจนกนี้ค่าการพาราความร้อนยังขึ้นอยู่กับรูปทรง ความบรุษของพื้นผิวที่ไหผ่าน และขึ้นอยู่กับชนิดของการไห โดยนิิดของการไหจะมีทึ้งการไหแบบราบเรียบ (Laminar flow) การไหแบบปั่นป่วน (Turbulent flow) และการไหแบบทรายซิชัน (Transition flow) โดยชนิดของการไหพิจารณาจากค่าตัวเลขเรย์โนลดส์ (Reynolds number) ดังสมการที่ (12)

$$Re = \frac{\text{inertia force}}{\text{viscous force}} = \frac{\text{mass} \times \text{acceleration}}{\text{shear stress} \times \text{area}} = \frac{\rho \cdot v_\infty \cdot x}{\mu} = \frac{v_\infty \cdot x}{\nu} \quad (12)$$

โดยที่

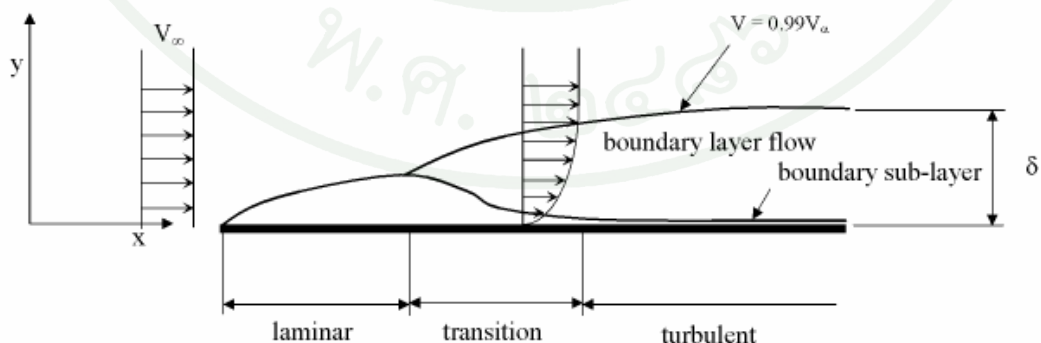
$v_\infty$	คือ ความเร็วของของไห ( $m / s$ )
$x$	คือ ความยาวสำคัญ ( $m$ )
$\rho$	ค่าความหนาแน่นของของไห ( $kg / m^3$ )
$\mu$	ค่าความหนืดสัมบูรณ์ของของไห ( $Pa \cdot s$ )
$\nu$	ค่าความหนืด粘性ของของไห ( $m^2 / s$ )

เนื่องจากการพาราความร้อนนี้ การถ่ายเทความร้อนเกิดขึ้นระหว่างพื้นผิว กับของไหที่ไห สัมผัสถอยกับพื้นที่นี้ แม่อมีการการไหวนนพื้นผิว การกระจายตัวของความเร็ว และการกระจายอุณหภูมิของของไห ที่บริเวณใกล้พื้นผิวจะส่งผลต่อการพาราความร้อนเพื่อที่จะทำให้การวิเคราะห์

การพารากามร้อนนั้น ทำให้ต้องศึกษาเกี่ยวกับชั้นขอบเขต (Boundary layer) เพื่อจำลองการกระจายตัวของความเร็วและอุณหภูมิที่บริเวณพื้นผิว

### 1. ชั้นขอบเขตความเร็ว (Laminar boundary layer)

เมื่อพิจารณาการไหลของของไอลที่ไอลบนานบนพื้นผิวเรียบ ดังภาพที่ 3 ในกระแสการไอล (Free Stream) หรือพื้นที่ส่วนก่อนถึงขอบทางเข้าของการไอล (down stream) บนพื้นผิวเรียบ ค่าความเร็วในการไอลมีค่า  $v_\infty$  ในชั้นของการไอลที่อยู่ใกล้กับพื้นผิวเรียบ ความเร็วในการไอลจะมีค่าไม่คงที่ แต่จะมีค่าเพิ่มจากศูนย์ที่ต่ำแห่ง  $y = 0$  จนกระทั่งมีความเร็วเท่ากับ  $v_\infty$  โดยที่ ความเร็วในการไอลของของไอลในชั้นที่สัมผัสถูกบัดดู ซึ่งมีค่าเท่ากับศูนย์จะหน่วงไอลในชั้นติดกันด้านบน ให้มีความเร็วลดลงจากความเร็วในตอนไอลเข้า การหน่วงของการไอลดังกล่าวจะเกิดขึ้นกับชั้นของไอลที่อยู่ติดกันไปเรื่อยๆ แต่เมื่อพิจารณาการหน่วงจะลดลงเมื่อระยะห่างในแนวดิ่งจากพื้นผิว มีค่าเพิ่มขึ้น จนกระทั่งเพิ่มขึ้นถึงค่า  $y = \delta$  หลังจากระยะนี้ความเร็วของของไอลจะมีค่าเท่ากับความเร็วของกระแส  $v = v_\infty$  การหน่วงหารไอลเกิดจากความเค้นเนื้อน (Shear stress,  $\tau$ ) อันเป็นผลจากความหนืดของของไอล ที่เกิดขึ้นระหว่างชั้น และกระทำในระนาบที่นานกับการไอล ระยะความหนาที่ของไอลถูกผลของความเค้นเนื้อนกระทำ ที่คือชั้นของของไอลภายใต้ความหนา  $y = \delta$  โดยชั้นความหนาดังกล่าวจะถูกเรียกว่า ความหนาชั้นขอบเขตของความเร็ว (boundary layer thickness) โดยที่ระยะ  $y = \delta$  ถูกกำหนดจากระยะห่างจากพื้นผิวเรียบในแนวดิ่งที่ทำให้  $v = 0.99v_\infty$  จากภาพที่ 3 จะเห็นได้ว่าความหนาชั้นขอบเขตของความเร็ว ( $\delta$ ) มีค่าเพิ่มขึ้นตามระยะทางที่เพิ่มขึ้นในแนวการไอลหรือในแนวแกน X



ภาพที่ 3 ชั้นขอบเขตของความเร็ว

รูปร่างความเร็วของชั้นขอบเขตความเร็ว (**Boundary layer velocity profile**) หมายถึง พังก์ชั่นของความเร็วของของไอลที่ป็นอยู่กับมิติ  $X$  และ  $y$  หรือ  $v = v(x, y)$  ในภาพที่ 3 ยังแสดงให้เห็นว่า ภายในชั้นขอบเขตความเร็วของไอลบนพื้นผิวเรียบนั้นมีการแบ่งรูปแบบการไอลออกได้ 3 รูปแบบ ด้วยกันคือ การไอลแบบราบเรียบ (**Laminar flow**), การไอลแบบทราบซิชัน (**Transition flow**) และ การไอลแบบปั่นป่วน (**Turbulent flow**) ซึ่งการไอลในลักษณะนี้ส่งผลอย่างยิ่งต่อการพากษาความร้อนของของไอลบนพื้นผิวเรียบนั้น เมื่อพิจารณาลำดับของการพัฒนาของชั้นขอบเขตความเร็ว จะพบว่า เมื่อเริ่มมีการไอลจากขอบทางเข้าไปจนถึงระยะหนึ่งบนพื้นผิวเรียบ รูปแบบการในภายในชั้นขอบเขตความเร็วในช่วงเริ่มต้นนี้จะเป็นการไอลแบบราบเรียบ การเคลื่อนที่ของของไอลจะมีความราบเรียบ หลังจากระยะนี้ไปแล้วของไอลจะเริ่มมีการแกว่งตัวของอนุภาคของของไอล โดยเมื่อระยะทางการไอลเพิ่มขึ้น การแกว่งตัวก็มากขึ้นตามลำดับ การไอลในช่วงนี้เรียกว่าการไอลแบบทราบซิชัน หลังจากนั้นการแกว่งของอนุภาคจะมีความรุนแรงมากขึ้น ทำให้เกิดการไอลแบบปั่นป่วนในช่วงการไอลแบบปั่นป่วนนี้เองที่ของไอลจะมีความหนาของชั้นขอบเขตความเร็วและค่าสัมประสิทธิ์การพากษาความร้อนที่มีค่าสูง หากพิจารณาในชั้นขอบเขตความเร็วในช่วงปั่นป่วนจะพบว่า ภายในชั้นขอบเขตความเร็วนี้จะมีชั้นขอบเขตความเร็วบ่อยแบบราบเรียบ (**Laminar boundary sub layer**) รวมอยู่ด้วย ทั้งนี้ เป็นเพราะความเร็วของของไอลที่อยู่ติดกับผนังของพื้นผิวเรียบจะมีค่าเป็นศูนย์ เสมอที่ค่าตัวเลขเรย์โนลด์สสูงๆ แรงเฉือนซึ่งมีความสัมพันธ์แบบแปรผันตรงกับค่าความหนาแน่นและความเร็วของของไอล จะมีค่าสูงเมื่อเทียบกับค่าของแรงหนีดทำให้แรงหนีดไม่สามารถต้านทานการแกว่งตัวของของไอลได้ ทำให้เกิดการไอลแบบปั่นป่วนขึ้นส่วนที่ค่าตัวเลขเรย์โนลด์สต่ำของความหนีดจะมีค่าสูงพอที่จะเอาชนะค่าความเฉือน ทำให้การแกว่งของอนุภาคต่ำของไอลจึงไอลแบบราบเรียบ ค่าตัวเลขเรย์โนลด์สที่การไอลเกิดการเปลี่ยนแปลงจากการไอลแบบราบเรียบไปเป็นการไอลแบบปั่นป่วนนี้เรียกว่า ค่าตัวเลขเรย์โนลด์สวิกฤต (**Critical Reynolds number**) โดยปกติ ช่วงการไอลแบบทราบซิชัน (**transition flow**) จะเกิดในส่วนตัวเลขเรย์โนลด์ส (**Reynolds number**) ของการไอลอยู่ระหว่าง  $2 \times 10^5 < Re_{cri} < 3 \times 10^6$ , เมื่อ  $Re_{cri}$  คือ ค่าค่าตัวเลขเรย์โนลด์สวิกฤต แต่จะใช้ค่า  $5 \times 10^5 < Re_{cri}$  เป็นค่ามาตรฐานในการคำนวณดังนั้นค่าค่าตัวเลขเรย์โนลด์สวิกฤต คำนวณได้จากสมการที่ (13)

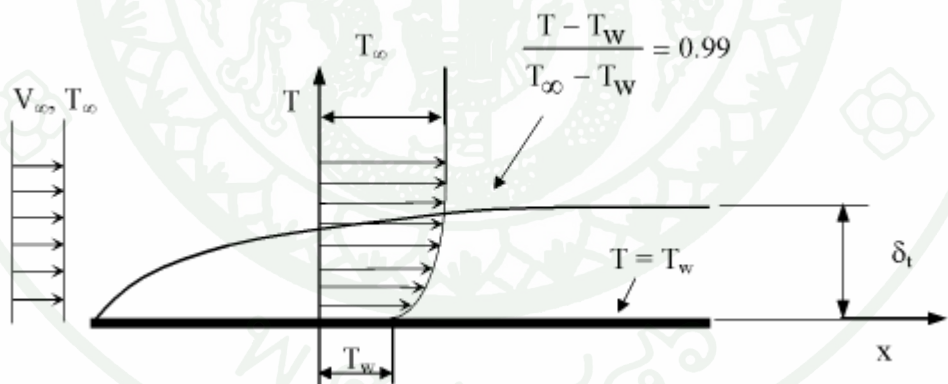
$$Re_{cri} = \frac{v_\infty \cdot x_c}{\nu} = 5 \times 10^5 \quad (13)$$

เมื่อ  $x_c$  คือ ระยะทางวิกฤตในการแนวการไอลที่วัดจากขอบทางเข้าถึงจุดที่การไอลเริ่มอยู่ ในช่วงการไอลแบบทราบซิชัน

## 2. ชั้นขอบเขตความร้อน (Thermal boundary layer)

ในการไหลของของไอลบนพื้นผิวเรียบหรือบนวัตถุใดๆ นอกจากจะเกิดการพัฒนาของชั้นขอบเขตความร้อนแล้วยังมีการพัฒนาชั้นขอบเขตความร้อน (Thermal boundary layer) ขึ้นด้วยทั้งนี้ เป็นเพราะในการไหลนั้นมีความแตกต่างของอุณหภูมิระหว่างอุณหภูมิของไอลอิสระ (free stream) กับอุณหภูมิที่ผนังของพื้นผิวเรียบหรืออุณหภูมิของวัตถุใดๆ ที่เกิดการไหลผ่าน

จากภาพที่ 4 หากของไอลอุณหภูมิตามที่กำหนด  $T_\infty$  ไอลเข้าที่ขอบทางเข้าโดยที่ผนังของพื้นผิวนี้เรียบมีอุณหภูมิ  $T_w$  ภายในได้ชั้นขอบเขตความร้อนอุณหภูมิของไอลจะเปลี่ยนแปลงจากอุณหภูมิที่ผนังของพื้นผิวเรียบ  $T_w$  ไปจนกระทั่งมีอุณหภูมิ  $T_\infty$  ที่ระยะในแนวตั้งห่างจากผนังของพื้นผิวเรียบเป็นระยะที่มากกว่า  $y = \delta_t$ , โดยค่า  $\delta_t$  เรียกว่า ความหนาของชั้นขอบเขตความร้อนและค่าความหนาดังกล่าวจะถูกกำหนดจากระยะที่ห่างจากผนังของพื้นผิวเรียบที่ทำให้การกระจายตัวของอุณหภูมิ  $\theta = \frac{T - T_w}{T_\infty - T_w} = 0.99$  เช่นเดียวกับชั้นขอบเขตความรีวความหนาชั้นขอบเขตความร้อนจะมีค่ามาขึ้นที่ระยะห่างในแนวการไหล X ที่เพิ่มขึ้น



ภาพที่ 4 ชั้นขอบเขตความร้อน

ตัวเลขพรันด์เทล (Prandtl number) เป็นตัวแปรไร้หน่วย (Dimensionless parameter) เป็นอัตราส่วนระหว่างสภาพการแพร่ทางโมเมนตัมต่อสภาพการแพร่ทางความร้อนหรือความสัมพันธ์ระหว่างชั้นขอบเขตความรีวกับชั้นขอบเขตความร้อนดังสมการที่ (14)

$$\text{Pr} = \frac{\nu}{\alpha} = \frac{\mu/\rho}{k/\rho C_p} = \frac{\mu C_p}{k} \quad (14)$$

โดยค่าตัวเลขพรันเดล (Prandtl number) นี้มารากนักวิทยาศาสตร์ชาวเยอรมัน Ludwig Prandtl ผู้ริเริ่มแนวความคิดทฤษฎีของชั้นขอบเขตใน ค.ศ. 1904 สำหรับของไอลที่มีค่า  $\text{Pr} \approx 1$  เช่น แก๊ส และง่วงว่าการกระจายหรือพัฒนาของชั้นขอบเขตของทั้งโน้ม-men ตัมหรือความเร็วและความร้อนในของไอลนั้น มีอัตราใกล้เคียงกันในกรณีนี้ความหนาของชั้นขอบเขตความเร็วจะมีค่าใกล้เคียงกับความหนาของชั้นขอบเขตความร้อน ( $\delta_t = \delta$ )

สำหรับของไอลที่มีค่า  $\text{Pr} < 1$  แสดงว่าการกระจายตัวของความร้อนหรือการพัฒนาของชั้นขอบเขตความร้อนจะเกิดขึ้นเร็วกว่าความเร็วในกรณีนี้ความหนาของชั้นขอบเขตความร้อนจะมีค่ามากกว่าความหนาของชั้นขอบเขตความเร็ว ( $\delta_t > \delta$ ) หากกำหนดให้ค่าการกระจายตัวของอุณหภูมิจัดอยู่ในรูปตัวแปรไร้หน่วยดังสมการที่ (15)

$$\theta = \frac{T - T_w}{T_\infty - T_w} \quad (15)$$

ค่าการเปลี่ยนแปลงอุณหภูมิตามระยะทางในแนวตั้งจากกับการไอล ( $y$ ) คำนวณจากสมการที่ (16)

$$\left. \frac{\partial T}{\partial y} \right|_{y=0} = \left. \frac{\partial T}{\partial \theta} \right|_{\eta=0} \times \left. \frac{\partial \theta}{\partial y} \right|_{\eta=0} = (T_\infty - T_w) \sqrt{\frac{\nu_\infty}{\nu_x}} \times \left. \frac{\partial \theta}{\partial \eta} \right|_{\eta=0} \quad (16)$$

จากสมการที่ (15) และ (16) พบร่วมกันที่ผนังของพื้นผิวเรียบ ( $\eta = 0$ ) มีค่าดังสมการที่ (17)

$$\left. \frac{\partial \theta}{\partial \eta} \right|_{\eta=0} = 0.332 \text{Pr}^{\frac{1}{3}} \quad (17)$$

ค่าการเปลี่ยนแปลงอุณหภูมิที่ต่ำแห่ง ( $y=0$ ) คำนวณจากสมการที่ (18)

$$\begin{aligned} \left. \frac{\partial T}{\partial y} \right|_{y=0} &= (T_\infty - T_w) \left. \frac{d\theta}{d\eta} \right|_{\eta=0} \left. \frac{\partial \eta}{\partial y} \right|_{y=0} \\ &= 0.332 \text{Pr}^{\frac{1}{3}} (T_\infty - T_w) \sqrt{\frac{v_\infty}{v_x}} \end{aligned} \quad (18)$$

หากพื้นผิวน้ำในน้ำมีค่าอุณหภูมิกองที่  $T_w$  อัตราการถ่ายเทความร้อนที่ผ่านต่อหน่วยพื้นที่ คำนวณได้จากสมการที่ (19)

$$q''_w = -k_f \left. \frac{\partial T}{\partial y} \right|_{y=0} = h_x (T_s - T_\infty) \quad (19)$$

จากสมการที่ (19) จะสามารถหาค่าสัมประสิทธิ์การพาความร้อน (local convective heat transfer coefficient,  $h_x$ ) ดังสมการที่ (20)

$$\begin{aligned} h_x &= \frac{k \left. \partial T / \partial y \right|_{y=0}}{(T_\infty - T_s)} = \frac{k_f (0.332 \text{Pr}^{\frac{1}{3}} (T_\infty - T_w) \sqrt{\frac{v_\infty}{v_x}})}{(T_\infty - T_w)} \\ \therefore h_x &= k_f (0.332 \text{Pr}^{\frac{1}{3}}) \sqrt{\frac{v_\infty}{v_x}} \end{aligned} \quad (20)$$

ตัวแปร ไร้หน่วยที่มีความสำคัญกับการพาความร้อน ได้แก่ ตัวเลขนัสเซลท์ (Nusselt number) โดยถูกตั้งชื่อตาม Wilhelm Nusselt ผู้ที่มีส่วนสำคัญอย่างยิ่งในการวิเคราะห์การพาความร้อน สามารถคำนวณได้จากสมการที่ (21)

$$Nu_x = \frac{h_x x}{k_f} \quad (21)$$

นำสมการที่ (20) แทนในสมการที่ (21) จะได้ค่าตัวเลขนัสเซลท์เฉพาะที่ (local Nusselt number) ดังสมการที่ (22)

$$Nu_x = 0.332 \Pr^{\frac{1}{3}} \text{Re}_x^{\frac{1}{2}} \quad (22)$$

ค่าอัตราส่วนของความหนาของชั้นขอบเขตความร้อนต่อชั้นขอบเขตความร้อนจะเป็นไปดังสมการที่ (23)

$$\frac{\delta}{\delta_t} = \Pr^{\frac{1}{3}} \quad (23)$$

ดังนั้น ค่าความหนาของชั้นขอบเขตความร้อนในกรณีจะเป็นไปตามสมการที่ (24)

$$\delta_t = \frac{5x}{\Pr^{\frac{1}{3}} \sqrt{\text{Re}_x}} \quad (24)$$

การแก้สมการอินทิเกรต ค่าสัมประสิทธิ์การพาความร้อนเฉพาะที่ (local convective heat transfer coefficient) จะทำให้ได้ค่าสัมประสิทธิ์การพาความร้อนตลอดพื้นผิวเรียบ (heat transfer coefficient over the entire surface) ดังสมการที่ (25)

$$\overline{h_L} = \frac{W \int_0^L h_x dx}{WL} \quad (25)$$

ดังนั้น ค่าตัวเลขนัสเซลท์เฉลี่ย (average Nusselt number) ดังสมการที่ (26)

$$\overline{Nu_L} = 0.664 R_{e_L}^{\frac{1}{2}} \Pr^{\frac{1}{3}} \quad (26)$$

โดยค่าคุณสมบัติต่างๆ ของของไอลใช้ค่าคุณสมบัติที่อุณหภูมิเฉลี่ยของของไอล  $T_f$  โดย  $T_f$  คำนวณจากสมการที่ (27)

$$T_f = \frac{T_w + T_\infty}{2} \quad (27)$$

ในกรณีที่พื้นผิวเรียบนั้นถูกกำหนดให้มีการให้ฟลักซ์ความร้อนคงที่แก่พื้นผิวเรียบค่าตัวเลขนัสเซลท์เนลฟาร์ที่ (local Nusselt number) สำหรับช่วงการไหลแบบรูบเรียงจะสามารถคำนวณได้จากสมการที่ (28)

$$Nu_x = 0.453 Re_x^{1/2} Pr^{1/3} \quad (28)$$

### ทฤษฎีการพากำเนิดความร้อนของการไหลในท่อ

ระบบทำความร้อนและระบบทำความเย็นส่วนมากจะเกี่ยวข้องกับการแลกเปลี่ยนความร้อนที่มีการไหลของของภายในท่อลักษณะนี้จัดว่าเป็นการภายใน (Internal flow) เช่น การไหลของลมเย็นผ่านท่อส่งลมหรือการไหลของน้ำเย็นในท่อการไหลประเททนี้แตกต่างจากการไหลภายนอก (External flow) โดยการภายในท่อน้ำมักจะเป็นการไหลแบบบังคับ (forced flow) โดยถูกบังคับให้เกิดการไหลจากต้นกำเนิดพลังงานเช่น แรงส่งจากปั๊มหรือพัดลมขับดันให้เกิดการภายในท่อขึ้นซึ่งในระหว่างการไหลของภายในท่อน้ำจะมีการถ่ายเทพลังงานความร้อนเกิดขึ้นและจะถูกเรียกว่าการพากำเนิดความร้อนแบบบังคับของของภายในท่อที่ภายในภายในท่อ

#### 1. การไหลแบบรูบเรียงและการไหลแบบบีบปวนในท่อ (Laminar and Turbulent flow in pipe)

การภายในท่อน้ำอาจเกิดขึ้นได้ทั้งการไหลแบบรูบเรียงและการไหลแบบบีบปวนขึ้นอยู่กับเงื่อนไขในการไหล เช่น ค่าความเร็วในการไหลถ้าความเร็วในการไหลต่ำการไหลจะเป็นแบบรูบเรียงถ้าความเร็วในการไหลมีค่ามากการไหลจะเป็นแบบบีบปวน โดยรูปแบบของการไหลจะกำหนดโดยค่า Reynolds number สำหรับการภายในท่อน้ำตัวถ่วงกลมจะสามารถคำนวณค่า Reynolds number จากสมการที่ (29)

$$Re = \frac{\rho v D}{\mu} \quad (29)$$

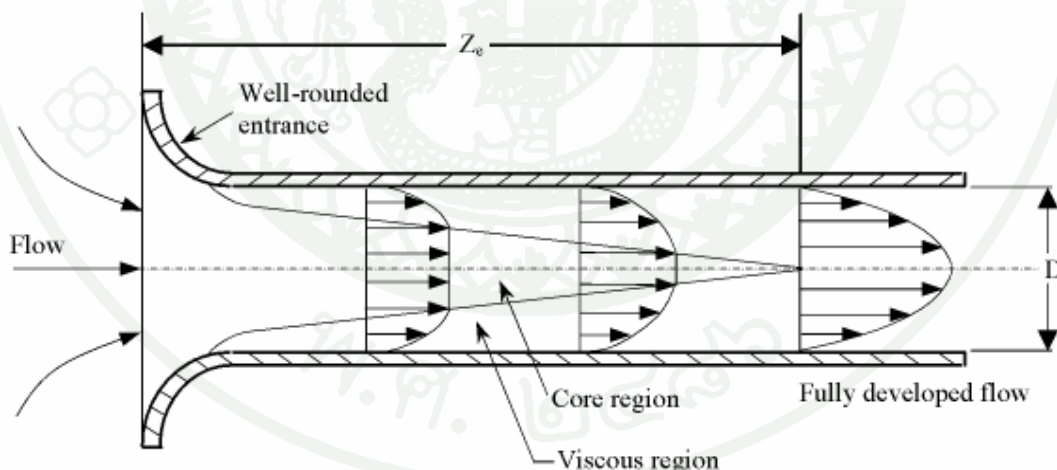
สำหรับท่อที่มีหน้าตัดในรูปทรงอื่นค่าเส้นผ่านศูนย์กลาง  $D$  จะถูกแทนที่ด้วยค่าเส้นผ่านศูนย์กลางเสมือน (*hydraulic diameter,  $D_h$* ) โดยสามารถคำนวณได้จากสมการที่ (30)

$$D_h = \frac{4 \times \text{cross section area of the duct}}{\text{perimeter of duct in contact with fluid}} \quad (30)$$

สำหรับท่อหน้าตัดรูปวงกลมที่มีค่าด้วยเลขเรย์โนลด์สในการไหลต่ำกว่า 2100 การไหลนี้จะเป็นแบบราบเรียบและหากด้วยเลขเรย์โนลด์สในการไหลสูงกว่า 4000 การไหลนี้จะเป็นแบบปั่นป่วนส่วนการไหลแบบทอรานซิชันจะเกิดขึ้นที่ค่าด้วยเลขเรย์โนลด์สระหว่าง 2100 และ 4000 ดังนั้น การไหลของของไหลในท่ออาจเป็นได้ทั้งแบบราบเรียบแล้วปั่นป่วนด้วยเลขเรย์โนลด์สวิตถุตจะอยู่ที่ค่า 2100 ( $Re_{cri} = 2100$ )

## 2. บริเวณช่วงทางเข้าของการไหล (Entrance region)

สำหรับการไหลบนพื้นผิวเรียบนี้ การวิเคราะห์การถ่ายเทความร้อนจะต้องพิจารณาว่ารูปแบบของการไหลนี้เป็นรูปแบบใด นอกจากจะพิจารณาว่าเป็นรูปแบบราบเรียบหรือปั่นป่วนแล้วยังจะต้องพิจารณาว่าการไหลนี้อยู่ช่วงทางเข้าของการไหล (Hydrodynamic entrance region) หรืออยู่ในช่วงการไหลที่พัฒนาเต็มรูปแบบ (Hydrodynamic fully developed region) ดังภาพที่ 5



ภาพที่ 5 การพัฒนาการของความเร็วของของไหลในการไหลในท่อ

จากภาพที่ 5 แสดงการไหลของของไหลที่บริเวณปากทางเข้าของท่อรูปหน้าตัดวงกลมโดยกำหนดให้ความเร็วเริ่มต้นก่อนเข้าท่อ มีค่าคงที่ เช่นเดียวกับการไหลบนพื้นผิวเรียบอนุภาคของของไหลในชั้นที่สัมผัสติดกับผนังท่อจะหยุดนิ่งหรือมีความเร็วเป็นศูนย์ ซึ่งอนุภาคของของไหล

ในชั้นนี้จะหน่วงให้ของไอลในชั้นอื่นๆ มีความเร็วที่ต่ำลง อันเป็นผลจากแรงเสียดทานหรือแรงเฉือนระหว่างชั้นของของไอล ในช่วงแรกของการไอลจากทางเข้าจนถึงระยะหนึ่งในท่อความเร็วใน การไอลที่ระยะกึ่งกลางท่อจะมีค่าเพิ่มขึ้นตลอดระยะเวลาไอลดังกล่าวเพื่อที่จะลดเชยความเร็วของ ของไอลที่ลดลงในชั้นดังกล่าว ทั้งนี้ เพื่อรักษาอัตราการไอลของของไอลในท่อให้มีค่าคงที่ตลอด การไอล ในภาพที่ 5 จะสังเกตได้ว่าชั้nobet ของความเร็ว (velocity boundary layer) และรูปร่าง ของความเร็ว (velocity profile) จะมีการพัฒนาเป็นลำดับตึ้งแต่ทางเข้าเป็นต้นมาความหนาของชั้nobet ของความเร็วจะเพิ่มขึ้นตามทิศทางการไอลในท่อที่เพิ่มขึ้น จนกระทั่งชั้nobet ทั้ง 2 ฝั่งมาบรรจบกันที่ระยะแนวเส้นผ่านศูนย์กลางท่อพอดี ซึ่งทำให้ชั้nobet ของความเร็วปoclum การไอล ในท่อทั้งหมด ตรงบริเวณที่ความหนาของชั้nobet ของความเร็วถึงระยะแนวเส้นผ่านศูนย์กลางพอดี จะเรียกว่าการไอลนั้นมีการพัฒnaroo แบบความเร็วแบบเต็มรูป ระยะทางในแนวแกนของท่อจาก ทางเข้าจนถึงบริเวณที่ของไอลมีการพัฒนาเต็มรูปแบบเรียกว่า ความยาวช่วงความเร็วที่ทางเข้า (hydrodynamic entrance length,  $Z_e$ ) โดยช่วงการไอลในบริเวณดังกล่าวจะเรียกว่า ช่วงความเร็ว ของการไอลที่กำลังพัฒนา (hydrodynamic developing flow) หรือช่วงการไอลที่ทางเข้า (hydrodynamic entrance region) หลังจากระยะ  $Z_e$  ไปแล้วการไอลจะมีการพัฒนาความเร็วแบบเต็มรูปแบบและรูปร่างความเร็วของของไอล (velocity profile) จะไม่เปลี่ยนแปลงตลอดการไอล ในช่วงนี้เรียกช่วงนี้ว่า ช่วงความเร็วการไอลพัฒนาเต็มรูปแบบ (hydrodynamic fully developed region)

สำหรับการไอลแบบรูบเรียงนั้นสามารถประมาณค่าความยาวช่วงความเร็วที่ทางเข้าจาก สมการที่ (31)

$$\frac{Z_e}{D} = 0.05 \text{Re}_D \quad (31)$$

สำหรับการไอลแบบปั่นป่วนความยาวช่วงความเร็วที่ทางเข้าจะสั้นกว่าของการไอลแบบ รูบเรียงมาก โดยสามารถประมาณได้จากสมการที่ (32)

$$\frac{Z_e}{D} = 10 \quad (32)$$

จากภาพที่ 5 สำหรับไอลมีอุณหภูมิสม่ำเสมอไอลเข้าไปในท่อที่มีอุณหภูมิคงที่ ซึ่งมีอุณหภูมิแตกต่างจากอุณหภูมิของไอล อนุภาคของไอลที่สัมผัสดีกับผิวท่อจะถูกสมมติให้มีอุณหภูมิเดียวกันกับอุณหภูมิผิวท่อ ความแตกต่างของอุณหภูมิที่ผิวท่อ กับอุณหภูมิของไอล จะทำให้เกิดการถ่ายเทความร้อนด้วยการพากความร้อนขึ้นในระหว่างการไอลในท่อและมีการพัฒนาชั้นขอบเขตความร้อน (*thermal boundary layer*) ขึ้นตามระยะทางการไอลในท่อที่เพิ่มขึ้น ความหนาของชั้นขอบเขตความร้อนจะเพิ่มตามไปด้วยจนกระทั่งขอบเขตความร้อนทั้ง 2 ฝั่งมีความหนามากบรรจบกันที่ระยะแนวเส้นผ่านศูนย์กลางของท่อพอดี ซึ่งทำให้ชั้นขอบเขตความร้อนปิดคลุมการไอลในท่อทั้งหมดคล้ายๆ กับการพัฒนาชั้นขอบเขตความเร็วช่วงการไอลในขณะที่ความหนาของชั้นขอบเขตความร้อนค่อยๆ เพิ่มขึ้นจากบริเวณทางเข้า จนกระทั่งมีความหนาของขอบเขตความร้อนถึงกึ่งกลางพอดีเรียกว่า ช่วงความร้อนทางเข้า (*thermal entrance region*) หรือช่วงความร้อนกำลังพัฒนา (*thermally developing flow*) เนื่องจากในช่วงดังกล่าวรูปร่างการกระจายตัวของอุณหภูมิ (*temperature profile*) เนื่องจากในช่วงดังกล่าวรูปร่างการกระจายตัวของอุณหภูมิ (*temperature profile*) มีการพัฒนาเป็นลำดับขั้นตึ้งแต่ทางเข้าเป็นต้นมา ระยะทางในแนวแกนของห้องทางเข้า จนถึงจุดที่ชั้นขอบเขตความร้อนของไอลมีการพัฒนาเต็มรูปเรียกว่า ความยาวช่วงความร้อนที่ปากทางเข้า (*thermal entry length,  $Z_t$* ) หลังจากระยะ  $Z_t$  แล้ว ชั้นขอบเขตความร้อนจะมีการพัฒนาแบบเต็มรูปและรูปร่างการกระจายตัวของอุณหภูมิในรูปของตัวแปรอุณหภูมิไร้หน่วย (*dimensionless temperature profile,  $\theta$* )

โดยที่  $\theta = (T_w - T) / (T_w - T_\infty)$  จะมีค่าคงที่ไม่เปลี่ยนแปลงตลอดการไอลในช่วงนี้เรียกช่วงนี้ว่า ช่วงความร้อนพัฒนาเต็มรูป (*Thermally fully developed region*) หากของไอลนั้นอยู่ในช่วงที่ทั้งความเร็วและความร้อนมีการพัฒนาแบบเต็มรูปแล้ว คือ ทั้งรูปร่างความเร็วและรูปร่างตัวแปรไร้หน่วยของอุณหภูมิมีค่าคงที่ไม่เปลี่ยนแปลงตามระยะที่เพิ่มขึ้นจะเรียกช่วงการไอลพัฒนาแบบเต็มรูป (*fully developed flow*)

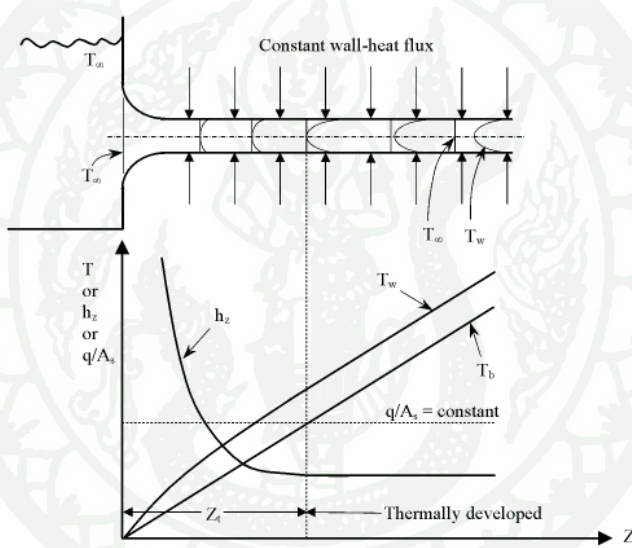
สำหรับการไอลแบบราบเรียบความยาวช่วงความร้อนที่ทางเข้า (*thermal entry length,  $Z_t$* ) สามารถประมาณได้จากสมการที่ (33)

$$Z_t \approx Z_e \cdot \text{Pr} \quad (33)$$

สำหรับการไหลแบบปั่นป่วนความขาวช่วงความร้อนทางเข้า (*thermal entry length,  $Z_t$* ) จะมีค่าใกล้เคียงกับความขาวช่วงความเร็วทางเข้า (*hydrodynamic entrance length,  $Z_e$* )

### 3. การไหลรวมเรียนที่มีการพัฒนาแบบเต็มรูปในท่อหนาตัดวงกลมที่มีการให้ความร้อนคงที่แก่ผิวท่อ (developed laminar flow in pipe with constant heat flux)

การถ่ายเทความร้อนกรณีที่ผิวท่อถูกให้ความร้อนต่อพื้นผิว (*heat flux*) ดังภาพที่ 6 แสดงการกระจายตัวของอุณหภูมิของของไหลที่ไหลในท่ออุณหภูมิที่ผิวท่อและสัมประสิทธิ์การพาความร้อนตลอดแนวท่อ



ภาพที่ 6 การไหลแบบรวมเรียนของของไหลในท่อกรณีที่ผิวท่อถูกให้ความร้อนคงที่

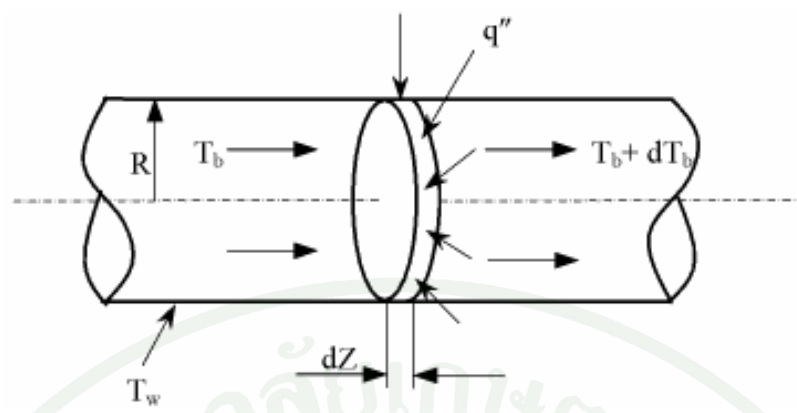
อัตราการถ่ายเทความร้อนโดยการพาความร้อนต่อหน่วยพื้นที่คำนวณจากสมการที่ (34)

$$q'' = h_z (T_w - T_b) \quad (34)$$

เมื่อ  $h_z$  คือ สัมประสิทธิ์การพาความร้อนเฉพาะที่ (*local convective heat transfer coefficient*) ( $W/m^2 \cdot K$ )

$T_w$  คือ อุณหภูมิผิวท่อ ( $^{\circ}C$ )

$T_b$  คือ อุณหภูมิของก้อนของไหล (*bulk fluid temperature*) ( $^{\circ}C$ )



ภาพที่ 7 ปริมาตรความคุณของก้อนของไอล

จากภาพที่ 6 พลังงานที่จำเป็นสำหรับการเปลี่ยนแปลงอุณหภูมิปริมาณ  $dT_b$  ให้แก่ของไอลสามารถคำนวณได้จากสมการที่ (35)

$$dq = (\rho A v) C_p dT_b \quad (35)$$

ซึ่งจะมีค่าพลังงานเท่ากับสมการที่ (36)

$$dq = q''(2\pi R dZ) \quad (36)$$

จากสมการที่ (35) และ (36) จะได้สมการที่ (37)

$$T_{bo} - T_{bi} = \frac{2q''\alpha L}{v k_f R} \quad (37)$$

เมื่อ	$T_{bo}$	คือ อุณหภูมิของก้อนของไอลที่มีอยู่ในปริมาตรความคุณ ( $^{\circ}C$ )
	$T_{bi}$	คือ อุณหภูมิของก้อนของไอลที่ไอลเข้าปริมาตรความคุณ ( $^{\circ}C$ )

จากภาพที่ 6 ในช่วงที่การไอลมีการพัฒนาแบบเต็มรูปແล็ก ( $Z > Z_t$ ) ดังนั้น จะได้สมการที่ (38)

$$\frac{\partial T_w}{\partial Z} = \frac{\partial T_b}{\partial Z} = \frac{2q''\alpha}{vk_f R} \quad (38)$$

มีเงื่อนไขขอบเขต คือ

$$r = 0 ; \quad \frac{dT}{dr} = 0$$

$$r = R ; \quad T = T_w$$

ดังนั้น จะได้ดังสมการที่ (39)

$$T_w - T_b = \frac{11}{48} \frac{q''D}{k_f} \quad (39)$$

แทนค่าสมการที่ (39) ลงในสมการ (34) จะได้สมการที่ (40)

$$T_w - T_b = \frac{11}{48} \frac{h_z(T_w - T_b)D}{k_f} \quad (40)$$

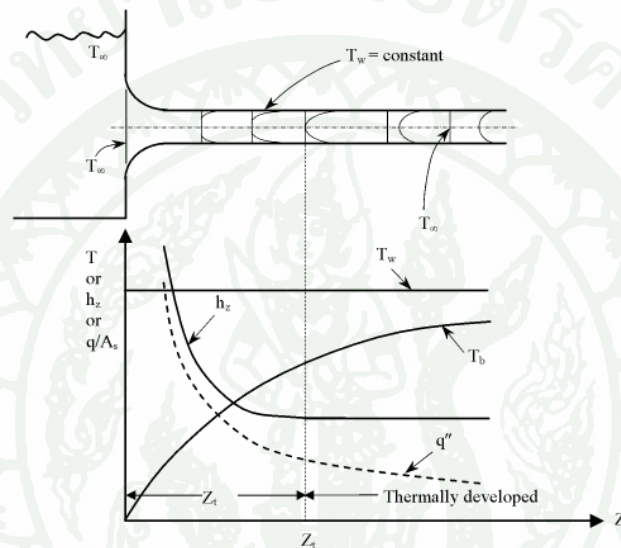
ซึ่งจะได้ค่าตัวเลขนัสเซลล์ (Nusselt number) ดังสมการที่ (41)

$$Nu_D = \frac{h_z D}{k_f} = \frac{48}{11} = 4.364 \quad (41)$$

ค่าตัวเลขนัสเซลล์ (Nusselt number) ในสมการที่ (41) จะใช้แก้ปัญหาได้เฉพาะในกรณีเป็นการไหลแบบราบเรียบที่มีการพัฒนาแบบเต็มรูปแล้ว โดยบริเวณผิวท่อถูกให้ความร้อนต่อหน่วยพื้นที่ในอัตราคงที่เท่านั้น (fully developed laminar flow with constant surface heat flux)

#### 4. การไหลรابةเรียบที่มีการพัฒนาแบบเต็มรูปในท่อหน้าตัดรูปวงกลมที่มีอุณหภูมิที่ผิวท่อคงที่ (developed laminar flow in pipe with constant wall temperature)

สำหรับกรณีนี้จะกล่าวถึงการแก้ปัญหาการถ่ายเทความร้อนที่เกิดขึ้นกับการไหลในท่อรูปหน้าตัดวงกลมที่มีการไหลแบบรابةเรียบที่มีการไหลพัฒนาแบบเต็มรูปแล้ว โดยมีอุณหภูมิที่ผิวท่อคงที่ตลอดการไหลดังภาพที่ 8



ภาพที่ 8 การไหลแบบรابةเรียบของของไหลในท่อกรณีที่ผิวท่อมีอุณหภูมิกคงที่

ภาพที่ 8 แสดงการกระจายตัวของอุณหภูมิของของไหลที่ไหลในท่อที่มีอุณหภูมิที่ผิวท่อคงที่โดยมีสมการการถ่ายเทพลังงานความร้อนดังสมการที่ (42)

$$\frac{dT_b}{dZ} = \frac{2\alpha h_z}{vk_f R} (T_w - T_b) \quad (42)$$

เมื่ออุณหภูมิที่ผิวท่อมีค่าคงที่สมการการถ่ายเทพลังงานความร้อนจะเป็นไปดังสมการที่ (43)

$$-\frac{d(T_w - T_b)}{dZ} = \frac{dT_w}{dZ} - \frac{dT_b}{dZ} = -\frac{dT_b}{dZ} \quad (43)$$

จะนั่นสมการที่ (42) สำหรับกรณีที่อุณหภูมิที่ผิวท่อ มีค่าคงที่จะกลายเป็นสมการที่ (44)

$$-\frac{d(T_w - T_b)}{dZ} = \frac{2\alpha h_z}{vk_f R} (T_w - T_b) \quad (44)$$

ทำการแยกตัวแปรแล้วทำการอนติเกตสมการที่ (44) จะได้สมการที่ (45)

$$\begin{aligned} -\int_i^o \frac{d(T_w - T_b)}{(T_w - T_b)} &= \frac{2\alpha}{vk_f R} \int h_z dZ \\ \ln\left(\frac{(T_w - T_b)_o}{(T_w - T_b)_i}\right) &= \frac{2\alpha L \bar{h}_L}{vk_f R} \end{aligned} \quad (45)$$

ผลลัพธ์ที่ได้จากการเปลี่ยนแปลงอุณหภูมิปริมาณให้แก่ของไอลสามารถคำนวณได้จากสมการที่ (46)

$$q = (\rho A v) C_p [(T_w - T_{bo}) - (T_w - T_{bi})] \quad (46)$$

จากสมการที่ (44) ค่าความเร็วของของไอลสามารถหาได้จากสมการที่ (47)

$$v = -\frac{2\alpha L \bar{h}_L}{k_f R} \frac{1}{\ln[(T_w - T_{bo})/(T_w - T_{bi})]} \quad (47)$$

จากสมการที่ (45) และ (46) จะได้สมการถ่ายเทความร้อนดังสมการที่ (48)

$$q = \bar{h}_L A_s \left\{ \frac{[(T_w - T_{bo}) - (T_w - T_{bi})]}{\ln[(T_w - T_{bo})/(T_w - T_{bi})]} \right\} \quad (48)$$

พจน์  $\left\{ \frac{[(T_w - T_{bo}) - (T_w - T_{bi})]}{\ln[(T_w - T_{bo})/(T_w - T_{bi})]} \right\}$  ในสมการที่ (48) มีชื่อเรียกว่า ความแตกต่างของ อุณหภูมิลือกเฉลี่ย (log mean temperature difference, LMTD) สำหรับการไอลที่ทึบความร้อนและ ความเร็วมีการพัฒนาเต็มรูปแบบแล้ว (thermally developed laminar flow) และมีอุณหภูมิที่ผิวท่อ คงที่ตลอดการไอลค่าตัวเลขนั้นสเซลท์ (Nusselt number) จะกำหนดให้ใช้ค่าจากสมการที่ (49)

$$Nu_D = \frac{h_z D}{k_f} = 3.66 \quad (49)$$

### 5. การไหครานเรียนในช่วงทางเข้าของท่อรูปหน้าตัดวงกลม (developing laminar flow in the entrance region of a circular pipe)

สำหรับท่อหน้าตัดรูปวงกลมความยาว  $L$  ที่ผิวท่อมีอุณหภูมิคงที่ตลอดแนวการไหครา ตัวเลขนัสเตลท์เฉลี่ยสำหรับช่วงทางเข้าของของไหลสามารถหาได้จากสมการ Empirical ดังสมการที่ (50)

$$\overline{Nu_D} = 3.66 + \frac{0.065(D/L) \cdot Re \cdot Pr}{1 + 0.04[(D/L) \cdot Re \cdot Pr]^{2/3}} \quad (50)$$

ในการนี้ที่ความแตกต่างของอุณหภูมิระหว่างผิวท่อและของไหลมีค่ามากอาจจำเป็นที่ จะต้องพิจารณาอิทธิพลของการเปลี่ยนแปลงค่าความหนืดเมื่ออุณหภูมิเปลี่ยนแปลงทั้งนี้ในกรณีนี้ ให้ใช้ค่าตัวเลขนัสเตลท์เฉลี่ยสำหรับช่วงความร้อนที่ทางเข้าจากสมการที่ (51) ที่มีชื่อว่า (Seider-Tate equation)

$$\overline{Nu_D} = 1.86 \left( \frac{D Re_D Pr}{L} \right)^{1/3} \left( \frac{\mu}{\mu_w} \right)^{0.14} \quad (51)$$

เมื่อ  $\mu_w$  คือ ค่าความหนืดของของไหลที่อุณหภูมิของไหลเท่ากับอุณหภูมิ ผิวท่อค่าคุณสมบัติอื่นๆ ของของไหลที่ใช้ในการคำนวณให้ใช้ ค่าคุณสมบัติที่อุณหภูมิเฉลี่ย  $(T_{bo} + T_{bi})/2$

### 6. การถ่ายเทความร้อนจากการไหลแบบปั่นป่วนของท่อรูปหน้าตัดวงกลม (Heat transfer from turbulent flow in circular pipe)

ช่วงการไหลแบบปั่นปวนนี้มีผลการถ่ายเทความร้อนที่ดีกว่าช่วงอื่น ๆ เพราะโน้มเลกุลของ ของไหลเกิดการชนกันมากกว่าช่วงการไหลแบบราบเรียบทำให้เกิดการแฉลดเปลี่ยนพลังงานที่มากกว่า การไหลแบบราบเรียบ ช่วงการไหลแบบปั่นปวนจะถูกนำมาใช้งานเพื่อประโยชน์ด้านการถ่ายเท

ความร้อนทั้งนี้เพิ่มช่วงการไหลแบบปั่นป่วนมีค่าสัมประสิทธิ์การพาความร้อนดีกว่าช่วงการไหลแบบรูบเริบ สมการที่ใช้ในการคำนวณสำหรับการไหลแบบปั่นป่วนนี้ ส่วนมากได้จากการทำการทดลองเพื่อหาสมการแสดงความสัมพันธ์ของข้อมูลจากการทดลองที่เรียกว่าสมการ Empirical ไปใช้งาน ทั้งนี้ เพราะการแก้ปัญหาในทางทฤษฎีโดยใช้สมการทางคณิตศาสตร์ทำได้ยากสำหรับกรณีปัญหาผิวท่อ มีอุณหภูมิกคงที่และถูกให้ความร้อนต่อหน่วยพื้นที่ในอัตราคงที่สามารถคำนวณการตั้งแต่สมการที่ (52) และ (53) ไปใช้ได้ตามลำดับ

**Seider-Tate's equation:**

$$\overline{Nu}_D = 0.027 \text{Re}_D^{4/5} \text{Pr}^{1/3} (\mu/\mu_w)^{0.14} \quad (52)$$

สมการที่ (52) ใช้ได้เมื่อ  $0.7 \leq \text{Pr} \leq 16700, \text{Re}_D \geq 10000, L/D \geq 60$

**Dittus-Boelter's equation:**

$$\overline{Nu}_D = 0.023 \text{Re}_D^{4/5} \text{Pr}^n \quad (53)$$

เมื่อ  $n = 0.4$  ถ้า  $T_w > T_b$  (ของไอลถูกทำให้ร้อนขึ้น)  
 $n = 0.3$  ถ้า  $T_w < T_b$  (ของไอลถูกทำให้เย็นลง)

สมการที่ (53) ใช้ได้เมื่อ  $0.7 \leq \text{Pr} \leq 160, \text{Re}_D \geq 10000, L/D \geq 60$

## 7. ความดันต่ำคร่อมและความเสียดทานสำหรับการไหลในท่อหน้าตัดรูปวงกลม

ความดันต่ำคร่อมที่เกิดขึ้นในการไหลในท่อ มีความสำคัญมากเนื่องจากเกี่ยวข้องกับค่ากำลังงานที่ต้นกำเนิดพลังงาน เช่น ปั๊ม หรือพัดลม เพื่อที่จะสามารถรักษาอัตราการไหลในท่อของไอลให้คงที่ ค่าความดันต่ำคร่อมของของไอลสามารถคำนวณได้จากสมการ (54)

$$\Delta P = P_1 - P_2 = \frac{\rho v_{avg}^2 f L}{2D} \quad (54)$$

โดย

$\Delta P$	คือ	ค่าความดันต่อกำลัง ( $N/m^2$ )
$\rho$	คือ	ความหนาแน่นของของไหล ( $kg/m^3$ )
$v_{avg}$	คือ	ความเร็วเฉลี่ยของของไหลที่ไหลในท่อ ( $m/s$ )
$L$	คือ	ความยาวของห่อหน้าตัดรูปวงกลม ( $m$ )
$D$	คือ	เส้นผ่านศูนย์กลางห่อ ( $m$ )
$f$	คือ	ค่าสัมประสิทธิ์ความเสียดทาน โดยสามารถคำนวณจากการ Fanning friction factor ดังสมการที่ (55)

$$f = \frac{2\tau_w}{\rho v_{avg}^2} \quad (55)$$

โดย

$\rho$	คือ	ความหนาแน่นของของไหล ( $kg/m^3$ )
$v_{avg}$	คือ	ความเร็วเฉลี่ยของการไหลในห่อ ( $m/s$ )
$\tau_w$	คือ	Wall shear stress เนื้อเยื่อบริเวณรอบผิวห่อด้านใน ( $N/m^2$ )

สำหรับการไหลแบบราบเรียบเต็มห่อนั้น พบว่า ตัวประกอบความเสียดทานขึ้นอยู่กับค่าตัวเลขเรย์โนลด์และไม่ขึ้นอยู่กับความขรุขระ (roughness,  $\varepsilon$ ) ของผิวห่อ ส่วนการไหลแบบปั่นปวนเต็มห่อพบว่า ตัวประกอบความเสียดทานขึ้นอยู่กับค่าตัวเลขเรย์โนลด์และความขรุขระสัมพัทธ์ (relative roughness,  $\varepsilon/D$ ) โดย  $D$  คือ เส้นผ่านศูนย์กลางของห่อ และเขียนตัวประกอบความเสียดทานในรูปดังสมการ (56)

$$f = f \left( \frac{\rho v D}{\mu} \cdot \frac{\varepsilon}{D} \right) = f \left( Re, \frac{\varepsilon}{D} \right) \quad (56)$$

นิคูราดเซอ วิศวกรชาวเยอรมัน ได้ทำการทดลองศึกษาผลกระบวนการของความขรุขระสัมพัทธ์ ( $\varepsilon/D$ ) ขนาดต่างๆ ระหว่าง 0.000985 จนถึง 0.0333 ที่มีต่อการไหลภายในห่อ โดยอาศัยการพ่นเม็ดทรายขนาดต่างๆ ลงบนผิวห่อตามที่กำหนดไว้ เพื่อหาความสัมพัทธ์ของ  $f = f(Re, \varepsilon/D)$  ดังที่ได้กล่าวไว้ข้างต้นความขรุขระสมมูลของผิวห่อใหม่ที่ทำจากวัสดุต่างๆ กำหนดไว้ในตารางที่ 1

### ตารางที่ 1 ความขรุขระสมมูลของผิวท่อที่ทำจากวัสดุต่างๆ

ชนิดวัสดุที่ใช้ทำท่อ	ความขรุขระสมมูล, $\epsilon$ (mm)
เหล็กกล้าตัวทะเข็บหนดย้ำ (riveted steel)	0.9 - 9.0
คอนกรีต	0.3 - 3.0
ห่อไม้ (wood stave)	0.18 - 0.9
เหล็กหล่อ (cast iron)	0.25
ผิวท่อเคลือบสังกะสี	0.15
เหล็กกล้าทั่วไป (wrought iron)	0.046
ท่อรีด (drawn tubing)	0.0015
พลาสติก, แก้ว	0.0

ที่มา: มนตรี (2548)

บลาชิอุส (H. Blasius) นักกอกศาสตร์ของไอลชาวยุโรปนันได้ทำการทดลองกับท่อกลมที่มีผิวเรียบ ( $\epsilon/D = 0$ ) และพิจารณาในช่วงของ  $3000 < Re < 10^5$  จะคำนวณตัวประกอบความเสียดทานได้จากสมการที่ (57)

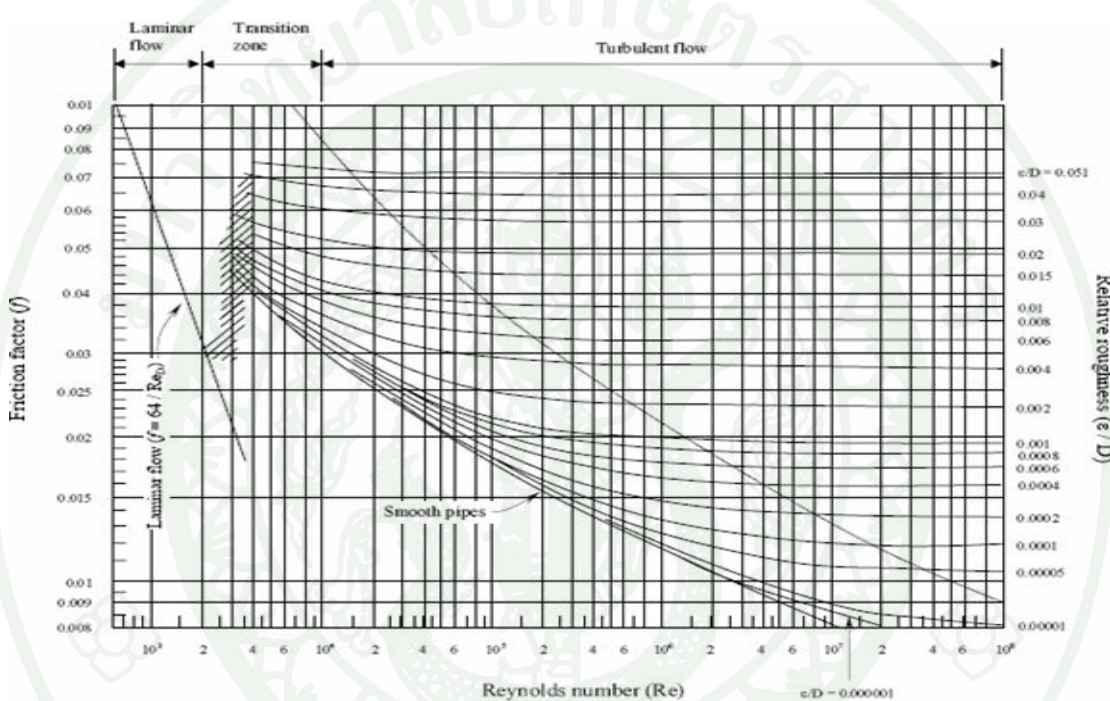
$$f = \frac{0.316}{Re^{1/4}} \quad (57)$$

นอกจากนี้ โคลบຽก (C.F. Colebrook) ได้ค้นพบสมการคำนวณค่าตัวประกอบความเสียดทานสำหรับปริมาณปั๊ปปวนและความขรุขระสมมูลซึ่งจากสมการที่ (58)

$$\frac{1}{\sqrt{f}} = -2 \log \left( \frac{\epsilon}{D} + \frac{2.51}{Re \sqrt{f}} \right) \quad (58)$$

สมการที่ (58) เรียกว่า สมการโคลบຽก และใช้พล็อตเป็นแผนภูมิดังภาพที่ 9 ซึ่งเรียกว่า แผนภูมิมูดี้ (Moody chart) โดยในแผนภูมิมูดี้จะแบ่งเป็น 4 บริเวณ ดังนี้

1. บริเวณรานเริขบ พบว่า  $f$  ขึ้นอยู่กับค่า  $Re$  เท่านั้นและมีความสัมพันธ์ในรูปของ  $f = 64/Re$
2. บริเวณวิกฤต เป็นบริเวณที่ระบุແน่นอนไม่ได้ การไหลเป็นทั้งการไหลแบบรานเริขบ และการไหลแบบปั่นป่วน
3. บริเวณการเปลี่ยนแปลง พบว่า  $f$  ขึ้นอยู่กับ  $Re$  และความชรุของสัมพันธ์ ( $\varepsilon/D$ )
4. บริเวณปั่นป่วน พบว่า  $f$  ขึ้นอยู่กับความชรุของสัมพันธ์ ( $\varepsilon/D$ ) เท่านั้น

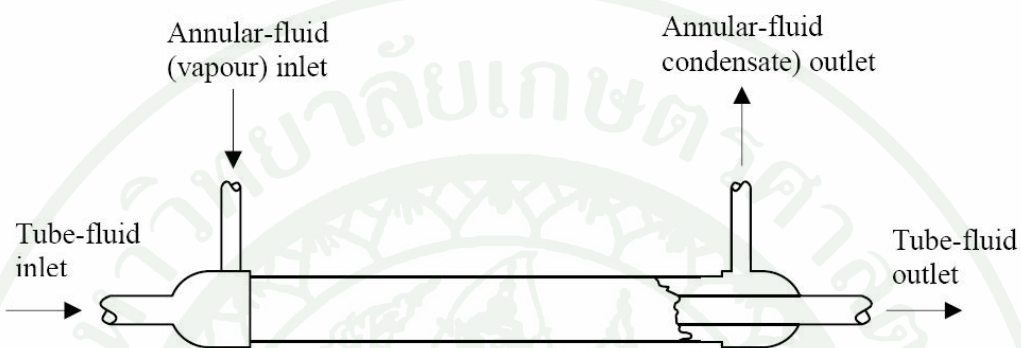


ภาพที่ 9 แผนภูมิใช้หาตัวประกอบความเสียดทาน (Moody chart)

### ทฤษฎีของอุปกรณ์แลกเปลี่ยนความร้อน

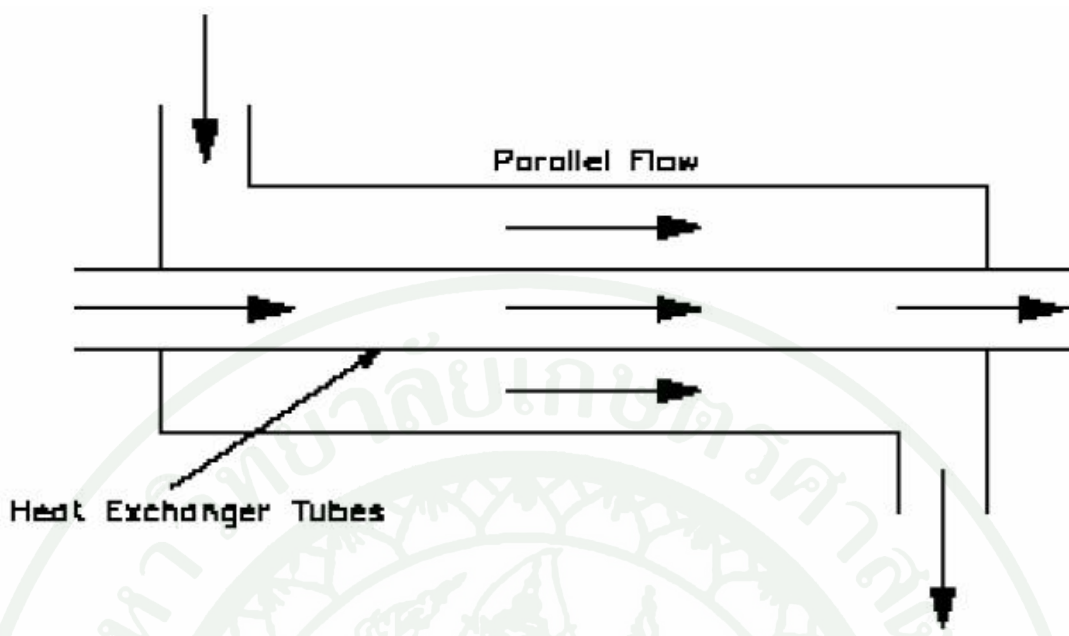
อุปกรณ์แลกเปลี่ยนความร้อน กือ อุปกรณ์ที่ช่วยในการถ่ายเทความร้อนระหว่างของไหล ตั้งแต่ 2 กระแสน้ำที่มีอุณหภูมิแตกต่างกัน โดยมากการถ่ายเทความร้อนที่เกิดขึ้นของของไหล 2 กระแสน้ำในอุปกรณ์แลกเปลี่ยนความร้อนนั้น จะเกิดขึ้นโดยทางอ้อมนั้น กือ ของไหลทั้ง 2 ชนิด จะไม่ได้สัมผัสรหรือผสมกันโดยตรง หากจะเป็นการไหลผ่านท่อหรือช่องทางการไหลซึ่งแยก ของไหลทั้ง 2 กระแสน้ำไม่ให้สัมผัสนกัน อุปกรณ์แลกเปลี่ยนความร้อนนี้มีประโยชน์และได้ถูกนำไปใช้งานอย่างกว้างขวางในงานวิศวกรรม ตัวอย่างที่พบเห็นที่ง่ายที่สุดคืออุปกรณ์แลกเปลี่ยน

ความร้อนที่มีใช้ในรถยนต์ หรือเรียกว่ารังผึ้งน้ำเงิน ในการดึงกล่าวความร้อนจะถูกถ่ายเทจากน้ำร้อนที่ไหลในท่อที่วางตัวด้วยมาโดยใช้อากาศซึ่งมีพัดลมช่วยเป่าให้อากาศไหลผ่านรังผึ้งอากาศจะทำหน้าที่ดึงความร้อนออกจากรังผึ้งน้ำ รูปแบบของอุปกรณ์แลกเปลี่ยนความร้อนชนิดท่อคู่ (**double-pipe heat exchanger**) ดังภาพที่ 10



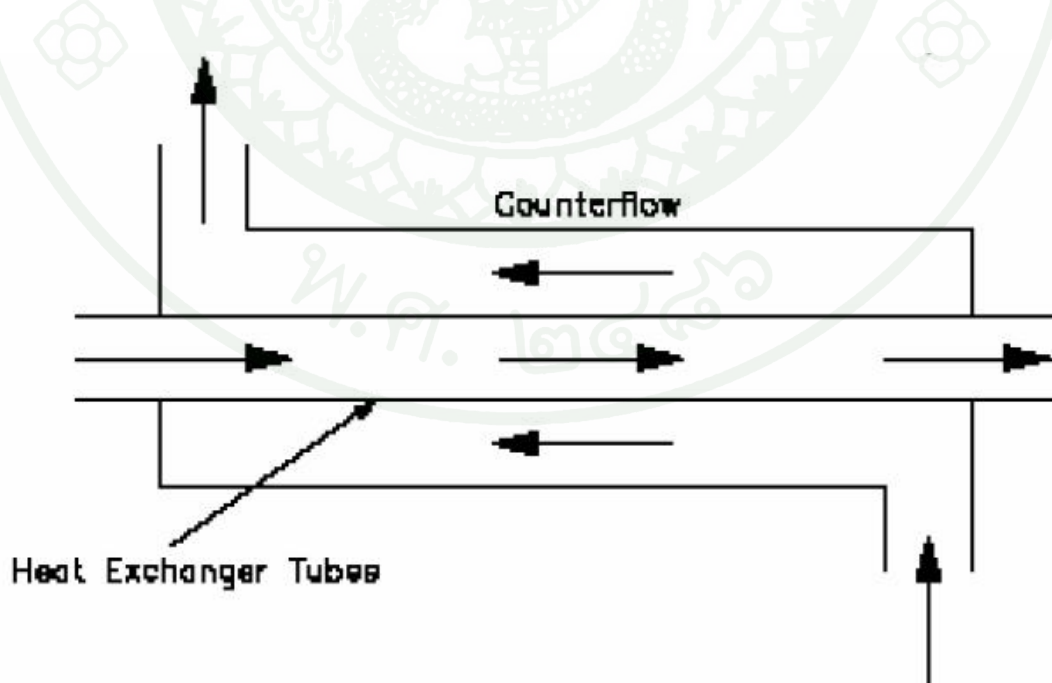
ภาพที่ 10 อุปกรณ์แลกเปลี่ยนความร้อนชนิดท่อคู่ (**double-pipe heat exchanger**)

อุปกรณ์แลกเปลี่ยนความร้อนชนิดท่อคู่จะประกอบด้วยท่อชั้นนอกและท่อชั้นในวงร่วมศูนย์กัน ของไหลกระແສແຮກຈະไหลໃນท่อชั้นໃນໃນขณะທີ່ຂອງไහລອີກຮະແສຈະไහລໃນຊ່ວງວ່າງຮູບວັງແຫວນ (**annular space**) ທີ່ເຫດລືອຮ່ວາງທ່ອຂັ້ນນອກແລະທ່ອຂັ້ນໃນ ນອກຈາກນີ້ຍັງສາມາດກຳທັນດກໄຮລຂອງຂອງໄහລ 2 ກະແສໄຫ້ເປັນແບບນານ (**parallel flow**) ຜຶ່ງຂອງໄහລທີ່ໃນທ່ອຂັ້ນນອກແລະຂັ້ນໃນຈະໄහລເຂົ້າສູ່ອຸປະນົມແລກປັບປຸງຄວາມຮັບທີ່ປາຍທ່ອດ້ານເດີວັກນ ດັງການທີ່ 11 ແລະໄහລໄປໃນທິສາທາງເດີວັກນ ຈນກະທັ້ງອອກຈາກອຸປະນົມແລກປັບປຸງຄວາມຮັບ



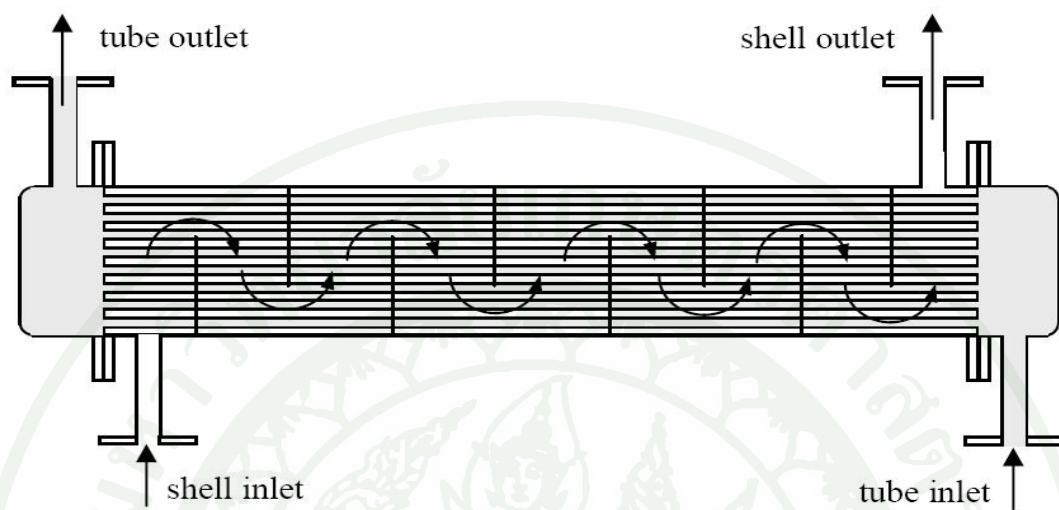
ภาพที่ 11 การไหลแบบขนาน (parallel flow) ในอุปกรณ์แลกเปลี่ยนความร้อนชนิดท่อคู่

หรือยังสามารถกำหนดการไหลของของไอล 2 กระแสให้ไหลในทิศทางที่สวนทางกัน (counter flow) โดยที่ของไอลทั้ง 2 กระแสจะไหลเข้าสู่อุปกรณ์แลกเปลี่ยนความร้อนที่ปลายท่อคันจะฝังกันและไหลสวนทางกันไปตลอดความยาวท่อ ดังภาพที่ 12



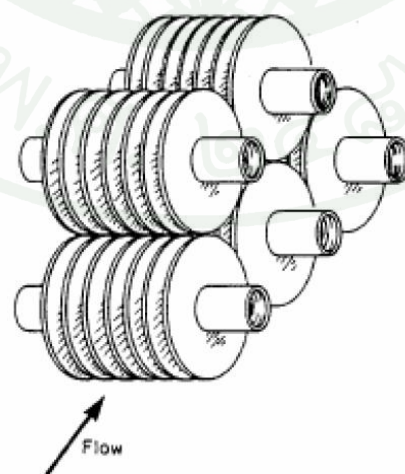
ภาพที่ 12 การไหลแบบสวนทาง (counter flow) ในอุปกรณ์แลกเปลี่ยนความร้อนชนิดท่อคู่

อุปกรณ์แลกเปลี่ยนความร้อนชนิดเปลือกและห่อ (shell and tube exchanger) ประกอบด้วย ทรงกระบอกขนาดใหญ่เป็นเปลือก ซึ่งภายในประกอบด้วยท่อหลายๆ ท่อ ดังภาพที่ 13



ภาพที่ 13 อุปกรณ์แลกเปลี่ยนความร้อนชนิดเปลือกและห่อ (shell and tube exchanger)

อุปกรณ์แลกเปลี่ยนความร้อนแบบไอลต์ตั้งฉาก (cross flow heat exchanger) เป็นอุปกรณ์ที่ ของไอลกระແສහນີ້ ໄຫລດັດຕັບຂໍາມກັນແນວກາ ໄຫລຂອງຂອງໄຫລອີກຮະແສහນີ້ อຸປຽນແລກແປ່ຍນ ຄວາມຮ້ອນໜີນີ້ ສູກນຳໄປໃຊ້ໃນແພົກໂຍ້ນສໍາຮ້ຽນງານປັບອາກາສ ອີ່ອຮັງຜຶ້ງຮະບາຍຄວາມຮ້ອນ ໃນຮອຍນີ້ ດັກພັກທີ 14



ภาพที่ 14 อุปกรณ์แลกเปลี่ยนความร้อนแบบไอลต์ตั้งฉาก (cross flow heat exchanger)

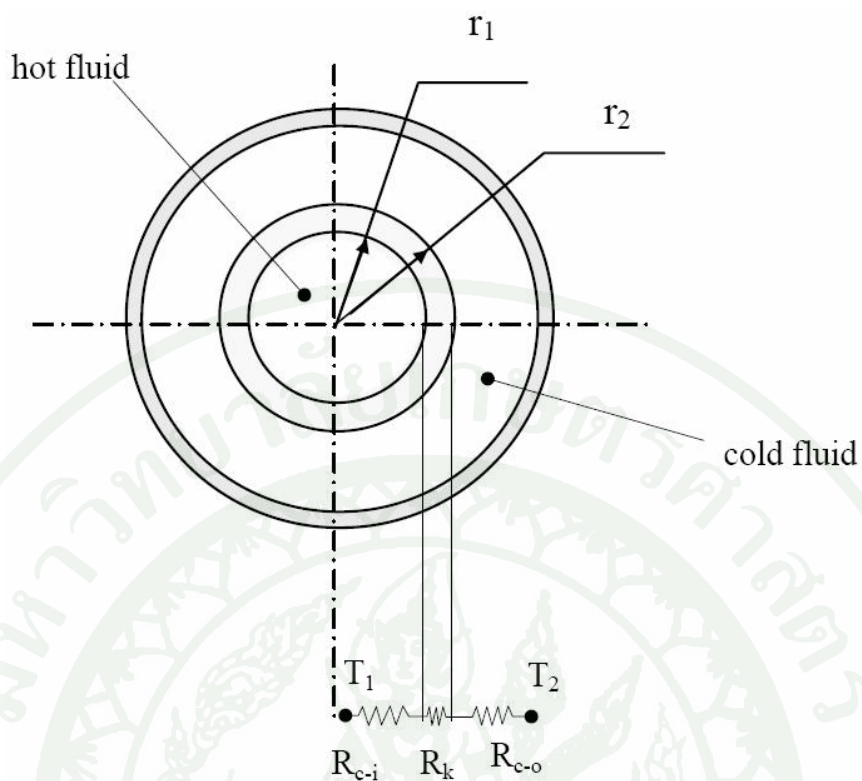
## 1. ค่าสัมประสิทธิ์การถ่ายเทความร้อนรวม (Overall heat transfer coefficient)

อุปกรณ์แลกเปลี่ยนความร้อนนั้นมักจะเกี่ยวข้องกับการไหลของของไอลส่องกระแสที่ถูกแบ่งแยกการไหลออกจากกันด้วยผนังของวัตถุแข็ง การถ่ายเทความร้อนจะเกิดขึ้นโดยการพาความร้อนจากของไอลที่ร้อนกว่าไปที่ผนัง และเกิดการนำความร้อนผ่านผนังค้านที่สัมผัสกับของไอลร้อนไปสู่ผนังอีกด้านของของไอลที่เย็นกว่า จากนั้นเกิดการพาความร้อนจากชั้นของของไอลที่ติดกับผนังไปสู่ของไอลในชั้นที่เย็นกว่าและอยู่ห่างออกไป

พิจารณาอุปกรณ์แลกเปลี่ยนความร้อนดังภาพที่ 15 สมมติให้ของไอลร้อนอุณหภูมิ  $T_1$  ไอลในท่อชั้นในในขณะที่ของไอลที่เย็นกว่าซึ่งมีอุณหภูมิ  $T_2$  ไอลอยู่ในช่องว่างระหว่างท่อชั้นในและท่อชั้นนอก กำหนดให้อุปกรณ์แลกเปลี่ยนความร้อนชนิดท่อคู่ความยาว  $L$

อัตราการถ่ายเทความร้อนระหว่างของไอลทั้งสองกระแสสามารถคำนวณได้จากสมการที่ (59)

$$q = \frac{T_2 - T_1}{R_{c-i} + R_k + R_{c-o}} \quad (59)$$



ภาพที่ 15 ภาพหน้าตัดของอุปกรณ์แลกเปลี่ยนความร้อนชนิดท่อคู่

เมื่อ  $R_{c-i}$  คือ ค่าความต้านทานการพาความร้อน (convective thermal resistance) ระหว่าง ของไหลร้อนกับผนังด้านในของท่อชั้นในที่ของไหลร้อนสัมผัสดอยู่ ดังสมการที่ (60)

$$R_{c-i} = \frac{1}{\bar{h}_{c-i} 2\pi \cdot r_i L} \quad (60)$$

เมื่อ  $R_k$  คือ ค่าความต้านทานการนำความร้อน (conductive thermal resistance) ของวัสดุ ผนังท่อชั้นในสามารถคำนวณได้จากสมการที่ (61)

$$R_k = \frac{\ln(r_2/r_1)}{2\pi k L} \quad (61)$$

เมื่อ  $R_{c-o}$  คือ ความต้านทานการพาความร้อน (convective thermal resistance) ระหว่าง ผนังด้านนอกของท่อชั้นในกับของไหลที่เย็นกว่าที่ไหลสัมผัสดอยู่กับผนังนั้น ดังสมการที่ (62)

$$R_{c-o} = \frac{1}{\bar{h}_{c-o} 2\pi \cdot r_2 L} \quad (62)$$

จากสมการที่ (59) สามารถเขียนให้อยู่ในรูปของค่าสัมประสิทธิ์การถ่ายเทความร้อนรวม (overall heat transfer coefficient, U) ได้ดังสมการที่ (63)

$$q = U_i (2\pi \cdot r_1) (T_2 - T_1) = U_o (2\pi \cdot r_2) (T_2 - T_1) \quad (63)$$

เมื่อ  $U_i$  คือ ค่าสัมประสิทธิ์การถ่ายเทความร้อนรวมที่ผิวต้านในของห้องห่อชั้นใน และ  $U_o$  คือ ค่าสัมประสิทธิ์การถ่ายเทความร้อนรวมที่ผิวต้านนอกของห้องห่อชั้นใน โดยทั่วไปแล้วห้องห่อชั้นในของอุปกรณ์แลกเปลี่ยนความร้อนชนิดห่อชั้น มักจะทำจากวัสดุที่มีค่าสัมประสิทธิ์การนำความร้อนที่สูงและมักจะมีผนังที่บางเพื่อช่วยให้การถ่ายเทความร้อนมีค่าสูง ดังนั้น ค่าของความต้านทานการนำความร้อนของผนังห้องห่อชั้นในจึงมีค่าน้อยมากจนสามารถ忽略ทิ้งได้ ในการวิเคราะห์จึงอาจประมาณได้ว่าขนาดพื้นที่ผิวต้านในและต้านนอกของห้องห่อชั้นในมีค่าเท่ากัน ( $A_1 \approx A_2 \approx A$ ) ดังนั้น สมการคำนวณหาค่าสัมประสิทธิ์การถ่ายเทความร้อนรวมจึงสามารถลดครึ่งได้ ดังสมการที่ (64)

$$\frac{1}{U} = \frac{1}{\bar{h}_{c-i}} + \frac{1}{\bar{h}_{c-o}} \quad (64)$$

อัตราการถ่ายเทความร้อนจึงสามารถคำนวณได้จากสมการที่ (65)

$$q = UA(T_2 - T_1) \quad (65)$$

## 2. แฟกเตอร์ของตะกรัน (Fouling factor)

ค่าสัมประสิทธิ์การถ่ายเทความร้อนรวมที่คำนวณผ่านมาแล้วนั้น ได้มาจากการคำนวณโดยประมาณที่ว่า พื้นผิวของห้องห่อชั้นในมีความสะอาด อย่างไรก็ตามในทางปฏิบัติหลังจากที่อุปกรณ์แลกเปลี่ยนความร้อนผ่านการใช้งานเป็นระยะเวลาหนึ่งแล้วพื้นผิวของห้องห่อชั้นในจะมีความสกปรกเกิดขึ้น โดยมีตะกรันเกาะติดที่พื้นผิว ในการพิจารณาจะถือว่าคราบตะกรันเหล่านี้จะเป็นชั้นของวัสดุที่แทรกอยู่ระหว่างผิวห้องห่อ กับของไหลและค่าความต้านทานความร้อนที่เพิ่มขึ้นมา มีผลต่อการถ่ายเทความร้อน

โดยรวม ค่าความด้านท่านความร้อนที่เพิ่มเข้ามานี้ถูกเรียกว่า แฟกเตอร์ของตะกรัน (fouling factors,  $R_d$ ) โดยค่าตะกรันต่างๆ มีค่าดังตารางที่ 2

### ตารางที่ 2 ค่าแฟกเตอร์ของตะกรัน

ชนิดของของไหล	$R_d \ (m^2 \cdot K / W)$
น้ำ	0.0001 - 0.0002
น้ำมันเครื่องรถยนต์	0.0002
แอลกอฮอล์	0.0001
ไอ้น้ำ	0.0001
สารทำความเย็น (ปืนไอ)	0.0004
สารทำความเย็น (ปืนของเหลว)	0.0002
อากาศ	0.0004
ไอเสีย	0.02

ที่มา: มนตรี (2548)

ค่าสัมประสิทธิ์การถ่ายเทความร้อนรวมสามารถคำนวณได้จากสมการที่ (66)

$$\frac{1}{U} = \frac{1}{U_{clean}} + R_{di} + R_{do} \quad (66)$$

เมื่อพิจารณา  $U_{clean}$  คือ ค่าสัมประสิทธิ์การถ่ายเทความร้อนรวมสำหรับพื้นผิวที่สะอาด  
ปราศจากตะกรัน ( $W / m^2 \cdot K$ )

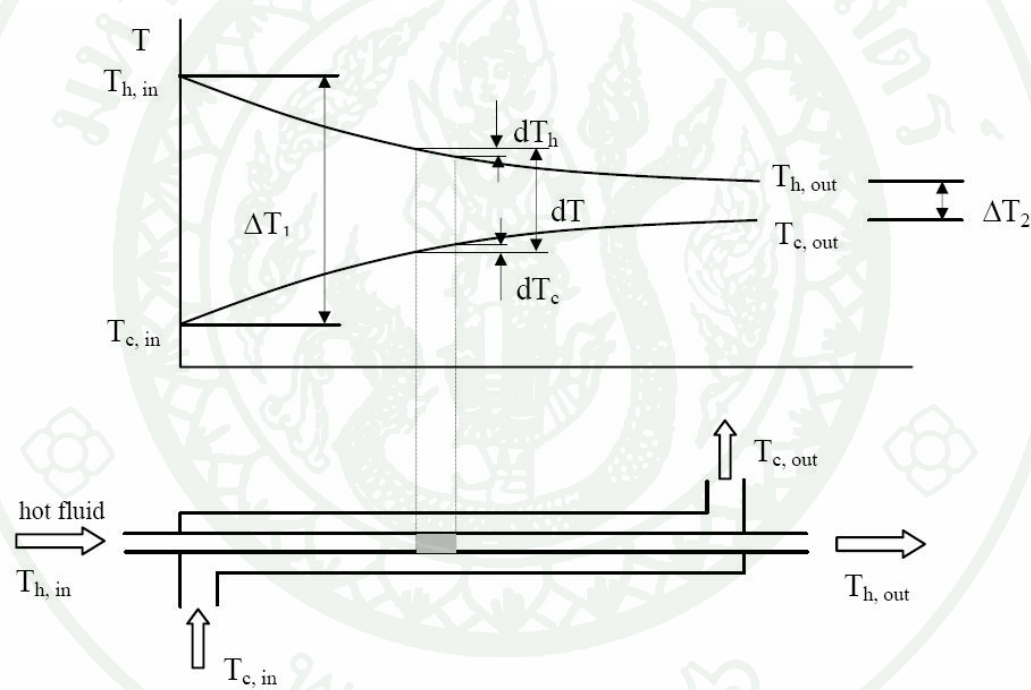
โดย

$R_{di}$  คือ แฟกเตอร์ของตะกรันที่ผิวค้างในของชั้นใน ( $m^2 \cdot K / W$ )

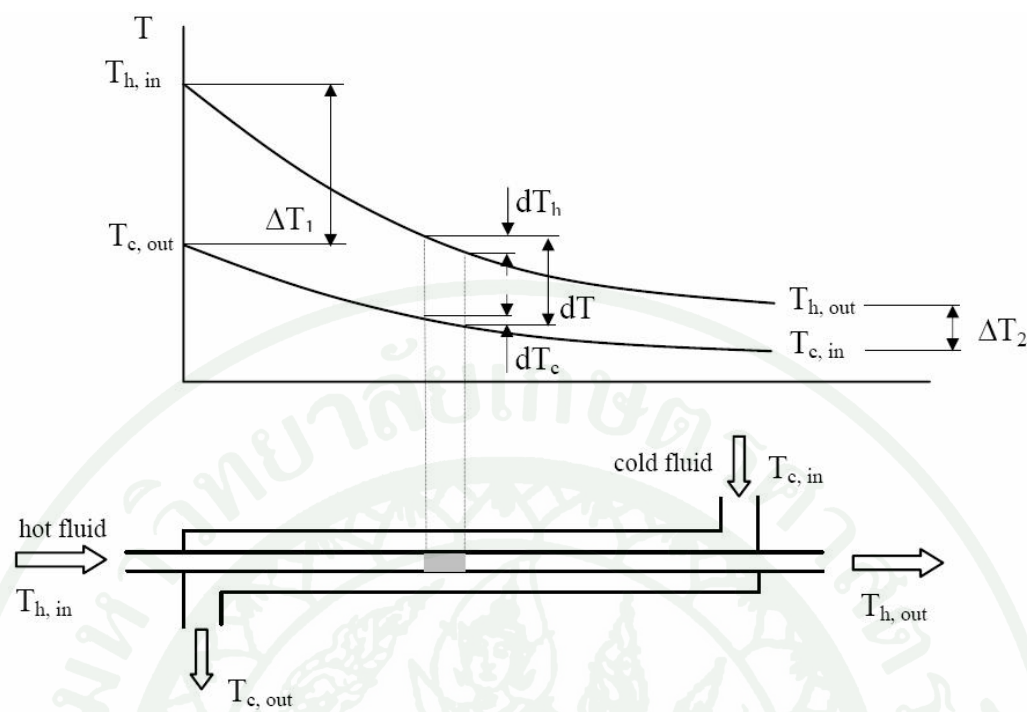
$R_{do}$  คือ แฟกเตอร์ของตะกรันที่ผิวค้างนอกของห้องชั้นใน ( $m^2 \cdot K / W$ )

### 3. ความแตกต่างของอุณหภูมิล็อกเกลี่ย (Log mean temperature difference)

การศึกษาความแตกต่างของอุณหภูมิของของไหหลังกับระบบทางการไหหลังในอุปกรณ์แลกเปลี่ยนความร้อนชนิดท่อคู่และรูปแบบการไหหลังของไหหลังในเครื่องแลกเปลี่ยนความร้อน เช่น เครื่องแลกเปลี่ยนความร้อนชนิดท่อคู่การไหหลังในเครื่องแลกเปลี่ยนความร้อนเป็นการไหแบบขนาน (parallel-flow double-pipe heat exchanger) ดังภาพที่ 16 และ เครื่องแลกเปลี่ยนความร้อนชนิดท่อคู่การไหหลังในเครื่องแลกเปลี่ยนความร้อนเป็นการไหแบบสวนทาง (counter-flow double-pipe heat exchanger) ดังภาพที่ 17



ภาพที่ 16 ความสัมพันธ์ระหว่างอุณหภูมิของของไหหลังกับระบบทางการไหหลังในอุปกรณ์แลกเปลี่ยนความร้อนชนิดท่อคู่โดยการไหหลังของไหเป็นการไหแบบขนาน



ภาพที่ 17 ความสัมพันธ์ระหว่างอุณหภูมิของของไหหลังในอุปกรณ์แลกเปลี่ยนความร้อนชนิดท่อคู่โดยการไหหลังของไหเป็นการไหแบบไหสวนทาง

จากภาพที่ 16 และ 17 แสดงการกระจายตัวของอุณหภูมิของของไหหลังในอุปกรณ์แลกเปลี่ยนความร้อนชนิดท่อคู่ โดยสมมติว่าที่ผิวด้านนอกของท่อชั้นนอกถูกหุ้มด้วยไวน์เพนอย่างดี ทำให้สามารถพิจารณาระบบว่าเป็นแบบเดียวเบติก คือ ไม่มีการสูญเสียความร้อนที่ผิวด้านนอกของชั้นห่อชั้นนอก และหากสมมติให้ในระหว่างหารไหหลังในอุปกรณ์แลกเปลี่ยนความร้อนชนิดท่อคู่ของไหถูกต้องกระแสไม่เกิดการเปลี่ยนแปลงสถานะ (single phase) อัตราการถ่ายเทความร้อนคือ อัตราการดูดซับความร้อนเข้าสู่ของไหกระแสที่มีอุณหภูมิต่ำกว่า ซึ่งมีค่าเท่ากับอัตราการถ่ายเทความร้อนออกจากการไหที่มีอุณหภูมิสูงกว่า

อัตราการดูดซับความร้อนเข้าสู่ของไหที่มีอุณหภูมิต่ำกว่าสามารถคำนวณได้จากสมการที่ (67)

$$q = \dot{m}_c C_{pc} (T_{c,out} - T_{c,in}) \quad (67)$$

อัตราการถ่ายเทความร้อนออกจากของไอลที่มีอุณหภูมิมากกว่าสามารถคำนวณได้จากสมการที่ (68)

$$q = -\dot{m}_h C_{ph} (T_{h,out} - T_{h,in}) \quad (68)$$

หากพิจารณาการถ่ายเทความร้อนที่เกิดขึ้นในปริมาตรควบคุมเล็กๆ ดังภาพที่ 16 และ 17 สามารถคำนวณได้จากสมการที่ (67) และสมการที่ (68)

$$dq = \dot{m}_c C_{pc} dT_c \quad (67)$$

$$dq = -\dot{m}_h C_{ph} dT_h \quad (68)$$

อัตราการถ่ายเทความร้อนที่เกิดขึ้นในปริมาตรควบคุมเล็กๆ นี้ยังมีค่าเท่ากับสมการที่ (69)

$$dq = U dA (T_h - T_c) \quad (69)$$

จากภาพที่ 16 และ 17 กับสมการที่ (67) และ (68) จะสามารถสร้างความสัมพันธ์ได้ดังสมการที่ (70)

$$dT_h - dT_c = d(T_h - T_c)$$

$$= -dq \left( \frac{1}{\dot{m}_h C_{ph}} + \frac{1}{\dot{m}_c C_{pc}} \right) \quad (70)$$

เมื่อรวมสมการที่ (69) และ (70) จะได้สมการที่ (71)

$$\frac{d(T_h - T_c)}{T_h - T_c} = -U dA \left( \frac{1}{\dot{m}_h C_{ph}} + \frac{1}{\dot{m}_c C_{pc}} \right) \quad (71)$$

เมื่อทำการอินติเกตสมการที่ (71) จากซ้ายไปขวาของอุปกรณ์แลกเปลี่ยนความร้อนชนิดท่อคู่จะได้ดังสมการที่ (72)

$$\int_{in}^{out} \frac{d(T_h - T_c)}{T_h - T_c} = -U \left( \frac{1}{\dot{m}_h C_{ph}} + \frac{1}{\dot{m}_c C_{pc}} \right) \int_0^A dA$$

$$\ln \frac{T_{h,out} - T_{c,out}}{T_{h,in} - T_{c,in}} = -UA \left( \frac{1}{\dot{m}_h C_{ph}} + \frac{1}{\dot{m}_c C_{pc}} \right) \quad (72)$$

แทนสมการที่ (67) และ (68) ลงในสมการที่ (72) จะได้สมการที่ (73)

$$\ln \frac{T_{h,out} - T_{c,out}}{T_{h,in} - T_{c,in}} = -UA \left( \frac{(T_{h,in} - T_{h,out}) + (T_{c,in} - T_{c,out})}{q} \right)$$

$$\ln \frac{\Delta T_2}{\Delta T_1} = -UA \left( \frac{\Delta T_1 - \Delta T_2}{q} \right) \quad (73)$$

ดังนั้น อัตราการถ่ายเทความร้อนจึงสามารถเปลี่ยนให้อยู่ในรูปของสมการที่ (74)

$$q = UA \left( \frac{\Delta T_2 - \Delta T_1}{\ln(\Delta T_2 / \Delta T_1)} \right) \quad (74)$$

โดยกำหนดให้พจน์  $\left( \frac{\Delta T_2 - \Delta T_1}{\ln(\Delta T_2 / \Delta T_1)} \right)$  มีชื่อว่า ความแตกต่างของอุณหภูมิล็อกเนลลี่ (log mean temperature difference, LMTD) สามารถคำนวณได้จากสมการที่ (75)

$$q = U \times A \times LMTD \quad (75)$$

วิธีการคำนวณอัตราการถ่ายเทความร้อนโดยใช้ค่าความแตกต่างของอุณหภูมิล็อกเนลลี่นี้ จะถูกใช้ในกรณีที่ทราบค่าอุณหภูมิที่ทุกทางเข้าและออกจากอุปกรณ์แลกเปลี่ยนความร้อนของไหหลังสองกระแต หรือสามารถหาค่าอุณหภูมิดังกล่าวได้จากการสมดุลพัลส์งาน

การวิเคราะห์ทางนาดของอุปกรณ์แลกเปลี่ยน โดยใช้ค่าความแจกจ่ายของอุณหภูมิลือก เนลี่ยสามารถทำได้ตามขั้นตอนดังต่อไปนี้

1. เลือกชนิดของอุปกรณ์แลกเปลี่ยนความร้อนที่เหมาะสมกับงานที่ต้องนำไปประยุกต์ใช้
2. หาค่าอุณหภูมิที่ทุกทางเข้าและออกจากอุปกรณ์แลกเปลี่ยนความร้อนของของไทย
3. คำนวณค่าความแตกต่างของอุณหภูมิลือกเนลี่ย ( $LMTD$ )
4. คำนวณหาค่าสัมประสิทธิ์การถ่ายเทความร้อนรวม ( $U$ )
5. คำนวณหาค่าพื้นที่ผิวที่จำเป็นสำหรับการถ่ายเทความร้อน ( $A$ ) ซึ่งจะเป็นตัวกำหนดขนาดของอุปกรณ์แลกเปลี่ยนความร้อน

### ทฤษฎีของวิธีปริมาตรจำกัดสำหรับพลศาสตร์ของไอลเชิงคำนวณ

**CFD (Computational Fluid Dynamics)** หรือพลศาสตร์ของไอลเชิงคำนวณ คือ กระบวนการในการนำเอาเรเบียบวิธีเชิงตัวเลข (**Numerical Method**) มาประยุกต์ใช้ในการแก้ระบบสมการการเคลื่อนที่ของพลศาสตร์ของไอล (**Fluid Dynamics**) การถ่ายเทความร้อน (**Heat Transfer**) การถ่ายเทมวล (**Mass Transfer**) และอื่นๆ โดยใช้การเขียนโปรแกรมคอมพิวเตอร์ (**Computer Programming**) ช่วยในการคำนวณ โดยลักษณะการไอล การถ่ายเทความร้อน การถ่ายเทมวล และอื่นๆ ทั้งหมดสามารถจำลองผ่านคอมพิวเตอร์เพียงเครื่องเดียวส่วนมากการไอลของของไอลและการถ่ายเทความร้อนจะมีสมการอยู่ในรูป **PDE (Partial Differential Equations)** ซึ่งเป็นสมการอนุพันธ์อันดับต่างๆ และเป็นสมการรูปแบบต่อเนื่องແล็กยากต่อการคำนวณทำให้ต้องทำการเป็นรูปแบบไม่ต่อเนื่อง หรือสมการเชิงพิชณิตเพื่อความง่ายต่อการคำนวณ โดยอาศัยวิธีปริมาตรจำกัดมาช่วยในการเปลี่ยนสมการที่มีรูปแบบต่อเนื่องไปเป็นสมการเชิงพิชณิต

ประโยชน์ของ CFD นั้น มีทั้งสำหรับวงการวิศวกรรมศาสตร์และวิทยาศาสตร์ ตัวอย่างของประโยชน์ของ CFD ในวงการวิศวกรรมศาสตร์นั้นคือ การใช้ CFD ในการช่วยลดค่าใช้จ่ายและเวลาในการออกแบบและปรับปรุงผลิตภัณฑ์ใหม่ โดยสามารถเปลี่ยนรูปทรงและสภาพต่างๆ ได้จากคอมพิวเตอร์โดยตรง ขณะนี้ CFD จึงเป็นกระบวนการที่ช่วยเสริมกระบวนการทดลอง ไม่ใช่กระบวนการที่มาแทนที่กระบวนการทดลองทั้งหมด ประโยชน์ของ CFD ในวงการวิศวกรรมศาสตร์นอกเหนือจากการช่วยลดค่าใช้จ่ายและเวลาในการออกแบบแล้วกระบวนการ CFD ยังสามารถช่วยลดความเสี่ยง และความเป็นไปไม่ได้บางประการของกระบวนการทดลอง เช่น การจำลองระบบที่ใหญ่และซับซ้อน การจำลองระบบที่มีสภาวะแวดล้อมที่อันตราย

บทบาทของ CFD ในวงการอุตสาหกรรม คือ การเพิ่มขีดความสามารถในการแข่งขัน เพื่อออกแบบ พัฒนาปรับปรุง และการทำ optimization ผลิตภัณฑ์และกระบวนการผลิต เนื่องจาก CFD สามารถช่วยลดค่าใช้จ่าย เวลา และความเสี่ยง ที่อาจจะเกิดขึ้นได้จากการทดลองจริง โดยขั้นตอนของ CFD มีดังต่อไปนี้

### 1. ขั้นตอนก่อนการคำนวณ

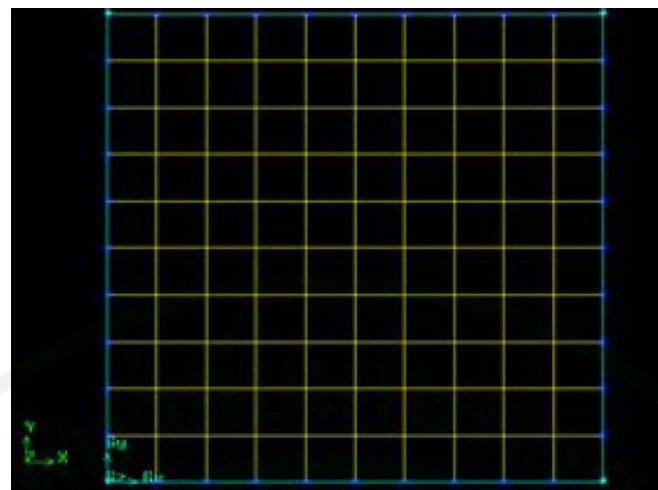
ขั้นตอนนี้จะเป็นการกำหนดปัญหาของการไหล โดยในแต่ละซอฟต์แวร์จะมีการรับค่า ต่างๆ ในรูปแบบที่แตกต่างกันออกໄປ โดยส่วนใหญ่จะออกแบบให้ง่ายต่อการใช้งาน เช่น มีหน้าต่างแสดงข้อมูลต่างๆ ที่ต้องการในการคำนวณและให้ทำการใส่ค่า โดยเมื่อทำการค่าตัวแปร ต่างๆ ที่ซอฟต์แวร์จำเป็นต้องใช้ในการคำนวณแล้ว ซอฟต์แวร์จะนำข้อมูลที่ผู้ใช้กรอกมาทำการจัดรูปแบบให้เหมาะสม เพื่อใช้ในขั้นตอนการคำนวณต่อไป

### 2. การสร้างขอบเขตของปัญหาที่ต้องการศึกษา

ขั้นตอนนี้คือ การสร้างรูปทรงภายนอกของบริเวณที่ต้องการจะศึกษา โดยส่วนใหญ่แล้ว ขั้นตอนนี้จะใช้ซอฟต์แวร์เฉพาะทาง CAD (Computer-Aided Design) เช่น AutoCAD, Pro/Engineer หรือ Solid work ในการสร้างขอบเขต (Domain) ของปัญหาที่ต้องการศึกษา เช่น ถ้าต้องการศึกษาการไหลผ่านลำตัวรถ妍ต์ ก็จะต้องใช้โปรแกรม CAD เพื่อนำมาใช้ในการสร้างรูปทรงภายนอกของรถ妍ต์และขอบเขตของการไหลรอบตัวรถ妍ต์ก่อน เป็นต้น

### 3. การสร้างกริด (Grid Generation)

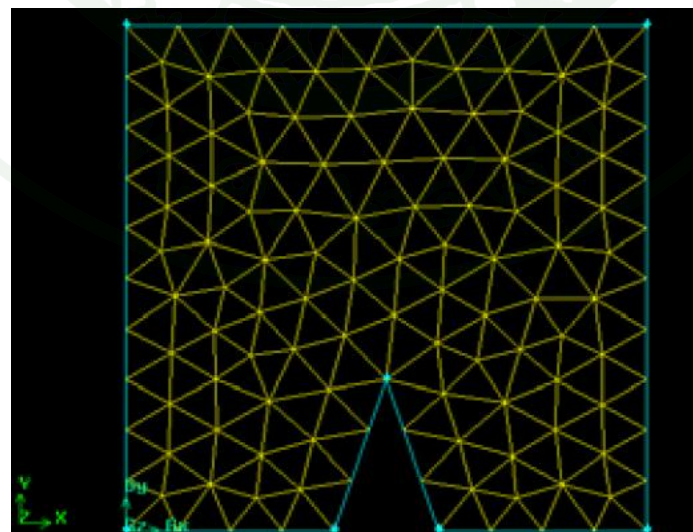
ขั้นตอนนี้คือ ขั้นตอนในการสร้างตำแหน่งให้แต่ละจุดกริด ภายในบริเวณขอบเขตของปัญหาที่ต้องการศึกษา ซึ่งขอบเขตนี้ถูกสร้างขึ้นไว้จากโปรแกรม CAD โดยตัวแปรต่างๆ ที่เราสนใจ เช่น ความเร็ว อุณหภูมิ และความดัน จะถูกเก็บไว้ในแต่ละจุดกริดที่กระจายตัวอยู่ภายในขอบเขตนี้ การสร้างกริดนี้สามารถแบ่งออกได้เป็น 2 ประเภทใหญ่ๆ ตามลักษณะของกริด คือ กริดแบบมีโครงสร้าง (Structured Grid) ดังภาพที่ 18



ภาพที่ 18 กริดแบบมีโครงสร้าง (Structured Grid)

กริดแบบมีโครงสร้างนี้ จะมีการกระจายตัวที่เป็นระเบียบโครงสร้างของกริดจะเป็นรูปสี่เหลี่ยมสามารถใช้งานง่าย ไม่ซับซ้อน ไม่ใช้หน่วยความจำของคอมพิวเตอร์มาก และใช้เวลาในการประมวลผลไม่นาน อย่างไรก็ตามกริดแบบมีโครงสร้างนี้เหมาะสมกับปัญหาที่มีรูปร่างของขอบเขตไม่ซับซ้อนมากเกินไปนัก เนื่องจากข้อจำกัดทางโครงสร้างที่เป็นระเบียบของกริด

กริดอิกลักษณะหนึ่ง คือ กริดแบบไม่มีโครงสร้าง (Unstructured Grid) โดยตัวกริดแบบไม่มีโครงสร้างจะมีโครงสร้างเป็นรูปสามเหลี่ยม ดังภาพที่ 19



ภาพที่ 19 กริดแบบไม่มีโครงสร้าง (Unstructured Grid)

กริดแบบไม่มีโครงสร้างนั้นหมายความว่าสมกับปัญหาที่มีรูปร่างของขอบเขตที่ซับซ้อน เนื่องจากสามารถถ่วงกระจาด์ตัวของกริดได้เป็นอิสระตามรูปร่างของขอบเขตที่ต้องการศึกษา เนื่องจากโครงสร้างของกริดนั้นสามารถเข้าถึงในส่วนที่ซับซ้อนของปัญหาแต่กริดแบบไม่มีโครงสร้างนั้นใช้หน่วยความจำในคอมพิวเตอร์ที่มากกว่าและใช้เวลาในการคำนวณที่นานกว่ากริดแบบมีโครงสร้าง

ขั้นตอนการสร้างกริดนี้มีผลต่อความถูกต้องของผลการคำนวณจาก CFD เป็นอย่างมาก โดยความถูกต้องของผลการคำนวณที่ได้จาก CFD นั้นขึ้นอยู่กับกริดในบริเวณที่สนใจ คือ ถ้าใช้จำนวนกริดที่มากขึ้นก็จะได้ผลการคำนวณที่ถูกต้องแม่นยำขึ้น แต่การใช้จำนวนกริดที่มากนั้นจะต้องใช้เวลา และกำลังคอมพิวเตอร์ในการคำนวณที่สูงขึ้น ดังนั้น จึงต้องทำการแบ่งจำนวนกริดให้มีประสิทธิภาพสูงสุด โดยจะใช้กริดแบบไม่มีรูปลักษณะ (Non-Uniform Grid) หรือกริดที่มีการอัดตัว (Clustered Grid) เพื่อที่จะทำการแบ่งบริเวณที่เกิดการเปลี่ยนแปลงสูงให้มีความละเอียดมาก และทำการแบ่งกริดแต่เพียงหยาบๆ ในส่วนของบริเวณที่มีการเปลี่ยนแปลงน้อยการคำนวณการในลักษณะนี้ทำให้เกิดวิธีที่จะพัฒนาซอฟต์แวร์ CFD ให้มีประสิทธิภาพเพิ่มขึ้นอีกระดับหนึ่ง เรียกว่า วิธีการสร้างกริดแบบสามารถปรับตัวได้เองเพื่อให้เหมาะสมกับลักษณะการไหล (Adaptive Grid) โดยหลักการทำงาน คือ ซอฟต์แวร์สามารถตรวจสอบจังหวะการเปลี่ยนแปลงในบริเวณต่างๆ ระหว่างการคำนวณและทำการปรับปรุงกริดเดิมให้มีความละเอียดขึ้นในบริเวณนั้นๆ

ขั้นตอนการสร้างกริดนี้อาจเป็นสิ่งที่ผู้พัฒนาซอฟต์แวร์ CFD ต่างๆ ให้ความสำคัญมากเนื่องจากในการวิเคราะห์ทางอุตสาหกรรม โดยการใช้ CFD นั้นใช้เวลาในการคำนวณการสร้างกริดถึงครึ่งหนึ่งของเวลาที่ใช้ในขั้นตอนการคำนวณการทั้งหมด ดังนั้น ซอฟต์แวร์ CFD ส่วนใหญ่จึงมีความสามารถในการสร้างกริดในตัวของโดยสามารถอ่านค่าข้อมูลขอบเขตต่างๆ จากโปรแกรมออกแบบสำเร็จรูปที่เป็นที่นิยมใช้งานต่างๆ

#### 4. การกำหนดคุณสมบัติทางกายภาพของสภาพแวดล้อม

ขั้นตอนนี้คือ การกำหนดลักษณะการไหลที่ต้องการจะพิจารณา เช่น

- มิติของการไหล 1 มิติ, 2 มิติ, 3 มิติ
- รูปแบบของการไหล การไหลแบบรูมเรียน (Laminar flow) หรือ การไหลแบบปั่นป่วน (Turbulent flow)

- การ ไหลที่ไม่มีการเปลี่ยนแปลงตามเวลา (**Steady flows**) หรือ การ ไหลที่มีการเปลี่ยนแปลงตามเวลา (**Unsteady flows**)
  - การ ไหลที่ไม่มีการอัดตัว (**Incompressible flows**) หรือ การ ไหลที่มีการอัดตัว (**Compressible flows**)
    - การ ไหลที่มีสถานะเดียว (**Single-phase flows**) หรือ การ ไหลที่มีหลายสถานะ (**Multi-phase flows**)
      - การ ไหลที่ไม่มีปฏิกิริยาเคมี (**Inert flows**) หรือ การ ไหลที่มีปฏิกิริยาเคมี (**Reacting flows**) เป็นต้น

## 5. การกำหนดค่าคุณสมบัติต่าง ๆ ของของไหล

ขั้นตอนนี้คือ การกำหนดค่าว่างของ ไหลที่พิจารณาเป็นของ ไหลชนิดใด มีค่าความหนาแน่น (**Density**) และความหนืด (**Viscosity**) เท่าไร เป็นต้น

## 6. การกำหนดเงื่อนไขเริ่มต้นและเงื่อนไขขอบ

การกำหนดเงื่อนไขเริ่มต้น (**Initial Conditions**) และ เงื่อนไขขอบ (**Boundary Conditions**) เป็นการกำหนดลักษณะเฉพาะของแต่ละปัญหาที่ต้องการจะศึกษาและวิเคราะห์การกำหนดเงื่อนไขเริ่มต้นนั้นเป็นการกำหนดค่าเริ่มต้นให้แต่ละตัวแปรที่เราสนใจสำหรับจุดกริดทุกจุดในขอบเขตที่ศึกษา ซึ่งการกำหนดเงื่อนไขเริ่มต้นจะมีความสำคัญต่อการคำนวณมากถ้าปัญหาที่ศึกษานั้นมีการเปลี่ยนแปลงขึ้นอยู่กับเวลา (**Unsteady flows**)

ส่วนการกำหนดเงื่อนไขขอบนั้น คือ การกำหนดค่าตัวแปร หรือเงื่อนไขการกระจายตัวของตัวแปรบนขอบทั้ง 4 ด้านของขอบเขตที่เราสนใจจะศึกษาในกรณีที่การ ไหลที่สนใจเป็น 2 มิติ เป็นต้น ซึ่งการกำหนดเงื่อนไขขอบนั้น มีความสำคัญต่อความถูกต้องของผลการคำนวณเป็นอย่างมาก โดยการกำหนดเงื่อนไขขอบนั้น เราจะต้องกำหนดให้ถูกต้องตามหลักความเป็นจริง เงื่อนไขขอบที่เป็นที่นิยมใช้นั้นมี 4 แบบใหญ่ๆ ดังนี้

เงื่อนไขขอบทางเข้า (**Inlet**) ค่าที่กำหนดที่ขอบทางเข้าส่วนใหญ่จะได้มาจากการวัดค่าของตัวแปรที่ต้องการกำหนดล่วงหน้าที่ขอบ ซึ่งส่วนใหญ่แล้ว ค่าที่กำหนดตรงขอบทางเข้าจะเป็นค่าความเร็วและอุณหภูมิ

เงื่อนไขทางออก (**Outlet**) เงื่อนไขที่กำหนดตรงขอบทางออกส่วนใหญ่แล้วจะใช้เงื่อนไขของการไม่มีการเปลี่ยนแปลงของตัวแปรระหว่าง 2 จุดกริดที่อยู่ติดกันตรงบริเวณทางออก

เงื่อนไขขอบที่พื้นผิว (**Wall**) ส่วนใหญ่แล้ว จะกำหนดให้ค่าของตัวแปรที่ผิวมีค่าเท่ากับศูนย์

เงื่อนไขขอบที่ระนาบสมมาตร (**Symmetry**) เงื่อนไขขอบที่ระนาบสมมาตร คือ การกำหนดให้ไม่มีการเปลี่ยนแปลงของตัวแปรระหว่าง 2 จุดกริดที่อยู่ติดกันตรงบริเวณระนาบสมมาตร และกำหนดให้ความเร็วที่มีพิกัดตั้งจากกับระนาบสมมาตรมีค่าเท่ากับศูนย์ตรงขอบของระนาบสมมาตร

## 7. การจัดรูปสมการให้เหมาะสมกับปัญหาที่กำลังพิจารณา

ขั้นตอนนี้คือ การจัดรูปสมการเชิงอนุพันธ์ย่อย (**Partial Differential Equations**) ซึ่งเป็นสมการที่ใช้อธิบายลักษณะการไหลและการถ่ายเทความร้อน ให้อยู่ในรูปแบบที่เหมาะสมกับสถานการณ์ที่กำลังพิจารณาอยู่

## 8. การทำให้สมการมีรูปแบบไม่ต่อเนื่อง (**Discretisation**)

การทำให้สมการมีรูปแบบไม่ต่อเนื่อง (**Discretisation**) คือ การแปลงสมการเชิงอนุพันธ์ย่อยซึ่งเป็นสมการที่มีรูปแบบต่อเนื่องให้เป็นสมการเชิงพีชคณิต (**Algebraic Equations**) ที่มีรูปแบบไม่ต่อเนื่อง เพื่อให้เหมาะสมกับการใช้ในโปรแกรมคอมพิวเตอร์ วิธีการทำให้สมการไม่ต่อเนื่อง มีอยู่หลายวิธีในปัจจุบัน แต่วิธีที่เป็นที่นิยมใช้ในการแก้ปัญหาทางของไหลและการถ่ายเทความร้อน คือ วิธีปริมาตรจำกัด (**Finite Volume Method**) เนื่องจากวิธีนี้เป็นวิธีที่ไม่มีความซับซ้อนทางคณิตศาสตร์เท่าวิธีไฟไนต์อิลิเมนต์ (**Finite Element Method**) ซึ่งเป็นที่นิยมในการศึกษาปัญหาทางกลศาสตร์ของแม่น้ำ ทั้งนี้ สมการการเคลื่อนที่ทางของไหลและการถ่ายเทความร้อนมีความซับซ้อนทางคณิตศาสตร์มากกว่าสมการของกลศาสตร์ของแม่น้ำอยู่แล้ว เนื่องจากพจน์การพานิสมการ

มีลักษณะไม่เชิงเส้น และความไม่เชิงเส้นนี้จะเด่นชัดขึ้นเมื่อการไหลเป็นการไหลแบบปั่นป่วน ดังนั้น วิธีปริมาตรจำกัดซึ่งมีความซับซ้อนทางคณิตศาสตร์น้อยกว่าจึงเป็นที่นิยมใช้กับปัญหาทางของไหลและการถ่ายเทความร้อนมากกว่าวิธีไฟแนต์อเลิมента นอกจากนี้วิธีปริมาตรจำกัดเป็นวิธีที่ถูกพิสูจน์แล้วว่าเป็นไปตามกฎหมายอนุรักษ์ (Conservation Laws) จึงทำให้วิธีนี้เป็นวิธีที่เหมาะสมกับการแก้สมการทางของไหลและการถ่ายเทความร้อน ซึ่งอนุรักษ์ได้ด้วยสมการกฎหมาย สมการอนุรักษ์ไม่ เมนตัม และสมการอนุรักษ์พลังงาน

## 9. วิธีการหาผลเฉลย

วิธีการหาผลเฉลย คือการแก้ระบบสมการพิชคณิต หรือระบบสมการปริมาตรจำกัดด้วยระเบียบวิธีเชิงตัวเลข (Numerical Methods) ต่างๆ เช่น ระเบียบวิธีเชิงตัวเลขแบบตรง (Direct Methods) และระเบียบวิธีเชิงตัวเลขแบบทำซ้ำ (Iterative Methods) โดยวิธีการหาผลเฉลยที่นิยมใช้ในการแก้ระบบสมการพิชคณิตใน CFD คือ ระเบียบวิธีเชิงตัวเลขแบบทำซ้ำ เนื่องจากวิธีนี้ใช้หน่วยความจำในการคำนวณน้อยกว่าระเบียบวิธีเชิงตัวเลขแบบตรง (Direct Methods) มาก

## 10. แบบจำลองความปั่นป่วนของการไหล (Turbulence Models)

แบบจำลองความปั่นป่วนของการไหล (Turbulence Models) เป็นแบบจำลองทางคณิตศาสตร์ สำหรับจำลองความปั่นป่วนที่เกิดขึ้นในการไหล โดยแบบจำลองความปั่นป่วนของการไหลมีผลต่อความถูกต้องของโปรแกรมคอมพิวเตอร์ CFD เป็นอย่างมาก ซึ่งแบบจำลองความปั่นป่วนที่มีอยู่ในปัจจุบันสามารถใช้ได้กับปัญหาส่วนใหญ่ทางวิศวกรรม ยกเว้นบางปัญหาที่มีความซับซ้อนมากๆ

## 11. การพัฒนาโปรแกรมคอมพิวเตอร์เพื่อหาผลเฉลยจากสมการพิชคณิต

การพัฒนาโปรแกรมคอมพิวเตอร์เป็นส่วนที่ช่วยให้การหาผลเฉลยได้เร็วขึ้นและทำให้สามารถคำนวณปัญหาที่มีขนาดใหญ่และมีจำนวนข้อมูลมากได้ โดยภาษาทางคอมพิวเตอร์ที่เป็นที่นิยมในการใช้เขียนโปรแกรมคอมพิวเตอร์ทาง CFD เช่น ภาษา Fortran, ภาษา C และโปรแกรม Matlab เป็นต้น

## 12. ขั้นตอนหลังการคำนวณ

ขั้นตอนหลังการคำนวณ คือ การแสดงผลการคำนวณจากชุดข้อมูลดิบที่ได้มาจากการแก้ระบบสมการพิเศษโดยใช้เบียนวิชีเชิงตัวเลขแบบทำสำนัก มาแสดงในรูปแบบต่างๆ เพื่อให้การวิเคราะห์ผลลัพธ์เจนน์ โดยซอฟต์แวร์ CFD ที่นิยมใช้กันส่วนใหญ่สามารถแสดงผลได้ในหลายรูปแบบขึ้นอยู่กับวัตถุประสงค์ที่จะนำข้อมูลนั้นไปใช้งาน เช่น เวกเตอร์ (Vector) ของความเร็วภายในบริเวณขอบเขตที่พิจารณาเพื่อแสดงทิศทางของการไหล, คอนทัวร์ (Contour) ซึ่งแสดงค่าเป็นลักษณะลำดับสีที่เท่ากันของความเร็วหรือความดัน หรือเส้นกราฟ (Graph) ซึ่งแสดงความสัมพันธ์ของตัวแปรต่างๆ ที่สนใจ นอกเหนือนี้ซอฟต์แวร์ CFD ยังพัฒนาเครื่องมือต่างๆ ในการแสดงผล เช่น สามารถแสดงผลที่ละเอียด และสามารถย่อขยายหรือหมุนในส่วนบริเวณที่สนใจได้

### ทฤษฎีการเคลื่อนที่ของไอน้ำโดยทั่วไป

#### 1. การไอลแบบรวมเรียบและการไอลแบบปั่นป่วน

การไอลแบบปั่นป่วน (Turbulent Flows) เป็นการไอลที่พบได้ทั่วไปในธรรมชาติและในทางวิศวกรรม ความปั่นป่วนของการไอลมีทั้งข้อดีและข้อเสีย โดยขึ้นอยู่กับลักษณะการใช้งาน กล่าวคือ ความปั่นป่วนของการไอลทำให้มีการถ่ายเทความร้อนได้ดีขึ้นในอุปกรณ์ถ่ายเทความร้อน (Heat Exchangers) แต่ความปั่นป่วนของการไอลทำให้ความดันภายในห้องคลังมากขึ้น ดังนั้น อุปกรณ์ถ่ายเทความร้อนมักจะถูกออกแบบให้เป็นการไอลแบบปั่นป่วน แต่การไอลภายในห้องคลังจะถูกควบคุมไม่ให้เกิดความปั่นป่วนขึ้น หรืออีกนัยหนึ่งก็คือ การไอลภายในห้องคลังจะเป็นการไอลแบบรวมเรียบ (Laminar Flows) เป็นต้น

ลักษณะของการไอลแบบปั่นป่วนต่างกับลักษณะของการไอลแบบรวมเรียบ คือ การไอลแบบปั่นป่วน เป็นการไอลที่มีลักษณะไม่เป็นระเบียบ มีการแพร่กระจายของการไอลได้เร็วกว่า โดยความปั่นป่วนจะมีค่าน้อยลงเรื่อยๆ เมื่อเวลาผ่านไป และเกิดขึ้นที่ค่าเรย์โนลด์ (Reynolds Number) ที่สูงกว่าการไอลแบบรวมเรียบ ตัวอย่างของการไอลแบบรวมเรียบ และการไอลแบบปั่นป่วน คือ ลักษณะการไอลของน้ำที่ออกมาจากก๊อกน้ำตามบ้านทั่วไป การไอลของน้ำมีลักษณะเป็นการไอลแบบรวมเรียบเมื่อน้ำถูกปิดด้วยความเร็วต่ำ และการไอลของน้ำมีลักษณะเป็นการไอลแบบปั่นป่วนเมื่อน้ำถูกปิดด้วยความเร็วที่สูงขึ้น เป็นต้น

## 1.1 สมการการเคลื่อนที่ของการ ไอลแบบรานเรียน

สมการการเคลื่อนที่ของการ ไอลแบบรานเรียนนั้น ประกอบไปด้วย สมการกฎทรงมวล หรือเรียกอีกชื่อหนึ่งว่า สมการความต่อเนื่อง (**Continuity Equation**) และสมการ โนมเมนตัม โดยทั่งสองสมการนี้เป็นสมการที่มีพื้นฐานมาจากกฎทางฟิสิกส์ คือ กฎของการอนุรักษ์มวล และ โนมเมนตัม ตามลำดับ โดยการ ไอลที่เราสนใจในที่นี้คือ การ ไอลที่ไม่เปลี่ยนแปลงตามเวลาและ ไม่อัดตัว (**Steady Incompressible Flows**) ดังนั้น สมการการเคลื่อนที่ของการ ไอลในที่นี้ทั้งหมด เป็นสมการการเคลื่อนที่สำหรับการ ไอลที่ไม่เปลี่ยนแปลงตามเวลาและ ไม่อัดตัวเท่านั้น

สมการการเคลื่อนที่ของการ ไอลทั้งแบบรานเรียนและแบบปั่นป่วน สามารถเขียนอยู่ ในคลาบรูปแบบทางคณิตศาสตร์ เช่น ในรูปของพิกัดคาร์ทีเซียน (**Cartesian Coordinates**) ในรูป ของเมตริกส์ (**Metric**) หรือในรูปของเทนเซอร์ (**Tensor**) เป็นต้น ในที่นี้สมการการเคลื่อนที่ของ การ ไอลแบบรานเรียนจะถูกเขียนทั้งอยู่ในรูปของพิกัดคาร์ทีเซียน และในรูปของเทนเซอร์ โดยหลักการใช้เทนเซอร์แบบคร่าวๆ

- ถ้าตัวห้อย (**Index**) ซ้ำกัน ให้นำตัวห้อยที่เป็นไปได้ทั้งหมดมาบวกกัน เช่น

$$a_i \frac{\partial b}{\partial x_i} = a_1 \frac{\partial b}{\partial x_1} + a_2 \frac{\partial b}{\partial x_2} + a_3 \frac{\partial b}{\partial x_3} \quad (76)$$

- ถ้าตัวห้อยไม่ซ้ำกัน ให้เขียนตัวห้อยที่เป็นไปได้ทั้งหมดแยกกัน เช่น

$$\begin{aligned} a_i \frac{\partial b}{\partial x_j} &= a_1 \frac{\partial b}{\partial x_1}, a_1 \frac{\partial b}{\partial x_2}, a_1 \frac{\partial b}{\partial x_3}, \\ &a_2 \frac{\partial b}{\partial x_1}, a_2 \frac{\partial b}{\partial x_2}, a_2 \frac{\partial b}{\partial x_3}, \\ &a_3 \frac{\partial b}{\partial x_1}, a_3 \frac{\partial b}{\partial x_2}, a_3 \frac{\partial b}{\partial x_3} \end{aligned} \quad (77)$$

สมการกฎทรงมวลในรูปของเทนเซอร์สามารถเขียนได้ดังสมการ (78)

$$\frac{\partial U_i}{\partial x_i} = 0 \quad (78)$$

สมการ โมเมนตัมในรูปของเทนเซอร์สามารถเขียนได้ดังสมการ (79)

$$\underbrace{\frac{\partial U_i U_j}{\partial x_j}}_{convection\ term} + \underbrace{\frac{1}{\rho} \frac{\partial \tau_{ij}}{\partial x_j}}_{diffusion\ term} + \underbrace{\frac{1}{\rho} \frac{\partial P}{\partial x_i}}_{source\ term} = 0 \quad (79)$$

จะเห็นได้ว่า สมการการเคลื่อนที่ของ โมเมนตัมสำหรับการ ไอลแบบรานเรย์น ประกอบไปด้วยสามพจน์คือ พจน์การพา (Convection Term) พจน์การแพร่ (Diffusion Term) และ พจน์การกำนิด (Source Term) โดย

$$\tau_{ij} = -\mu \left\{ \frac{\partial U_j}{\partial x_i} + \frac{\partial U_i}{\partial x_j} \right\} \quad (80)$$

## 1.2 สมการการเคลื่อนที่ของการ ไอลแบบปั่นป่วน

สมการการเคลื่อนที่ของการ ไอลแบบปั่นป่วนนี้ ประกอบไปด้วย สมการกฎทรงมวล และสมการ โมเมนตัม เช่นเดียวกับการ ไอลแบบรานเรย์น แต่ด้วยลักษณะที่ต่างกันของการ ไอลแบบรานเรย์นและการ ไอลแบบปั่นป่วน ที่ทำให้สมการการเคลื่อนที่ของการ ไอลแบบปั่นป่วนต่างจาก สมการการเคลื่อนที่ของการ ไอลแบบรานเรย์น โดยสมการการเคลื่อนที่ของการ ไอลแบบปั่นป่วน มีความซับซ้อนมากกว่าเนื่องมาจากความปั่นป่วนที่เกิดขึ้นในการ ไอล ซึ่งความปั่นป่วนที่เกิดขึ้นนี้ เป็นการเกิดขึ้นอย่างไม่มีระเบียบและไม่สามารถคาดเดาได้ว่าจะเกิดขึ้นมากน้อยเพียงใด แม้แต่ ในขณะนี้ สาเหตุของการเกิดความปั่นป่วนในการ ไอล และพฤติกรรมของความปั่นป่วนในการ ไอล ก็ยังไม่เป็นที่ทราบแน่ชัด โดยความปั่นป่วนของการ ไอล ถือเป็นหนึ่งในปัญหาทางฟิสิกส์ที่ยังรอ การค้นพบและการอธิบายอยู่ อย่างไรก็ตาม ในทางวิศวกรรม สิ่งที่วิศวกรสนใจคือ ค่าเฉลี่ยของ การ ไอล ดังนั้น วิธีการเฉลี่ยของ Reynolds (Reynolds averaging) จึงถูกนำมาใช้กับสมการ การเคลื่อนที่ของการ ไอลแบบปั่นป่วน เพื่อแปลงสมการการเคลื่อนที่ของการ ไอลแบบปั่นป่วน ให้อยู่ในรูปของค่าเฉลี่ย ดังจะแสดงต่อไป โดยวิธีการเฉลี่ยของ Reynolds มีหลักการค่าร่าๆ ดังนี้คือ

- ให้แทนค่าตัวแปรใดๆ ในสมการการเคลื่อนที่ ด้วย ค่าเฉลี่ย และค่าความสั่นของตัวแปรนั้นๆ เช่น  $U_i = \bar{U}_i + u'_i$  และ  $P = \bar{P} + P'$  เป็นต้น
  - ทำการเฉลี่ยสมการการเคลื่อนที่ข้างต้นด้วยเวลา
  - ทำการจัดรูปสมการ โดยให้ใช้เงื่อนไข  $\bar{u}'_i = 0$

สมการกฎทรงมวลของการไหลแบบปั๊บปวนในรูปของเทนเซอร์สามารถเขียนได้โดยแทนค่า  $U_i = \bar{U}_i + u'_i$  ลงในสมการ (78) จะได้สมการ (81)

$$\frac{\partial U_i}{\partial x_i} = 0 \text{ แทนค่า } U_i = \bar{U}_i + u'_i \text{ จะได้} \quad (81)$$

$$\frac{\partial(\bar{U}_i + u'_i)}{\partial x_i} = 0 \quad (81)$$

ทำการเฉลี่ยสมการด้วยเวลาจะได้สมการที่ (82), (83), (84)

$$\frac{\overline{\partial(\bar{U}_i + u'_i)}}{\partial x_i} = 0 \quad (82)$$

$$\frac{\partial \bar{U}_i}{\partial x_i} + \frac{\partial \bar{u}'_i}{\partial x_i} = 0 \quad (83)$$

$$\frac{\partial \bar{U}_i}{\partial x_i} + \frac{\partial \bar{u}'_i}{\partial x_i} = 0 \quad (84)$$

ทำการจัดรูปสมการ โดยให้ใช้เงื่อนไข  $\bar{u}'_i = 0$  จะได้สมการกฎทรงมวลของการไหลแบบปั๊บปวนที่ถูกเฉลี่ยด้วยวิธี Reynolds averaging ดังสมการที่ (85)

$$\frac{\partial \bar{U}_i}{\partial x_i} = 0 \quad (85)$$

สมการใหม่เมื่อตั้มของการไหลแบบปั๊บปวนในรูปของเทนเซอร์สามารถเขียนได้โดยแทนค่า  $U_i = \bar{U}_i + u'_i$  ลงในสมการ (79)

แทนค่า  $U_i = \bar{U}_i + u'_i$  ในพจน์การพา (Convection Term)  $\underbrace{\frac{\partial U_i U_j}{\partial x_j}}_{convection term}$  จะได้ดังสมการที่ (86)

$$\frac{\partial(\bar{U}_i + u'_i)(\bar{U}_j + u'_j)}{\partial x_j} \quad (86)$$

ทำการเฉลี่ยสมการที่ (86) ด้วยเวลาจะได้ดังสมการที่ (87)

$$\begin{aligned} &= \frac{\partial(\bar{U}_i + u'_i)(\bar{U}_j + u'_j)}{\partial x_j} \\ &= \frac{\partial(\bar{U}_i \bar{U}_j + \bar{U}_i u'_j + u'_i \bar{U}_j + u'_i u'_j)}{\partial x_j} \\ &= \frac{\partial(\bar{U}_i \bar{U}_j + \bar{U}_i \bar{u}'_j + \bar{u}'_i \bar{U}_j + \bar{u}'_i \bar{u}'_j)}{\partial x_j} \end{aligned} \quad (87)$$

หลังจากใช้เงื่อนไข  $\bar{u}'_i = 0$  จะได้พจน์การพาที่ถูกเฉลี่ยด้วยวิธี Reynolds averaging จะได้ดังสมการที่ (88)

$$\frac{\partial \left( \bar{U}_i \bar{U}_j + \underbrace{\bar{u}'_i \bar{u}'_j}_{Reynolds-stress term} \right)}{\partial x_j} \quad (88)$$

แทนค่า  $U_i = \bar{U}_i + u'_i$  ในพจน์การแพร (Diffusion Term)  $\underbrace{\frac{1}{\rho} \frac{\partial \tau_{ij}}{\partial x_j}}_{diffusion term}$  ดังสมการที่ (89)

$$\frac{1}{\rho} \frac{\partial}{\partial x_j} \left\{ \mu \left\{ \frac{\partial(\bar{U}_j + u'_j)}{\partial x_i} + \frac{\partial(\bar{U}_i + u'_i)}{\partial x_j} \right\} \right\} \quad (89)$$

ทำการเฉลี่ยสมการที่ (89) ด้วยเวลาจะได้สมการที่ (90)

$$\overline{\frac{1}{\rho} \frac{\partial}{\partial x_j} \left\{ \mu \left\{ \frac{\partial(\bar{U}_j + u'_j)}{\partial x_i} + \frac{\partial(\bar{U}_i + u'_i)}{\partial x_j} \right\} \right\}} \quad (90)$$

ทำการจัดรูปสมการ بماได้ดังสมการที่ (91)

$$\frac{1}{\rho} \frac{\partial}{\partial x_j} \left\{ \mu \left\{ \frac{\partial(\bar{U}_j + \bar{u}'_j)}{\partial x_i} + \frac{\partial(\bar{U}_i + \bar{u}'_i)}{\partial x_j} \right\} \right\} \quad (91)$$

ใช้เงื่อนไข  $\bar{u}'_i = 0$  จะได้พจน์การแพร่ที่ถูกเฉลี่ยด้วยวิธี Reynolds averaging จะได้ดังสมการที่ (92)

$$\frac{1}{\rho} \frac{\partial}{\partial x_j} \left\{ \mu \left\{ \frac{\partial \bar{U}_j}{\partial x_i} + \frac{\partial \bar{U}_i}{\partial x_j} \right\} \right\} \quad (92)$$

แทนค่า  $P = \bar{P} + p'$  ในพจน์กำเนิด (Source Term)  $\underbrace{\frac{1}{\rho} \frac{\partial P}{\partial x_i}}_{source term}$  จะได้ดังสมการที่ (93)

$$\frac{1}{\rho} \frac{\partial(\bar{P} + p')}{\partial x_i} \quad (93)$$

ทำการเฉลี่ยสมการที่ (93) ด้วยเวลาจะได้ดังสมการที่ (94)

$$\overline{\frac{1}{\rho} \frac{\partial(\bar{P} + p')}{\partial x_i}} \quad (94)$$

ทำการจัดรูปสมการที่ (94) ดังสมการที่ (95)

$$\frac{1}{\rho} \frac{\partial(\bar{P} + \bar{p}')}{\partial x_i} \quad (95)$$

ใช้เงื่อนไข  $\bar{p}'_i = 0$  จะได้พจน์การกำเนิดที่ถูกเฉลี่ยด้วยวิธี Reynolds averaging จะได้ดังสมการที่ (96)

$$\frac{1}{\rho} \frac{\partial \bar{P}}{\partial x_i} \quad (96)$$

เมื่อนำเอาพจน์การพางสมการที่ (88) พจน์การแพร่ (92) และพจน์กำเนิด (96) ที่ถูกเฉลี่ยด้วยวิธี Reynolds averaging แล้วมารวมกันจะได้สมการ โนเมนตัมสำหรับการ ไอลแบบปั่นป่วนดังสมการที่ (97)

$$\frac{\partial \left( \overline{U}_i \overline{U}_j + \underbrace{\overline{u'_i u'_j}}_{Reynolds-stress term} \right)}{\partial x_j} + \frac{1}{\rho} \frac{\partial}{\partial x_j} \left\{ \mu \left\{ \frac{\partial \overline{U}_j}{\partial x_i} + \frac{\partial \overline{U}_i}{\partial x_j} \right\} \right\} + \frac{1}{\rho} \frac{\partial \bar{P}}{\partial x_i} = 0 \quad (97)$$

เมื่อเปรียบเทียบสมการ โนเมนตัมที่ถูกเฉลี่ยด้วยวิธี Reynolds averaging กับสมการ โนเมนตัมที่ยังไม่ถูกเฉลี่ย จะเห็นได้ว่ามีพจน์ที่เกิดขึ้นเนื่องจากการใช้วิธีเฉลี่ย Reynolds averaging คือ พจน์ Reynolds Stresses ( $\overline{u'_i u'_j}$ ) ซึ่งพจน์ที่เกิดขึ้นนี้เป็นพจน์ที่เกิดมาจากการปั่นป่วนที่เกิดขึ้นในการ ไอล โดยแบบจำลองความปั่นป่วนของการ ไอล (Turbulence Models) เป็นแบบจำลองทางคณิตศาสตร์ ที่ถูกนำมาใช้เพื่อจำลองพจน์ Reynolds Stresses ที่เกิดขึ้น เนื่องจากการใช้วิธีเฉลี่ย Reynolds averaging กับพจน์การพางในสมการ โนเมนตัมนี้

### 1.3 แบบจำลองความปั่นป่วนของการ ไอล

แบบจำลองความปั่นป่วนของการ ไอล (Turbulence Models) คือ แบบจำลองทางคณิตศาสตร์ ที่ใช้จำลองพจน์ความปั่นป่วนของการ ไอล ซึ่งเกิดขึ้นเนื่องจากการใช้วิธีการเฉลี่ยของ Reynolds กับสมการการเคลื่อนที่ของ การ ไอลแบบปั่นป่วน ซึ่งพจน์ที่เกิดขึ้นจากการเฉลี่ยนี้เรียกว่า พจน์ Reynolds Stresses ( $\overline{u'_i u'_j}$ ) ดังนั้น แบบจำลองความปั่นป่วนของการ ไอลจึงมีหน้าที่ในการจำลองพจน์ Reynolds Stresses ที่เกิดขึ้นนี้ โดยแบบจำลองความปั่นป่วนของการ ไอลนั้น มีหลายชนิด แต่ชนิดที่นิยมใช้ในซอฟต์แวร์ CFD สำหรับป้องกัน แบบจำลองความปั่นป่วนชนิด  $k - \varepsilon$  ซึ่งแบบจำลองชนิดนี้ประกอบไปด้วยสมการ 2 สมการ คือ สมการการเคลื่อนที่ของพลังงาน

จลน์ของความปั่นป่วน  $k$  และสมการการเคลื่อนที่ของอัตราการลดลงของพลังงานจลน์ของความปั่นป่วน  $\varepsilon$  โดยแบบจำลองความปั่นป่วนชนิด  $k - \varepsilon$  เองนั้นก็มีหลายแบบ ซึ่งแบบจำลองความปั่นป่วนชนิด  $k - \varepsilon$  แต่ละแบบมีความแตกต่างกันที่ ค่าคงที่ (Constants) และฟังก์ชัน (Functions) ที่ใช้ในแบบจำลอง โดย แบบจำลองความปั่นป่วนชนิด  $k - \varepsilon$  ที่นิยมใช้ในปัจจุบัน คือ แบบจำลองความปั่นป่วนชนิด  $k - \varepsilon$  ของ Launder และ Sharma (1974)

แบบจำลองความปั่นป่วนชนิด  $k - \varepsilon$  เป็นแบบจำลองหนึ่งในหลายแบบจำลองที่ใช้ แนวความคิดของความหนืดหมุนวน (Eddy Viscosity) ที่นำเสนอโดย Boussinesq (1877) ก่อนว่าคือ พจน์ Reynolds Stresses ( $\overline{u'_i u'_j}$ ) ที่เกิดขึ้นจากการใช้วิธีการเฉลี่ย Reynolds กับสมการ โมเมนตัม จะถูกจำลองผ่านพจน์ความหนืดหมุนวน ( $\mu_t$ ) ดังสมการที่ (98)

$$\overline{u'_i u'_j} = \frac{2}{3} \delta_{ij} k - \frac{\mu_t}{\rho} \left\{ \frac{\partial U_j}{\partial x_i} + \frac{\partial U_i}{\partial x_j} \right\} \quad (98)$$

โดย  $\mu_t$  คือ ค่าความหนืดหมุนวน ซึ่งค่าความหนืดหมุนวนนี้ ขึ้นอยู่กับคุณสมบัติของ การ ไหล (Flow) ไม่ได้ขึ้นอยู่กับคุณสมบัติของของ ไหล (Fluid) เมื่อนำค่าความหนืด  $\mu$  โดยสมการ ของค่าความหนืดหมุนวน  $\mu_t$  นี้ขึ้นอยู่กับชนิดของแบบจำลองความปั่นป่วนที่ใช้ โดยสำหรับ แบบจำลองความปั่นป่วนชนิด  $k - \varepsilon$  ค่าความหนืดหมุนวนสามารถหาได้จากสมการที่ (99)

$$\mu_t = \rho C_\mu f_\mu \frac{k^2}{\varepsilon} \quad (99)$$

โดยที่ค่าพลังงานจลน์ของความปั่นป่วน  $k$  สามารถคำนวณหาได้จากสมการการเคลื่อนที่ ของ  $k$  และค่าอัตราการลดลงของพลังงานจลน์ของความปั่นป่วน  $\varepsilon$  สามารถคำนวณหาได้จาก สมการการเคลื่อนที่ของ  $\tilde{\varepsilon}$  โดย  $\varepsilon = \tilde{\varepsilon} + D$  และค่าเรย์โนลด์ของความปั่นป่วน (Turbulent Reynolds Number),  $Re_t = \frac{\rho k^2}{\mu \varepsilon}$  ดังสมการที่ (100) และ (101)

$$\underbrace{U_i \frac{\partial k}{\partial x_i}}_{convection\ term} = \underbrace{\frac{1}{\rho} \frac{\partial}{\partial x_j} \left\{ \left( \mu + \frac{\mu_t}{\sigma_k} \right) \frac{\partial k}{\partial x_j} \right\}}_{diffusion\ term} - \underbrace{\overline{u'_i u'_j} \frac{\partial U_i}{\partial x_j}}_{production\ term} - \underbrace{\underbrace{(\tilde{\varepsilon} + D)}_{destruction\ term}}_{source\ term} \quad (100)$$

$$\underbrace{U_i \frac{\partial \tilde{\varepsilon}}{\partial x_i}}_{\text{convection term}} = \underbrace{\frac{1}{\rho} \frac{\partial}{\partial x_j} \left( \mu + \frac{\mu_t}{\sigma_k} \right) \frac{\partial \tilde{\varepsilon}}{\partial x_j}}_{\text{diffusion term}} - \underbrace{C_{\varepsilon 1} f_{\varepsilon 1} \frac{\tilde{\varepsilon}}{k} \overline{u'_i u'_j} \frac{\partial U_i}{\partial x_j}}_{\text{production term}} - \underbrace{C_{\varepsilon 2} f_{\varepsilon 2} \frac{\tilde{\varepsilon}^2}{k} + E}_{\text{destructive term}} + \underbrace{S}_{\text{source term}} \quad (101)$$

โดยค่าคงที่ต่างๆ มีค่าดังนี้  $\sigma_k = 1.0$ ,  $\sigma_\varepsilon = 1.3$ ,  $C_\mu = 0.09$ ,  $C_{\varepsilon 1} = 1.44$ ,  $C_{\varepsilon 2} = 1.92$ ,  $f_{\varepsilon 1} = 1.0$  ค่าคงที่  $f_{\varepsilon 2}$  คำนวณจากสมการที่ (102)

$$f_{\varepsilon 2} = 1 - 0.3 \exp(-Re_t^2) \quad (102)$$

ค่าคงที่  $f_\mu$  คำนวณจากสมการที่ (103) และค่าคงที่ E และ D คำนวณจากสมการที่ (104) และ (105)

$$f_\mu = \exp \left( \frac{-3.4}{\left( 1 + \frac{Re_t}{50} \right)^2} \right) \quad (103)$$

$$E = 2 \frac{\mu}{\rho} \frac{\mu_t}{\rho} \left( \frac{\partial^2 U_i}{\partial x_k \partial x_m} \right)^2 \quad (104)$$

$$D = 2 \frac{\mu}{\rho} \left( \frac{\partial \sqrt{k}}{\partial x_i} \right)^2 \quad (105)$$

### วิธีการหาผลเฉลยด้วยระเบียบวิธีเชิงตัวเลข

วิธีการแก้ระบบสมการพิชณิต สามารถทำได้สองวิธี คือ ระเบียบวิธีเชิงตัวเลขแบบตรง และระเบียบวิธีเชิงตัวเลขแบบทำซ้ำ ซึ่งการแก้ระบบสมการ โดยใช้ระเบียบวิธีเชิงตัวเลขแบบตรง นั้นใช้หน่วยความจำในการเก็บค่าตัวแปรต่างๆ ที่ใช้ในการคำนวณทั้งหมดในคราวเดียวกัน ดังนั้น การแก้ระบบสมการด้วยวิธีนี้จึงไม่เป็นที่นิยมใช้ใน CFD เนื่องจาก CFD มีระบบสมการพิชณิต ที่มีจำนวนสมการและตัวแปรมาก ทำให้โปรแกรมต้องใช้หน่วยความจำสูงมากในการคำนวณ

ระเบียบวิธีเชิงตัวเลขแบบทำซ้ำ จึงเป็นวิธีการที่นิยมใช้ใน CFD เนื่องจากวิธีนี้ใช้หน่วยความจำในการคำนวณน้อยกว่าระเบียบวิธีเชิงตัวเลขแบบตรง โดยระเบียบวิธีเชิงตัวเลขแบบทำซ้ำ มีหลักในการคำนวณ คือ จะทำการคำนวณจากจุดหนึ่งไปหาอีกจุดหนึ่งเลื่อนไปเรื่อยๆ จนครบทั้งขอบเขตของปัญหา การคำนวณในลักษณะนี้ทำให้ไม่ต้องคำนึงถึงขั้นตอนของการคำนวณค่าแต่ละจุดเสร็จแล้ว โปรแกรมสามารถคืนหน่วยความจำให้ระบบเพื่อที่จะนำมาใช้ในการคำนวณกับจุดถัดมาได้โดยไม่ต้องทำการจองหน่วยความจำสำหรับค่าตัวแปรต่างๆ ของทั้งระบบสมการ หลังจากทำการคำนวณทั้งขอบเขตครบหนึ่งรอบแล้วจะเริ่มทำการคำนวณซ้ำในรอบถัดมา และจะหยุดการคำนวณต่อเมื่อค่าตัวแปรที่คำนวณได้ถูเข้าสู่ค่าตอบหรือผลเฉลยแล้ว โดยจะทำการตรวจสอบจากค่าเศษตอกค้าง (**Residual**) ลักษณะของการถูเข้าสู่ผลเฉลยนั้นเป็นไปได้สองแบบคือ ค่าของเศษตอกค้างมีค่าน้อยกว่าค่าที่ทำการระบุไว้ หรือค่าของเศษตอกค้างไม่มีการเปลี่ยนแปลง โดยในการคำนวณหากค่าเศษตอกค้างสามารถคำนวณได้จากค่าตัวแปรในการคำนวณรอบก่อนหน้าเทียบกับค่าตัวแปรในการคำนวณรอบปัจจุบัน โดยใช้สมการ (106)

$$residual = \frac{\sum |\phi - \phi_{old}|}{|\phi_{max} - 10^{-30}|} \quad (106)$$

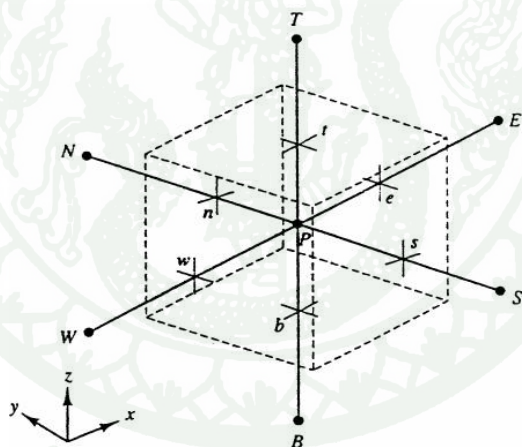
ค่า  $\phi_{old}$  คือ ค่าของตัวแปรจากการคำนวณในรอบก่อนหน้านี้ ส่วน  $\phi$  คือ ค่าของตัวแปรจากการคำนวณในรอบปัจจุบัน และ  $\phi_{max}$  คือ ค่าของตัวแปรที่มีค่ามากที่สุดของการคำนวณในรอบปัจจุบัน สำหรับการคำนวณค่าเศษตอกค้างนั้นจะทำการวนค่าซ้อนมากๆ เช่น  $10^{-30}$  เข้าไปในสมการด้วยเพื่อป้องกันไม่ให้ตัวหารเป็นศูนย์

ในการหาผลเฉลยของสมการควบคุม (**Governing equation**) ซึ่งอยู่ในรูปของสมการเชิงอนุพันธ์ย่อยซึ่งคู่ควบกันอยู่ ได้ใช้หลักวิธีพื้นฐานของปริมาตรควบคุม ในการวิเคราะห์เชิงตัวเลข โดยแบ่งขอบเขตการคำนวณออกเป็นปริมาตรควบคุมย่อยๆ ทำการอินทิเกรตสมการควบคุมในแต่ละปริมาตรควบคุม พร้อมทั้งจัดให้อยู่ในรูปของสมการพิชคณิต ทำการดิสcretization สมการควบคุม ซึ่งอยู่ในรูปอินทิกรัล และทำการเชื่อมโยงความสัมพันธ์ของปริมาตรต่างๆ ในปริมาตรควบคุมย่อยหนึ่งๆ กับปริมาตรต่างๆ ในปริมาตรควบคุมย่อยข้างเคียงให้อยู่ในรูปของสมการเชิงเส้น จากนั้น จึงทำการแก้สมการ เพื่อหาผลเฉลยต่อไป ซึ่งระเบียบวิธีดังกล่าวเรียกว่าวิธีการคำนวณแบบปริมาตรสีบเนื่อง (**Finite volume method**) และจะได้อธิบายต่อไป

รูปที่ 20 ไปของสมการการส่งถ่ายปริมาณสเกลลาร์ ( $\phi$ ) ในปริมาตรควบคุมใดๆ สามารถเขียนได้ดังสมการ (107)

$$\int_A \rho \phi \vec{u} \cdot \vec{n} dA = \int_A \Gamma_\phi \nabla \phi \cdot \vec{n} dA + \int_{CV} S_\phi dV \quad (107)$$

โดยที่  $\rho$  คือ ความหนาแน่น  $\vec{u}$  คือ เวกเตอร์ความเร็ว  $A$  คือ พื้นที่ผิวของปริมาตร  $\Gamma_\phi$  คือ สัมประสิทธิ์การแพร่ของ  $\phi$   $\nabla \phi$  คือ ค่าความชันของ  $\phi$   $S_\phi$  คือ แหล่งกำเนิด (Source) ของต่อหน่วยปริมาตร เทอมต่างๆ ในสมการที่ (107) มีความหมายดังนี้ เทอมแรกทางด้านซ้ายของสมการเป็นเทอมที่ขึ้นอยู่กับเวลา เทอมแรกทางด้านขวาของสมการเป็นเทอมของการพา ส่วนเทอมที่สองด้านขวาของสมการเป็นเทอมการแพร่ การหาค่าอินติเกรตสมการข้างต้นเป็นขั้นตอนต่อไปของการคำนวณแบบปริมาตรสี่เหลี่ยม ในการวิเคราะห์การไฟล์แบบ 3 มิติ จะกำหนดให้ค่า  $\phi$  มีค่าเป็น  $u, v$  และ  $w$  ต่อไปเราจะมาปริมาตรควบคุมใดๆ ในภาพที่ 20



ภาพที่ 20 ปริมาตรควบคุม 3 มิติ

จากภาพที่ 20 จุด  $P$  ตัวแทนของปริมาตรจะอยู่ตำแหน่งกลางของปริมาตร พื้นผิวแต่ละด้านของปริมาตรเขียนแทนด้วย  $e, w, n, s, t$  และ  $b$  ซึ่งหมายถึงพื้นผิวด้านทิศตะวันออก ทิศตะวันตก ทิศเหนือ ทิศใต้ ด้านบน และด้านล่างของจุด  $P$  ตามลำดับขั้นตอนต่อไปจะเป็นการดีสคริปต์สมการ (107) ให้อยู่ในรูปของสมการเชิงพีชคณิต

## 1. การดิสcretisation (Discretisation)

สมการอนุพันธ์ย่ออย่างเชิงเส้นที่ใช้อธิบายการไหลของของไอลนั้นสามารถทำการดิสcretisation ในแต่ละเทอมให้อยู่ในรูปสมการเชิงพีชคณิตได้ดังนี้

### 1.1 เทอมการพา (Convection term)

ทำการดิสcretisation ให้อยู่ในรูปสมการเชิงพีชคณิตได้ดังสมการที่ (108)

$$\int_A (\rho \phi \vec{u}) \cdot \vec{n} dA = [(\rho \phi A u)_e - (\rho \phi A u)_w] + [(\rho \phi A u)_n - (\rho \phi A u)_s] + [(\rho \phi A u)_t - (\rho \phi A u)_b] \quad (108)$$

สามารถเขียนสมการของการพาที่ทำการดิสcretisationแล้วให้ง่ายขึ้นโดยการแทนด้วย  $F = \rho u A$  โดยที่ค่า  $F$  คือ ฟลักซ์ของการพา (Convective flux) เวียนสมการ (108) ใหม่ได้ดังสมการที่ (109)

$$\int_A (\rho \phi \vec{u}) \cdot \vec{n} dA = [(F\phi)_e - (F\phi)_w] + [(F\phi)_n - (F\phi)_s] + [(F\phi)_t - (F\phi)_b] \quad (109)$$

### 1.2 เทอมการแพร่ (Diffusion term)

ทำการดิสcretisation ให้อยู่ในรูปสมการเชิงพีชคณิตได้ดังสมการที่ (110)

$$\begin{aligned}
 & \left[ \left( A\Gamma \frac{\partial \phi}{\partial x} \right)_e - \left( A\Gamma \frac{\partial \phi}{\partial x} \right)_w \right] \\
 & + \left[ \left( A\Gamma \frac{\partial \phi}{\partial y} \right)_n - \left( A\Gamma \frac{\partial \phi}{\partial y} \right)_s \right] \\
 & + \left[ \left( A\Gamma \frac{\partial \phi}{\partial z} \right)_t - \left( A\Gamma \frac{\partial \phi}{\partial z} \right)_b \right] + \bar{S}\Delta V = 0
 \end{aligned} \tag{110}$$

เมื่อ  $\Gamma$  คือ ค่าของสัมประสิทธิ์ของการแพร่ เพื่อความสะดวกเราจะใช้ตัวแปร  $D = \frac{\Gamma A}{\delta x}$  แสดงแทนฟลักซ์ของการแพร่ (**Diffusive flux**) และสามารถเขียนสมการของการแพร่ที่ทำ การดีศวรรตได้ว่าได้ดังสมการที่ (111)

$$\begin{aligned}
 & [D_e(\phi_e - \phi_p) - D_w(\phi_p - \phi_w)] \\
 & + [D_n(\phi_n - \phi_p) - D_s(\phi_p - \phi_s)] \\
 & + [D_t(\phi_t - \phi_p) - D_b(\phi_p - \phi_b)] + (S_u + S_p\phi_p) = 0
 \end{aligned} \tag{111}$$

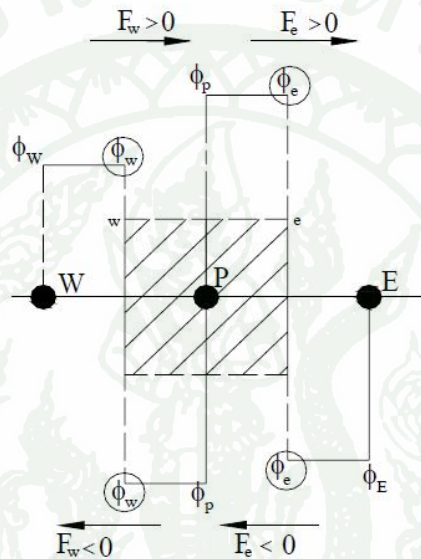
ค่า  $\phi_e$ ,  $\phi_n$ ,  $\phi_s$ ,  $\phi_t$  และ  $\phi_b$  เป็นค่าของ  $\phi$  ที่พื้นผิวนังของปริมาตร ซึ่งหาได้โดย การประมาณค่า  $\phi$  และการประมาณค่า  $\phi$  ที่บริเวณผิวของปริมาตรนั้นมีหลายวิธีด้วยกัน เช่น ระเบียบวิธีผลต่างต้นลมอันดับที่หนึ่ง (**First order upwind scheme**) วิธีผลต่างต้นลมอันดับที่สอง (**Second order upwind scheme**) และระเบียบวิธีผลต่างแบบคิก (**Quadratic upstream interpolation for convective kinetics differencing scheme, QUICK**) เป็นต้น

## 2. การประมาณค่าของอินทิกรอลพื้นผิว

ในการประมาณค่าเทอมที่เกิดการพานั้นมีระเบียบวิธีแบบต่างๆ ดังต่อไปนี้ ระเบียบวิธี ผลต่างต้นลมอันดับที่หนึ่ง วิธีผลต่างต้นลมอันดับที่สอง และระเบียบวิธีผลต่างแบบคิก ซึ่งจะแสดงรายละเอียดต่อไป ซึ่งในงานวิจัยในครั้งนี้ได้เลือกใช้ระเบียบวิธีผลต่างต้นลมอันดับ ที่สองมาใช้ในการประมาณค่าเทอมที่เกิดการพานั้น

## 2.1 ระเบียบวิธีผลต่างดันลมอันดับที่หนึ่ง

สำหรับการประมาณค่าแบบระเบียบวิธีผลต่างดันลมอันดับที่หนึ่งนั้น ค่าที่ต้องการหาคือ ค่า  $\phi$  ในกรณี  $F_e$  เป็นค่าบวก ค่าของ  $\phi_e$  จะถูกกำหนดให้เท่ากับค่า  $\phi_p$  สังเกตว่าจะให้เท่ากับค่าที่อยู่ทางด้านปลายลูกศร กรณีที่  $F_e$  เป็นค่าลบค่า  $\phi_e$  จะถูกกำหนดให้เท่ากับ  $\phi_E$  ดังแสดงในภาพที่ 21



ภาพที่ 21 การประมาณค่าแบบระเบียบวิธีผลต่างดันลมอันดับหนึ่ง

$$\phi_e = \phi_p \quad ; F_e > 0, \quad \phi_e = \phi_E \quad ; F_e < 0$$

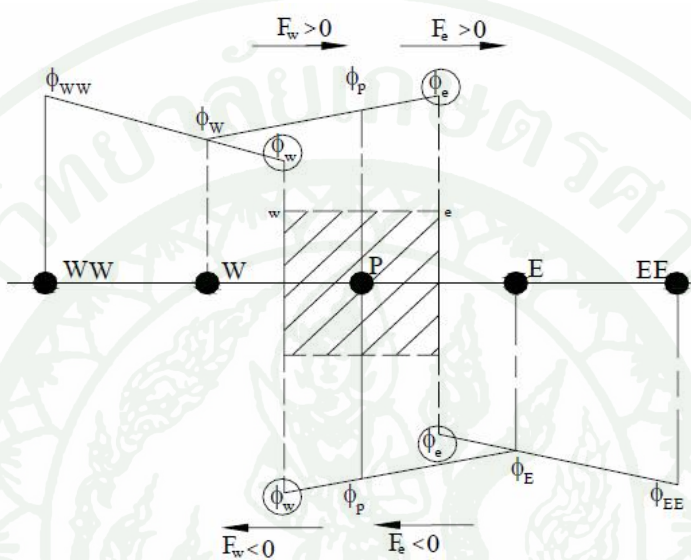
$$\phi_w = \phi_W \quad ; F_w > 0, \quad \phi_w = \phi_p \quad ; F_w < 0$$

จากระเบียบวิธีผลต่างดันลมอันดับหนึ่งสามารถเขียนสมการที่ (112) ได้ดังนี้

$$F_e \phi_e = \phi_p [F_e] + \phi_e [-F_e] \quad (112)$$

## 2.2 ระเบียบวิธีผลต่างดันลมอันดับสอง

ค่า  $\phi$  จะประมาณค่าภายในที่พื้นผิวของปริมาตรโดยใช้คำแหน่งข้างเคียงอยู่ที่ท้ายลม ดังภาพที่ 22



ภาพที่ 22 การประมาณค่าแบบระเบียบวิธีผลต่างดันลมอันดับสอง

$$\phi_e = \frac{3}{2}\phi_p - \frac{1}{2}\phi_w ; \quad F_e > 0$$

$$\phi_w = \frac{3}{2}\phi_w - \frac{1}{2}\phi_{ww} ; \quad F_w > 0$$

$$\phi_e = \frac{3}{2}\phi_E - \frac{1}{2}\phi_{EE} ; \quad F_e < 0$$

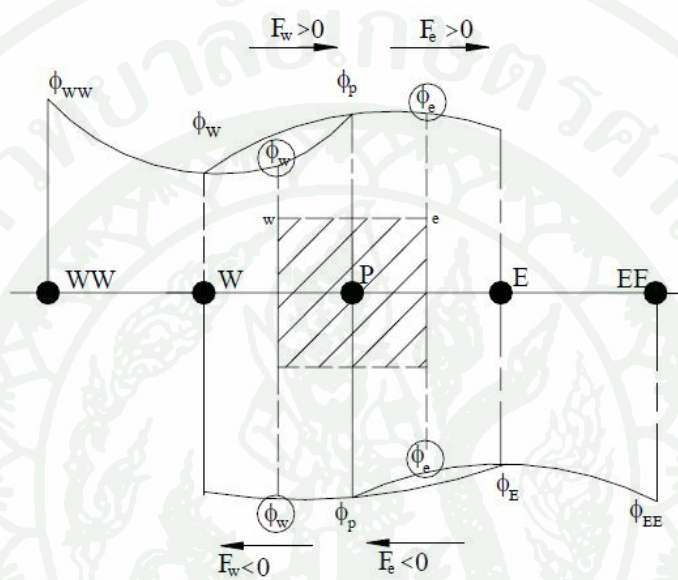
$$\phi_w = \frac{3}{2}\phi_p - \frac{1}{2}\phi_E ; \quad F_w < 0$$

จากระเบียบวิธีผลต่างดันลมอันดับสองสามารถเขียนสมการที่ (113) ได้ดังนี้

$$F_e \phi_e = \left( \frac{2}{3}\phi_p - \frac{1}{2}\phi_w \right) [F_e] - \left( \frac{2}{3}\phi_E - \frac{1}{2}\phi_{EE} \right) [-F_e] \quad (113)$$

### 2.3 ระเบียบวิธีผลต่างแบบกวิก

การประมาณค่า  $\phi$  ด้วยระเบียบวิธีนี้ ตั้งสมมติฐานอยู่บนค่าเฉลี่ยของระเบียบวิธีผลต่าง ต้นลมอันดับที่สอง การหาค่าพื้นผิวน้ำหนาได้จาก 2 กริดข้างเคียงอยู่ที่ปลายลม (Downstream) และ อีก 1 กริดที่อยู่ต้นลม (Upstream) ดังภาพที่ 23



ภาพที่ 23 การประมาณค่าแบบระเบียบวิธีผลต่างแบบกวิก

$$\phi_e = \frac{3}{8}\phi_E + \frac{3}{4}\phi_p - \frac{1}{8}\phi_W \quad ; \quad F_e > 0$$

$$\phi_w = \frac{3}{8}\phi_P + \frac{3}{4}\phi_w - \frac{1}{8}\phi_{WW} \quad ; \quad F_w > 0$$

$$\phi_e = \frac{3}{8}\phi_P + \frac{3}{4}\phi_E + \frac{1}{8}\phi_{EE} \quad ; \quad F_e < 0$$

$$\phi_w = \frac{3}{8}\phi_W + \frac{3}{4}\phi_P - \frac{1}{8}\phi_E \quad ; \quad F_w < 0$$

จากระเบียบวิธีผลต่างแบบกวิกสามารถเปลี่ยนสมการที่ (114) ให้ตั้งเป็น

$$F_e\phi_e = \left( \frac{3}{8}\phi_E - \frac{3}{4}\phi_p - \frac{1}{8}\phi_W \right)[F_e] - \left( \frac{3}{4}\phi_E - \frac{3}{8}\phi_p - \frac{1}{8}\phi_{EE} \right)[-F_e] \quad (114)$$

ความสัมพันธ์ระหว่างตัวแปร  $\phi$  ของปริมาตรหนึ่งๆ กับตัวแปร  $\phi_{nb}$  ของปริมาตรข้างเคียงสามารถเขียนให้อยู่ในรูปเชิงเส้นได้ดังสมการ (115)

$$a_p \phi_p = \sum_{nb} a_{nb} \phi_{nb} + b \quad (115)$$

โดยที่ตัวห้อย  $nb$  หมายถึง ปริมาตรข้างเคียงส่วน  $a_p$  และ  $a_{nb}$  เป็นสัมประสิทธิ์ของ การทำให้อยู่ในรูปเชิงเส้นสำหรับตัวแปร  $\phi_p$  และ  $\phi_{nb}$  ตามลำดับ ซึ่งจำนวนของปริมาตรข้างเคียง มีค่าเท่ากับด้านที่ล้อมรอบปริมาตรที่พิจารณาส่วน  $b$  เป็นเทอมที่เพิ่มมาจากการแหล่งกำเนิดอื่นๆ การหาผลเฉลยโดยวิธีการแยกพิจารณา (**Segregated method**) เป็นการแยกส่วนในการคำนวณ ระหว่างสมการ โมเมนตัมและสมการความต่อเนื่อง แต่อย่างไรก็ตามค่าต่างๆ ที่ได้จากการคำนวณ ต้องสอดคล้องกับสมการที่ (116) เป็นสมการ โมเมนตัมที่ดีศรีตแล้วในแนวแกน  $X$  โดยได้พิจารณา ผลของแรงที่เกิดจากความดัน ( $pA_f$ ) และกำหนดให้  $\phi = u$

$$a_p u_p = \sum_{nb} a_{nb} u_{nb} + \sum p A f + B \quad (116)$$

โดยที่  $A_f$  แทนพื้นผิวที่พิจารณา  $B$  แทนแหล่งกำเนิดอื่นๆ ที่ประสาจากกระบวนการ ความดันสำหรับสมการ โมเมนตัมในแนวแกน  $y$  และแนวแกน  $z$  ที่มีลักษณะคล้ายคลึงกัน ส่วนสมการความต่อเนื่องที่ดีศรีตแล้วแสดงได้ดังสมการ (117)

$$\sum_f^{N_{face}} \rho u_n A_f = 0 \quad (117)$$

โดยที่  $N_{face}$  เป็นจำนวนผนังล้อมรอบปริมาตร  $n$ , คือ ความเร็วที่ผนังปริมาตร การประมาณค่าของอนุทิกรัลพื้นผิว

### 3. กระบวนการหาคำตอบ (**Solution algorithm**)

เพื่อให้ค่าความดันและความเร็วในสมการ โมเมนตัมสอดคล้องกับสมการความต่อเนื่อง ดังนั้น กระบวนการหาคำตอบแบบ **SIMPLE** (Semi-Implicit Method for Pressure-Linked Equations), **SIMPLEC** (Semi-Implicit Method for Pressure-Linked Equations Consistent)

และ PISO (Pressure Implicit with Splitting of Operators) จึงถูกนำมาใช้เพื่อตรวจสอบค่าความดัน และความเร็วให้มีความสอดคล้องกันจากสมการ (116) จะกำหนด  $P$  เพื่อให้ได้ค่าของ  $u$  และ เพื่อปรับค่าที่ได้จากการคำนวนในรอบแรกเพื่อช่วยให้ลู่เข้าหาคำตอบจะทำการเพิ่ม  $P'$  ขึ้นมา ดังนั้นสมการสามารถเขียนได้ดังสมการที่ (118)

$$a_p u^*_{\cdot p} = \sum_{nb} a_{nb} u^*_{\cdot nb} + \sum (p^*_{\cdot w} - p^*_{\cdot e}) A_f + B \quad (118)$$

โดยที่  $p^*_{\cdot w}$  และ  $p^*_{\cdot e}$  เป็นค่าความดันของแต่ละปริมาตรที่ติดกัน ในการแก้สมการจะเริ่มด้วยการสมมติค่าความดัน  $P^*$  เพื่อให้ได้ค่า  $u^*, v^*$  และ  $w^*$  และค่าที่ได้จะต้องที่สอดคล้องกับ สมการความต่อเนื่อง ดังนั้นความสัมพันธ์ที่ได้เพิ่มเทอม  $p'$  เข้ามาเพื่อปรับค่า  $p^*$  ใน การคำนวน รอบต่อไป ซึ่งมีดังสมการ (119)

$$p = p^* + p' , u = u^* + u' , v = v^* + v' \quad (119)$$

โดยที่  $p'$  เรียกว่าการตรวจสอบค่าความดัน (Pressure correction) ดังนั้น สมการ (118) สามารถเขียนได้เป็นสมการ (120)

$$a_p u'_p = \sum_{nb} a_{nb} u'_{nb} + \sum (p'_w - p'_e) A_f + B \quad (120)$$

ในกระบวนการหาคำตอบแบบ SIMPLE จะไม่พิจารณาเทอม  $\sum_{nb} a_{nb} u'_{ab}$  ดังนั้น จะได้ สมการที่ดีศรีตของการตรวจสอบค่าความดันในปริมาตรเป็นดังสมการ (121)

$$u'_p = df(p^*_{\cdot w} - p^*_{\cdot e}) \quad (121)$$

โดยที่เทอม  $d_f$  มีค่าเท่ากับ  $d_f = \frac{A_f}{a_p}$  ในสมการ โนเมนตัมที่ดีศรีตแล้วการปรับค่า ความดันและอัตราการไหลผ่านผนังปริมาตรในแต่ละครั้งนั้นจะเป็นไปตามสมการที่ (122)

$$p^{new} = p^* + \alpha_p p' \quad (122)$$

โดยที่  $\alpha_p$  เป็นค่าแฟกเตอร์ของการปรับค่าสำหรับกระบวนการทางคำตอบแบบ SIMPLEC นั้นเริ่มต้นจะเหมือนกับกระบวนการทางคำตอบแบบ SIMPLE ที่กล่าวมาข้างต้น แต่ต่างกันที่ได้นำเทอม  $\sum_{nb} a_{nb} u'_{ab}$  มาพิจารณาด้วย ซึ่งจะมีสัมประสิทธิ์ของ  $d_f$  เป็นฟังก์ชันของ  $1 - \sum a_{nb} / a_p$  ดังนั้น สมการที่ดีสคริปชันของการตรวจสอบค่าความดันในปริมาตรที่พิจารณาจะเป็นดังสมการ (123)

$$u'_p = \frac{d_f}{1 - \sum a_{nb} / a_p} (p^*_{w} - p^*_{e}) \quad (123)$$

ส่วนกระบวนการทางคำตอบแบบ PISO นั้น ได้ปรับปรุงประสิทธิภาพของการคำนวณจาก SIMPLE โดยการเพิ่ม Neighbor correction และ Skewness correction ซึ่งได้เพิ่มวงจร (Loop) ใน การคำนวณเพื่อให้ค่าความดันและความเร็วของสมการ ไม่เม่นตัมสอดคล้องกับสมการความต่อเนื่อง เร็วขึ้นกระบวนการทำขั้นนี้เรียกว่า การปรับค่าโมเมนตัม (Momentum correction) หรือ Neighbor correction กระบวนการทางคำตอบแบบ PISO นั้น ทำให้การใช้เวลาในการประมวลผลต่อรอบ การคำนวณมากขึ้นเพียงเล็กน้อย แต่จะทำให้จำนวนรอบในการทำขั้นเพื่อถูกรักษาทางคำตอบลดลง สำหรับ Skewness correction นั้น เป็นตัวปรับค่าฟลักซ์ของมวลที่ผนังของปริมาตรและค่าความ แตกต่างของการตรวจสอบค่าความดัน

## อุปกรณ์และวิธีการ

งานวิจัยนี้เป็นการศึกษาการไหลในเครื่องแลกเปลี่ยนความร้อนแบบท่อเรียบและเกลียวโดยการศึกษาจะใช้การจำลองการไหลของของไหลในท่อเรียบและท่อเกลียวโดยที่แบบจำลองของเครื่องแลกเปลี่ยนความร้อนทั้งแบบท่อเรียบและท่อเกลียวนั้น ถูกสร้างโดยโปรแกรม Solid work และทำการส่งแบบจำลองไปยังโปรแกรม GAMBIT เพื่อทำการสร้างชุดกริดในบริเวณแบบจำลองจากนั้นส่งต่อไปยังโปรแกรม FLUENT เพื่อทำการแก้ปัญหาของการไหลในเครื่องแลกเปลี่ยนความร้อนโดยวิธีพลศาสตร์ของไหลเชิงคำนวณ (CFD) โดยค่าพารามิเตอร์และขั้นตอนในการสร้างรูปแบบของเครื่องแลกเปลี่ยนความร้อนแบบเกลียวชนิด Double-pipe แบบใหม่ด้วยโปรแกรม Solid Work, การสร้างขอบเขตของปัญหาโดยโปรแกรม GAMBIT และ การวิเคราะห์ผลโดยโปรแกรม FLUENT นั้น สามารถดูได้จากภาคผนวก ก, ภาคผนวก ข, ภาคผนวก ค, ตามลำดับ

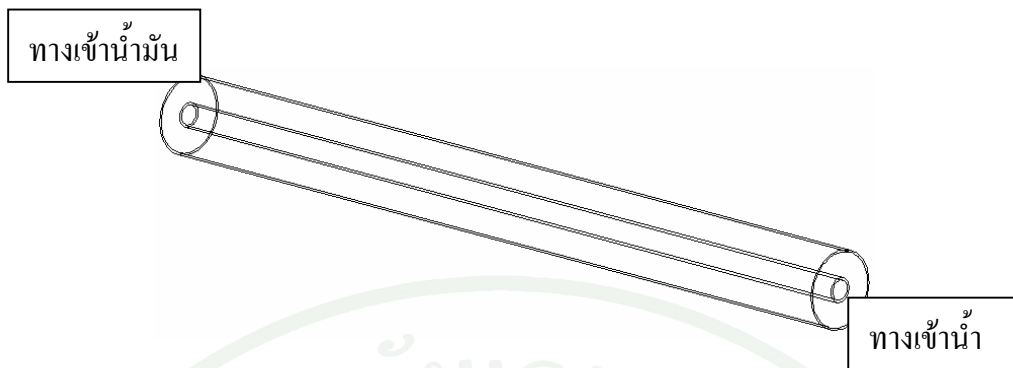
### อุปกรณ์

1. เครื่องคอมพิวเตอร์ : CPU i7 , RAM 4 GB
2. โปรแกรม Solid Work
3. โปรแกรม GAMBIT
4. โปรแกรม FLUENT

### วิธีการ

#### 1. แบบจำลองเครื่องแลกเปลี่ยนความร้อนแบบท่อเรียบ

ในแบบจำลองเครื่องแลกเปลี่ยนความร้อนแบบท่อเรียบนี้เป็นเครื่องแลกเปลี่ยนความร้อนชนิด Double-pipe ดังภาพที่ 24 ท่อของเครื่องแลกเปลี่ยนความร้อนแบบท่อเรียบมีความยาว 900 mm มีเส้นผ่านศูนย์กลางภายในขนาด 20 mm มีความหนา 5 mm โดยที่เส้นผ่านศูนย์กลางภายในของท่อนอกมีขนาด 76 mm โดยใช้ของไหลในท่อด้านในจะเป็นน้ำที่มีอุณหภูมิ 300 K ส่วนบริเวณท่อด้านนอกจะเป็นของไหลชนิดน้ำมันเครื่องร้อนนต์ (engine oil) ที่มีอุณหภูมิ 600 K ไหลสวนทางกัน



ภาพที่ 24 เครื่องแอลกเปลี่ยนความร้อนแบบท่อเรียบ

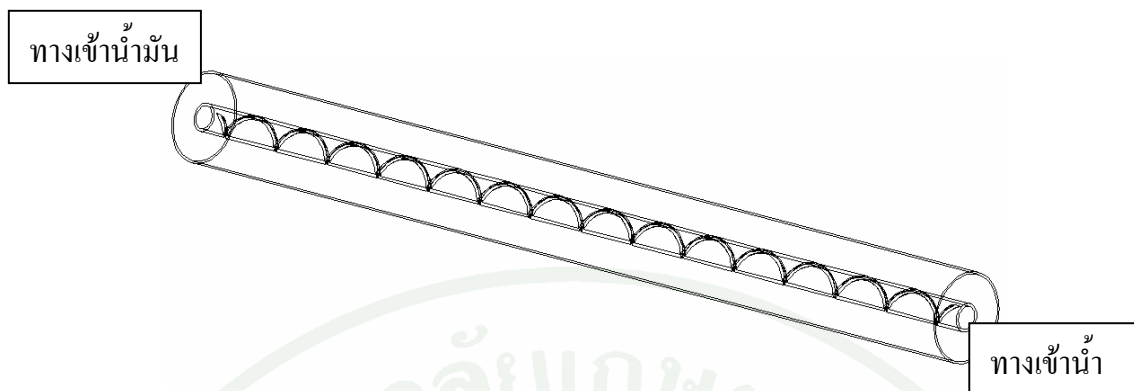
- เงื่อนไขของเขตสำหรับเครื่องแอลกเปลี่ยนความร้อนแบบท่อเรียบ
- ทางเข้าน้ำ กำหนดให้เป็นเงื่อนไขทางเข้าแบบ velocity inlet ค่าของความเร็ว กำหนดให้อยู่ในช่วงระหว่าง Reynolds number 10,000 ถึง 40,000 และให้มีอุณหภูมิของน้ำเท่ากับ 300 K
  - ทางออกน้ำ กำหนดให้เป็นเงื่อนไขทางออกแบบ outflow
  - ทางเข้าน้ำมัน กำหนดให้เป็นเงื่อนไขทางเข้าแบบ velocity inlet ให้ค่าของความเร็วเท่ากับ 1 m/s และให้น้ำมันมีอุณหภูมิ 600 K
  - ทางออกน้ำมัน กำหนดให้เป็นเงื่อนไขทางออกแบบ outflow
  - ผนัง ไม่มีความร้อนเข้าออกจากระบบ (Adiabatic surface)  
ไม่มีการลื่นไถกระหว่างน้ำกับผนังท่อ (No slip condition)  
ไม่มีการลื่นไถกระหว่างน้ำมันกับผนังท่อ (No slip condition)
  - พิจารณาการไหลแบบ 3 มิติ
  - การไหลไม่เปลี่ยนแปลงตามเวลา (Steady flow)
  - ใช้แบบจำลองการไหลแบบปั่นป่วนชนิด Standard  $k - \varepsilon$  Model
  - ประมาณค่าพจน์การพาดทัยวิธี Second order upwind
  - กระบวนการหาผลเฉลยใช้วิธี SIMPLE สำหรับพจน์ความดันแล้วความเร็ว
  - ใช้รูปแบบกริดแบบไม่มีโครงสร้าง (Unstructured grid) ซึ่งใช้กริดในลักษณะสามเหลี่ยม
  - ใช้จำนวนจุดกริดทั้งหมดเท่ากับ 451,566 จุด

ขั้นตอนการคำนวณของโปรแกรมมีรายละเอียดของขั้นตอนในการหาคำตอบดังต่อไปนี้

1. กำหนดเงื่อนไขขอบเขตและเงื่อนไขเริ่มต้น
2. กำหนดเงื่อนไขในการคำนวณเป็นให้การไหลในท่อมีลักษณะเป็นการไหลแบบปั่นป่วนแบบสามมิติ รวมทั้งมีการถ่ายเทความร้อน
3. คำนวณสมการ โมเมนตัมเพื่อทำการหาค่าความเร็ว
4. คำนวณสมการพลังงานเพื่อหาพลังงานรวมจำเพาะ
5. คำนวณค่าพลังงานจลน์ของการปั่นป่วน และอัตราการสูญเสียพลังงานจลน์ของการปั่นป่วน โดยใช้แบบจำลอง  $k - \varepsilon$  Model
6. กลับไปทำการคำนวณที่ 3-5 ใหม่จนกระทั่งค่าที่ได้จากการคำนวณมีความแตกต่างตามที่ Criterion convergence  $10^{-5}$  จะได้ผลการคำนวณที่ถูกเข้าหาคำตอบ

## 2. แบบจำลองเครื่องแอกเปลี่ยนความร้อนแบบท่อเกลียว

ในแบบจำลองเครื่องแอกเปลี่ยนความร้อนแบบท่อเกลียวนี้เป็นเครื่องแอกเปลี่ยนความร้อนชนิด Double-pipe ดังภาพที่ 25 ท่อของเครื่องแอกเปลี่ยนความร้อนแบบท่อเกลียวมีความยาว 900 mm มีเส้นผ่านศูนย์กลางภายในขนาด 20 mm มีความหนา 5 mm โดยที่เส้นผ่านศูนย์กลางภายในของห้องท่อนอกมีขนาด 76 mm โดยมีระยะพิทซ์ต่อเส้นผ่านศูนย์กลาง ( $p/d$ ) ตั้งแต่ 1 ถึง 6 และมีระยะความลึกร่องต่อเส้นผ่านศูนย์กลาง ( $e/d$ ) ตั้งแต่ 0.04 ถึง 0.09 และค่า Pr ตั้งแต่ 0.741 ถึง 6.99 โดยใช้ของไหลในห้องด้านในจะเป็นน้ำที่มีอุณหภูมิ 300 K ส่วนบริเวณห้องด้านนอกจะเป็นของไหลชนิดน้ำมันเครื่องรดยนต์ (engine oil) ที่มีอุณหภูมิ 600 K ไหลสวนทางกัน



ภาพที่ 25 เครื่องแอลกอเพลี่ยนความร้อนแบบท่อเกลี่ยว

เงื่อนไขของเขตสำหรับเครื่องแอลกอเพลี่ยนความร้อนแบบท่อเกลี่ยว

- ทางเข้าน้ำ กำหนดให้เป็นเงื่อนไขทางเข้าแบบ velocity inlet ค่าของความเร็วกำหนดให้อยู่ในช่วงระหว่าง Reynolds number 10,000 ถึง 40,000 และให้มีอุณหภูมิของน้ำเท่ากับ 300 K
- ทางออกน้ำ กำหนดให้เป็นเงื่อนไขทางออกแบบ Outflow
- ทางเข้าน้ำมัน กำหนดให้เป็นเงื่อนไขทางเข้าแบบ velocity inlet ให้ค่าของความเร็วเท่ากับ 1 m/s และให้น้ำมันมีอุณหภูมิ 600 K
- ทางออกน้ำมัน กำหนดให้เป็นเงื่อนไขทางออกแบบ outflow
- ผนัง ไม่มีความร้อนเข้าออกจากระบบ (Adiabatic surface)  
ไม่มีการลื่นไถกระหว่างน้ำกับผนังท่อ (No slip condition)  
ไม่มีการลื่นไถกระหว่างน้ำมันกับผนังท่อ (No slip condition)
- พิจารณาการไหลแบบ 3 มิติ
- การไหลไม่เปลี่ยนแปลงตามเวลา (Steady flow)
- ใช้แบบจำลองการไหลแบบปั่นป่วนชนิด Standard  $k - \varepsilon$  Model
- ประมาณค่าพจน์การพาด้วยวิธี Second order upwind
- กระบวนการหาผลเฉลยใช้วิธี SIMPLE สำหรับพจน์ความดันแล้วความเร็ว
- ใช้รูปแบบกริดแบบไม่มีโครงสร้าง (Unstructured grid) ซึ่งใช้กริดในลักษณะสามเหลี่ยม
- ใช้จำนวนจุดกริดทั้งหมดเท่ากับ 619,903 จุด

ขั้นตอนการคำนวณของโปรแกรมมีรายละเอียดของขั้นตอนในการหาคำตอบดังต่อไปนี้

1. กำหนดเงื่อนไขขอบเขตและเงื่อนไขเริ่มต้น
  2. กำหนดเงื่อนไขในการคำนวณเป็นให้การให้ในท่อ มีลักษณะเป็นการไหลแบบปั่นป่วนแบบสามมิติ รวมทั้งมีการถ่ายเทความร้อน
  3. คำนวณสมการ โมเมนตัมเพื่อทำการหาค่าความเร็ว
  4. คำนวณสมการพลังงานเพื่อหาพลังงานรวมจำเพาะ
  5. คำนวณค่าพลังงานจลน์ของการปั่นป่วน และอัตราการสูญเสียพลังงานจลน์ของการปั่นป่วน โดยใช้แบบจำลอง  $k - \varepsilon$  Model
  6. กลับไปทำการคำนวณที่ 3-5 ใหม่จนกระทั่งค่าที่ได้จากการคำนวณมีความแตกต่างตามที่ Criterion convergence  $10^{-5}$  จะได้ผลการคำนวณที่ถูกเข้าหาคำตอบ
3. ทำการเปรียบเทียบผลของเครื่องแอลกอปริย์นความร้อนแบบท่อเรียนโดยวิธีพลศาสตร์ของไอล เชิงคำนวณกับผลของจากทางทฤษฎีของท่อเรียน
- 3.1 ทำการเปรียบเทียบค่า friction factor ที่ได้จากโปรแกรม FLUENT กับค่า friction factor จากทางทฤษฎีโดยทฤษฎีที่นำมาเปรียบเทียบคือทฤษฎีของ Colebrook เพื่อที่จะหาความคลาดเคลื่อนของค่า friction factor จากวิธีพลศาสตร์ของไอลเชิงคำนวณ โดยใช้โปรแกรม FLUENT กับ ผลของ friction factor จากทางทฤษฎีของท่อเรียนในช่วง Reynolds number  $10,000 - 40,000$
  - 3.2 ทำการเปรียบเทียบผลของ Nusselt number ของท่อเรียนจากวิธีพลศาสตร์ของไอลเชิงคำนวณโดยใช้โปรแกรม FLUENT กับ ผลของ Nusselt number จากทางทฤษฎีของท่อเรียนโดยทฤษฎีที่นำมาเปรียบเทียบ คือ ทฤษฎีของ Dittus-Boelter เพื่อที่จะหาความคลาดเคลื่อนของค่า Nusselt number จากวิธีพลศาสตร์ของไอลเชิงคำนวณ โดยใช้โปรแกรม FLUENT กับ ผลของ Nusselt number จากทางทฤษฎีของท่อเรียนในช่วง Reynolds number  $10,000-40,000$

4. ทำการเปรียบเทียบผลของท่อเกลียวและผลของท่อเรียบจากวิธีพลศาสตร์ของไหหลังคำนวณ เพื่อศึกษาผลของร่องเกลียวในเครื่องแอลกเปลี่ยนความร้อน

4.1 ทำการเปรียบเทียบค่า **friction factor** ของท่อเรียบกับค่า **friction factor** ของท่อเกลียว จากวิธีพลศาสตร์ของไหหลังคำนวณ โดยใช้โปรแกรม **FLUENT** เพื่อศึกษาผลผลกระทบของ ร่องเกลียวต่อค่า **friction factor**

4.2 ทำการเปรียบเทียบค่า **Nusselt number** ของท่อเรียบกับค่า **Nusselt number** ของ ท่อเกลียวจากวิธีพลศาสตร์ของไหหลังคำนวณ โดยใช้โปรแกรม **FLUENT** เพื่อศึกษาผลผลกระทบ ของร่องเกลียวต่อค่า **Nusselt number**

5. ทำการศึกษาผลของค่า **Reynolds number** ต่อการไหในเครื่องแอลกเปลี่ยนความร้อนแบบ ท่อเกลียวโดยวิธีพลศาสตร์ของไหหลังคำนวณ

ทำการศึกษาค่า **friction factor** และ **Nusselt number** เมื่อเปลี่ยนแปลงค่า **Reynolds number** ในช่วง 10,000 ถึง 40,000 เพื่อหาความสัมพันธ์ของ **friction factor** กับ **Reynolds number** และ **Nusselt number** กับ **Reynolds number** โดยให้ค่า  $(e/d)$  เท่ากับ 0.04 และ ค่า  $(p/d)$  ของท่อเกลียว เท่ากับ 3 และค่า  $(Pr)$  เท่ากับ 6.99 ตามลำดับ

6. ทำการศึกษาผลของความถี่ร่องเกลียวต่อเส้นผ่านศูนย์กลาง  $(e/d)$  ต่อการไหในเครื่อง แอลกเปลี่ยนความร้อนแบบท่อเกลียวโดยวิธีพลศาสตร์ของไหหลังคำนวณ

ทำการศึกษาค่า **friction factor** และ **Nusselt number** เมื่อเปลี่ยนแปลงค่า  $(e/d)$  ในช่วง 0.04 ถึง 0.09 เพื่อหาความสัมพันธ์ของ **friction factor** กับค่า  $(e/d)$  และ **Nusselt number** กับ ค่า  $(e/d)$  โดยให้ค่า **Reynolds number** เท่ากับ 40,000 และ  $(p/d)$  ของท่อเกลียวเท่ากับ 3 และ ค่า  $(Pr)$  เท่ากับ 6.99 ตามลำดับ

**7. ทำการศึกษาผลของระยะพิทช์ต่อเส้นผ่านศูนย์กลาง ( $p/d$ ) ต่อการไหลในเครื่องแอลเพลี่ยนความร้อนแบบท่อเกลียวโดยวิธีพลศาสตร์ของไอลเชิงคำนวณ**

ทำการศึกษาค่า friction factor และ Nusselt number เมื่อเปลี่ยนแปลงค่า ( $p/d$ ) ในช่วง 1 ถึง 6 เพื่อหาความสัมพันธ์ของ friction factor กับค่า ( $p/d$ ) และ Nusselt number กับค่า ( $p/d$ ) โดยให้ค่า Reynolds number เท่ากับ 40,000 ( $e/d$ ) ของท่อเกลียวเท่ากับ 0.04 และค่า (Pr) เท่ากับ 6.99 ตามลำดับ

**8. ทำการศึกษาผลของค่าตัวเลขพรันด์ทีล (Pr) ต่อการไหลในเครื่องแอลเพลี่ยนความร้อนแบบท่อเกลียวโดยวิธีพลศาสตร์ของไอลเชิงคำนวณ**

ทำการศึกษาค่า Nusselt number เมื่อเปลี่ยนแปลงค่า ตัวเลขพรันด์ทีล (Pr) ในช่วง 0.741 ถึง 6.99 เพื่อหาความสัมพันธ์ของ Nusselt number กับค่า (Pr) โดยให้ค่า Reynolds number เท่ากับ 40,000 ( $e/d$ ) ของท่อเกลียวเท่ากับ 0.04 และ ( $p/d$ ) ของท่อเกลียวเท่ากับ 3 ตามลำดับ

**9. ทำการหาสมการประมาณค่า friction factor กับ Nusselt number สำหรับการไหลในเครื่องแอลเพลี่ยนความร้อนแบบท่อเกลียวโดยวิธีพลศาสตร์ของไอลเชิงคำนวณ**

จากผลการศึกษาของตัวแปรต่าง ๆ ได้แก่ ค่า Reynolds number, ( $e/d$ ), ( $p/d$ ) และ (Pr) ในการไหลของของไอลในเครื่องแலเพลี่ยนความร้อนแบบท่อเกลียวซึ่งมีผลทำให้ค่าของ friction factor กับ Nusselt number เกิดการเปลี่ยนแปลงดังนี้ในงานวิจัยนี้จึงมีเป้าหมายในการสร้างสมการที่สามารถคำนวณค่า friction factor กับ Nusselt number อันเกิดมาจากการเปลี่ยนแปลงผลจากตัวแปรดังกล่าวข้างต้นได้

**10. ทำการเปรียบเทียบผลจากสมการประมาณค่า friction factor และ Nusselt number กับผลจากวิธีพลศาสตร์ของไอลเชิงคำนวณ**

ทำการเปรียบเทียบผลจากสมการประมาณค่า friction factor และ Nusselt number กับผลจากวิธีพลศาสตร์ของไอลเชิงคำนวณนี้เพื่อหาความคลาดเคลื่อนของสมการประมาณค่า friction factor และ Nusselt number ระหว่างสมการประมาณค่ากับผลที่ได้จากวิธีพลศาสตร์ของไอลเชิงคำนวณ

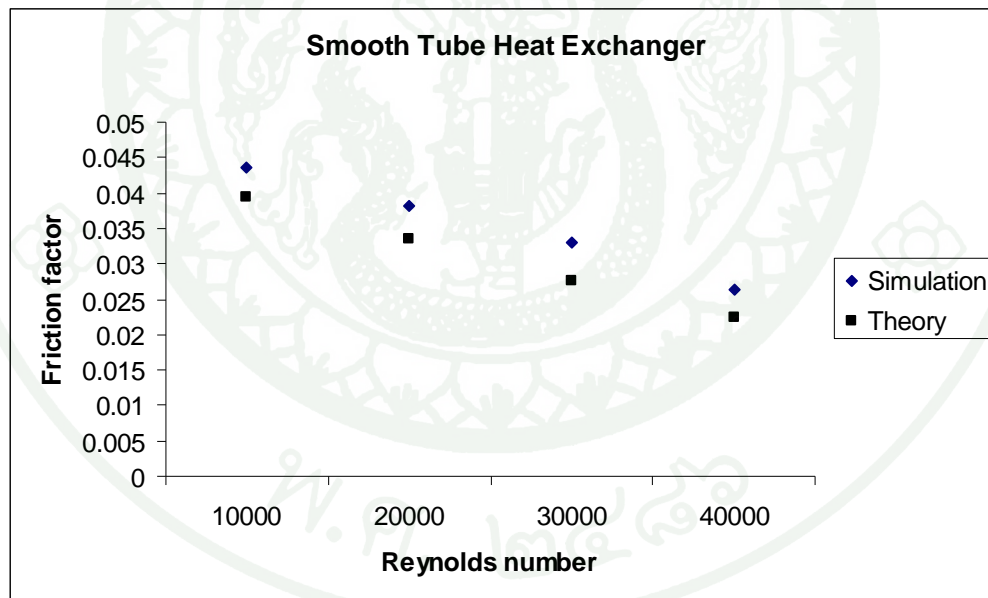
11. ทำการเปรียบเทียบผลจากสมการประมาณค่า friction factor และ Nusselt number กับผลจากการทดลอง

ทำการเปรียบเทียบผลจากสมการประมาณค่า friction factor และ Nusselt number กับผลจากการทดลองของ (Dong *et al.*, 2001) นั้น เพื่อหาความคลาดเคลื่อนของสมการประมาณค่า friction factor และ Nusselt number ระหว่างสมการประมาณค่ากับผลจากการทดลองเพื่อแสดงถึงการที่สมการประมาณค่า friction factor และ Nusselt number นั้น สามารถประมาณค่า friction factor และ Nusselt number ที่เกิดขึ้นจริงในเครื่องแครกเปลี่ยนความร้อนแบบท่อเคลือบได้ในระดับไหน

## ผลและวิจารณ์

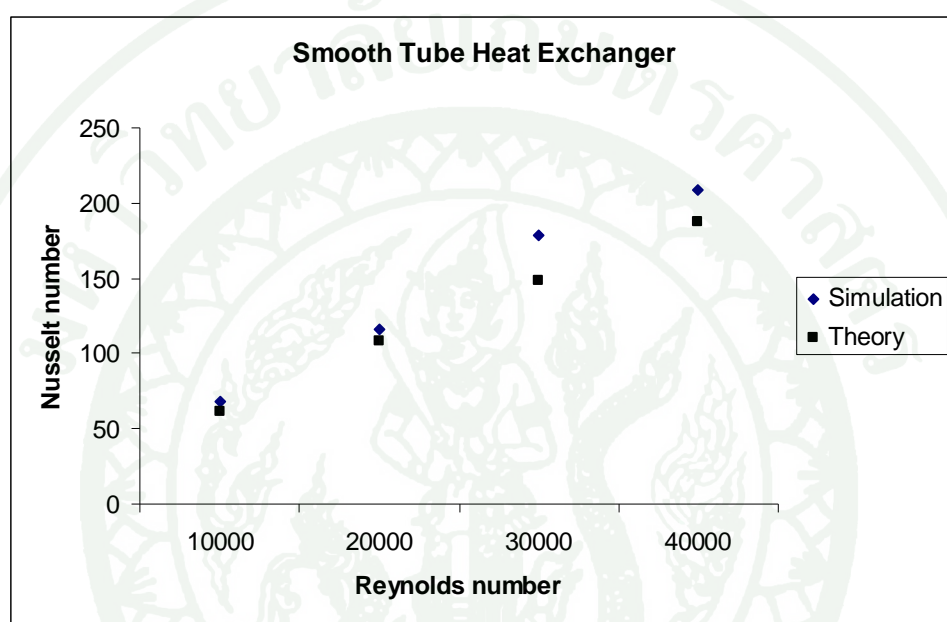
### 1. ทำการเปรียบเทียบผลของท่อเรียบจากวิธีพลศาสตร์ของไอลเซิงคำนวณกับผลของจากการทดลองที่มีข้อมูลของท่อเรียบ

1.1 ผลการเปรียบเทียบค่า **friction factor** ของท่อเรียบจากวิธีพลศาสตร์ของไอลเซิงคำนวณโดยใช้โปรแกรม FLUENT กับผลของ **friction factor** จากทางทฤษฎีของท่อเรียบ โดยทฤษฎีที่นำมาเปรียบเทียบ คือ ทฤษฎีของ Colebrook พบว่า ค่าความคลาดเคลื่อนมีค่าสูงสุดประมาณ 13% ดังภาพที่ 26 แต่อย่างไรก็ตามความคลาดเคลื่อนที่เกิดขึ้นไม่นักแสดงว่าผลของการคำนวณทางพลศาสตร์ของไอลเซิงตัวเลขมีความใกล้เคียงกับผลทางทฤษฎี จึงทำให้สามารถอุปโภคได้ว่าการคำนวณทางพลศาสตร์ของไอลเซิงตัวเลขนั้นเชื่อถือได้ ความคลาดเคลื่อนของการทดลองสามารถลดได้จากภาคผนวก ง



ภาพที่ 26 ผลการเปรียบเทียบค่า **friction factor** จากโปรแกรมกับทางทฤษฎี

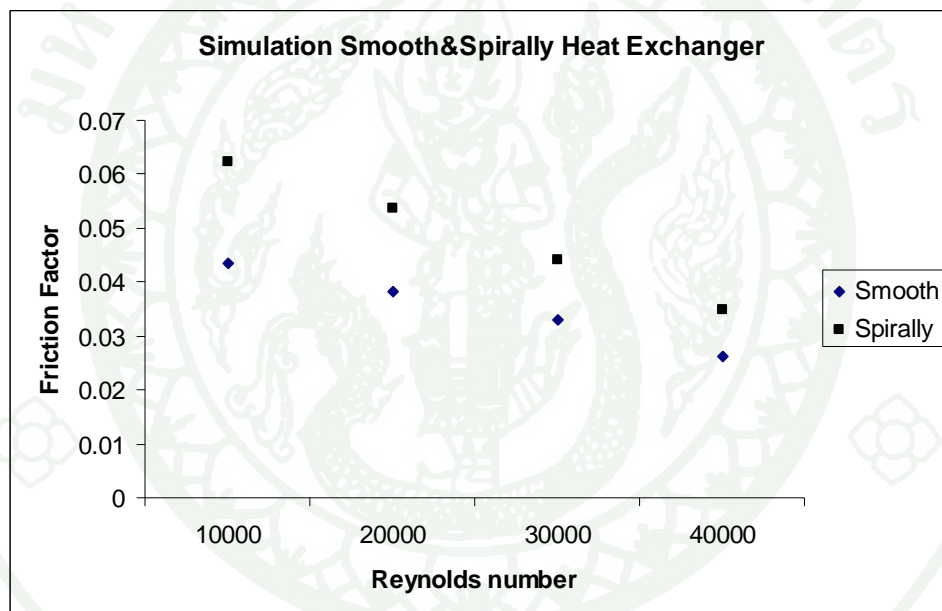
1.2 ผลการเปรียบเทียบของ **Nusselt number** ของท่อเรียบจากวิธีพลศาสตร์ของไอลเชิงคำนวณโดยใช้โปรแกรม **FLUENT** กับผลของ **Nusselt number** จากทางทฤษฎีของท่อเรียบโดยทฤษฎีที่นำมาเปรียบเทียบ คือ ทฤษฎีของ **Dittus-Boelter** พบว่า ค่าความคลาดเคลื่อนมีค่าสูงสุดประมาณ 13% ดังภาพที่ 27 ความคลาดของค่า **Nusselt number** ของท่อเรียบกับค่า **Nusselt number** จากทางทฤษฎีของท่อเรียบสามารถดูได้จากภาคผนวก ๑



ภาพที่ 27 ผลการเปรียบเทียบค่า **Nusselt number** จากโปรแกรมกับทางทฤษฎี

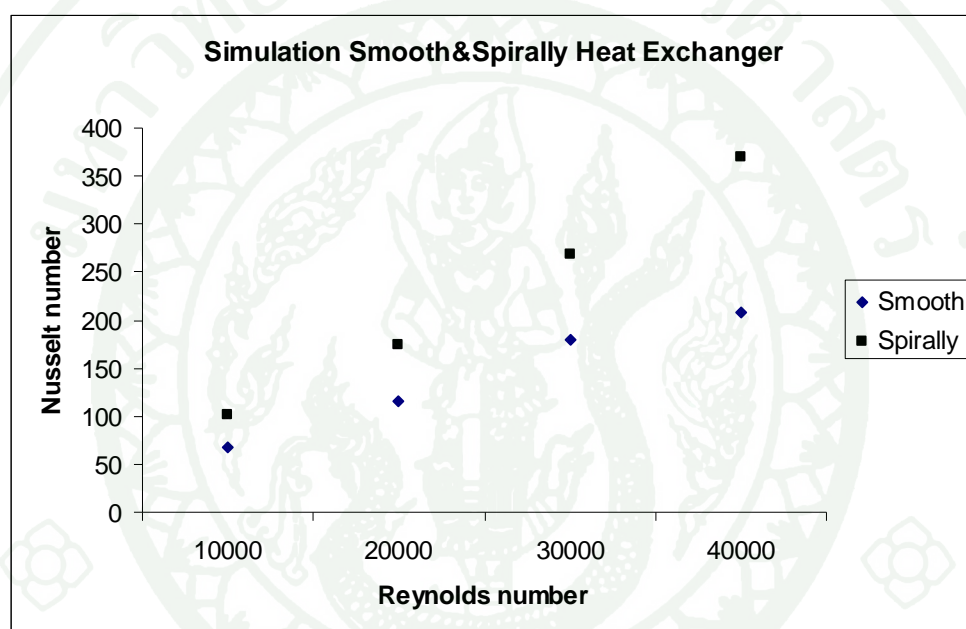
**2. ทำการเปรียบเทียบผลของท่อเกลียวและผลของท่อเรียนจากวิธีพลศาสตร์ของไอลเชิงคำนวณ เพื่อศึกษาผลของร่องเกลียวในเครื่องแอกเปลี่ยนความร้อน**

2.1 ผลการเปรียบเทียบผลของ **friction factor** ของท่อเกลียวและผลของ **friction factor** ของท่อเรียนจากวิธีพลศาสตร์ของไอลเชิงคำนวณ โดยใช้โปรแกรม **FLUENT** พบว่า เมื่อพิจารณาค่า **friction factor** ของการไอลในเครื่องแอกเปลี่ยนความร้อนแบบท่อเกลียวเปรียบเทียบกับเครื่องแอกเปลี่ยนความร้อนแบบท่อเรียนจะพบว่า ค่า **friction factor** ของการไอลในเครื่องแอกเปลี่ยนความร้อนแบบท่อเกลียวจะมีค่ามากกว่าการไอลในเครื่องแอกเปลี่ยนความร้อนแบบท่อเรียนธรรมชาติ ค่า **Reynolds number** เดียวกันและ **friction factor** ลดลงเมื่อ **Reynolds number** เพิ่มขึ้นดังภาพที่ 28



ภาพที่ 28 ผลการเปรียบเทียบผลของ **friction factor** ของท่อเกลียวกับผลของท่อเรียนจากวิธีพลศาสตร์ของไอลเชิงคำนวณ

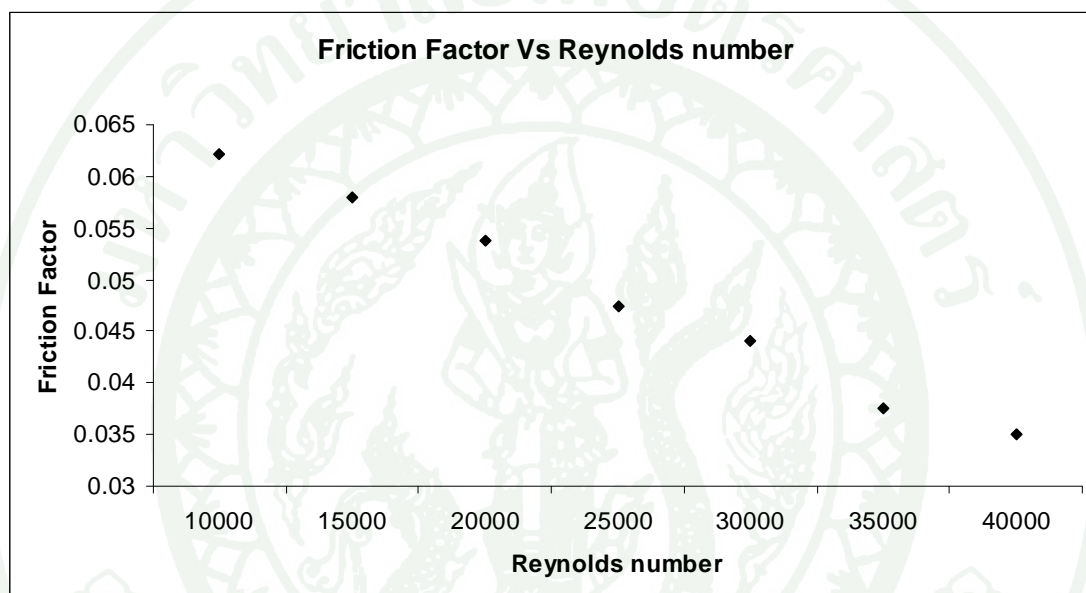
2.2 ผลการเปรียบเทียบผล **Nusselt number** ของท่อเกลียวและผลของ **Nusselt number** ของท่อเรียบจากวิธีพลศาสตร์ของไอลเซิงคำนวณโดยใช้โปรแกรม **FLUENT** พบว่า เมื่อพิจารณาค่า **Nusselt number** ของการไอลในเครื่องแลกเปลี่ยนความร้อนแบบท่อเกลียวเปรียบเทียบกับเครื่องแลกเปลี่ยนความร้อนแบบท่อเรียบจะพบว่า ค่า **Nusselt number** ของการไอลในเครื่องแลกเปลี่ยนความร้อนแบบท่อเรียบธรรมดาก็ค่า **Reynolds number** เดียวกันและ **Nusselt number** ของท่อห้องคู่เพิ่มขึ้นเมื่อ **Reynolds number** เพิ่มขึ้นดังภาพที่ 29



ภาพที่ 29 ผลการเปรียบเทียบผลของ **Nusselt number** ของท่อเกลียวกับผลของท่อเรียบจากวิธีพลศาสตร์ของไอลเซิงคำนวณ

3. ผลของค่า Reynolds number ต่อการไหลในเครื่องแอลกเปลี่ยนความร้อนแบบท่อเกลียวโดยวิธีพลศาสตร์ของไอลเชิงคำนวณ

3.1 จากการศึกษาผลว่าเมื่อค่า Reynolds number เพิ่มขึ้นค่า friction factor จะลดลงโดยที่ค่าความลึกร่องต่อเส้นผ่านศูนย์กลางท่อ ( $e/d$ ) เท่ากับ 0.04 ระยะพิทช์ต่อเส้นผ่านศูนย์กลางของท่อเกลียว ( $p/d$ ) เท่ากับ 3 การลดลงของ friction factor มีการลดลงดังแสดงในภาพที่ 30

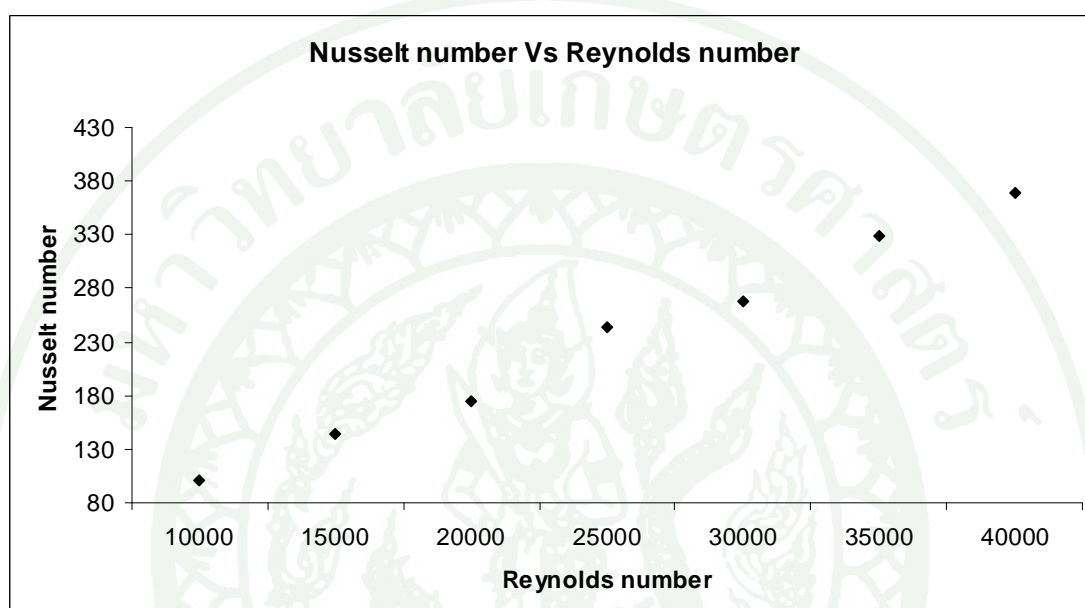


ภาพที่ 30 ผลของ friction factor ต่อค่า Reynolds number ของท่อเกลียว

จากภาพที่ 30 สามารถหาความสัมพันธ์ระหว่าง friction factor กับ ค่า Reynolds number ของท่อเกลียวที่มีค่า ( $e/d$ ) เท่ากับ 0.04 และ ( $p/d$ ) เท่ากับ 3 โดยเมื่อค่า Reynolds number เพิ่มขึ้น ค่า friction factor จะลดลงในแนวโน้มของสมการยกกำลังจึงสามารถหาความสัมพันธ์ในรูปแบบสมการยกกำลังได้ดังสมการที่ (124)

$$f = 0.0679 * \text{Re}^{-0.2967} \quad (124)$$

3.2 จากการศึกษาผลว่าเมื่อค่า Reynolds number เพิ่มขึ้นค่า Nusselt number จะเพิ่มขึ้นด้วยที่ค่าความลึกร่องต่อเส้นผ่านศูนย์กลางห้อง ( $e/d$ ) เท่ากับ 0.04 ระยะพิทช์ต่อเส้นผ่านศูนย์กลางของห้อง ( $p/d$ ) เท่ากับ 3 และ Pr เท่ากับ 6.99 โดยการเพิ่มขึ้นของ Nusselt number แสดงในภาพที่ 31



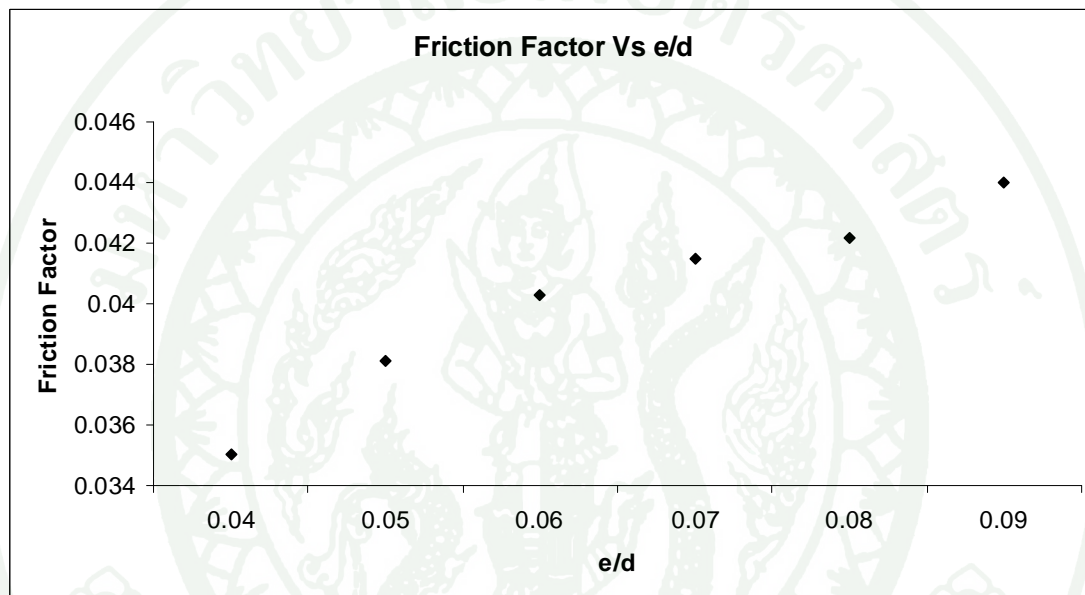
ภาพที่ 31 ผลของ Nusselt number ต่อค่า Reynolds number ของห้องเกลียว

จากภาพที่ 31 สามารถหาความสัมพันธ์ระหว่าง Nusselt number กับ ค่า Reynolds number ของห้องเกลียวที่มีค่า ( $e/d$ ) เท่ากับ 0.04 ( $p/d$ ) เท่ากับ 3 และ Pr เท่ากับ 6.99 โดยเมื่อค่า Reynolds number เพิ่มขึ้นค่า Nusselt number จะเพิ่มขึ้นในแนวโน้มของสมการยกกำลังจึงสามารถหาความสัมพันธ์ในรูปแบบสมการยกกำลังได้ดังสมการที่ (125)

$$Nu = 93.754 * Re^{0.6751} \quad (125)$$

4. ผลของค่าความลึกร่องเกลียวต่อเส้นผ่านศูนย์กลาง ( $e/d$ ) ต่อการไหลในเครื่องแอลเอปเลี่ยน ความร้อนแบบท่อเกลียวโดยวิธีผลศาสตร์ของไฮเซิงคำนวณ

4.1 จากผลการศึกษาผลว่าเมื่อค่า ( $e/d$ ) มากขึ้นค่า friction factor มีแนวโน้มเพิ่มขึ้นที่ค่า Reynolds number เท่ากับ 40,000 และ ( $p/d$ ) เท่ากับ 3 โดยการเพิ่มขึ้นของ friction factor แสดงดังภาพที่ 32

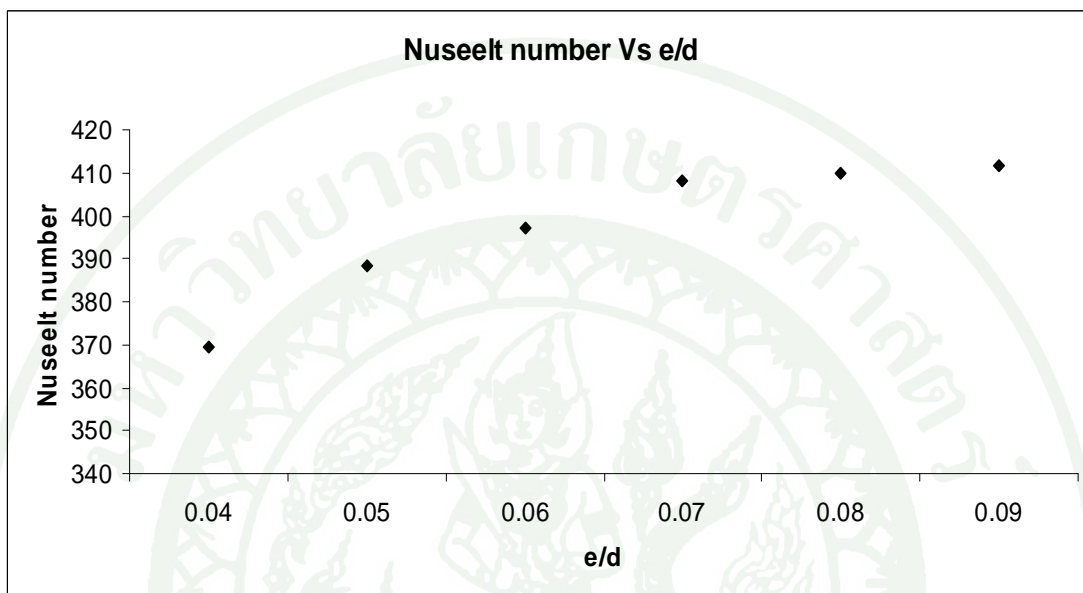


ภาพที่ 32 ผลของ friction factor ต่อค่า ( $e/d$ ) ของท่อเกลียว

จากภาพที่ 32 สามารถหาความสัมพันธ์ระหว่าง friction factor กับค่า ( $e/d$ ) ของท่อเกลียว ที่มีค่า เท่ากับ 40,000 และ ( $p/d$ ) เท่ากับ 3 โดยเมื่อค่า Reynolds number เพิ่มขึ้นค่า friction factor จะลดลงในแนวโน้มของสมการยกกำลังจึงสามารถหาความสัมพันธ์ในรูปแบบสมการยกกำลังได้ ดังสมการที่ (126)

$$f = 0.035 * (e/d)^{0.1232} \quad (126)$$

4.2 จากผลการศึกษาผลว่าเมื่อค่า  $(e/d)$  มากขึ้นค่า Nusselt number มีแนวโน้มเพิ่มขึ้นที่ค่า Reynolds number เท่ากับ 40,000  $(p/d)$  เท่ากับ 3 และ Pr เท่ากับ 6.99 โดยการเพิ่มขึ้นของ Nusselt number แสดงดังภาพที่ 33



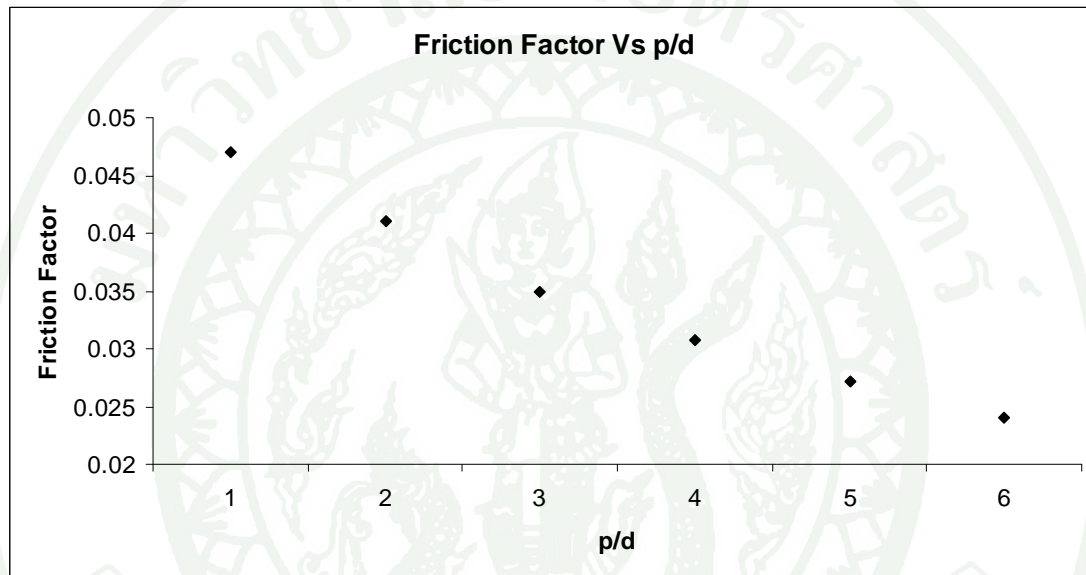
ภาพที่ 33 ผลของ Nusselt number ต่อค่า  $(e/d)$  ของท่อเกลียว

จากภาพที่ 33 สามารถ看出ความสัมพันธ์ระหว่าง Nusselt number กับค่า  $(e/d)$  ของท่อเกลียวที่มีค่า Reynolds number เท่ากับ 40,000  $(p/d)$  เท่ากับ 3 และ Pr เท่ากับ 6.99 โดยเมื่อค่า Reynolds number เพิ่มขึ้นค่า Nusselt number จะเพิ่มขึ้นในแนวโน้มของสมการยกกำลังจึงสามารถหาความสัมพันธ์ในรูปแบบสมการยกกำลังได้ดังสมการที่ (127)

$$Nu = 370.73 * (e/d)^{0.0627} \quad (127)$$

5. ผลของค่าร้อยละพิทช์ของเกลียวต่อเส้นผ่านศูนย์กลาง ( $p/d$ ) ต่อการไหลในเครื่องแอลเเพลี่ยน ความร้อนแบบท่อเกลียวโดยวิธีผลศาสตร์ของไฮเซิงคำนวณ

5.1 จากผลการศึกษาผลว่าเมื่อค่า ( $p/d$ ) มากขึ้นค่า friction factor มีแนวโน้มลดลงที่ค่า Reynolds number เท่ากับ 40,000 และ ( $e/d$ ) เท่ากับ 0.04 โดยการลดลงของ friction factor แสดงดังภาพที่ 32

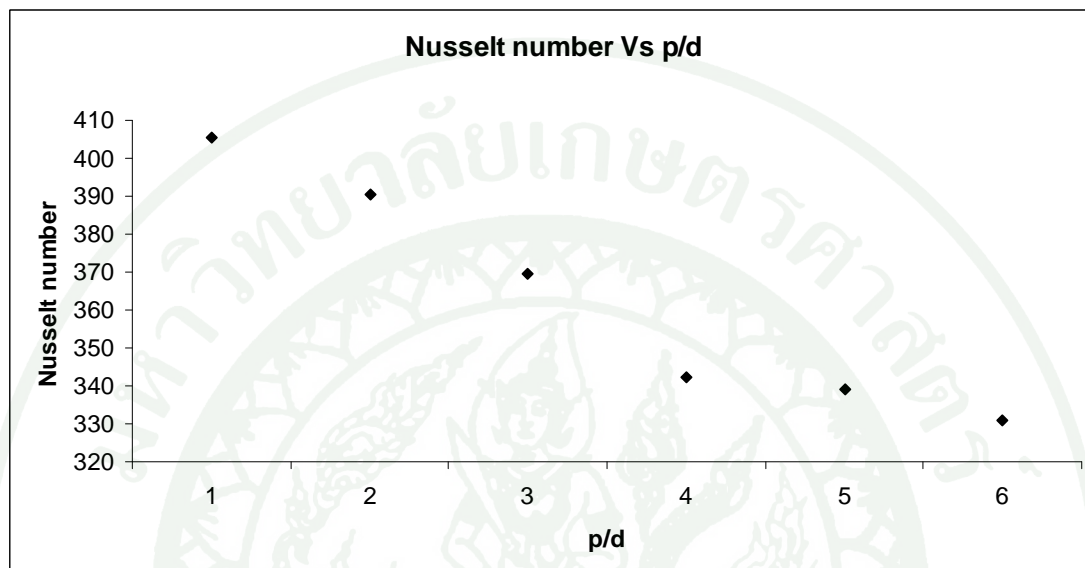


ภาพที่ 34 ผลของ friction factor ต่อค่า ( $p/d$ ) ของท่อเกลียว

จากภาพที่ 32 สามารถหาความสัมพันธ์ระหว่าง friction factor กับค่า ( $p/d$ ) ของท่อเกลียวที่เท่ากับ 40,000 และ ( $e/d$ ) เท่ากับ 0.04 โดยเมื่อค่า Reynolds number เพิ่มขึ้นค่า friction factor จะลดลงในแนวโน้มของสมการยกกำลัง จึงสามารถหาความสัมพันธ์ในรูปแบบสมการยกกำลังได้ดังสมการที่ (128)

$$f = 0.05 * (p/d)^{-0.372} \quad (128)$$

5.2 จากผลการศึกษาผลว่าเมื่อค่า  $(p/d)$  มากขึ้นค่า Nusselt number มีแนวโน้มลดลงที่ค่า Reynolds number เท่ากับ 40,000 ( $e/d$ ) เท่ากับ 0.04 และ Pr เท่ากับ 6.99 โดยการลดลงของ Nusselt number แสดงดังภาพที่ 33



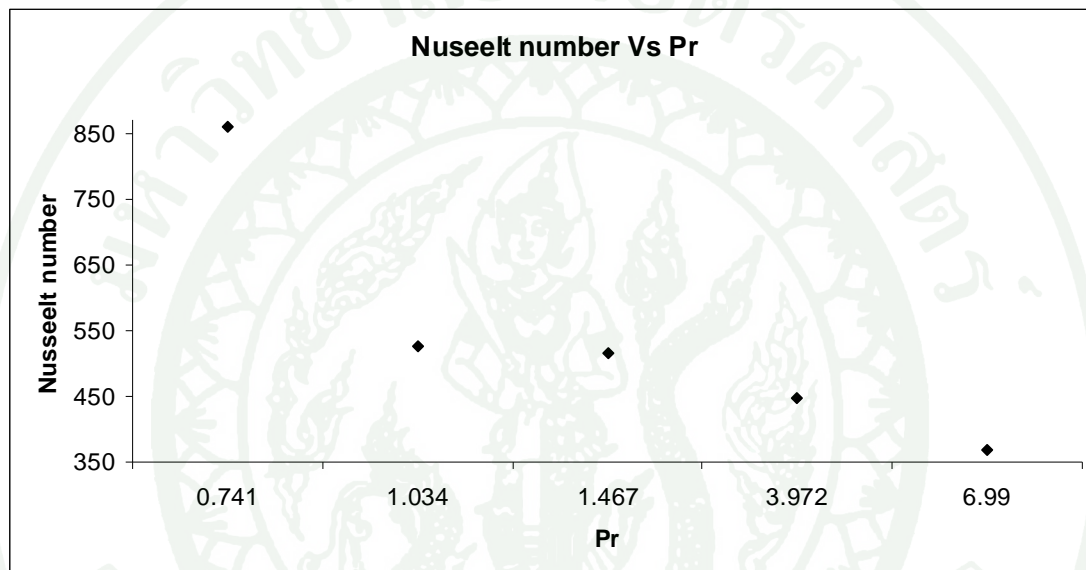
ภาพที่ 35 ผลของ Nusselt number ต่อค่า  $(p/d)$  ของท่อเกลียว

จากภาพที่ 33 สามารถหาความสัมพันธ์ระหว่าง Nusselt number กับค่า  $(p/d)$  ของท่อเกลียวที่มีค่า Reynolds number เท่ากับ 40,000 ( $e/d$ ) เท่ากับ 0.04 และ Pr เท่ากับ 6.99 โดยเมื่อค่า Reynolds number เพิ่มขึ้นค่า Nusselt number จะลดลงในแนวโน้มของสมการยกกำลัง จึงสามารถหาความสัมพันธ์ในรูปแบบสมการยกกำลังได้ดังสมการที่ (129)

$$Nu = 413.44 * (p/d)^{-0.1218} \quad (129)$$

6. ผลของค่าตัวเลขพรันเดทิล ( $\text{Pr}$ ) ต่อการถ่ายเทความร้อนในเครื่องแอลกอเพลี่นความร้อนแบบท่อเกลียวโดยวิธีผลศาสตร์ของไอลเซิงคำนวณ

จากผลการศึกษาผลว่าเมื่อค่า ( $\text{Pr}$ ) มาขึ้นค่า Nusselt number มีลดลงอย่างเห็นได้ชัด ที่ค่า Reynolds number เท่ากับ 40,000 ( $e/d$ ) เท่ากับ 0.04 และ  $p/d$  เท่ากับ 3 โดยการลดลงของ Nusselt number แสดงดังภาพที่ 34



ภาพที่ 36 ผลของ Nusselt number ต่อค่า ( $\text{Pr}$ ) ของท่อเกลียว

จากภาพที่ 34 สามารถหาความสัมพันธ์ระหว่าง Nusselt number กับค่า ( $\text{Pr}$ ) ของ ท่อเกลียวที่มีค่า Reynolds number เท่ากับ 40,000 ( $e/d$ ) เท่ากับ 0.04 และ  $p/d$  เท่ากับ 3 โดยเมื่อค่า Reynolds number เพิ่มขึ้นค่า Nusselt number จะลดลงในแนวโน้มของสมการยกกำลัง จึงสามารถหาความสัมพันธ์ในรูปแบบสมการยกกำลัง ได้ดังสมการที่ (130)

$$Nu = 825.26 * \text{Pr}^{-0.4794} \quad (130)$$

7. ผลการหาสมการประมาณค่า friction factor กับ Nusselt number สำหรับการไหลในเครื่องแลกเปลี่ยนความร้อนแบบท่อเกลียวโดยวิธีพลศาสตร์ของไหลเชิงคำนวณ

7.1 จากผลของ friction factor ที่เกิดจากการเปลี่ยนแปลงค่า Reynolds number,  $(e/d)$ ,  $(p/d)$  และ  $(Pr)$  ในกรณีต่างๆ พบว่า ความสัมพันธ์ของ friction factor ที่เกิดจากการเปลี่ยนแปลงค่า Reynolds number,  $(e/d)$  และ  $(p/d)$  ในกรณีต่างๆ นั้นมีแนวโน้มแบบสมการยกกำลังดังสมการที่ (124), (126) และ (128) ตามลำดับ

7.1.1 จากความสัมพันธ์ของ friction factor และ Reynolds number ดังสมการที่ (124) ตัวแปรต่างๆ ในสมการ (124) สามารถแทนด้วยตัวแปรในสมการที่ (131)

$$f_{Re,i} = C_{Re,i} Re_i^{n_{Re,i}} \quad (131)$$

โดย  $f_{Re,i}$  คือ ค่า friction factor ของการทดลองอันดับที่  $i$

$Re_i$  คือ ค่า Reynolds number ของการทดลองอันดับที่  $i$

$n_{Re,i}$  คือ ค่ายกกำลังของความสัมพันธ์ระหว่าง  $f_{Re,i}$  กับ  $Re_i$

$C_{Re,i}$  คือ ค่าคงที่ของความสัมพันธ์ระหว่าง  $f_{Re,i}$  กับ  $Re_i$

จะนั้น จะได้ว่า friction factor เป็นฟังก์ชันของ  $(Re)^{n_{Re,i}}$  ดังสมการที่ (132)

$$f = f (Re)^{n_{Re,i}} \quad (132)$$

7.1.2 จากความสัมพันธ์ของ friction factor และ  $(e/d)$  ดังสมการที่ (126) ตัวแปรต่างๆ ในสมการ (126) สามารถแทนด้วยตัวแปรในสมการที่ (133)

$$f_{(e/d),j} = C_{(e/d),j} (e/d)_j^{n_{(e/d),j}} \quad (133)$$

โดย  $f_{(e/d),j}$  คือ ค่า friction factor ของการทดลองอันดับที่  $j$

$(e/d)_j$  คือ ค่า  $(e/d)$  ของการทดลองอันดับที่  $j$

$n_{(e/d),j}$  คือ ค่ายกกำลังของความสัมพันธ์ระหว่าง  $f_{(e/d),j}$  กับ  $(e/d)_j$   
 $C_{(e/d),j}$  คือ ค่าคงที่ของความสัมพันธ์ระหว่าง  $f_{(e/d),j}$  กับ  $(e/d)_j$

จะนั้นจะได้ว่า friction factor เป็นฟังก์ชันของ  $(e/d)^{n_{(e/d),j}}$  ดังสมการที่ (134)

$$f = f \cdot (e/d)^{n_{(e/d),j}} \quad (134)$$

7.1.3 จากความสัมพันธ์ของ friction factor และ  $(p/d)$  ดังสมการ (128) ตัวแปรต่างๆ ในสมการ (128) สามารถแทนด้วยตัวแปรในสมการที่ (135)

$$f_{(p/d),k} = C_{(p/d),k} (p/d)_k^{n_{(p/d),k}} \quad (135)$$

โดย  $f_{(p/d),k}$  คือ ค่า friction factor ของการทดลองอันดับที่  $k$   
 $(p/d)_k$  คือ ค่า  $(p/d)$  ของการทดลองอันดับที่  $k$   
 $n_{(p/d),k}$  คือ ค่ายกกำลังของความสัมพันธ์ระหว่าง  $f_{(p/d),k}$  กับ  $(p/d)_k$   
 $C_{(p/d),k}$  คือ ค่าคงที่ของความสัมพันธ์ระหว่าง  $f_{(p/d),k}$  กับ  $(p/d)_k$

จะนั้นจะได้ว่า friction factor เป็นฟังก์ชันของ  $(p/d)^{n_{(p/d),k}}$  ดังสมการที่ (136)

$$f = f \cdot (p/d)^{n_{(p/d),k}} \quad (136)$$

7.1.4 จากสมการที่ (132), (134) และ (136) สามารถสร้างความสัมพันธ์ของ friction factor ดังสมการ (137)

$$f_{i,j,k} = C_{i,j,k} * \text{Re}_i^{n_{\text{Re},i}} * (e/d)_j^{n_{(e/d),j}} * (p/d)_k^{n_{(p/d),k}} \quad (137)$$

โดย  $f_{i,j,k}$  คือ ค่า friction factor จากความสัมพันธ์ของการทดลองที่  $i, j, k$   
 $\text{Re}_i^{n_{\text{Re},i}}$  คือ ค่า Reynolds number ยกกำลังที่เป็นฟังก์ชันกับ friction factor  
 $(e/d)_j^{n_{(e/d),j}}$  คือ ค่า  $(e/d)$  ยกกำลังที่เป็นฟังก์ชันกับ friction factor

$(p/d)_k^{n_{(p/d),k}}$  คือ ค่า  $(p/d)$  ยกกำลังที่เป็นพังก์ชันกับ friction factor  
 $C_{i,j,k}$  คือ ค่าคงที่ที่ได้จากการทดลองที่  $i, j, k$  หาได้จากสมการที่ (138)

$$C_{i,j,k} = \frac{f_{i,j,k}}{\text{Re}_i^{n_{\text{Re},i}} (e/d)_j^{n_{(e/d),j}} (p/d)_k^{n_{(p/d),k}}} \quad (138)$$

ค่า  $C_{i,j,k}$  มีค่าแตกต่างกันตามการทดลองที่  $i, j, k$  ตามลำดับ ขณะนี้ จึงต้องหาค่าเฉลี่ยของค่าคงที่ได้จากการความสัมพันธ์ระหว่าง friction factor กับ Reynolds number,  $(e/d)$  และ  $(p/d)$  ดังสมการที่ (139)

$$C_{i,j,k} \text{avg} = \frac{\sum_{i=1}^n \sum_{j=1}^n \sum_{k=1}^n C_{i,j,k}}{n} \quad (139)$$

ขณะนี้ จะได้สมการประมาณค่าของ friction factor ซึ่งมีความสัมพันธ์กับ Reynolds number,  $(e/d)$  และ  $(p/d)$  ดังสมการที่ (140)

$$\tilde{f} = 2.025(e/d)^{0.1232} (p/d)^{-0.372} (\text{Re})^{-0.2967} \quad (140)$$

โดยสมการที่ (140) นั้นสามารถประมาณค่า friction factor ของการไหลในเครื่องแลกเปลี่ยนความร้อนแบบท่อเกลียวในช่วง Reynolds number ระหว่าง 10,000 ถึง 40,000 ในช่วงค่า  $(e/d)$  ระหว่าง 0.04 ถึง 0.09 และในช่วง  $(p/d)$  ระหว่าง 1 ถึง 6 เท่านั้น

7.2 จากผลของ Nusselt number ที่เกิดจากการเปลี่ยนแปลงค่า Reynolds number,  $(e/d)$ ,  $(p/d)$  และ  $(\text{Pr})$  ในกรณีต่างๆ พบร้า ความสัมพันธ์ของ friction factor ที่เกิดจากการเปลี่ยนแปลงค่า Reynolds number,  $(e/d)$ ,  $(p/d)$  และ  $(\text{Pr})$  ในกรณีต่างๆ นั้นมีแนวโน้มแบบสมการยกกำลัง ดังสมการที่ (125), (127), (129) และ (130) ตามลำดับ

7.2.1 จากความสัมพันธ์ของ Nusselt number และ Reynolds number ดังสมการที่ (125) ตัวแปรต่างๆ ในสมการ (125) สามารถแทนด้วยตัวแปรในสมการที่ (141)

$$Nu_{Re,i} = C_{Re,i} Re_i^{n_{Re,i}} \quad (141)$$

โดย  $Nu_{Re,i}$  คือ ค่า **Nusselt number** ของการทดลองอันดับที่  $i$

$Re_i$  คือ ค่า **Reynolds number** ของการทดลองอันดับที่  $i$

$n_{Re,i}$  คือ ค่ายกกำลังของความสัมพันธ์ระหว่าง  $Nu_{Re,i}$  กับ  $Re_i$

$C_{Re,i}$  คือ ค่าคงที่ของความสัมพันธ์ระหว่าง  $Nu_{Re,i}$  กับ  $Re_i$

จะนั้น จะได้ว่าค่า **Nusselt number** เป็นฟังก์ชันของ  $(Re)^{n_{Re,i}}$  ดังสมการที่ (142)

$$Nu = f (Re)^{n_{Re,i}} \quad (142)$$

7.2.2 จากความสัมพันธ์ของ **Nusselt number** และ  $(e/d)$  ดังสมการที่ (127) ตัวแปรต่างๆ ในสมการ (127) สามารถแทนด้วยตัวแปรในสมการที่ (143)

$$Nu_{(e/d),j} = C_{(e/d),j} (e/d)_j^{n_{(e/d),j}} \quad (143)$$

โดย  $Nu_{(e/d),j}$  คือ ค่า **Nusselt number** ของการทดลองอันดับที่  $j$

$(e/d)_j$  คือ ค่า  $(e/d)$  ของการทดลองอันดับที่  $j$

$n_{(e/d),j}$  คือ ค่ายกกำลังของความสัมพันธ์ระหว่าง  $f_{(e/d),j}$  กับ  $(e/d)_j$

$C_{(e/d),j}$  คือ ค่าคงที่ของความสัมพันธ์ระหว่าง  $f_{(e/d),j}$  กับ  $(e/d)_j$

จะนั้น จะได้ว่าค่า **Nusselt number** เป็นฟังก์ชันของ  $(e/d)^{n_{(e/d),j}}$  ดังสมการที่ (144)

$$Nu = f (e/d)^{n_{(e/d),j}} \quad (144)$$

7.2.3 จากความสัมพันธ์ของ **Nusselt number** และ  $(p/d)$  ดังสมการที่ (129) ตัวแปรต่างๆ ในสมการ (129) สามารถแทนด้วยตัวแปรในสมการที่ (145)

$$Nu_{(p/d),k} = C_{(p/d),k} (p/d)_k^{n_{(p/d),k}} \quad (145)$$

โดย  $Nu_{(p/d),k}$  คือ ค่า Nusselt number ของการทดลองอันดับที่  $k$   
 $(p/d)_k$  คือ ค่า  $(p/d)$  ของการทดลองอันดับที่  $k$   
 $n_{(p/d),k}$  ค่ายกกำลังของความสัมพันธ์ระหว่าง  $f_{(p/d),k}$  กับ  $(p/d)_k$   
 $C_{(p/d),k}$  ค่าคงที่ของความสัมพันธ์ระหว่าง  $f_{(p/d),k}$  กับ  $(p/d)_k$

จะนั่นจะได้ว่าค่า Nusselt number เป็นฟังก์ชันของ  $(p/d)^{n_{(p/d),k}}$  ดังสมการที่ (146)

$$Nu = f \cdot (p/d)^{n_{(p/d),k}} \quad (146)$$

7.2.4 จากความสัมพันธ์ของ Nusselt number และ  $(Pr)$  ดังสมการที่ (130) ตัวแปรต่างๆ ในสมการ (130) สามารถแทนด้วยตัวแปรในสมการที่ (147)

$$Nu_{Pr,l} = C_{Pr,l} \cdot Pr_l^{n_{Pr,l}} \quad (147)$$

โดย  $Nu_{Pr,l}$  คือ ค่า Nusselt number ของการทดลองอันดับที่  $l$   
 $Pr_l$  คือ ค่า  $Pr$  ของการทดลองอันดับที่  $l$   
 $n_{Pr,l}$  ค่ายกกำลังของความสัมพันธ์ระหว่าง  $Nu_{Pr,l}$  กับ  $Pr_l$   
 $C_{Pr,l}$  ค่าคงที่ของความสัมพันธ์ระหว่าง  $Nu_{Pr,l}$  กับ  $Pr_l$

จะนั่น จะได้ว่าค่า Nusselt number เป็นฟังก์ชันของ  $(Pr)^{n_{Pr,l}}$  ดังสมการที่ (148)

$$Nu = f \cdot (Pr)^{n_{Pr,l}} \quad (148)$$

7.2.5 จากสมการที่ (142), (144), (146) และ (148) สามารถสร้างความสัมพันธ์ของ Nusselt number ได้ดังสมการ (149)

$$Nu_{i,j,k,l} = C_{i,j,k,l} * Re_i^{n_{Re,i}} * (e/d)_j^{n_{(e/d),j}} * (p/d)_k^{n_{(p/d),k}} * Pr_l^{n_{Pr,l}} \quad (149)$$

โดย $Nu_{i,j,k}$	คือ ค่า Nusselt number จากความสัมพันธ์ของการทดลองที่ $i, j, k, l$
$Re_i^{n_{Re,i}}$	คือ ค่า Reynolds number ยกกำลังที่เป็นพงก์ชันกับ Nusselt number
$(e/d)_j^{n_{(e/d),j}}$	คือ ค่า $(e/d)$ ยกกำลังที่เป็นพงก์ชันกับ Nusselt number
$(p/d)_k^{n_{(p/d),k}}$	คือ ค่า $(p/d)$ ยกกำลังที่เป็นพงก์ชันกับ Nusselt number
$(Pr)_l^{n_{Pr,l}}$	คือ ค่า $(Pr)$ ยกกำลังที่เป็นพงก์ชันกับ Nusselt number
$C_{i,j,k,l}$	คือ ค่าคงที่ที่ได้จากการทดลองที่ $i, j, k, l$ หาได้จากสมการที่ (150)

$$C_{i,j,k,l} = \frac{Nu_{i,j,k,l}}{Re_i^{n_{Re,i}} (e/d)_j^{n_{(e/d),j}} (p/d)_k^{n_{(p/d),k}} (Pr)_l^{n_{Pr,l}}} \quad (150)$$

ค่า  $C_{i,j,k,l}$  มีค่าแตกต่างกันตามการทดลองที่  $i, j, k, l$  ตามลำดับ ฉะนั้น จึงต้องหาค่าเฉลี่ยของค่าคงที่ได้จากการสัมพันธ์ระหว่าง Nusselt number กับ Reynolds number,  $(e/d)$ ,  $(p/d)$  และ  $Pr$  ดังสมการที่ (151)

$$C_{i,j,k,l} avg = \frac{\sum_{i=1}^n \sum_{j=1}^n \sum_{k=1}^n C_{i,j,k}}{n} \quad (151)$$

ฉะนั้น จะได้สมการประมาณค่าของ Nusselt number ซึ่งมีความสัมพันธ์กับ Reynolds number,  $(e/d)$ ,  $(p/d)$  และ  $Pr$  ดังสมการที่ (152)

$$\tilde{Nu} = 0.9362(e/d)^{0.0627} (p/d)^{-0.1218} (Re)^{0.6751} (Pr)^{-0.4794} \quad (152)$$

โดยสมการที่ (152) นั้นสามารถประมาณค่า friction factor ของการไหลในเครื่องแยกเปลี่ยนความร้อนแบบท่อเกลียวในช่วง Reynolds number ระหว่าง 10,000 ถึง 40,000 ในช่วงค่า  $(e/d)$  ระหว่าง 0.04 ถึง 0.09 ในช่วง  $(p/d)$  ระหว่าง 1 ถึง 6 และในช่วง  $Pr$  ระหว่าง 0.741 ถึง 6.99 เท่านั้น

จากผลการศึกษาของค่า **Reynolds number**,  $(e/d)$ ,  $(p/d)$  และ  $\text{Pr}$  ในการไหลของไหลในเครื่องแอลกเปลี่ยนความร้อนแบบท่อเกลียว ซึ่งมีผลให้ค่าของ **friction factor** กับ **Nusselt number** เกิดการเปลี่ยนแปลงและจากผลการศึกษานั้น สามารถสร้างสมการทำนายค่า **friction factor** กับ **Nusselt number** ที่มีผลจากตัวแปรต่างๆ ได้ดังสมการที่ (140) และ สมการที่ (152) ตามลำดับ

$$\tilde{f} = 2.025(e/d)^{0.1232} (p/d)^{-0.372} (\text{Re})^{-0.2967} \quad (140)$$

$$\tilde{Nu} = 0.9362(e/d)^{0.0627} (p/d)^{-0.1218} (\text{Re})^{0.6751} (\text{Pr})^{-0.4794} \quad (152)$$

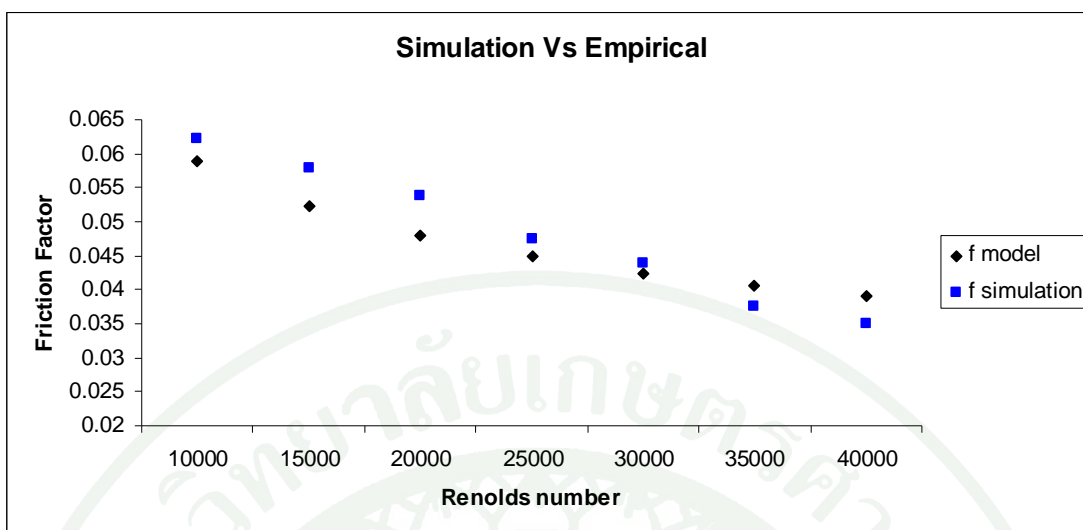
โดยสมการทำนายค่า **friction factor** และ **Nusselt number** นั้น สามารถประมาณค่า **friction factor** ของการไหลในเครื่องแอลกเปลี่ยนความร้อนแบบท่อเกลียวในช่วง **Reynolds number** ระหว่าง 10,000 ถึง 40,000 ในช่วงค่า  $(e/d)$  ระหว่าง 0.04 ถึง 0.09 ในช่วง  $(p/d)$  ระหว่าง 1 ถึง 6 และ ในช่วง  $\text{Pr}$  ระหว่าง 0.741 ถึง 6.99 เท่านั้น

## 8. ความคลาดเคลื่อนของสมการประมาณการไหลของไหลกับผลจากวิธีพลศาสตร์ของไหล เชิงคำนวณของเครื่องแอลกเปลี่ยนความร้อนแบบท่อเกลียว

### 8.1 ความคลาดเคลื่อนของสมการประมาณการไหลในกรณีที่มีการเปลี่ยนแปลงค่า **Reynolds number** ในการไหลของไหลในเครื่องแอลกเปลี่ยนความร้อนแบบท่อเกลียว

#### 8.1.1 ความคลาดเคลื่อนของสมการประมาณค่า **friction factor** กับผลของค่า **friction factor** จากวิธีพลศาสตร์ของไหลเชิงคำนวณในกรณีเปลี่ยนแปลงค่า **Reynolds number**

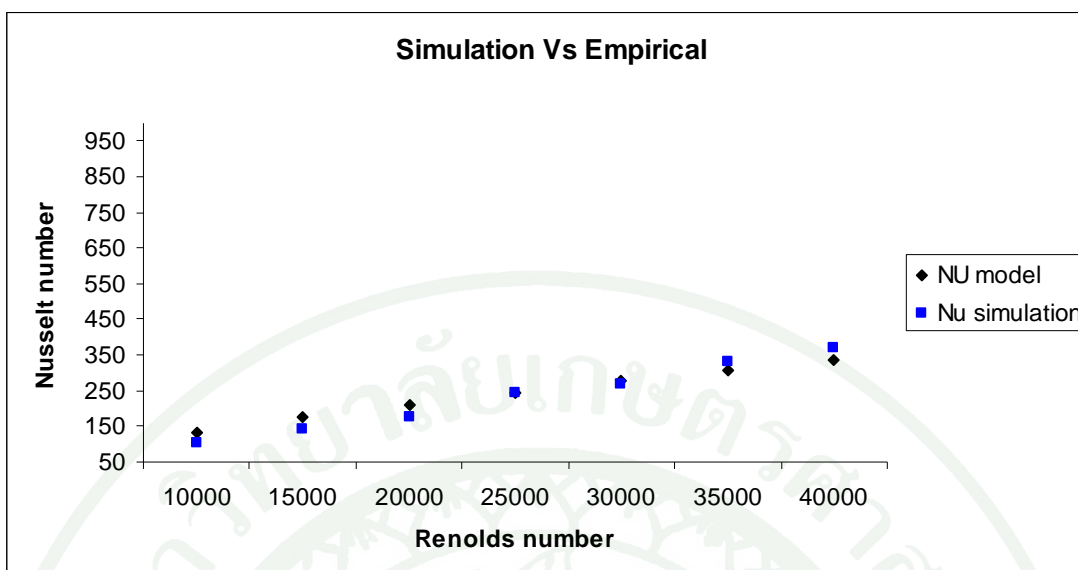
จากผลการศึกษาพบว่า สมการประมาณค่า **friction factor** ของท่อเกลียวที่มีระยะความลึกของร่องเกลียวต่อเส้นผ่านศูนย์กลาง ( $e/d$ ) เท่ากับ 0.04 ค่าระยะพิทซ์ของท่อเกลียวต่อเส้นผ่านศูนย์กลาง ( $p/d$ ) เท่ากับ 3 ในกรณีที่มีการเปลี่ยนแปลงค่า **Reynolds number** ของการไหล ในช่วง 10,000 ถึง 40,000 นั้นมีแนวโน้มในทิศทางเดียวกันกับผลของค่า **friction factor** จากวิธีพลศาสตร์ของไหลเชิงคำนวณ โดยมีความคลาดเคลื่อนอยู่ที่ประมาณ 8 % ดังภาพที่ 35 โดยความคลาดเคลื่อนสามารถดูได้ที่ภาคผนวก ง



**ภาพที่ 37** ความคลาดเคลื่อนของสมการประมาณค่า friction factor กับผลของค่า friction factor จากวิธีพลศาสตร์ของไอลเซิงคำนวณในกรณีเปลี่ยนแปลงค่า Reynolds number

### 8.1.2 ความคลาดเคลื่อนของสมการประมาณค่า Nusselt number กับผลของค่า Nusselt number จากวิธีพลศาสตร์ของไอลเซิงคำนวณในกรณีเปลี่ยนแปลงค่า Reynolds number

จากการศึกษาพบว่าสมการประมาณค่า Nusselt number ของท่อเกลียวที่มีระยะความลึกของร่องเกลียวต่อเส้นผ่านศูนย์กลาง ( $e/d$ ) เท่ากับ 0.04 ค่าระยะพิทซ์ของท่อเกลียวต่อเส้นผ่านศูนย์กลาง ( $p/d$ ) เท่ากับ 3 และที่ค่า (Pr) เท่ากับ 6.99 ในกรณีที่มีการเปลี่ยนแปลงค่า Reynolds number ของการไอลในช่วง 10,000 ถึง 40,000 นั้น มีแนวโน้มในทิศทางเดียวกันกับผลของค่า Nusselt number จากวิธีพลศาสตร์ของไอลเซิงคำนวณ โดยมีความคลาดเคลื่อนอยู่ที่ประมาณ 12% ดังภาพที่ 36 โดยความคลาดเคลื่อนสามารถลดได้ที่ภาคผนวก ง

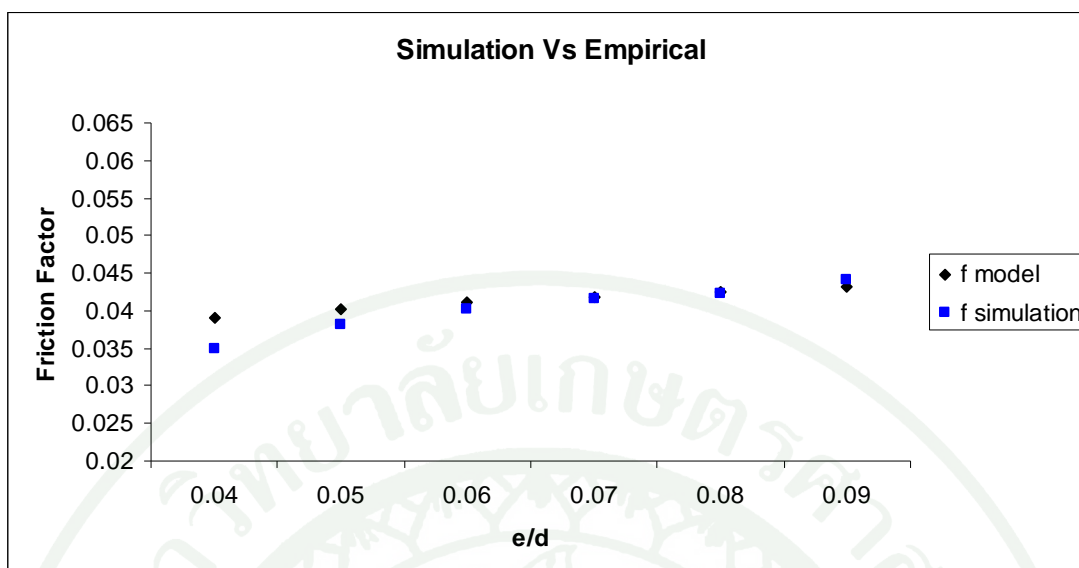


ภาพที่ 38 ความคลาดเคลื่อนของสมการประมาณค่า Nusselt number กับผลของค่า Nusselt number จากวิธีพลศาสตร์ของไหลเชิงคำนวนในกรณีเปลี่ยนแปลงค่า Reynolds number

8.2 ความคลาดเคลื่อนของสมการประมาณการไหลในกรณีที่มีการเปลี่ยนแปลงค่า ( $e/d$ ) ในการไหลงของไหลในเครื่องแลกเปลี่ยนความร้อนแบบท่อเกลียว

8.2.1 ความคลาดเคลื่อนของสมการประมาณค่า friction factor กับผลของค่า friction factor จากวิธีพลศาสตร์ของไหลเชิงคำนวนในกรณีเปลี่ยนแปลงค่า ( $e/d$ )

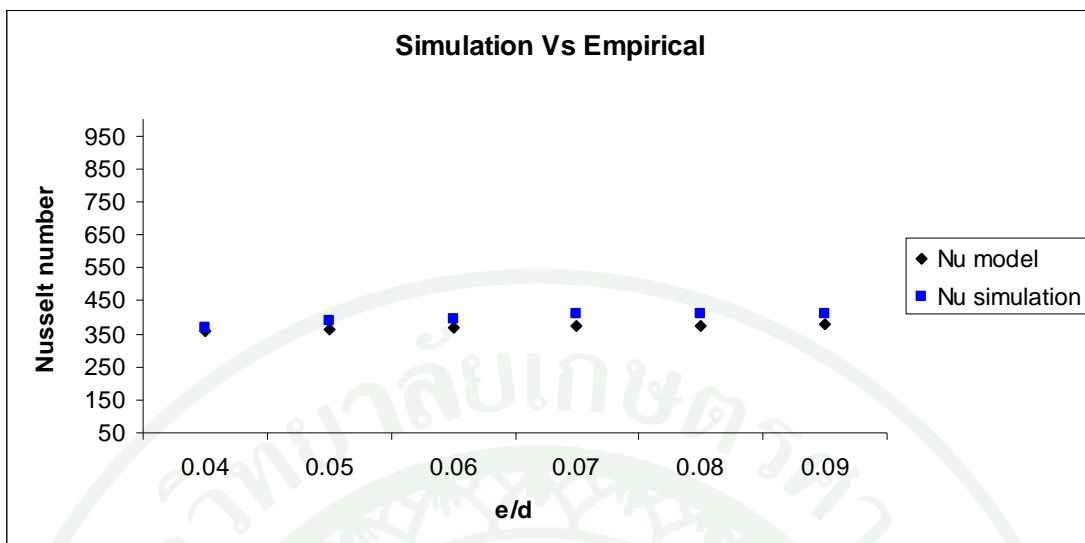
จากการศึกษาพบว่าสมการประมาณค่า friction factor ของท่อเกลียวที่ค่า Reynolds number เท่ากับ 40,000 ค่าระยะพิทซ์ของท่อเกลียวต่อเส้นผ่านศูนย์กลาง ( $p/d$ ) เท่ากับ 3 ในกรณีที่มีการเปลี่ยนแปลงค่า ( $e/d$ ) ของท่อเกลียวในช่วง 0.04 ถึง 0.09 นั้น มีแนวโน้มในทิศทางเดียวกันกับผลของค่า friction factor จากวิธีพลศาสตร์ของไหลเชิงคำนวน โดยมีความคลาดเคลื่อนอยู่ที่ประมาณ 5 % ดังภาพที่ 37 โดยความคลาดเคลื่อนสามารถดูได้ที่ภาคผนวก ง



ภาพที่ 39 ความคลาดเคลื่อนของสมการประมาณค่า friction factor กับผลของค่า friction factor จากวิธีพลศาสตร์ของไอลเซิงคำนวณในกรณีเปลี่ยนแปลงค่า ( $e/d$ )

8.2.2 ความคลาดเคลื่อนของสมการประมาณค่า Nusselt number กับผลของค่า Nusselt number จากวิธีพลศาสตร์ของไอลเซิงคำนวณในกรณีเปลี่ยนแปลงค่า ( $e/d$ )

จากการศึกษาพบว่า สมการประมาณค่า Nusselt number ของห้องเกลียวที่ค่า Reynolds number เท่ากับ 40,000 ค่าระยะพิทช์ของห้องห้องเกลียวต่อเส้นผ่านศูนย์กลาง ( $p/d$ ) เท่ากับ 3 และค่า ( $Pr$ ) เท่ากับ 6.99 ในกรณีที่มีการเปลี่ยนแปลงค่า ( $e/d$ ) ของห้องเกลียวในช่วง 0.04 ถึง 0.09 นั้น มีแนวโน้มในทิศทางเดียวกันกับผลของค่า Nusselt number จากวิธีพลศาสตร์ของไอลเซิงคำนวณ โดยมีความคลาดเคลื่อนอยู่ที่ประมาณ 10 % ดังภาพที่ 38 โดยความคลาดเคลื่อนสามารถลดได้ที่ภาคผนวก จ

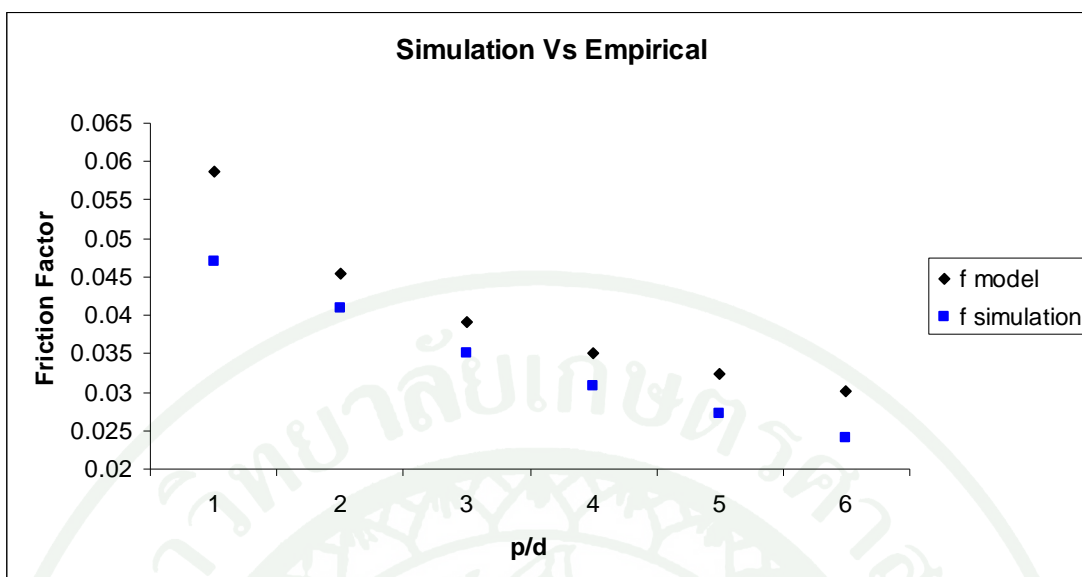


ภาพที่ 40 ความคลาดเคลื่อนของสมการประมาณค่า Nusselt number กับผลของค่า Nusselt number จากวิธีพลศาสตร์ของไหหลังคำนวนในกรณีเปลี่ยนแปลงค่า ( $e/d$ )

8.3 ความคลาดเคลื่อนของสมการประมาณการไหหลในกรณีที่มีการเปลี่ยนแปลงค่า ( $p/d$ ) ในการไหของของไหหลในเครื่องแลกเปลี่ยนความร้อนแบบท่อเกลียว

8.3.1 ความคลาดเคลื่อนของสมการประมาณค่า friction factor กับผลของค่า friction factor จากวิธีพลศาสตร์ของไหหลเชิงคำนวนในกรณีเปลี่ยนแปลงค่า ( $p/d$ )

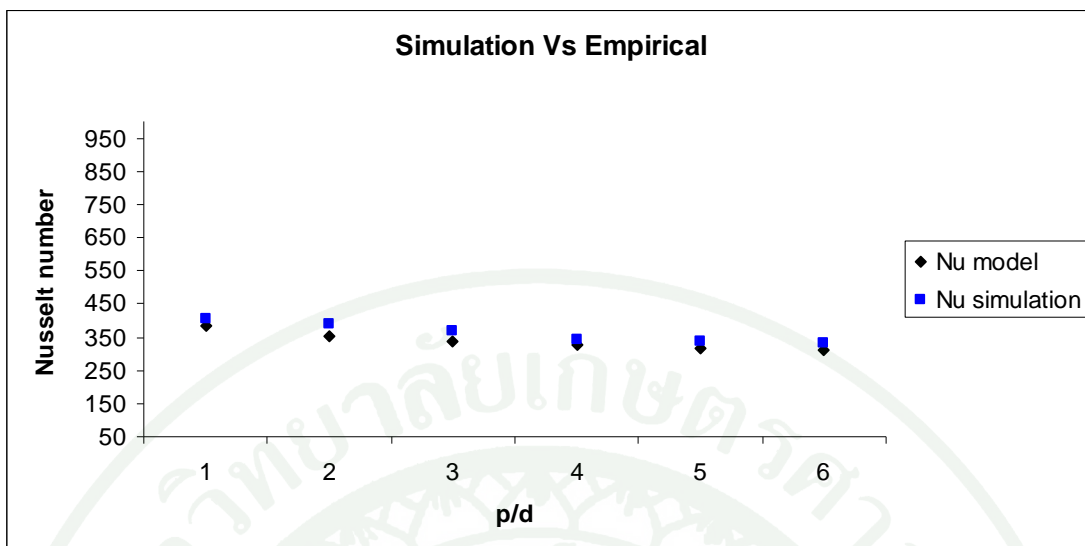
จากการศึกษาพบว่าสมการประมาณค่า friction factor ของท่อเกลียวที่ค่า Reynolds number เท่ากับ 40,000 ค่าความลึกของร่องเกลียวต่อเส้นผ่านศูนย์กลาง ( $e/d$ ) เท่ากับ 0.04 ในกรณีที่มีการเปลี่ยนแปลงค่า ( $p/d$ ) ของท่อเกลียวในช่วง 1 ถึง 6 นั้นมีแนวโน้มในทิศทางเดียวกันกับผลของค่า friction factor จากวิธีพลศาสตร์ของไหหลเชิงคำนวน โดยมีความคลาดเคลื่อนอยู่ที่ประมาณ 12 % ดังภาพที่ 39 โดยความคลาดเคลื่อนสามารถลดได้ที่ภาคผนวก ง



ภาพที่ 41 ความคลาดเคลื่อนของสมการประมาณค่า friction factor กับผลของค่า friction factor จากวิธีพลศาสตร์ของไอลเซิงคำนวนในกรณีเปลี่ยนแปลงค่า ( $p/d$ )

8.3.2 ความคลาดเคลื่อนของสมการประมาณค่า Nusselt number กับผลของค่า Nusselt number จากวิธีพลศาสตร์ของไอลเซิงคำนวนในกรณีเปลี่ยนแปลงค่า ( $p/d$ )

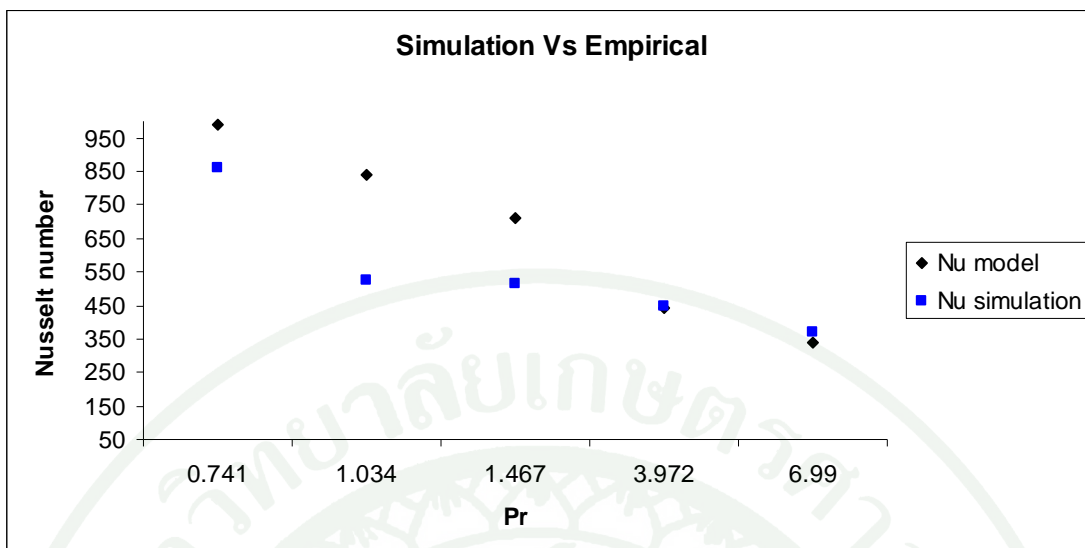
จากการศึกษาพบว่าสมการประมาณค่า Nusselt number ของท่อเกลียวที่ค่า Reynolds number เท่ากับ 40,000 ค่าความลึกของร่องเกลียวต่อเส้นผ่านศูนย์กลาง ( $e/d$ ) เท่ากับ 0.04 และค่า (Pr) เท่ากับ 6.99 ในกรณีที่มีการเปลี่ยนแปลงค่า ( $e/d$ ) ของท่อเกลียวในช่วง 0.04 ถึง 0.09 นั้น มีแนวโน้มในทิศทางเดียวกันกับผลของค่า Nusselt number จากวิธีพลศาสตร์ของไอลเซิงคำนวน โดยมีความคลาดเคลื่อนอยู่ที่ประมาณ 8 % ดังภาพที่ 40 โดยความคลาดเคลื่อนสามารถลดได้ที่ภาคผนวก ง



**ภาพที่ 42** ความคลาดเคลื่อนของสมการประมาณค่า Nusselt number กับผลของค่า Nusselt number จากวิธีพลศาสตร์ของไอลเซิงคำนวณในกรณีเปลี่ยนแปลงค่า ( $p/d$ )

**8.4** ความคลาดเคลื่อนของสมการประมาณการไอลในกรณีที่มีการเปลี่ยนแปลงค่า ( $\Pr$ ) ในการไอลของของไอลในเครื่องแยกเปลี่ยนความร้อนแบบท่อเกลียว

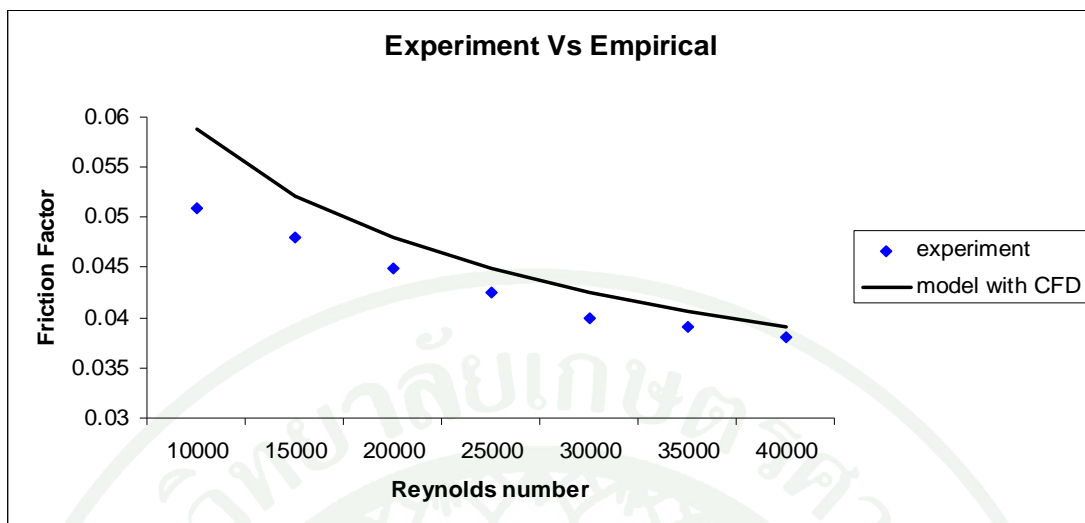
จากผลการศึกษาพบว่า สมการประมาณค่า Nusselt number ของท่อเกลียวที่ค่า Reynolds number เท่ากับ 40,000 ค่าความลึกของร่องเกลียวต่อเส้นผ่านศูนย์กลาง ( $e/d$ ) เท่ากับ 0.04 และค่า ( $p/d$ ) เท่ากับ 3 ในกรณีที่มีการเปลี่ยนแปลงค่า ( $\Pr$ ) ของท่อเกลียวในช่วง 0.741 ถึง 6.99 นั้น มีแนวโน้มในทิศทางเดียวกันกับผลของค่า Nusselt number จากวิธีพลศาสตร์ของไอลเซิงคำนวณ โดยมีความคลาดเคลื่อนอยู่ที่ประมาณ 18 % ดังภาพที่ 41 โดยความคลาดเคลื่อนสามารถลดได้ที่ ภาคพนวก ง



ภาพที่ 43 ความคลาดเคลื่อนของสมการประมาณค่า Nusselt number กับผลของค่า Nusselt number จากวิธีพลศาสตร์ของไหลเชิงคำนวณในกรณีเปลี่ยนแปลงค่า (Pr)

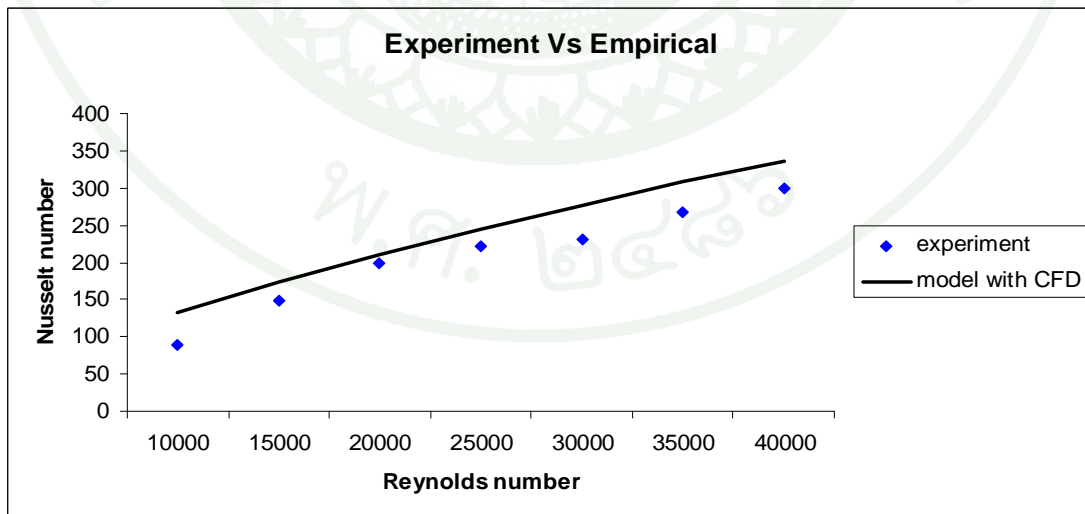
### 9. การเปรียบเทียบสมการความสัมพันธ์ของ friction factor และ Nusselt number กับผลการทดลอง

จากหัวข้อที่ผ่านมาเป็นการจำลองการไหลของไหลในเครื่องแลกเปลี่ยนความร้อนแบบท่อเกลียว โดยศึกษาผลกระบวนการค่า Reynolds number และค่า (Pr) ของไหลในการไหลในท่อเกลียวต่อค่า friction factor กับ Nusselt number และศึกษาผลของค่าความถี่ร่องเกลียวต่อเส้นผ่านศูนย์กลาง ( $e/d$ ) ค่าระยะพิทซ์ต่อเส้นผ่านศูนย์กลาง ( $p/d$ ) ต่อค่า friction factor กับ Nusselt number ของเครื่องแลกเปลี่ยนความร้อนแบบท่อเกลียวซึ่งสมการทำนายค่า friction factor กับ Nusselt number ที่สร้างจากการจำลองค่าวิธีพลศาสตร์ของไหลเชิงคำนวณนี้สามารถประมาณค่า friction factor ได้ใกล้เคียงกับผลการวิจัยของ (Dong et al., 2001) ที่ได้ทำการทดลองเกี่ยวกับการไหลในเครื่องแลกเปลี่ยนความร้อนแบบท่อเกลียวในกรณีเปลี่ยนแปลงค่า Reynolds number ของการไหลโดยมีความคลาดเคลื่อนประมาณ 10% ดังภาพที่ 44 โดยความคลาดเคลื่อนสามารถดูได้ที่ภาคผนวก ง



ภาพที่ 44 ความคลาดเคลื่อนของสมการประมาณค่า friction factor กับผลการทดลองของ (Dong et al., 2001)

จากผลการเปรียบเทียบผลว่าค่า Nusselt number จากสมการทำนายค่า Nusselt number ที่สร้างจากการจำลองด้วยวิธีพลศาสตร์ของ ไอลเซิงคำนวนนั้น สามารถประมาณค่า friction factor ได้ใกล้เคียงกับผลการทดลองของ (Dong et al., 2001) และมีความคลาดเคลื่อนประมาณ 15% ดังภาพที่ 45 โดยความคลาดเคลื่อนสามารถลดได้ที่ภาคผนวก ง



ภาพที่ 45 ความคลาดเคลื่อนของสมการประมาณค่า Nusselt number กับผลการทดลองของ (Dong et al., 2001)

จากผลแสดงให้เห็นว่าสมการทำนายค่า friction factor และ Nusselt number ในงานวิจัยนี้  
นั้นสามารถทำนายค่า friction factor และ Nusselt number ที่เกิดในเครื่องแอลกเปลี่ยนความร้อน  
แบบท่อเกลียวจริงได้โดยสามารถประมาณค่า friction factor และ Nusselt number ได้ในการณ์ที่มี  
การเปลี่ยนแปลงค่า Reynolds number ,  $(e/d)$ ,  $(p/d)$  และ  $(Pr)$



## สรุปผลการทดลองและข้อเสนอแนะ

### สรุปผลการทดลอง

#### 1. ความคลาดเคลื่อนของเครื่องแลกเปลี่ยนความร้อนแบบท่อเรียบโดยวิธีผลิตครั้งใหม่ เชิงคำนวณกับผลจากการทฤษฎี

1.1 จากผลการเปรียบเทียบค่า **friction factor** ระหว่างการจำลองการ ไอลในเครื่องแลกเปลี่ยนความร้อนแบบท่อเรียบ โดยโปรแกรมกับค่า **friction factor** จากทฤษฎีของท่อเรียบนี้ มีค่าความคลาดเคลื่อนมีประมาณ 15 % แต่แนวโน้มของผลจากโปรแกรมและผลจากการทฤษฎีนี้มีแนวโน้มในทางเดียวกัน โดยความคลาดเคลื่อนจากค่า **friction factor** ของท่อเรียบ กับค่า **friction factor** จากทางทฤษฎีของท่อเรียบนี้ เกิดจากการความละเอียดของ **mesh** ที่ใช้ในการจำลองเครื่องแลกเปลี่ยนความร้อนไม่ละเอียดมากพอ แต่เนื่องมาจากข้อจำกัดทางคอมพิวเตอร์ด้านหน่วยความจำและเวลาในการคำนวณทางคอมพิวเตอร์ ทำให้ไม่สามารถทำ **mesh** ได้ละเอียดมากๆ ได้

1.2 จากผลการเปรียบเทียบค่า **Nusselt number** ระหว่างการจำลองการ ไอลในเครื่องแลกเปลี่ยนความร้อนแบบท่อเรียบ โดยโปรแกรมกับกับค่า **friction factor** จากทฤษฎีของท่อเรียบ มีค่าความคลาดเคลื่อนมีประมาณ 15 % แต่แนวโน้มของผลจากโปรแกรมและผลจากการทฤษฎีนี้ มีแนวโน้มในทางเดียวกัน ค่าความคลาดเคลื่อนจากค่า **Nusselt number** ของท่อเรียบ กับค่า **Nusselt number** จากทางทฤษฎีของท่อเรียบอัน ได้แก่ ความละเอียดของ **Mesh** ที่ต้องทำให้เล็กมากๆ แต่ก็มีขีดจำกัดของหน่วยความจำของคอมพิวเตอร์จึงไม่สามารถทำให้ละเอียดมากกว่านี้

#### 2. ผลการเปรียบเทียบผลของท่อเกลียวและผลของท่อเรียบจากวิธีผลิตครั้งใหม่เชิงคำนวณ เพื่อศึกษาผลของร่องเกลียวในเครื่องแลกเปลี่ยนความร้อน

จากผลการศึกษาพบว่า การถ่ายเทความร้อน โดยในงานวิจัยนี้จะแสดงอยู่ในรูปของค่า **Nusselt number** ค่า **Nusselt number** ของเครื่องแลกเปลี่ยนความร้อนแบบท่อเกลียวมีค่ามากกว่าค่า **Nusselt number** ของเครื่องแลกเปลี่ยนความร้อนแบบท่อเรียบ ที่ค่า **Reynolds number** เดียวกัน และค่า **Nusselt number** ของท่อทั้ง 2 แบบ จะเพิ่มขึ้นเมื่อค่า **Reynolds number** เพิ่มขึ้น อันเนื่องจาก การ ไอลแบบปั่นป่วนมีผลทำให้การถ่ายเทความร้อนเพิ่มขึ้นวิธีเพิ่มการ ไอลแบบปั่นป่วนของของ ไอล

ในงานวิจัยนี้ทำโดยการเพิ่มร่องเกลียวลงไปในท่อที่มีของไหหลาให้ผ่าน ทำให้การไหลของของไหหลุกขัดของ โดยร่องเกลียวทำให้การไหลเกิดความปั่นป่วนโดยเฉพาะบริเวณร่องเกลียนี้ จะเป็นบริเวณที่เกิดความปั่นป่วนมากที่สุด การไหแบบปั่นป่วนนี้ทำให้เกิดการกระจายตัวของความร้อนภายในท่อได้มากขึ้น เพราะเกิดการชนกันของโมเลกุลของของไหมากขึ้น ทำให้เกิดการแลกเปลี่ยนพลังงานที่มากขึ้น

แต่ผลเสียของการเพิ่มร่องเกลียวลงไปในเครื่องแลกเปลี่ยนความร้อนคือ จะทำให้ค่า **friction factor** มีค่ามากขึ้นอันครื่องมาจาก การไหที่ถูกขัดของในท่อเกลียนี้ทำให้เกิดความดันตกร่อนระหว่างการไหที่มากกว่าการไหในท่อเรียบธรรมชาติโดยค่า **friction factor** ของท่อเกลียวจะมีค่ามากกว่าค่า **friction factor** ของท่อเรียบ และค่า **friction factor** มีค่าลดลง

### 3. ผลกระทบของค่า **Reynolds number** ต่อการไหในเครื่องแลกเปลี่ยนความร้อนแบบท่อเกลียว โดยวิธีพลศาสตร์ของไหเชิงคำนวณ

**3.1** จากผลของค่า **friction factor** จากการจำลองการไหในเครื่องแลกเปลี่ยนความร้อนแบบท่อเกลียว โดยวิธีพลศาสตร์ของไหเชิงคำนวณเมื่อค่า **Reynolds number** เพิ่มขึ้นนั้น ทำให้ค่า **friction factor** ลดลง เนื่องจากเมื่อความเร็วของการไหเพิ่มขึ้นทำให้ความเสียดทานที่เกิดขึ้นมีค่าที่น้อยลงกว่าการไหด้วยความเร็วที่ต่ำของของไห แต่ที่ค่า **friction factor** มากๆ นั้นเป็นผลเสียของการไห เพราะจะทำให้เกิดความดันตกร่อนที่มากขึ้นทำให้ต้องใช้กำลังในการไหที่มากขึ้น ทำให้สิ้นเปลืองพลังงานมากกว่าการไหที่มีค่า **friction factor** น้อยๆ

**3.2** จากผลของค่า **Nusselt number** จากการจำลองการไหในเครื่องแลกเปลี่ยนความร้อนแบบท่อเกลียว โดยวิธีพลศาสตร์ของไหเชิงคำนวณเมื่อค่า **Reynolds number** เพิ่มขึ้นนั้น ทำให้ค่า **Nusselt number** เพิ่มขึ้น อันเนื่องมาจากการไหผ่านร่องเกลียนี้ ทำให้ของไหเกิดความปั่นป่วนที่มากขึ้นทำให้การถ่ายเทความร้อนมากขึ้น เนื่องจากความปั่นป่วนที่มากขึ้นนั้นทำให้โมเลกุลของไหเกิดการชนกันมากขึ้นทำให้เกิดการแลกเปลี่ยนพลังงานความร้อนที่มากขึ้นและเมื่อค่า **Reynolds number** เพิ่มขึ้นนั้น ทำให้การไหมีความปั่นป่วนที่มากขึ้นทำให้ของไหมีโอกาสไหไปชนร่องเกลียวแล้วเกิดความปั่นป่วนที่มากขึ้น

**4. ผลกระทบของค่าความลีกร่องเกลียวต่อเส้นผ่านศูนย์กลาง ( $e/d$ ) ต่อการไหลในเครื่องแอลเอปเลี่ยน ความร้อนแบบท่อเกลียววิธีพลศาสตร์ของไอลเชิงคำนวณ**

**4.1** จากผลของค่า **friction factor** จากการจำลองการไหลในเครื่องแอลเอปเลี่ยนความร้อน แบบท่อเกลียวโดยวิธีพลศาสตร์ของไอลเชิงคำนวณเมื่อค่า ( $e/d$ ) เพิ่มขึ้นมีผลให้ค่า **friction factor** เพิ่มขึ้นด้วย เนื่องจากในกรณีที่ค่า ( $e/d$ ) มากนั้น แสดงถึงความลีกร่องที่มีค่ามากทำให้การไหล ของของไอลเกิดการขัดขวางได้มากกว่ากรณีที่ค่า ( $e/d$ ) น้อยๆ เพราะการที่ร่องเกลียวมีความลึก ที่มากนั้น ทำให้ของไอลมีโอกาสไหลไปชนร่องเกลียวแล้วเกิดการถูกขัดขวางของการไหลที่มากกว่า ทำให้มีค่า **friction factor** ที่มากกว่า แต่ค่า **friction factor** มากๆ นั้นเป็นผลเสียของการไหล เพราะ จะทำให้เกิดความดันต่ำคร่อมที่มากขึ้นทำให้ต้องใช้กำลังในการไหลที่มากขึ้นทำให้สิ่นเปลือง พลังงานมากกว่าการไหลที่มีค่า **friction factor** น้อยๆ

**4.2** จากผลของค่า **Nusselt number** จากการจำลองการไหลในเครื่องแอลเอปเลี่ยนความร้อน แบบท่อเกลียวโดยวิธีพลศาสตร์ของไอลเชิงคำนวณเมื่อค่า ( $e/d$ ) เพิ่มขึ้นนั้น มีผลให้ค่า **Nusselt number** เพิ่มขึ้นด้วย เนื่องจากในกรณีที่ค่า ( $e/d$ ) มากๆ แสดงถึงร่องเกลียวในเครื่องแலเอปเลี่ยน ความร้อนแบบท่อเกลียวมีความลีกร่องมากกว่ากรณีค่า ( $e/d$ ) น้อยๆ เมื่อความลีกร่องมีค่ามากนั้น ทำให้มีของไอลไหลผ่านท่อเกลียวนั้นมีโอกาสที่ของไอลจะเกิดความปั่นป่วนที่มากกว่าการไหล ผ่านท่อเกลียวที่มีค่า ( $e/d$ ) น้อยๆ เป็นผลให้ค่า **Nusselt number** มากขึ้นด้วย

**5. ผลกระทบของระยะพิทช์ของห่อเกลียวต่อเส้นผ่านศูนย์กลาง ( $p/d$ ) ต่อการไหลในเครื่อง แอลเอปเลี่ยนความร้อนแบบท่อเกลียวโดยวิธีพลศาสตร์ของไอลเชิงคำนวณ**

**5.1** จากผลของค่า **friction factor** จากการจำลองการไหลในเครื่องแலเอปเลี่ยนความร้อน แบบท่อเกลียวโดยวิธีพลศาสตร์ของไอลเชิงคำนวณเมื่อค่า ( $p/d$ ) เพิ่มขึ้นนั้นมีผลทำให้ค่า **friction factor** ลดลง เนื่องจากที่ค่า ( $p/d$ ) น้อยนั้นแสดงถึงระยะพิทช์ของห่อเกลียวที่น้อยทำให้ระยะห่าง ระหว่างเกลียวมีค่าน้อยในเมื่อความยาวที่มีขนาดที่เท่ากันจะนั้นในกรณีที่ค่า ( $p/d$ ) น้อยนั้นจะมี จำนวนรอบเกลียวที่มากกว่าทำให้การไหลของของไอลที่ไหลผ่านในกรณีที่ห้องผ่านรอบเกลียวที่ มากกว่าในกรณีที่มีค่า ( $p/d$ ) น้อยๆ มีผลทำให้การไหลเกิดการขัดขวางที่มากกว่าทำให้ **friction factor** มีค่ามากกว่าการไหลผ่านห่อเกลียวที่มีค่า ( $p/d$ ) มากๆ แต่อย่างไรก็ตามค่า **friction factor**

มากๆ เป็นผลเสียของการไหล เพราะจะทำให้เกิดความดันตกร้อนที่มากขึ้นทำให้ต้องใช้กำลังในการไหลที่มากขึ้นทำให้สิ่นเปลืองพลังงานมากกว่าการไหลที่มีค่า **friction factor** น้อยๆ

**5.2** จากผลของค่า **Nusselt number** จากการจำลองการไหลในเครื่องแลกเปลี่ยนความร้อนแบบท่อเกลียวโดยวิธีพลศาสตร์ของไหลเชิงคำนวณเมื่อค่า  $(p/d)$  เพิ่มขึ้นนั้นมีผลทำให้ค่า **Nusselt number** ลดลงเนื่องจากที่ค่า  $(p/d)$  น้อยนั้นแสดงถึงระยะพิทช์ของท่อเกลียวที่น้อยทำให้ระยะห่างระหว่างเกลียวมีค่าน้อยในเมื่อความยาวท่อมีขนาดที่เท่ากันจะนั้นในกรณีที่ค่า  $(p/d)$  น้อยนั้นจะมีจำนวนรอบเกลียวที่มากกว่าทำให้การไหลของไหลที่ไหลผ่านในกรณีนี้ต้องผ่านรอบเกลียวที่มากกว่าในกรณีที่มีค่า  $(p/d)$  น้อย ๆ มีผลทำให้การไหลที่ไหลผ่านท่อเกลียวที่มีค่า  $(p/d)$  น้อย ๆ นั้นเกิดความปั่นปวนที่มากกว่า เพราะของไหลมีโอกาสไหลไปชนร่องเกลียวแล้วเกิดความปั่นปวนที่มากกว่ากรณีที่ค่า  $(p/d)$  มาก ๆ เป็นผลให้ค่า **Nusselt number** มากขึ้นด้วย

**6.** ผลของค่าตัวเลขพรันด์ทิล  $(Pr)$  ต่อการถ่ายเทความร้อนในเครื่องแลกเปลี่ยนความร้อนแบบท่อเกลียวโดยวิธีพลศาสตร์ของไหลเชิงคำนวณ

**6.2** จากผลของค่า **Nusselt number** จากการจำลองการไหลในเครื่องแลกเปลี่ยนความร้อนแบบท่อเกลียวโดยวิธีพลศาสตร์ของไหลเชิงคำนวณเมื่อค่า  $(Pr)$  เพิ่มขึ้นนั้นทำให้ค่า **Nusselt number** ลดลง เนื่องจากค่าตัวเลขพรันด์ทิล  $(Pr)$  เป็นคุณสมบัติของการแพร่ทางความร้อนของของไหล โดยของไหลที่มีค่าตัวเลขพรันด์ทิล  $(Pr)$  น้อยๆ นั้นแสดงถึงการแพร่ทางความร้อนที่ดีกว่าของไหลที่มีค่าตัวเลขพรันด์ทิล  $(Pr)$  มากๆ เป็นผลให้ค่า **Nusselt number** มากขึ้นด้วย

**7.** ผลประมาณค่า **friction factor** และ **Nusselt number** จากสมการประมาณค่าสำหรับการไหลในเครื่องแลกเปลี่ยนความร้อนแบบท่อเกลียวโดยวิธีพลศาสตร์ของไหลเชิงคำนวณ

**7.1** สมการประมาณค่า **friction factor** ดังสมการที่ (140) สำหรับการไหลในเครื่องแลกเปลี่ยนความร้อนแบบท่อเกลียวโดยวิธีพลศาสตร์ของไหลเชิงคำนวณนี้ สามารถประมาณค่า **friction factor** ได้ในระดับหนึ่ง โดยมีความคลาดเคลื่อนอยู่ประมาณ 15 % จากสมการที่ใช้ประมาณค่า **friction factor** กับผลของ **friction factor** จากวิธีพลศาสตร์ของไหลเชิงคำนวณและแนวโน้มของสมการที่ใช้ประมาณค่า **friction factor** กับผลของ **friction factor** จากวิธีพลศาสตร์ของไหลเชิงคำนวณมีแนวโน้มในทิศทางเดียวกัน

$$\tilde{f} = 2.025(e/d)^{0.1232} (p/d)^{-0.372} (\text{Re})^{-0.2967} \quad (140)$$

สมการประมาณค่า **friction factor** นั้น สามารถประมาณค่า **friction factor** ของการไหลในเครื่องແລກเปลี่ยนความร้อนแบบท่อเกลียวในช่วง **Reynolds number** ระหว่าง 10,000 ถึง 40,000 ในช่วงค่า  $(e/d)$  ระหว่าง 0.04 ถึง 0.09 และในช่วง  $(p/d)$  ระหว่าง 1 ถึง 6 เท่านั้น

**7.2 สมการประมาณค่า Nusselt number** ดังสมการที่ (152) สำหรับการไหลในเครื่องແລກเปลี่ยนความร้อนแบบท่อเกลียว โดยวิธีพลศาสตร์ของไหหลึงคำนวนนี้ สามารถประมาณค่า **Nusselt number** ได้ในระดับหนึ่งโดยมีความคลาดเคลื่อนอยู่ประมาณ 10 % จากสมการที่ใช้ประมาณค่า **Nusselt number** กับผลของ **friction factor** จากวิธีพลศาสตร์ของไหหลึงคำนวนและแนวโน้มของสมการที่ใช้ประมาณค่า **friction factor** กับผลของ **friction factor** จากวิธีพลศาสตร์ของไหหลึงคำนวนมีแนวโน้มในทิศทางเดียวกัน

$$\tilde{Nu} = 0.9362(e/d)^{0.0627} (p/d)^{-0.1218} (\text{Re})^{0.6751} (\text{Pr})^{-0.4794} \quad (152)$$

สมการประมาณค่า **Nusselt number** นั้น สามารถประมาณค่า **Nusselt number** ของการไหลในเครื่องແລກเปลี่ยนความร้อนแบบท่อเกลียวในช่วง **Reynolds number** ระหว่าง 10,000 ถึง 40,000 ในช่วงค่า  $(e/d)$  ระหว่าง 0.04 ถึง 0.09 และในช่วง  $(p/d)$  ระหว่าง 1 ถึง 6 เท่านั้น

## 8. ผลการเปรียบเทียบผลของการจำลองกับผลการทดลอง

สมการที่นำมายกตัวอย่างค่า **friction factor** กับ **Nusselt number** ที่สร้างจากการจำลองด้วยวิธีพลศาสตร์ของไหหลึงคำนวนมีแนวโน้มคล้ายกับผลการวิจัยของ (Dong et al., 2001) ที่ได้ทำการทดลองเกี่ยวกับการไหลในเครื่องແລກเปลี่ยนความร้อนแบบท่อเกลียว เช่นเดียวกัน โดยความคลาดเคลื่อนของสมการประมาณค่า **friction factor** กับ **Nusselt number** นั้น มีค่าประมาณ 15 % และแสดงถึงสมการประมาณค่า **friction factor** กับ **Nusselt number** สามารถนำไปประมาณค่า **friction factor** และ **Nusselt number** ของการไหลในเครื่องແລກเปลี่ยนความร้อนแบบท่อเกลียวที่สร้างขึ้นมาจริงได้ในระดับหนึ่ง

### ข้อเสนอแนะ

1. ถ้าต้องการสมการที่ประมาณค่า friction factor และ Nusselt number ในช่วงที่มากขึ้นนั้น ต้องมีผลการจำลองที่มากขึ้นตาม
2. ความคลาดเคลื่อนที่เกิดขึ้นนั้นสามารถลดได้โดยการเพิ่มจุดของการจำลองนั้นให้มากขึ้นจะเป็นผลให้ความคลาดเคลื่อนลดลง
3. การสร้างแบบจำลองเครื่องแยกเปลี่ยนความร้อนแบบท่อเกลียวขึ้นจริง เพื่อนำผลการทดลองที่ได้มาสร้างสมการประมาณค่า friction factor และ Nusselt number ร่วมกับผลทางพลาสตร์ของไอลเซิงคำนวนเพื่อความถูกต้องของสมการที่มากขึ้น

## เอกสารและสิ่งอ้างอิง

มนตรี พิรุณเกย์ตร. 2548. การถ่ายเทความร้อน. มหาวิทยาลัยเกษตรศาสตร์, กรุงเทพฯ.

วรangค์รัตน์ จันทสาโร. 2548. วิธีปริมาณการจำดัดสำหรับผลศาสตร์ของไอลเชิงคำนวณ.  
มหาวิทยาลัยเกษตรศาสตร์, กรุงเทพฯ.

อังคณา เบญจลากชีง. 2549. การวิเคราะห์แรงดันต่อกรุ่นและการแลกเปลี่ยนความร้อนและสมรรถนะ  
ของการไอลแบบปั่นป่วนใน spirally corrugated tube ด้วยระเบียบวิธีเชิงตัวเลข.  
การศึกษาค้นคว้าอิสระปริญญาโท, มหาวิทยาลัยเกษตรศาสตร์.

Bejan, A. 1982. Entropy Generation through Heat and Fluid Flow. Wiley, New York.

\_\_\_\_\_. 1996. Entropy Generation Minimization. CRC press, Boca Raton.

Bergles, A.E., R.L. Bunn and G.H. Junkhan. 1974. Extended performance evaluation criteria  
for enhanced heat transfer surfaces, pp. 113-120. Letters of Heat and Mass Transfer 1.

\_\_\_\_\_, A.R. Blumenkrantz and J. Taborek. 1974. Performance evaluation criteria for  
enhanced heat transfer surfaces, pp. 239-243. International Heat Transfer  
Conference. Tokyo.

Dong, Y., L. Huixiong and C. Tingkuau. 2001. Pressure drop, heat transfer and performance of  
single-phase turbulent flow in spirally corrugated, pp. 131-138. Experimental Thermal  
and Fluid Science 24.

Webb, R.L. 1981. Performance evaluation criteria for use of enhanced heat transfer surfaces  
in heat exchanger design, pp. 715-726. International Journal of Heat and Mass  
Transfer 24.

- Webb, R.L. and A.E. Bergles. 1983. Performance evaluation criteria for selection of heat transfer surfaces geometries used in low reynolds number heat exchanger, pp. 735-752. In NOTO Advanced Study Institute. Low Reynolds Number Flow Heat Exchangers. Hemisphere, Washington, DC.
- Webb, R.L. and E.R.G. Eckert. 1972. Application of rough surfaces to heat exchanger design, pp. 1647-1658. International Journal of Heat and Mass Transfer 21.
- Vicente, P.G., A. Garcia. and A. Viedma. 2004. Experimental investigation on heat transfer and frictional characteristics of spirally corrugated tubes in turbulent flow at different Prandtl numbers, pp. 671-681. Int. Heat and Mass Transfer 47.
- Zimparov, V. 2000. Extended performance evaluation criteria for enhanced heat transfer surface: heat transfer through ducts with constant wall temperature, pp. 3137-3155. Int. Heat and Mass Transfer 43.
- \_\_\_\_\_. 2001. Enhancement of heat transfer by a combination of three-start spirally corrugated tubes with a twisted tape, pp. 551-574. Int. Heat and Mass Transfer 44.
- \_\_\_\_\_. 2001. Extended performance evaluation criteria for enhanced heat transfer surface: heat transfer through ducts with constant heat flux, pp. 169-180. Int. Heat and Mass Transfer 44.
- \_\_\_\_\_. 2002. Enhancement of heat transfer by a combination of a single-start spirally corrugated tubes with a twisted tape, pp. 535-546. Experimental Thermal and Fluid Sciene 25.
- \_\_\_\_\_. 2004. Prediction of friction factors and heat transfer coefficients for turbulent floe in corrugated tubes combined with twisted tape inserts. Part 1: friction factors, pp. 589-599. Int. Heat and Mass Transfer 47.

Zimparov, V. 2004. Prediction of friction factors and heat transfer coefficients for turbulent floe  
incorrugated tubes combined with twisted tape inserts. Part 2: heat transfer coefficient,  
pp. 385-393. Int. Heat and Mass Transfer 47.



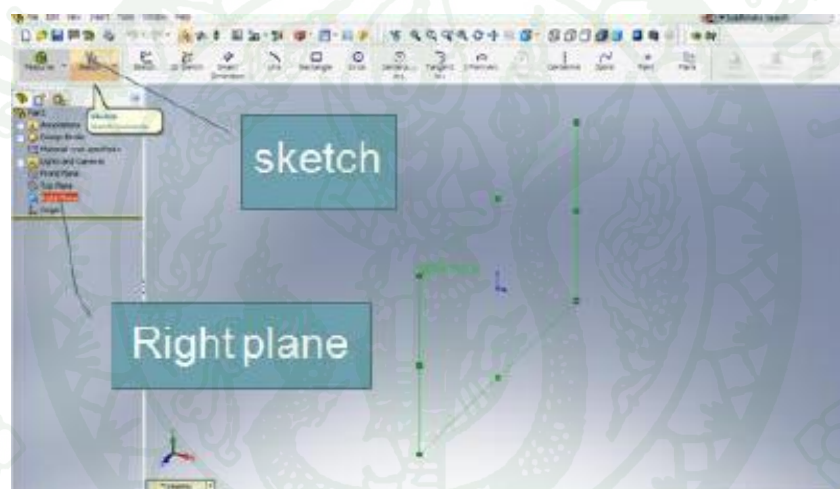




## ขั้นตอนการดำเนินการ

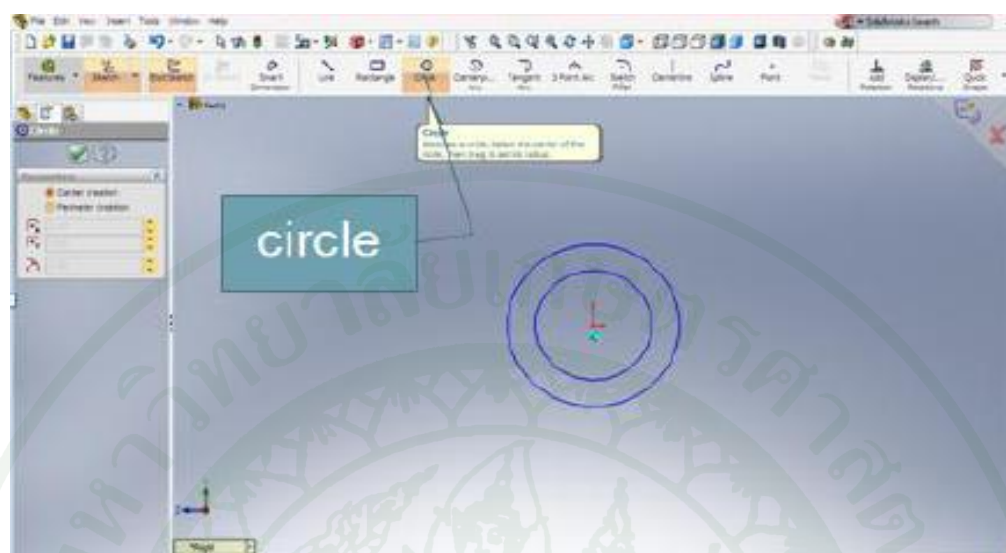
ทำการสร้างแบบท่อเรียบโดยโปรแกรม Solid Work โดยวัดท่อช้อนกัน 2 ห่อ ยาว 900 มิลลิเมตร ให้ห่อในมีขนาดเส้นผ่านศูนย์กลางภายใน 20 มิลลิเมตร เส้นผ่านศูนย์กลางภายนอก 25 มิลลิเมตร และท่อนอกมีเส้นผ่านศูนย์กลางภายใน 76 มิลลิเมตร และเส้นผ่านศูนย์กลางภายนอก กำหนดค่าเท่าไหร่ก็ได้ เพราะในส่วนนี้ไม่นำมาพิจารณาในการคำนวณ

- เมื่อเข้าโปรแกรม Solid Work แล้วเลือกที่ sketch แล้วเลือกที่ Right plane เพื่อเริ่มสร้างท่อจากทางซ้ายและเพื่อให้ของไหลไหลในแนวแกน X



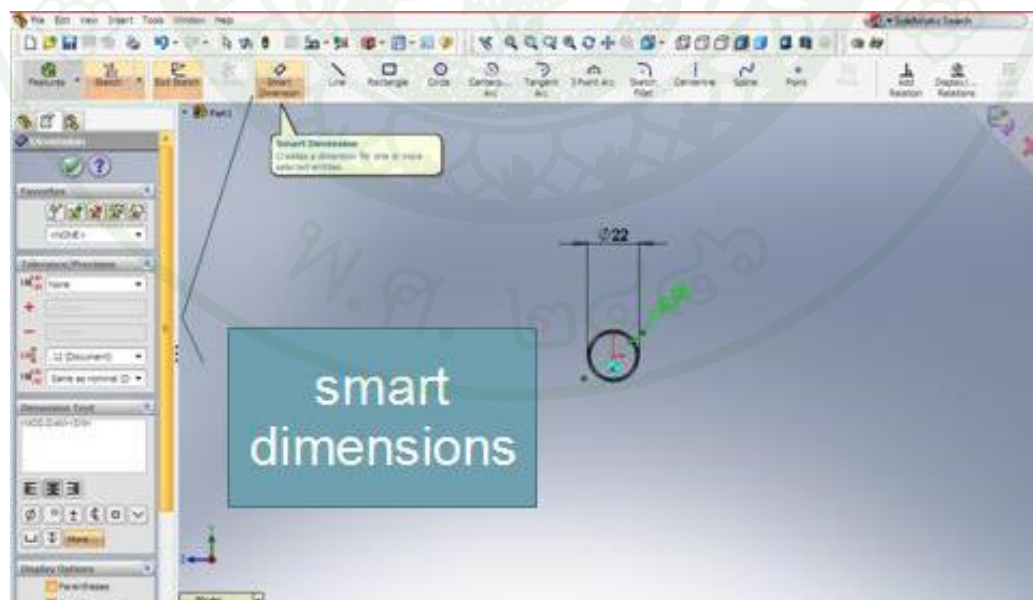
ภาพผนวกที่ ก1 การเลือกพื้นที่รับภาพ

2. เลือกที่คำสั่ง circle เพื่อสร้างวงกลม 2 วงซ้อนกัน ดังภาพ



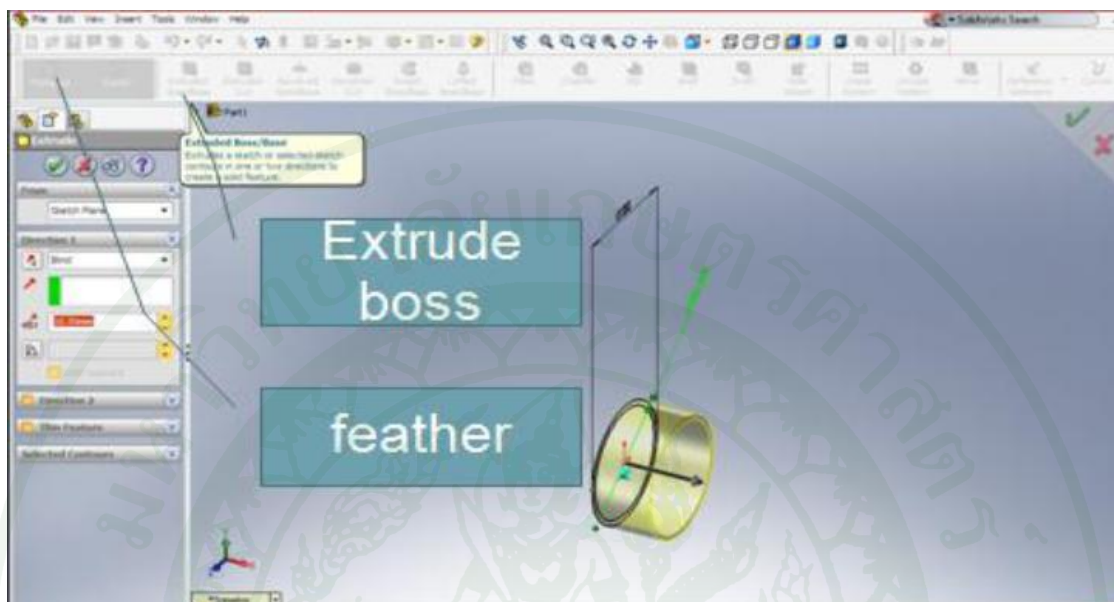
ภาพพนักที่ ก2 การสร้างวงกลมซ้อนกัน 2 วง

3. เลือกที่คำสั่ง smart dimensions เพื่อให้ขนาดของวงกลมโดยว่างในให้ขนาดเส้นผ่านศูนย์กลางขนาด 20 มิลลิเมตร วงนอกขนาด 25 มิลลิเมตรจะได้หน้าตัดของท่อ ดังภาพ



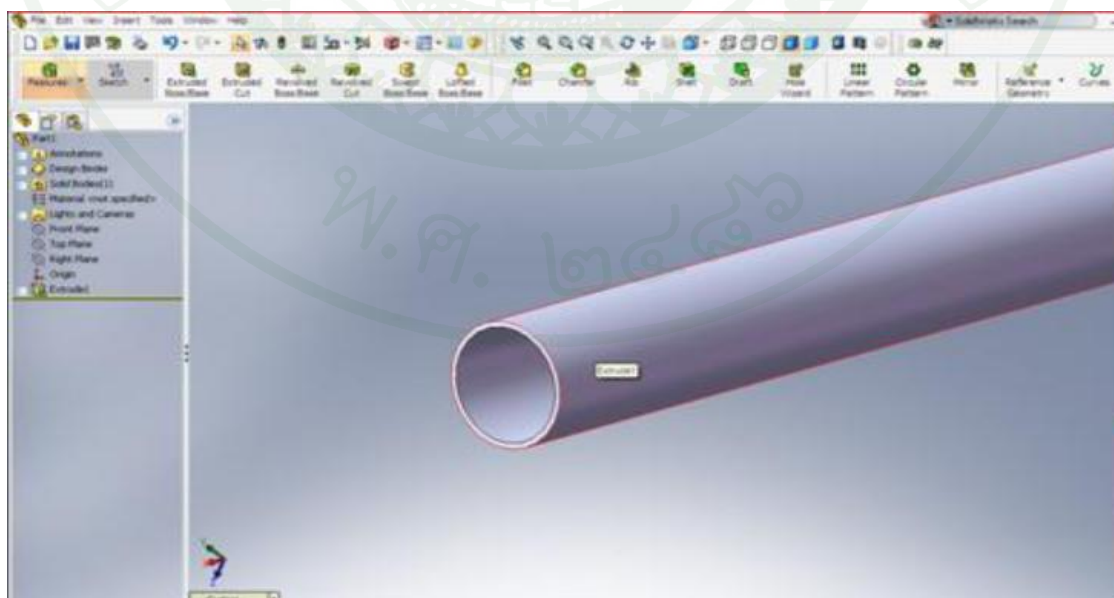
ภาพพนักที่ ก3 การให้ขนาดของวงกลม

4. เลือกคำสั่ง feather และ extrude boss เพื่อขึ้นรูปด้วท่อจากภาพวงกลมที่วาวาไว้ โดยกำหนดให้ท่อมีความยาว 900 มิลลิเมตร



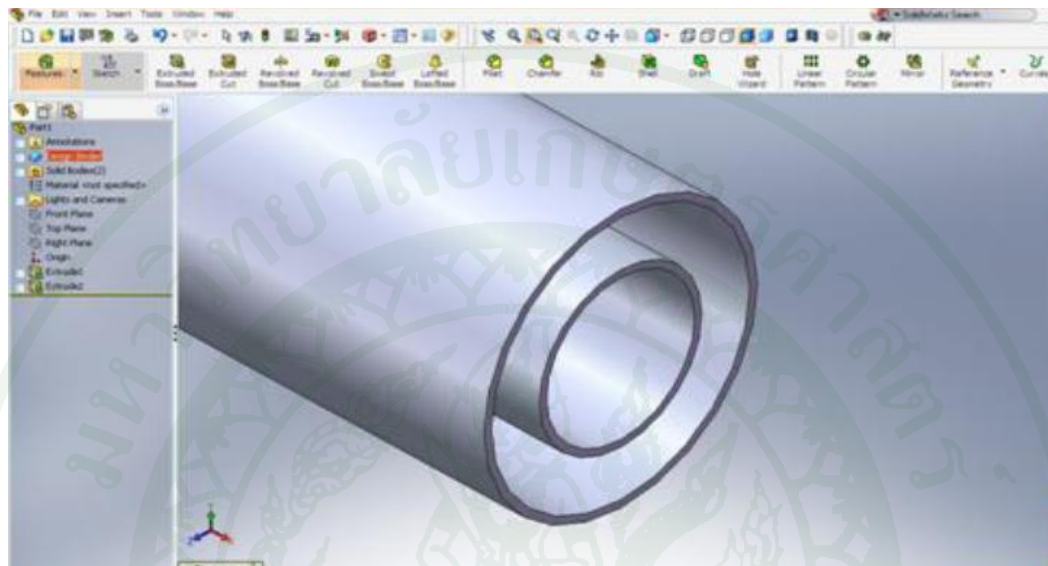
ภาพผนวกที่ ก4 การขึ้นรูปท่อจากภาพวงกลม

5. จะได้ท่อที่มีเส้นผ่านศูนย์กลาง 20 มิลลิเมตร และความยาว 900 มิลลิเมตร



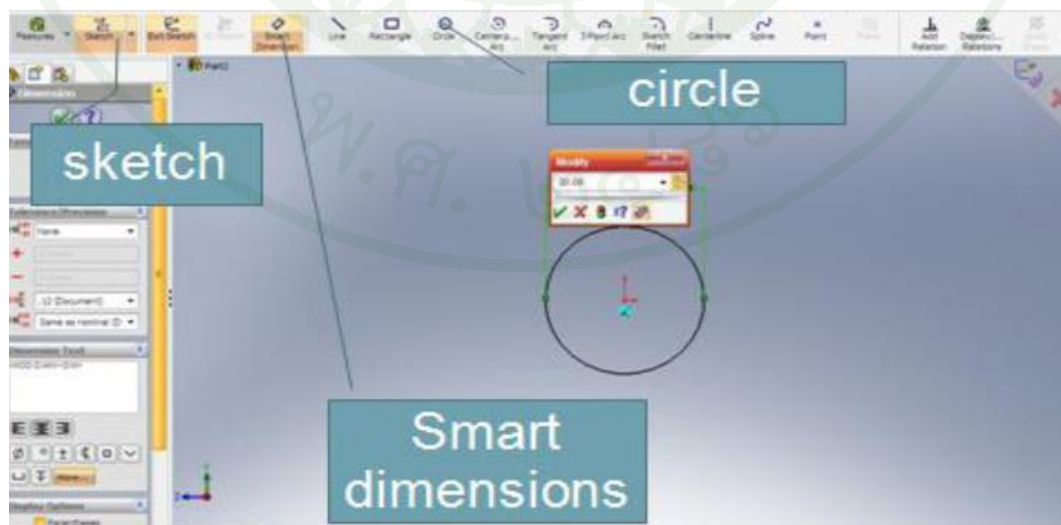
ภาพผนวกที่ ก5 ท่อที่ขึ้นรูปเสร็จสมบูรณ์แล้ว

6. ทำการสร้างท่อนอกเช่นเดียวกับท่อค้านในโดยให้ท่อนอกมีเส้นผ่านศูนย์กลางภายใน 76 มิลลิเมตร และเส้นผ่านศูนย์กลางภายนอกกำหนดค่าเท่าไหร่ก็ได้ เพราะในส่วนนี้ไม่จำเป็นต้องคำนวณ จะได้เครื่องแลอกเปลี่ยนความร้อนแบบท่อเรียน ดังภาพ



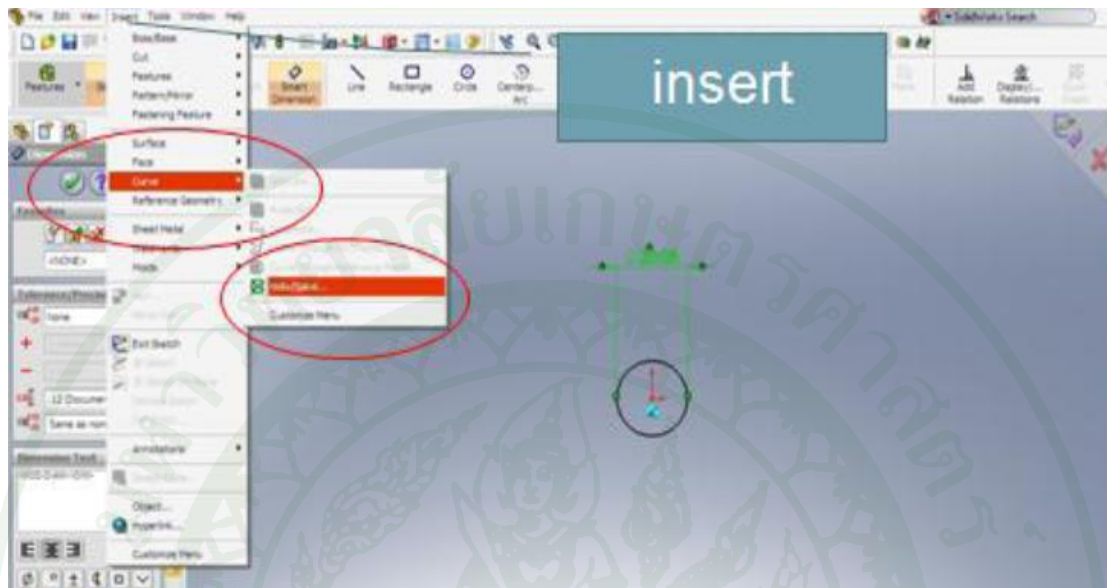
ภาพพนักที่ ก6 เครื่องแลอกเปลี่ยนความร้อนแบบท่อเรียน

7. ทำการสร้างเครื่องแลอกเปลี่ยนความร้อนแบบท่อเกลียว โดยสร้างภาพวงกลมที่ Right plane เช่นเดียวกับท่อเรียน ดังภาพ



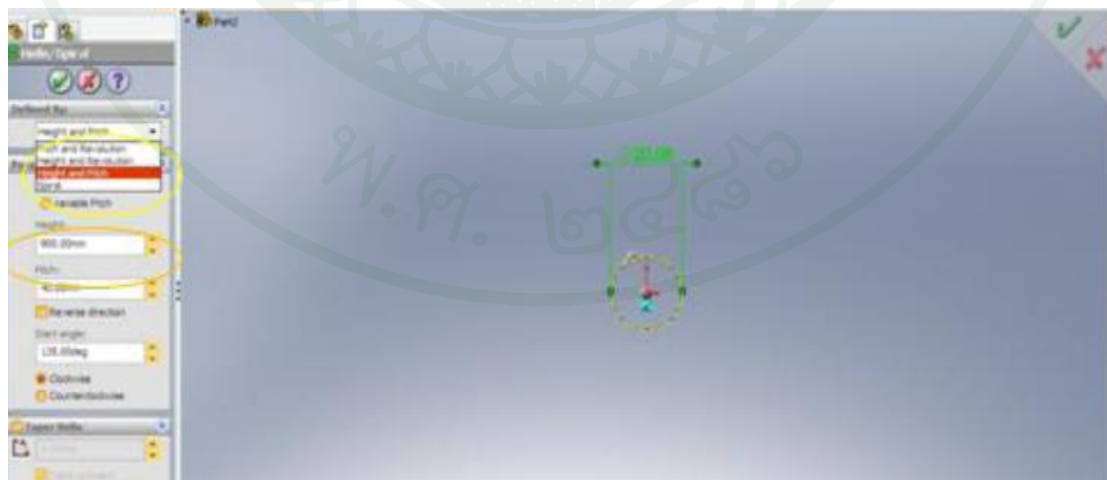
ภาพพนักที่ ก7 การสร้างภาพวงกลมของเครื่องแลอกเปลี่ยนความร้อนแบบท่อเกลียว

ทำการวาดเกลียว โดยเลือกที่คำสั่ง **insert** และเลือกที่ **curve** จากนั้นเลือกที่ **helix/spiral**  
ดังภาพ



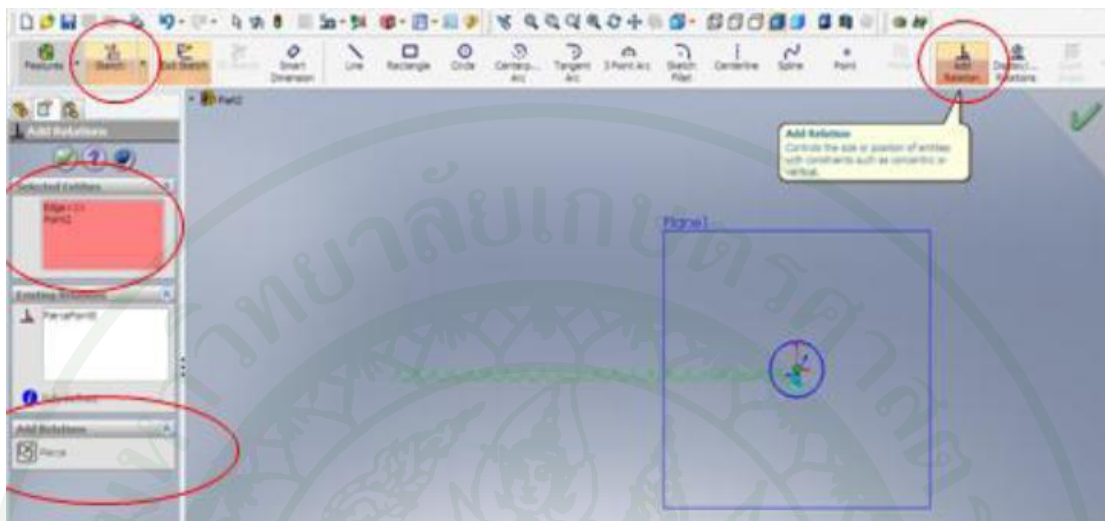
ภาพผนวกที่ ก8 การสร้างเกลียว

8. ทำการกำหนดค่าของเกลียวโดยให้เกลียวยาว 900 มิลลิเมตร และมีระยะ pitch 60 มิลลิเมตร ที่ช่อง height และ pitch ตามลำดับ



ภาพผนวกที่ ก9 การกำหนดขนาดของร่องเกลียว

9. ทำการเลือก plan ที่ด้านหน้าแล้วทำการตรวจสอบกลมขนาด 1.6 มิลลิเมตรที่จุดเริ่มต้นของเกลียว ดังภาพ



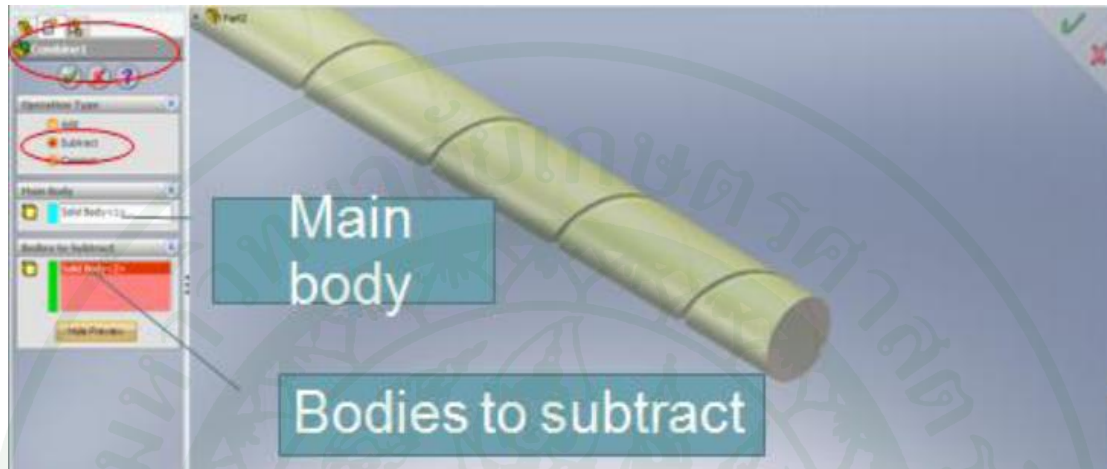
ภาพพนักที่ ก10 การสร้างทรงกลมที่จุดเริ่มต้นของเกลียว

10. ทำการขึ้นรูปเกลียว โดยเลือกคำสั่ง Swept จากนั้นเลือกที่วงกลมแล้วเลือกที่แนวของเกลียวจะสามารถขึ้นรูปเกลียวได้ จากนั้นทำการขึ้นรูปทรง Right plan จากขั้นตอนที่ 7 ดังภาพ



ภาพพนักที่ ก11 การขึ้นรูปเกลียว

11. ทำการเช่าร่องเกลียวโดยเลือกที่คำสั่ง **insert** และเลือกที่ **combine** โดยที่ช่อง **main body** ให้เลือกที่บีบริเวณท่อ และที่ช่อง **body to subtract** ให้เลือกที่บีบริเวณเกลียวจะสามารถเช่าร่องเกลียวได้ ดังภาพ



ภาพพนักที่ ก12 การเลือกพื้นที่เช่าร่องเกลียว

12. ทำการเจาะท่อโดยเลือกที่คำสั่ง **shell** และเลือกที่หน้าตัดท่อ โดยกำหนดความหนาเท่ากับ 5 มิลลิเมตร ดังภาพ



ภาพพนักที่ ก13 การเจาะร่องเกลียว

13. ทำการสร้างท่อนอกแบบท่อเรียบโดยให้ท่อนอกมีเส้นผ่าศูนย์กลางภายใน 76 มิลลิเมตร และเส้นผ่านศูนย์กลางภายนอกกำหนดค่าเท่าไหร่ก็ได้ เพราะในส่วนนี้ไม่นำมาพิจารณาในการคำนวณดังภาพ



ภาพผนวกที่ ก14 เครื่องแลกเปลี่ยนความร้อนแบบท่อเกลียว

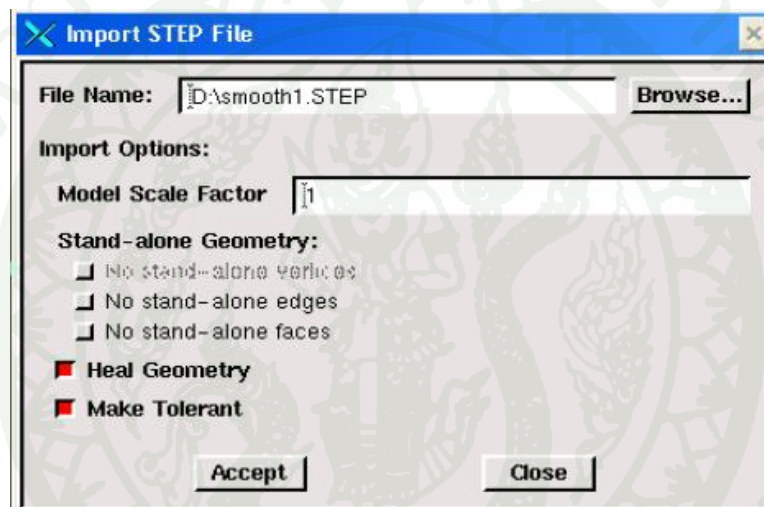
14. ในการ Save ไฟล์ของเครื่องแลกเปลี่ยนความร้อนแบบท่อเรียบและเครื่องแลกเปลี่ยนความร้อนแบบท่อเกลียว ให้ save ในนามสกุล .STEP เพื่อที่จะสามารถนำไฟล์ไปเปิดในโปรแกรม GAMBIT ต่อไปเพื่อการกำหนดขอบเขตของปั๊มหัวและการสร้างกริด



## การกำหนดเงื่อนไขขอบเขตของปัญหาโดยโปรแกรม GAMBIT

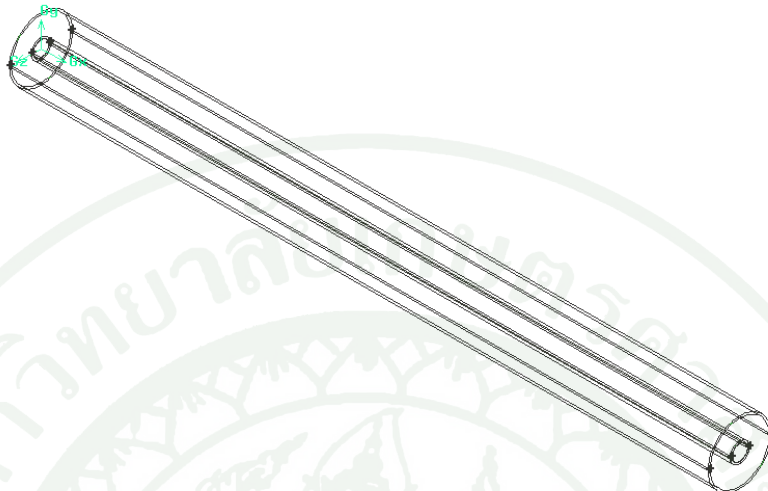
โปรแกรม GAMBIT คือโปรแกรมที่ใช้ในการกำหนดขอบเขตของปัญหาและใช้สำหรับสร้างขอบเขตของปัญหา เช่น บริเวณใดเป็นของแข็งหรือบริเวณใดเป็นของไหหลและยังสามารถกำหนดพิกัดของของไหหลที่ไหหลเข้าหรือออกได้อีกด้วย โดยมีกระบวนการดังต่อไปนี้

1. ทำการ Import file .STEP โดยเลือกที่ Heal Geometry เพื่อทำการปรับปรุงและแก้ไขรักษาให้ได้ไฟล์ที่เข้ามามีความสมบูรณ์ตามแบบที่ได้ออกแบบไว้



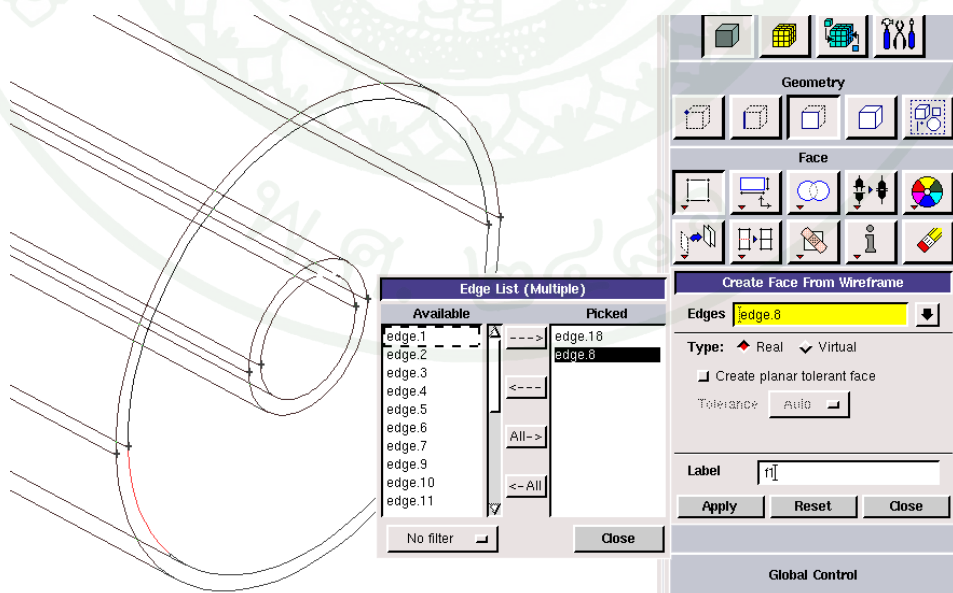
ภาพผนวกที่ 1 การ Import file .STEP ในโปรแกรม GAMBIT

2. จะได้รูปแบบของเครื่องแลอกเปลี่ยนความร้อนในโปรแกรม GAMBIT ดังภาพ



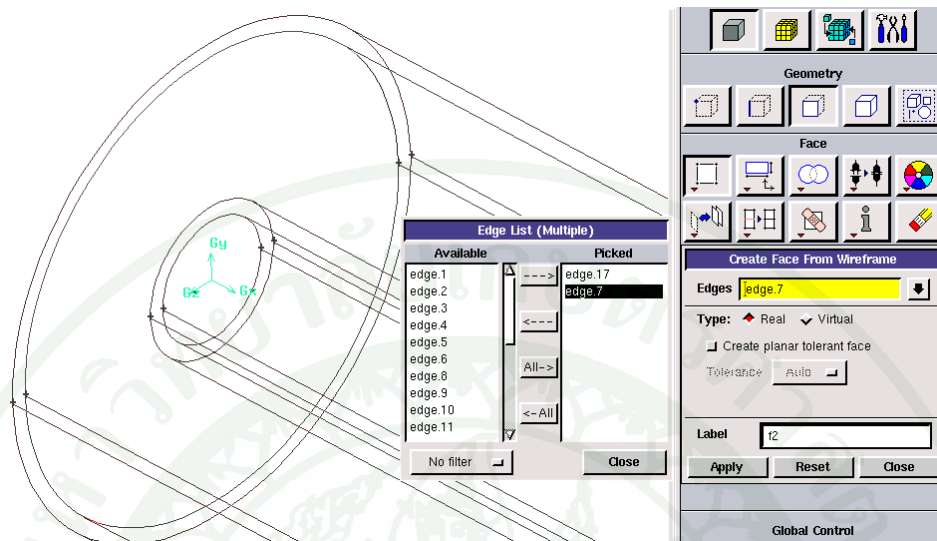
ภาพผนวกที่ ข2 เครื่องแลอกเปลี่ยนความร้อนในโปรแกรม GAMBIT

3. ทำการสร้าง volume ใหม่เพื่อสร้าง volume สำหรับสารทำงานกับสารที่ใช้ในการถ่ายเทความร้อนให้แก่สารทำงาน โดยเริ่มจากการสร้างพื้นที่หน้าตัด f1 จาก edge 18 และ edge 8 ตามลำดับ ดังภาพ



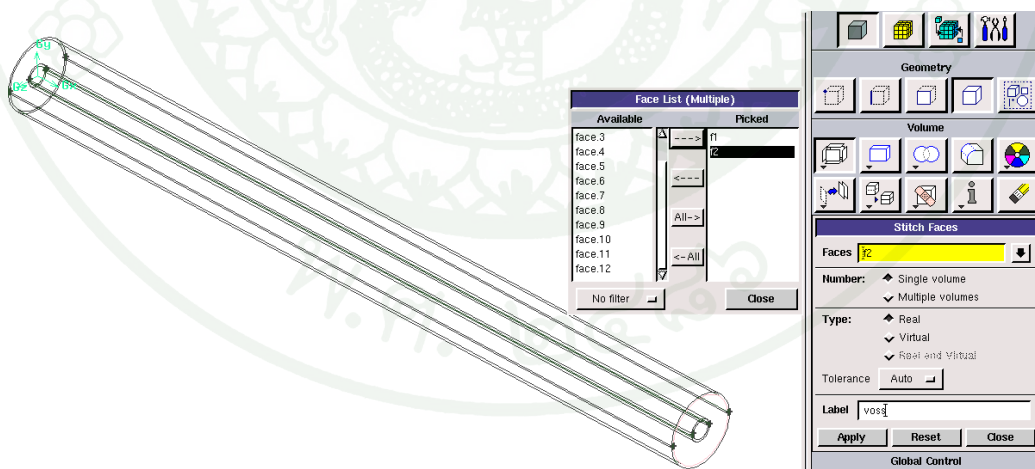
ภาพผนวกที่ ข3 การสร้างพื้นที่หน้าตัด f1 จาก edge 18 และ edge 8

4. ทำการสร้างพื้นที่หน้าตัด f2 จาก edge 17 และ edge 7 ตามลำดับ ดังภาพ



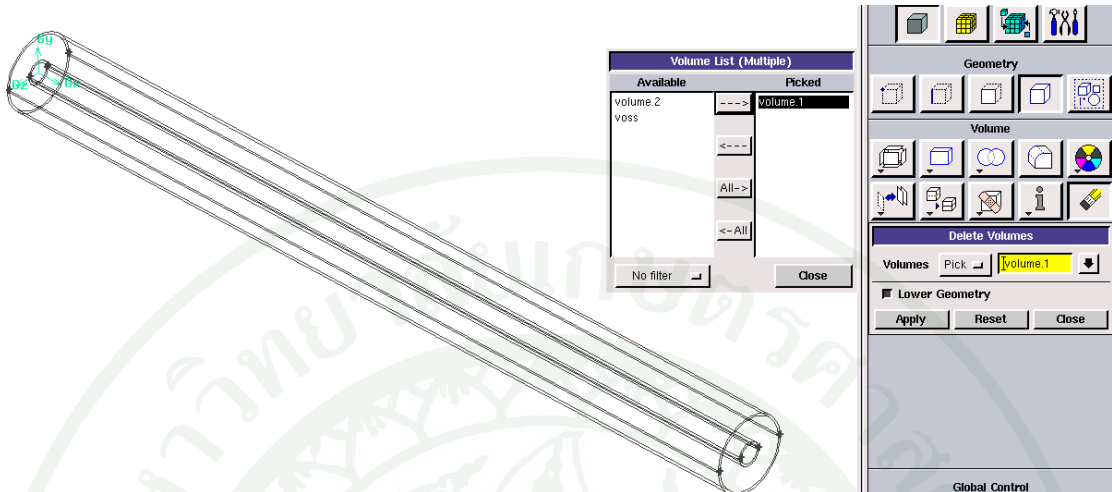
ภาพผนวกที่ ข4 การสร้างพื้นที่หน้าตัด f2 จาก edge 17 และ edge 7

5. ทำการสร้างปริมาตรของของไอลท์ใช้ในการถ่ายเทความร้อน โดยใช้พื้นที่หน้าตัด f1 และ f2 โดยให้ปริมาตรที่สร้างมาให้ใช้ชื่อว่า Voss ดังภาพ



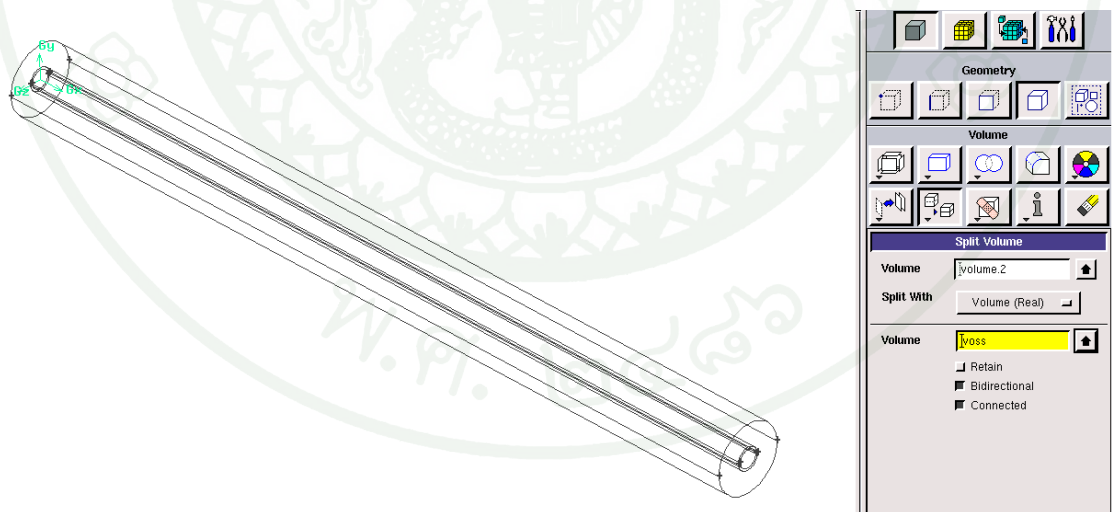
ภาพผนวกที่ ข5 การสร้างปริมาตรจากพื้นที่หน้าตัด f1 และ f2

6. ทำการลบปริมาตรที่ชื่อ Volume 1 ออกเพื่อให้เหลือแต่ปริมาตร Voss ดังภาพ



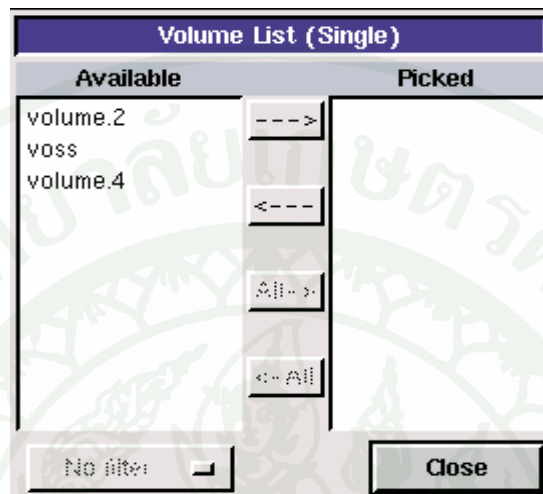
ภาพผนวกที่ ๖ การลบปริมาตรของท่อนอก

7. ทำการแยกปริมาตรจาก 2 ปริมาตรเป็น 3 ปริมาตรโดยใช้คำสั่ง Split Volume โดยแยกปริมาตรของ Volume 2 ออกจากปริมาตรของ Volume Voss ดังภาพ



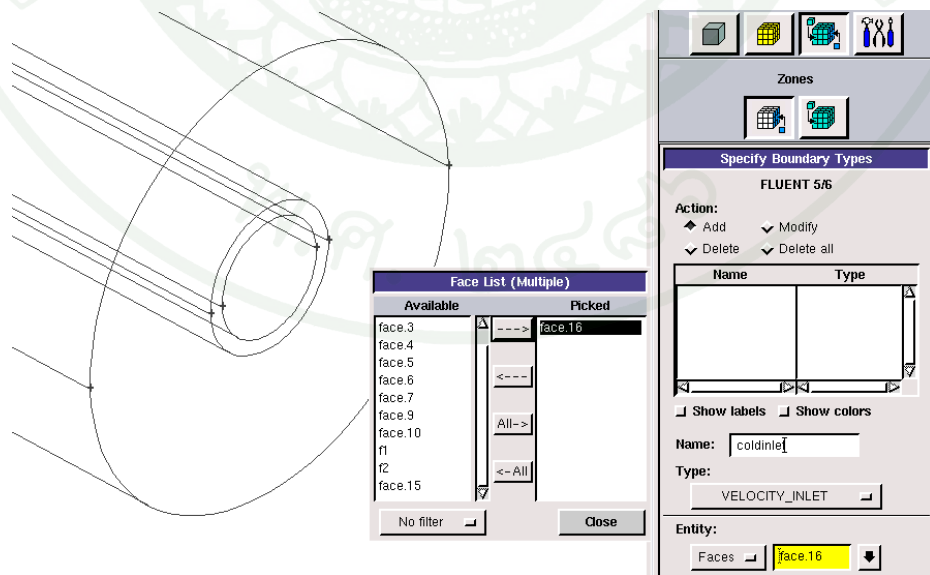
ภาพผนวกที่ ๗ การแยกปริมาตรออกจากกัน

8. ปริมาตรที่แยกออกจาก กือ ปริมาตรของ Volume 4 โดย ปริมาตรของ Volume 4 จะเป็น ปริมาตรของสารทำงาน ปริมาตร Volume Voss จะเป็นปริมาตรของสารที่ทำหน้าที่ในการถ่ายเท ความร้อนให้สารทำงานแล้ว Volume 2 กือ ปริมาตรของท่อ ตามลำดับ



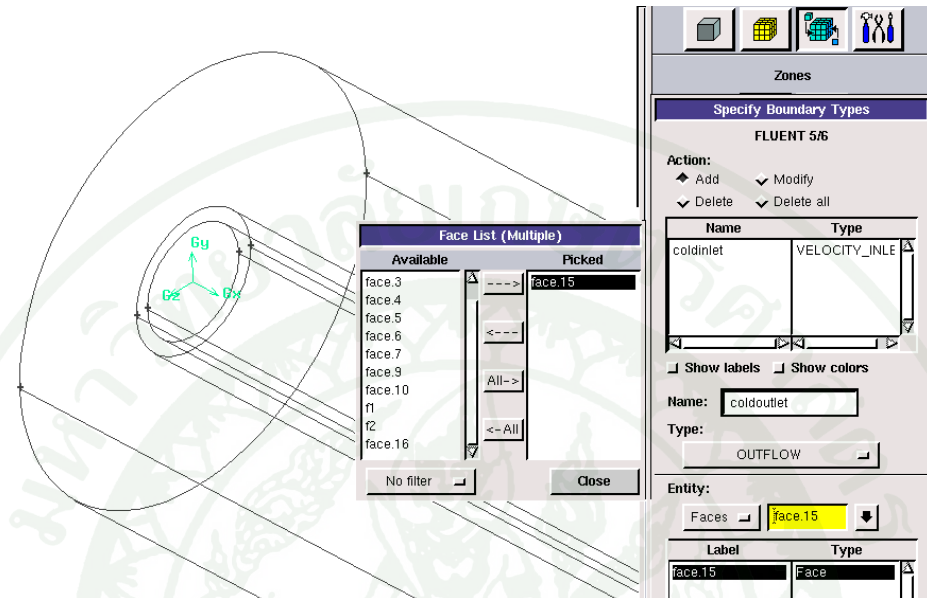
ภาพผนวกที่ ๘ ปริมาตรที่ถูกแยกออกจากกันแล้ว

9. ทำการกำหนดค่านเข้าของสารทำงานโดยเลือกที่ Zone และ Specify Boundary Types โดยเลือกที่ face 16 ตั้งชื่อว่า cold inlet และกำหนดให้ type เป็นแบบ Velocity inlet ดังภาพ



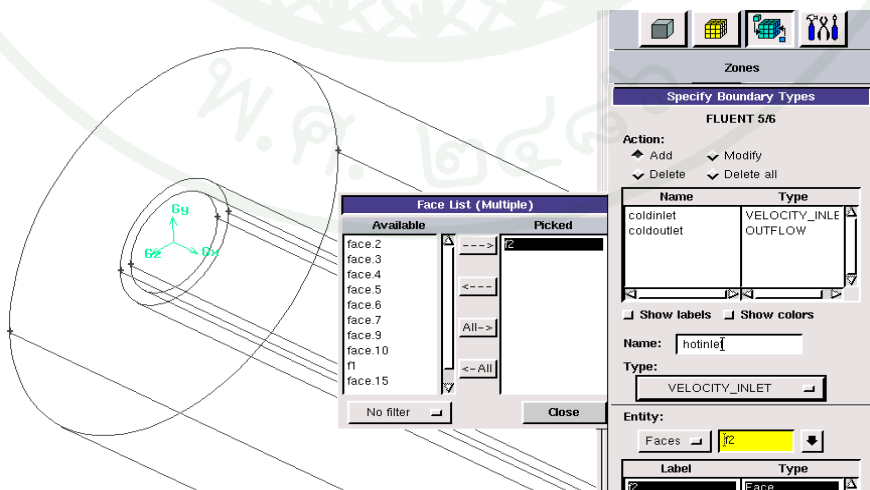
ภาพผนวกที่ ๙ การเลือกทางเข้าของสารทำงาน

10. ทำการกำหนดด้านออกของสารทำงานโดยเลือกที่ Zone และ Specify Boundary Types โดยเลือกที่ face 15 ตั้งชื่อว่า cold outlet และกำหนดให้ type เป็นแบบ outflow



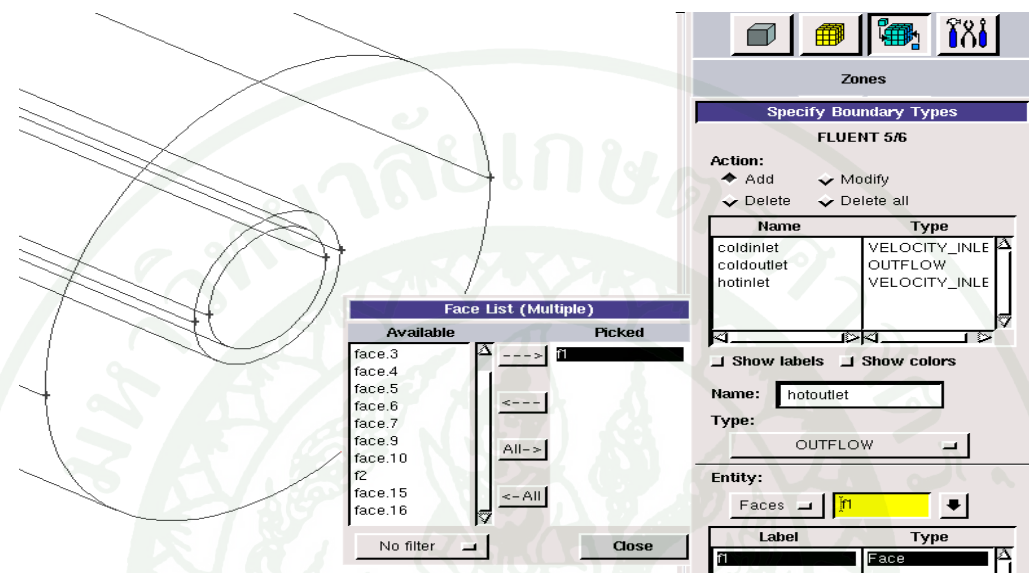
ภาพผนวกที่ 10 การเลือกทางออกของสารทำงาน

11. ทำการกำหนดด้านเข้าของสารที่ใช้ถ่ายเทความร้อนให้แก่สารทำงานโดยเลือกที่ Zone และ Specify Boundary Types โดยเลือกที่ f2 ตั้งชื่อว่า hot inlet และกำหนดให้ type เป็นแบบ Velocity inlet ดังภาพ



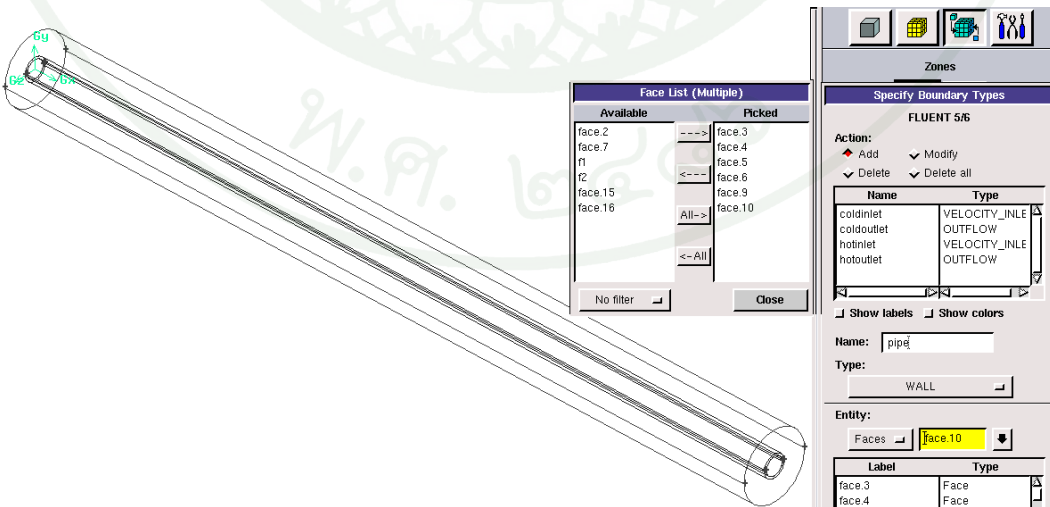
ภาพผนวกที่ 11 การเลือกทางเข้าของสารที่ใช้ถ่ายเทความร้อนให้แก่สารทำงาน

12. ทำการกำหนดด้านออกของสารที่ใช้ถ่ายเทความร้อนให้แก่สารทำงาน โดยเลือกที่ Zone และ Specify Boundary Types โดยเลือกที่ f1 ตั้งชื่อว่า hot outlet และกำหนดให้ type เป็นแบบ out flow ดังภาพ



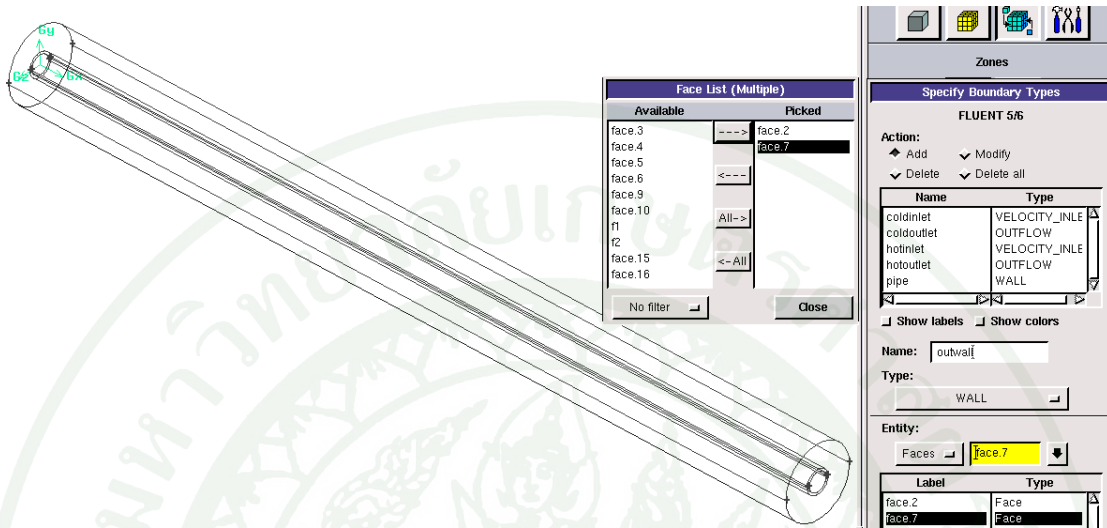
ภาพผนวกที่ 12 การเลือกทางออกของสารที่ใช้ถ่ายเทความร้อนให้แก่สารทำงาน

13. ทำการสร้างขอบเขตของท่อภายในโดยเลือกที่ face 3, 4, 5, 6, 9, 10 โดยตั้งชื่อว่า pipe โดยเลือก type แบบ wall ดังภาพ



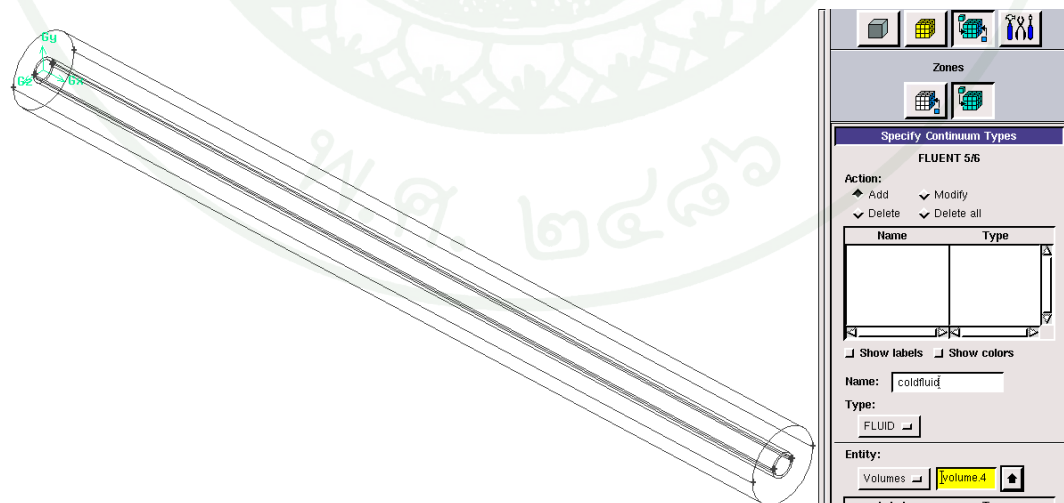
ภาพผนวกที่ 13 การสร้างขอบเขตของท่อภายใน

14. ทำการสร้างขอบเขตของท่อด้านนอกโดยเลือกที่ face 2, 7 โดยตั้งชื่อว่า out wall โดยเลือก type แบบ wall ดังภาพ



ภาพผนวกที่ 14 การสร้างขอบเขตของท่อภายนอก

15. ทำการกำหนดให้ของไอลโดเป็นของไอลที่มีอุณหภูมิต่ำโดยเลือกที่ Zone และ Specify Continuum Types โดยเลือกให้ปริมาตรของ Volume 4 เป็นปริมาตรของของไอลอุณหภูมิต่ำโดยในช่อง Type ให้กำหนดว่าเป็น Fluid ดังภาพ



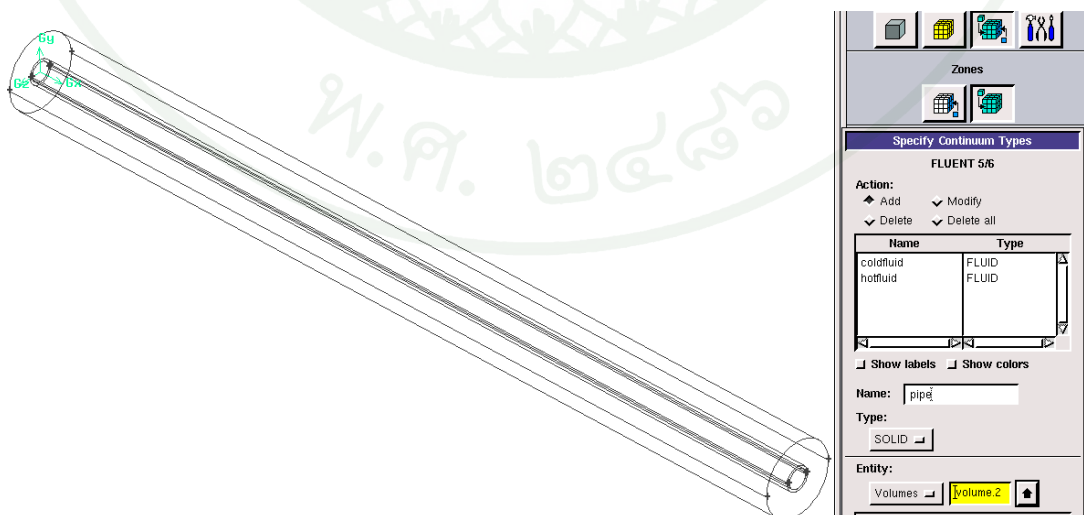
ภาพผนวกที่ 15 การกำหนดปริมาตรของของไอลที่มีอุณหภูมิต่ำ

16. ทำการกำหนดให้ของไอลดีเป็นของไอลที่มีอุณหภูมิสูง โดยเลือกที่ Zone และ Specify Continuum Types โดยเลือกให้ปริมาตรของ Voss เป็นปริมาตรของไอลอุณหภูมิสูง โดยในช่อง Type ให้กำหนดค่าเป็น Fluid ดังภาพ



ภาพผนวกที่ 16 การกำหนดปริมาตรของไอลที่มีอุณหภูมิสูง

17. ทำการกำหนดบริเวณที่เป็นของแข็ง โดยเลือกที่ Zone และ Specify Continuum Types โดยเลือกให้ปริมาตรของ Volume 2 เป็นปริมาตรของแข็ง โดยตั้งชื่อว่า pipe และกำหนดให้ในช่อง Type ให้กำหนดค่าเป็น Solid ดังภาพ



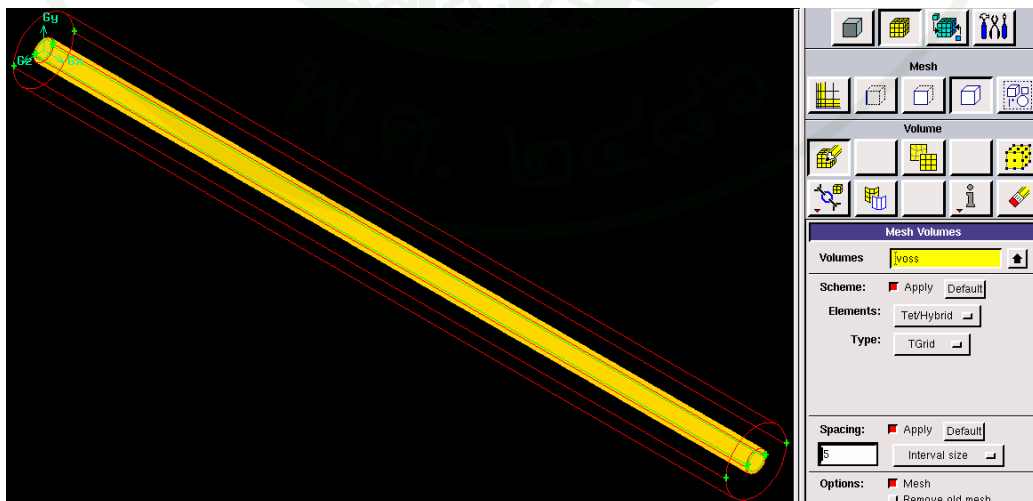
ภาพผนวกที่ 17 การกำหนดปริมาตรของแข็ง

18. เมื่อสร้างขอบเขตของปัญหาได้ทั้งหมดแล้วจากนั้น ต้องทำการสร้าง Grid หรือ การ Mesh โดยเลือกที่ Mesh และเลือกที่ Volume 4 โดยใช้รูปแบบของ mesh เป็นแบบ Tet/Hybrid และเลือก Type แบบ T Grid โดยให้ค่า Spacing เท่ากับ 1 โดยยิ่งค่า Spacing น้อยจะยิ่งมีจำนวน Grid ที่มาก



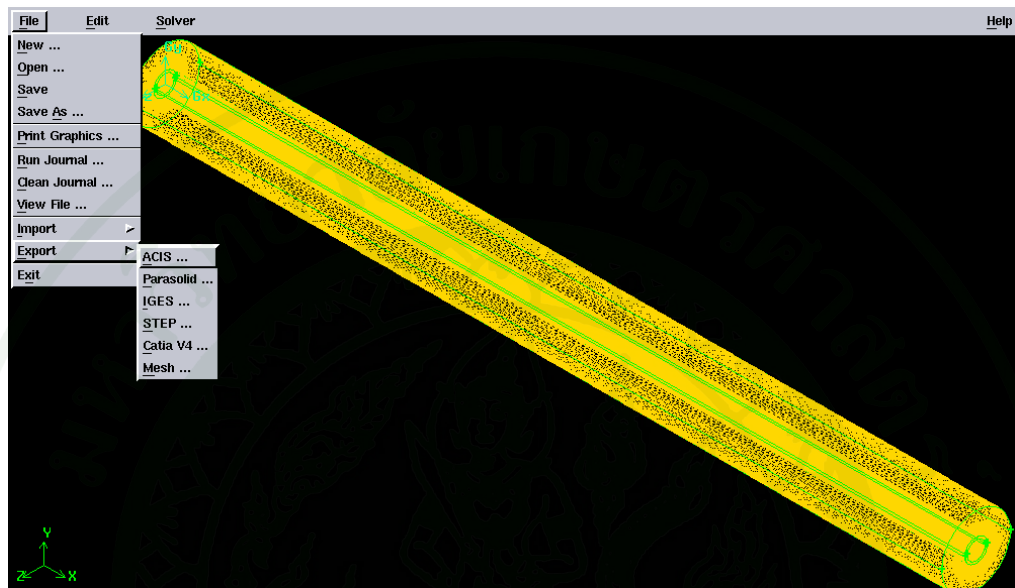
ภาพผนวกที่ 18 การกำหนดปริมาตรของของไอลอุณหภูมิต่ำที่ต้องการทำการ Mesh

19. ทำการสร้าง Grid หรือ การ Mesh โดยเลือกที่ Mesh และเลือกที่ Voss โดยใช้รูปแบบของ mesh เป็นแบบ Tet/Hybrid และเลือก Type แบบ T Grid โดยให้ค่า Spacing เท่ากับ 5 ดังภาพ



ภาพผนวกที่ 19 การกำหนดปริมาตรของของไอลอุณหภูมิสูงที่ต้องการทำการ Mesh

20. เมื่อทำการ Mesh ประมาณของของไอลทั้ง 2 แล้วต้องทำการเปลี่ยนให้ไฟล์ในโปรแกรม GAMBIT ให้เป็นไฟล์ .msh เพื่อใช้ในการคำนวณในโปรแกรม Fluent ต่อไป โดยเลือกที่คำสั่ง Export และเลือกที่ Mesh จะเป็นการสร้างไฟล์ของปัญหาให้เป็นไฟล์รูปแบบ .msh ดังภาพ



ภาพผนวกที่ 20 การสร้างไฟล์ .msh จากปัญหา



## วิธีการแก้ปัญหาโดยโปรแกรม Fluent

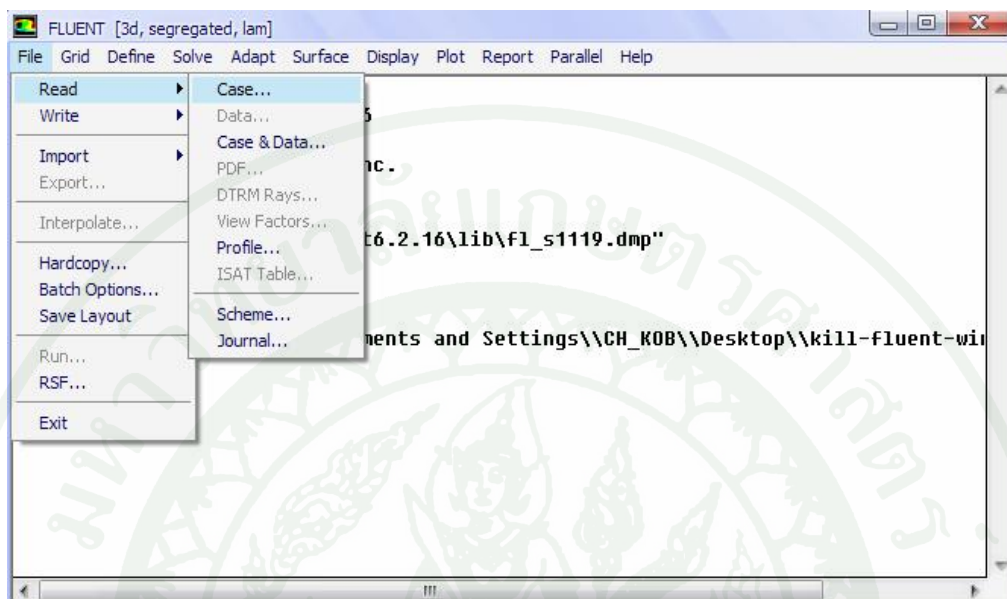
โปรแกรม Fluent เป็นโปรแกรมที่ใช้สำหรับการไหลของของไหหล การถ่ายเทความร้อน และมวลสาร โดยลักษณะการไหล การถ่ายเทความร้อน การถ่ายเทมวล และอื่นๆ ทั้งหมดสามารถ จำลองผ่านคอมพิวเตอร์เพียงเครื่องเดียวส่วนมากการไหลของของไหหลและการถ่ายเทความร้อน จะมีสมการอยู่ในรูป PDE (Partial Differential Equations) ซึ่งเป็นสมการอนุพันธ์อันดับต่างๆ และ เป็นสมการรูปแบบต่อเนื่องแล้วยากต่อการคำนวณ ทำให้ต้องทำการปั๊มน้ำ ไม่ต่อเนื่อง หรือสมการเชิงพิชคณิตเพื่อความง่ายต่อการคำนวณ โดยอาศัยวิธีปริมาตรจำกัดมาช่วยในการเปลี่ยน สมการที่มีรูปแบบต่อเนื่องไปเป็นสมการเชิงพิชคณิตจากนั้นแก้สมการพิชคณิต หรือระบบสมการ ปริมาตรจำกัดด้วยระเบียบวิธีเชิงตัวเลข (Numerical Methods) เช่น ระเบียบวิธีเชิงตัวเลขแบบทำซ้ำ (Iterative Methods) เป็นวิธีการหาผลเฉลยที่นิยมใช้ในการแก้ระบบสมการพิชคณิตใน CFD

1. ทำการเลือกโปรแกรม Fluent และเลือกที่ 3d และเลือกที่ Run เพราะปัญหาใน การทดลองนี้เป็นรูปแบบ 3d ดังภาพ



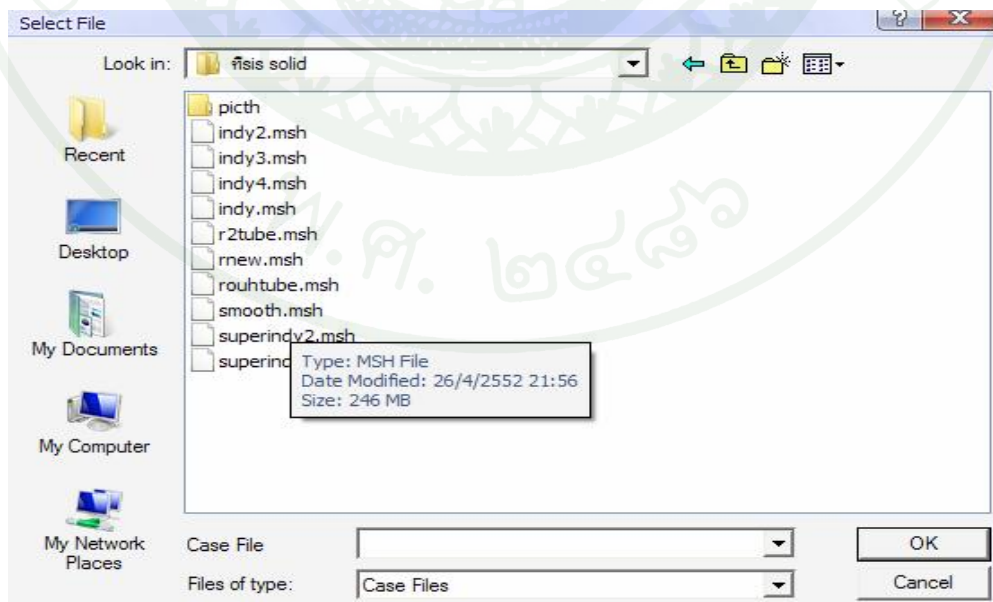
ภาพพนักที่ 1 การเลือกรูปแบบ 3d

2. จากนั้นเมื่อเข้าโปรแกรมได้แล้วให้เลือกที่ File >> Read >> Case เพื่อเปิดไฟล์สกุล .msh ที่สร้างมาจากโปรแกรม GAMBIT เพื่อนำปัญหามาแก้ในโปรแกรม Fluent ดังภาพ



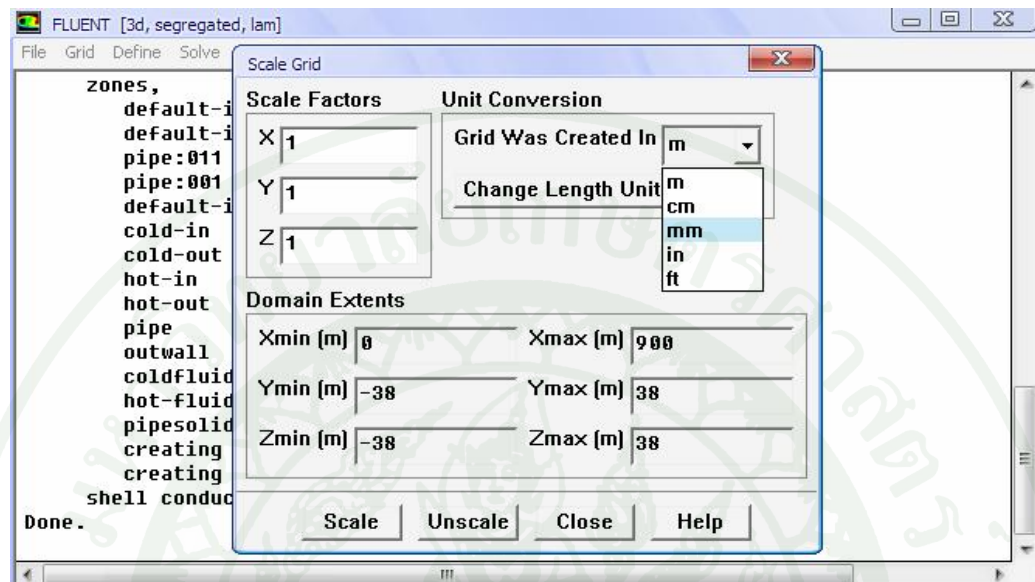
### ภาพผนวกที่ ค2 การเปิดไฟล์ของปัญหา

3. ทำการเลือกไฟล์ที่ต้องการเปิดดังภาพ



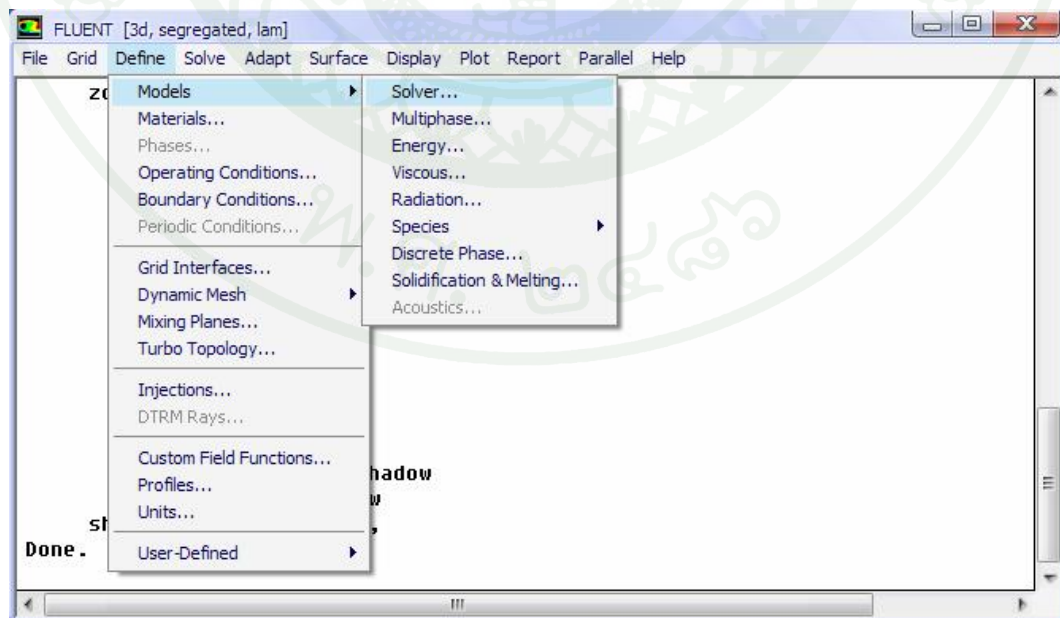
### ภาพผนวกที่ ค3 การเลือกไฟล์สกุล .msh

4. ทำการเปลี่ยนขนาดของปัญหาเป็นหน่วยมิลลิเมตร โดยเลือกที่ Grid >> Scale และในช่อง Unit Conversion เป็น mm ดังภาพ



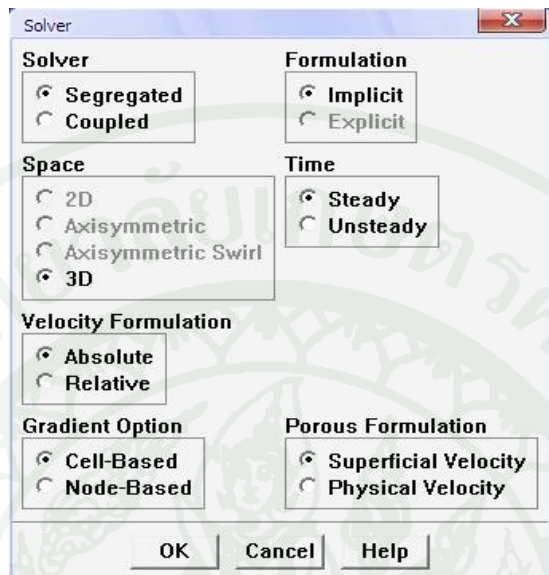
ภาพผนวกที่ ค4 การเปลี่ยนหน่วย

5. ทำการเลือกรูปแบบของการไหลดโดยเลือกที่ Define >> Model >> Solver ดังภาพ



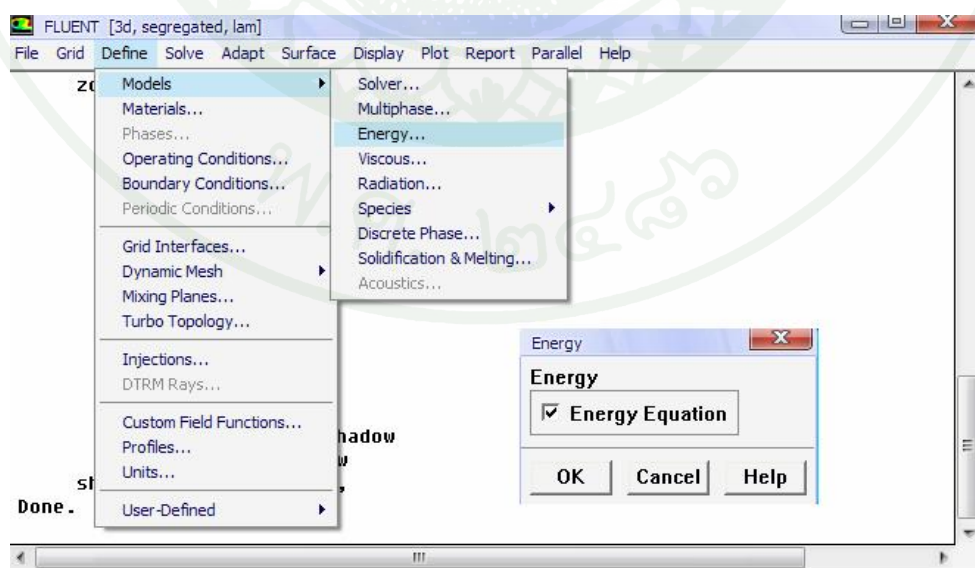
ภาพผนวกที่ ค5 การเลือกรูปแบบการไหลด

6. ทำการเลือกที่ Steady ที่ช่อง Time เพื่อการไหลในปัญหานี้มีการเปลี่ยนแปลงตามเวลาและเลือกที่ OK ดังภาพ



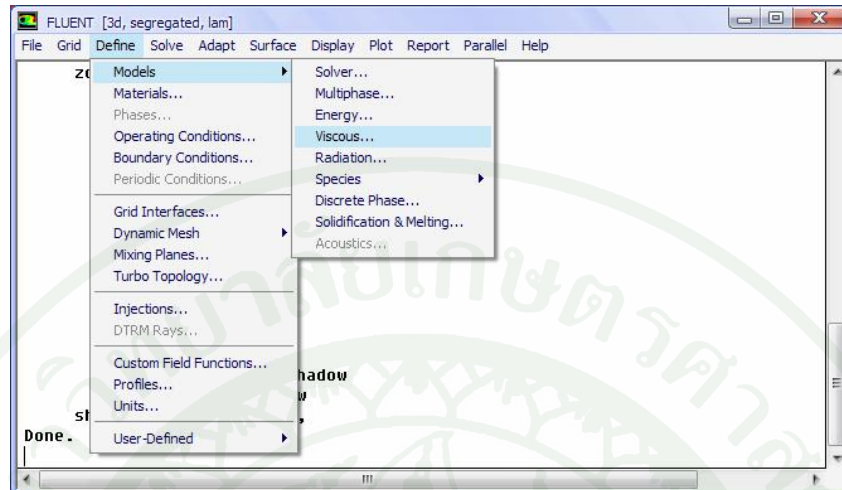
ภาพผนวกที่ ค6 การเลือกรูปแบบการไหลเป็นแบบ Steady

7. ทำการเลือกที่ Define > Model > Energy เพราะปัญหานี้มีความร้อนมาก็iyaw ข้องดังภาพ



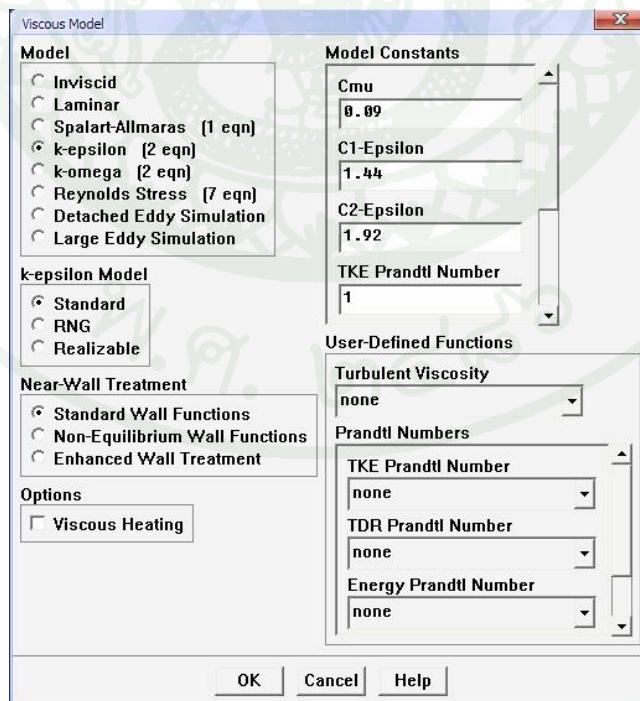
ภาพผนวกที่ ค7 การเลือกใช้สมการพลังงาน

8. ทำการเลือกแบบจำลองของการไหลโดยเลือกที่ Define > Model > Viscous ดังภาพ



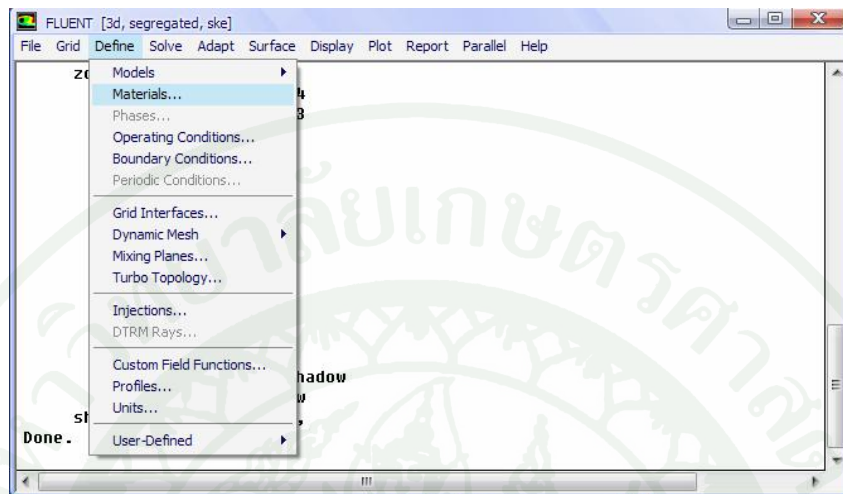
ภาพผนวกที่ ค8 การเลือกแบบจำลองของการไหล

9. ในช่อง Model ให้เลือกแบบจำลองการไหลแบบปั่นป่วน  $k - \varepsilon$  โดยใช้เป็นแบบ  $k - \varepsilon$  Standard ดังภาพ



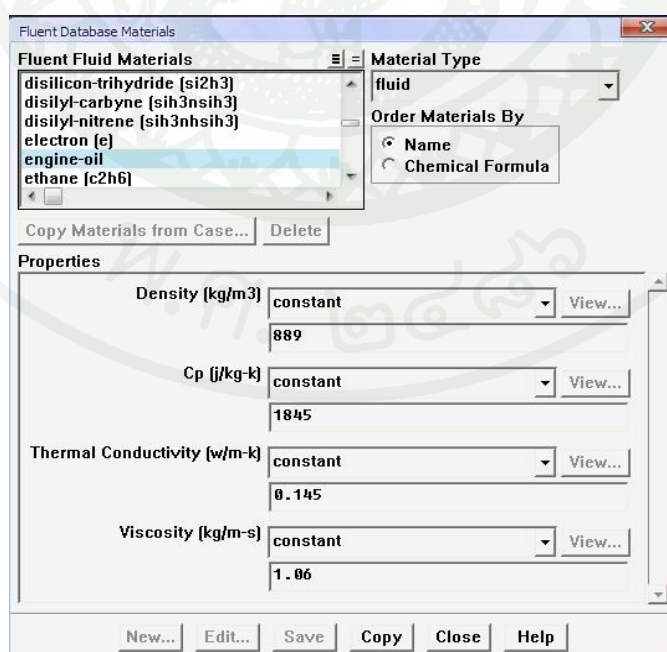
ภาพผนวกที่ ค9 การเลือกแบบจำลองการไหลแบบปั่นป่วน  $k - \varepsilon$

10. ทำการเลือกวัสดุในปัญหาโดยเลือกชนิดของของไหลและชนิดของของแข็งทำการเลือกที่ Define >> Materials ดังภาพ



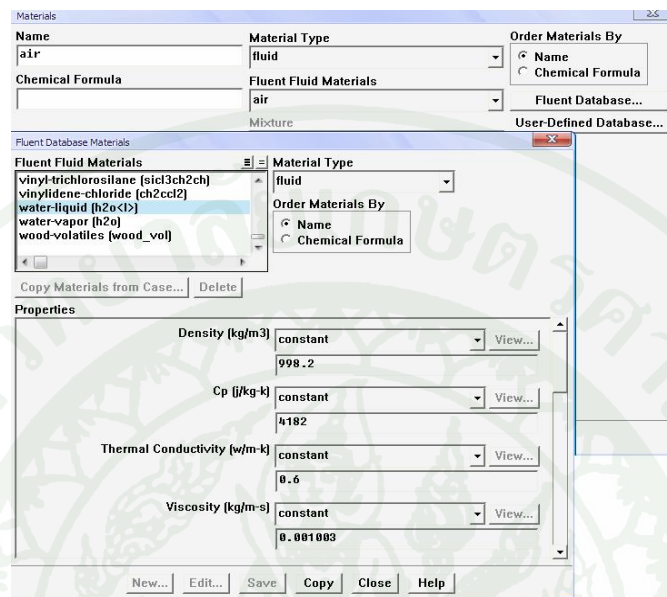
ภาพผนวกที่ ค10 การเลือกแบบวัสดุ

11. ทำการเลือก fluid ชนิดแรกเป็น engine-oil โดยในช่อง Material Type ให้เลือกลักษณะของวัสดุเป็น fluid ดังภาพ



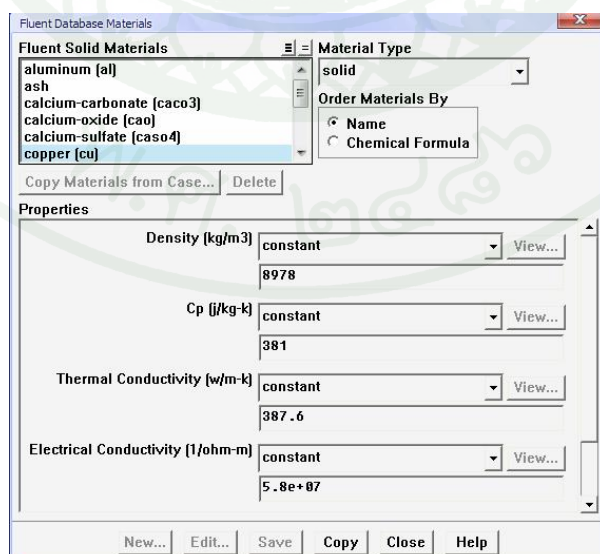
ภาพผนวกที่ ค11 การเลือกชนิดของของไหลเป็น engine-oil

12. ทำการเลือก fluid ชนิดที่สองเป็นน้ำโดยในช่อง Material Type ให้เลือก ลักษณะของวัสดุเป็น fluid ดังภาพ



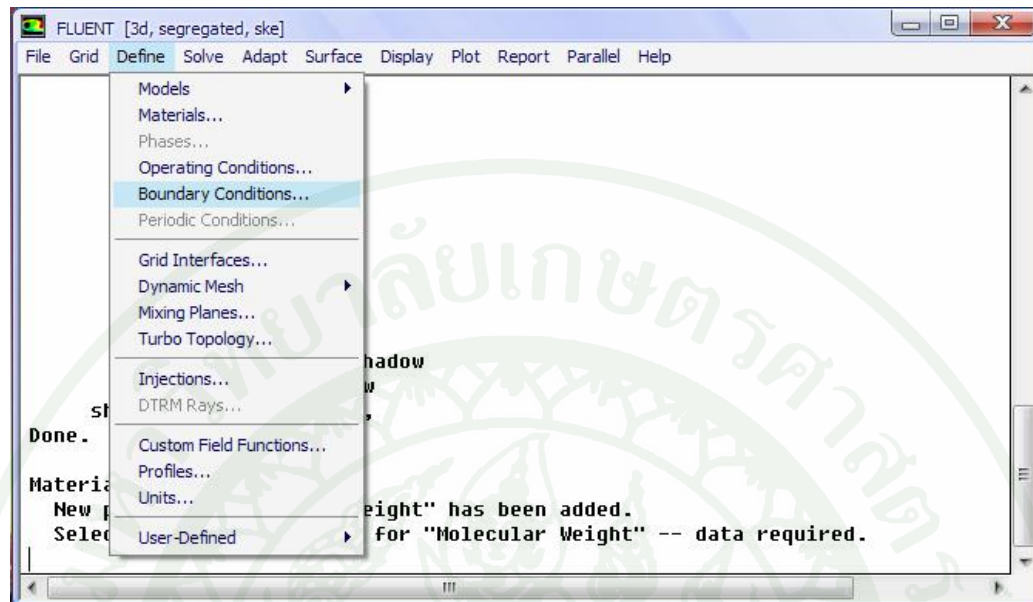
ภาพพนักที่ ค12 การเลือกชนิดของของไหลเป็นน้ำ

13. ทำการเลือกชนิดของของแข็งเป็นทองแดงโดยในช่อง Material Type ให้เลือกลักษณะของวัสดุเป็น solid ดังภาพ



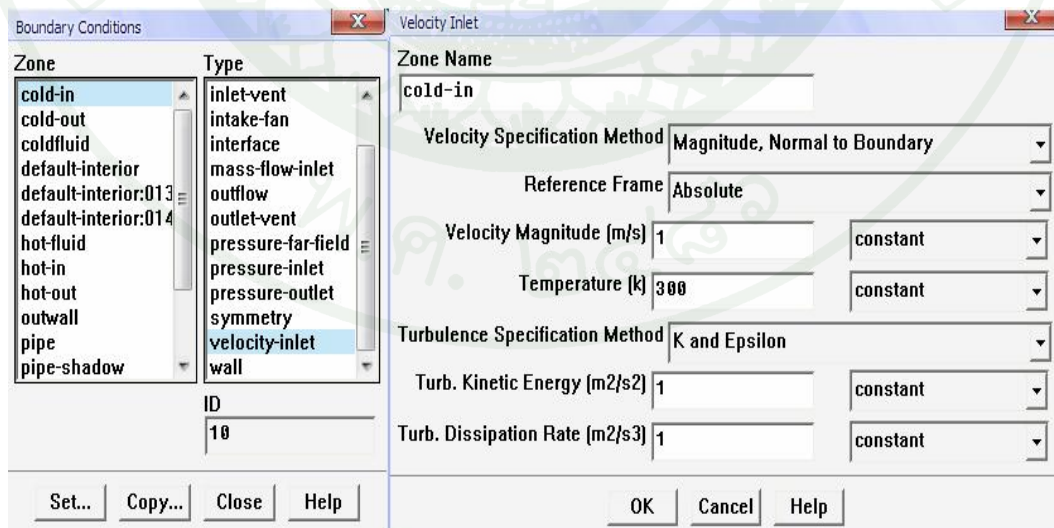
ภาพพนักที่ ค13 การเลือกชนิดของของแข็งเป็นทองแดง

14. ทำการกำหนดเงื่อนไขขอบเขตโดยเลือกที่ Define >> Boundary Conditions ดังภาพ



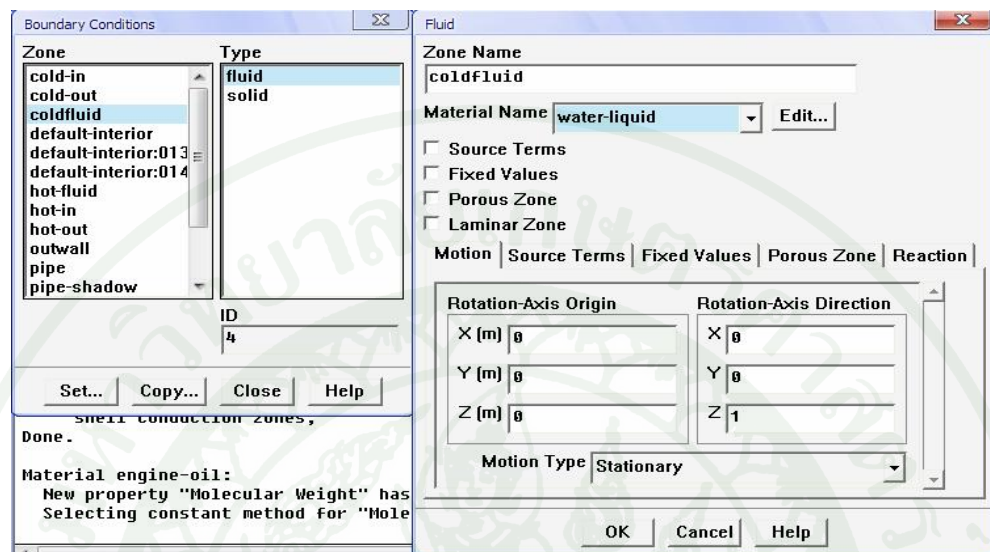
ภาพผนวกที่ ค14 การกำหนดปัญหาขอบเขต

15. ทำการกำหนดที่ zone cold-in เป็น Type ของ velocity inlet ซึ่งเป็นของไอลอุณหภูมิคำมีอุณหภูมิ 300 K และความเร็วของไอล 1 m/s ดังภาพ



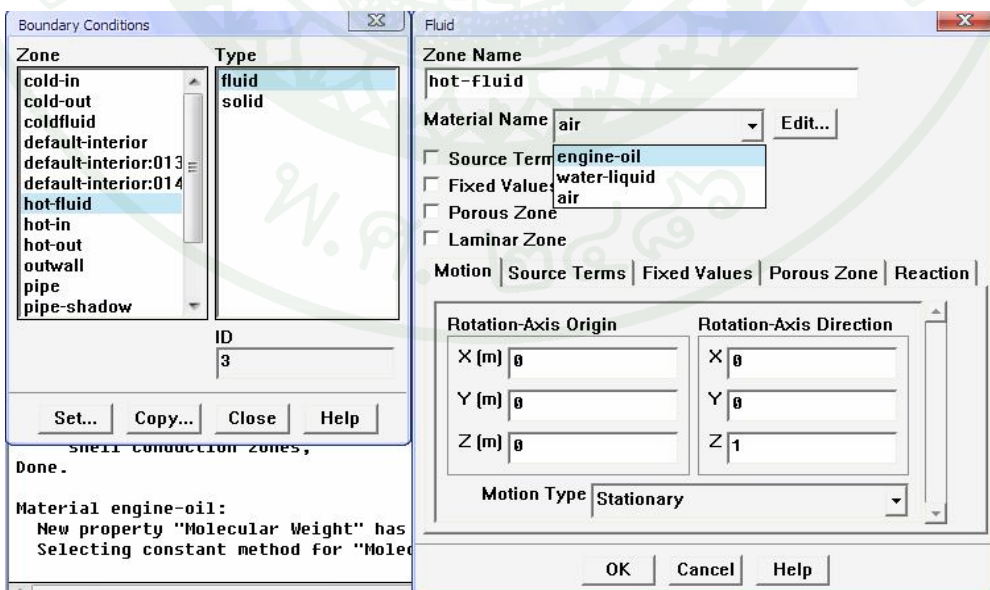
ภาพผนวกที่ ค15 การกำหนดอุณหภูมิและความเร็วของไอลอุณหภูมิคำ

16. ทำการกำหนดชนิดของของไอลอุณหภูมิต่ำโดยเลือกที่ zone ของ cold fluid โดยในช่อง Type ให้เลือกเป็น fluid และในช่อง Material Name ให้เลือก water-liquid ดังภาพ



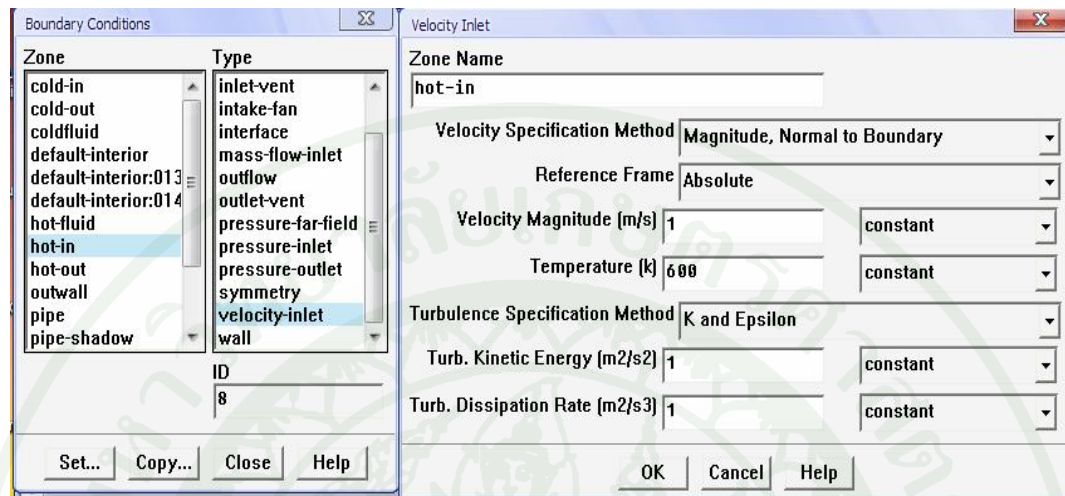
ภาพผนวกที่ ค16 การกำหนดชนิดของของไอลอุณหภูมิต่ำ

17. ทำการกำหนดชนิดของของไอลอุณหภูมิสูงโดยเลือกที่ zone ของ hot fluid โดยในช่อง Type ให้เลือกเป็น fluid และในช่อง Material Name ให้เลือก engine-oil ดังภาพ



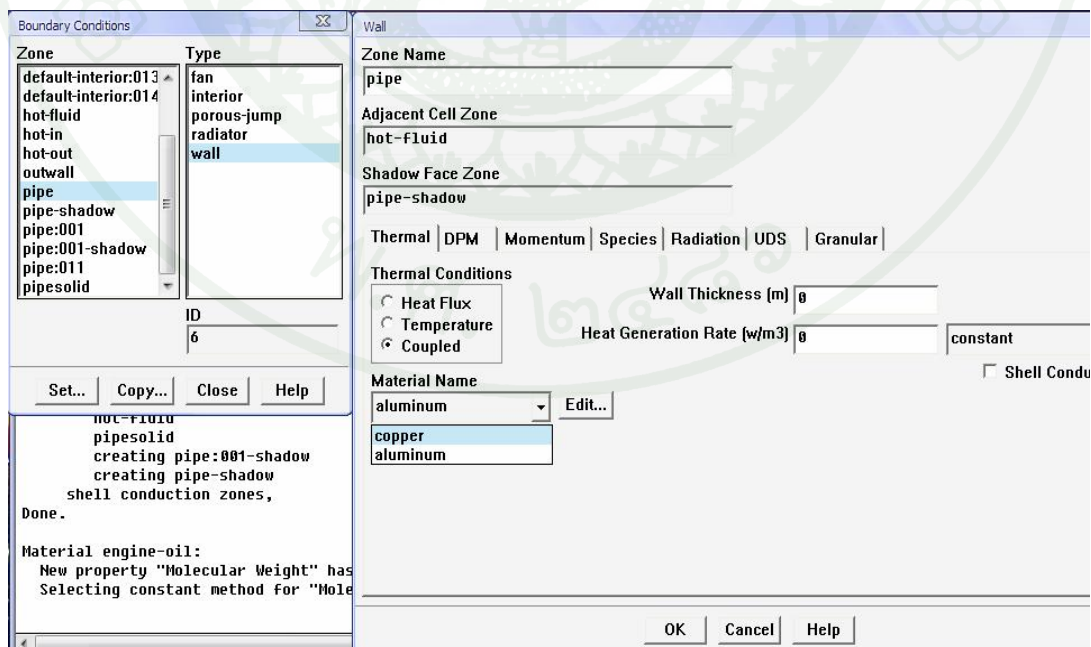
ภาพผนวกที่ ค17 การกำหนดชนิดของของไอลอุณหภูมิสูง

18. ทำการกำหนดที่ zone hot-in เป็น Type ของ velocity inlet ซึ่งเป็นของไอลอุณหภูมิสูง มีอุณหภูมิ 600 K และความเร็วของของไอล 1 m/s ดังภาพ



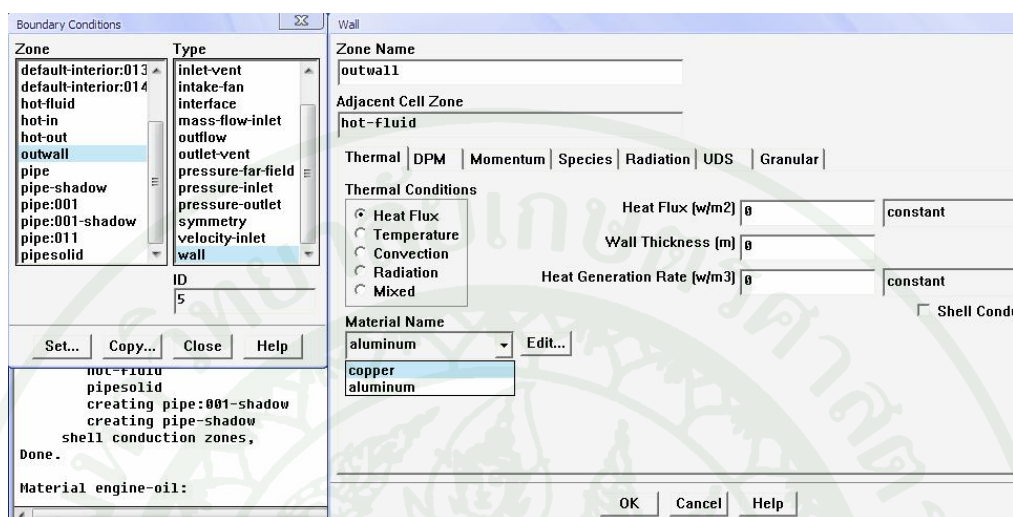
ภาพผนวกที่ ค18 การกำหนดอุณหภูมิและความเร็วของของไอลอุณหภูมิสูง

19. ทำการกำหนดที่ zone pipe เป็น Type ของ wall ซึ่งเป็นของแข็งโดยเลือกชนิดของของแข็งเป็นทองแดง ดังภาพ



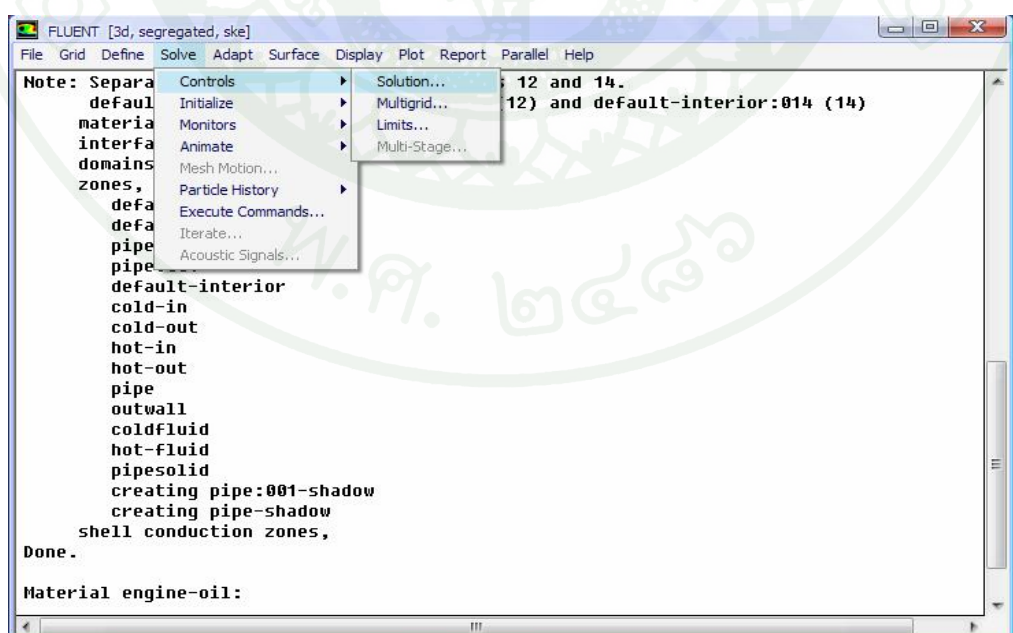
ภาพผนวกที่ ค19 การกำหนดชนิดของของแข็งบริเวณท่อด้านในเป็นทองแดง

20. ทำการกำหนดที่ zone outwall เป็น Type ของ wall ซึ่งเป็นของแข็งโดยเลือกชนิดของของแข็งเป็นทองแดง ดังภาพ



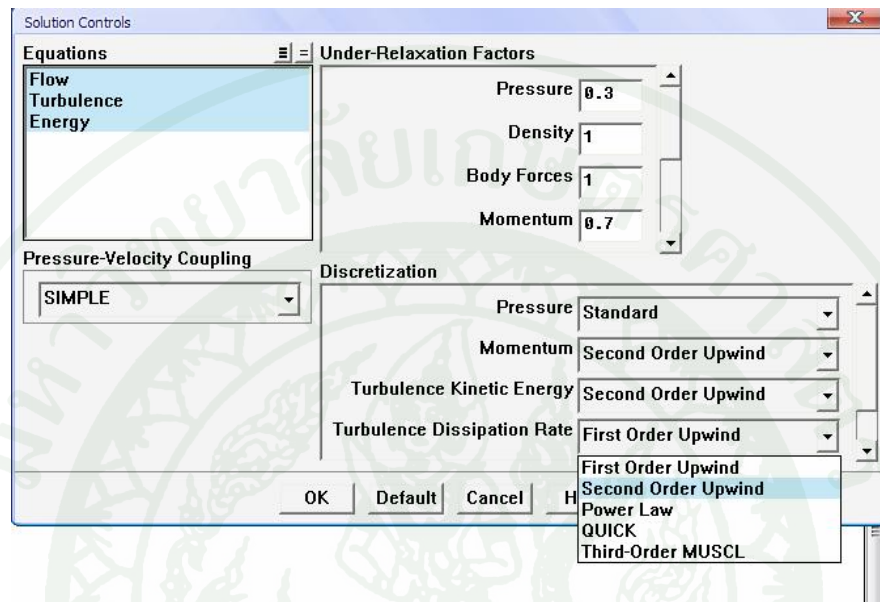
ภาพผนวกที่ ค20 การกำหนดชนิดของของแข็งบริเวณท่อค้านนอกเป็นทองแดง

21. ทำการแก้ปัญหาด้วยระเบียบวิธีเชิงตัวเลขแบบทำซ้ำ โดยเลือกที่ Solve >> Controls >> Solution ดังภาพ



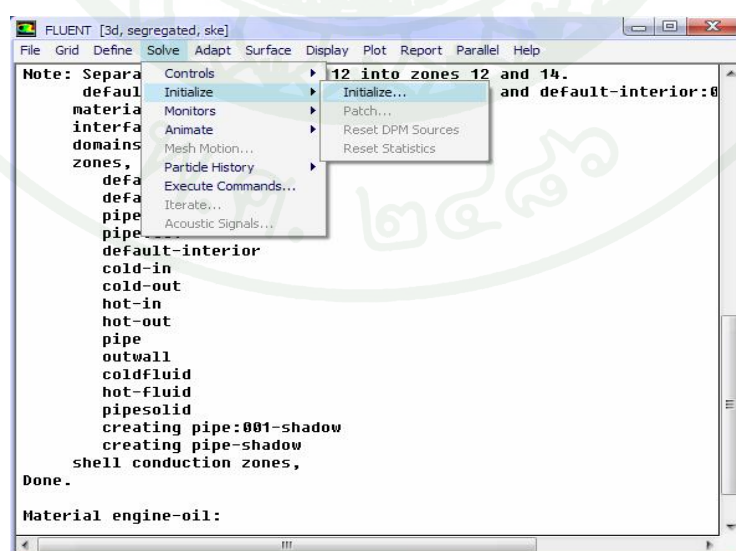
ภาพผนวกที่ ค21 การแก้ปัญหาด้วยระเบียบวิธีเชิงตัวเลขแบบทำซ้ำ

22. ทำการกำหนดค่า Under-Relaxation ให้เหมาะสมแต่จะใช้ค่าเริ่มต้นของโปรแกรมก็ได้ จากนั้นที่ช่อง Discretization ทำการเปลี่ยนวิธีการหาผลเฉลยจาก First Order Upwind เป็น Second Order Upwind เพื่อความระเอียดของคำตอบดังภาพ



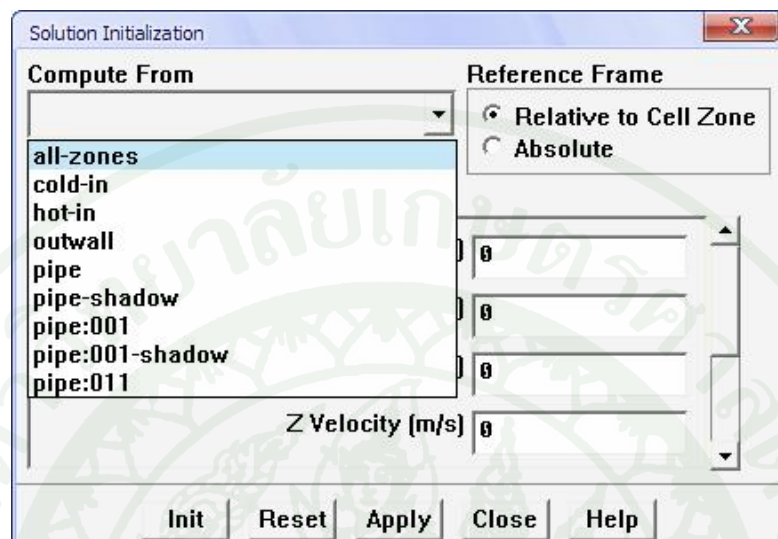
ภาพผนวกที่ ค22 การกำหนดค่า Under-Relaxation ของปัญหา

23. ทำการเริ่มต้นการแก้ปัญหาโดยเลือกที่ Solve > Initialize ดังภาพ



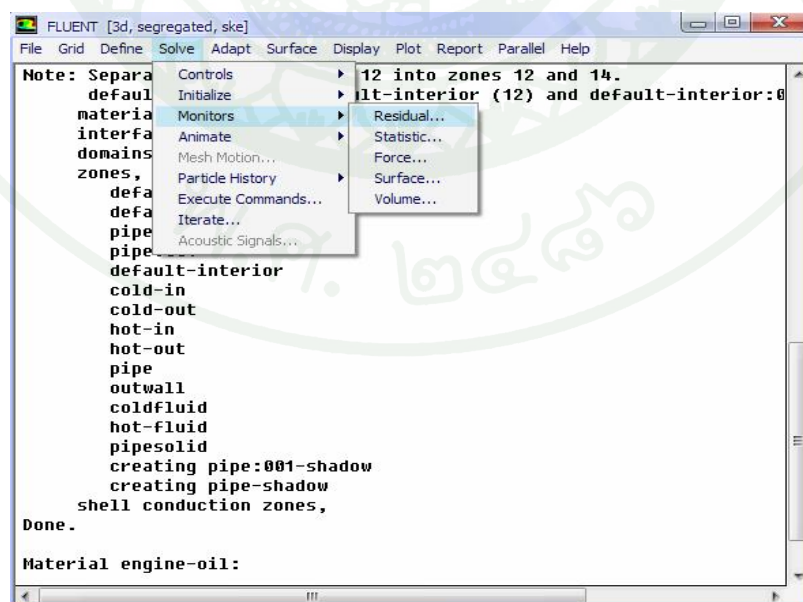
ภาพผนวกที่ ค23 การเริ่มต้นการแก้ปัญหา

24. โดยเริ่มต้นแก้ปัญหาจากทุกส่วนที่ช่อง Compute From ให้เลือก all-zone เพื่อเริ่มแก้ปัญหาจากทุกส่วนแล้วเลือกที่ Init และ Apply ตามลำดับ ดังภาพ



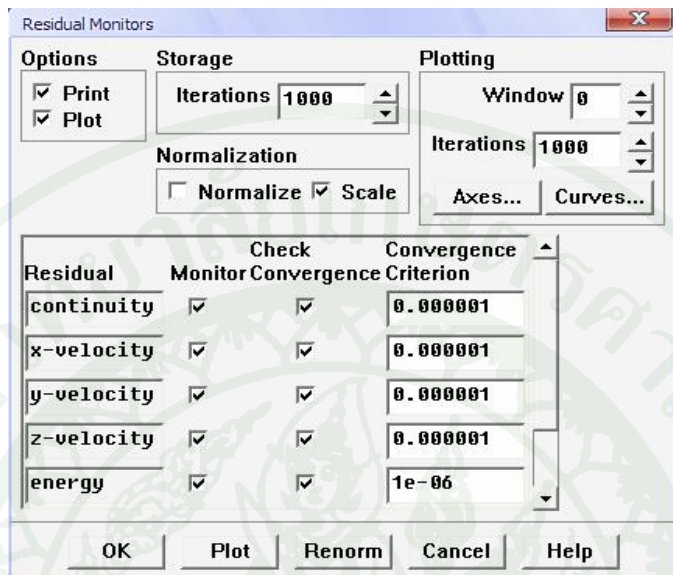
ภาพผนวกที่ ค24 การเริ่มต้นการแก้ปัญหาจากทุกส่วน

25. ทำการกำหนดค่าเศษเหลือ (Residual) โดยเลือกที่ Solve >> Monitors >> Residual ดังภาพ



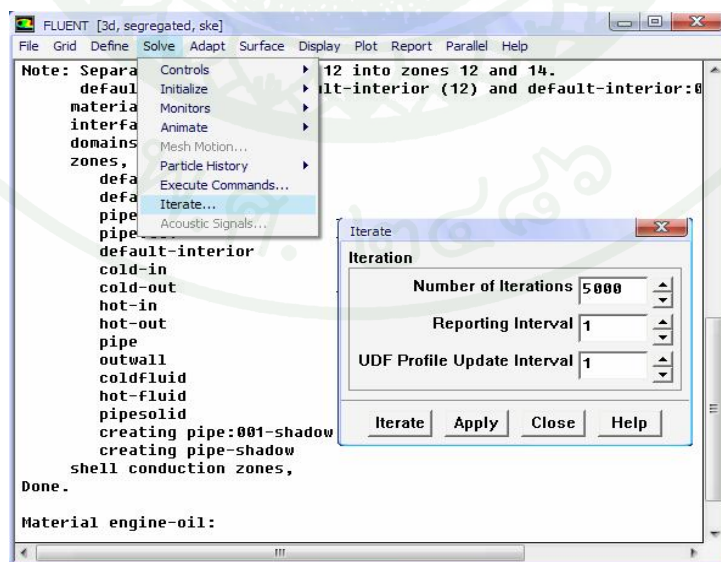
ภาพผนวกที่ ค25 การกำหนดค่าเศษเหลือ (Residual)

26. ทำการกำหนดค่า Convergence Criterion เป็น 0.000001 ทุกช่องเพื่อให้โปรแกรมหยุดทำงานเมื่อเศษเหลือของค่าตอบมีความแตกต่างกันน้อยกว่า 0.000001 ดังภาพ



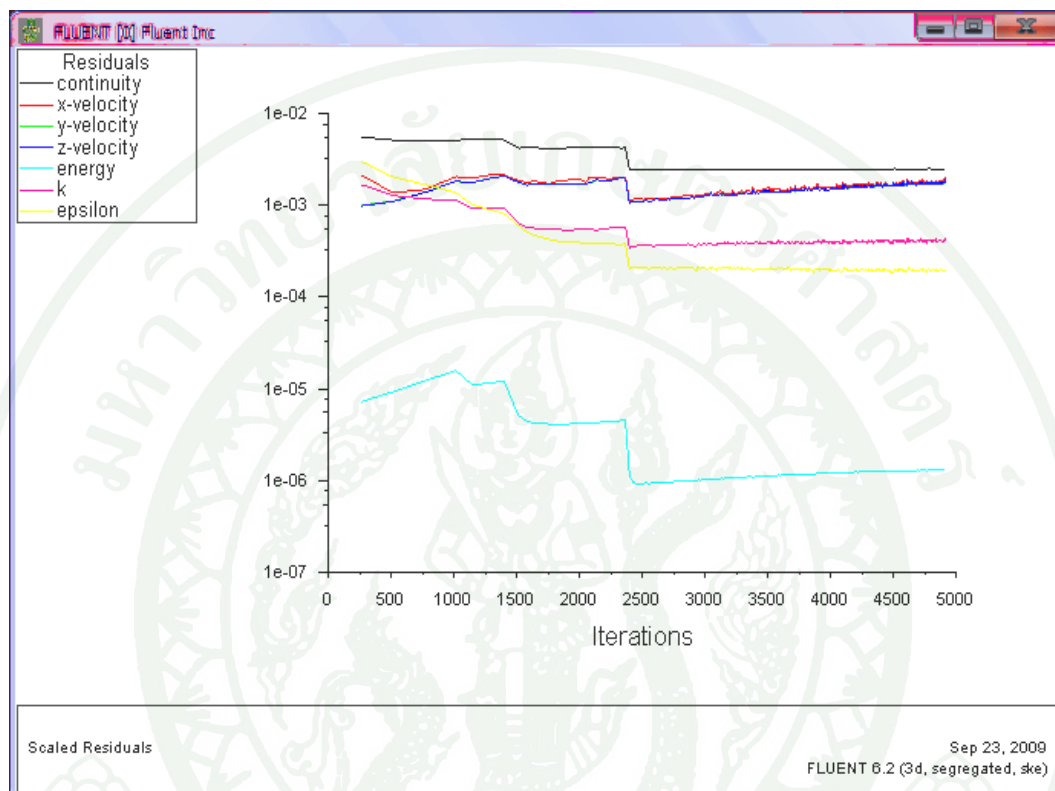
ภาพผนวกที่ ค26 การกำหนดค่า Convergence Criterion

27. ทำการกำหนดจำนวนรอบการทำซ้ำของระบบเปียบวิธีเชิงตัวเลข โดยเลือกที่ Solve >> Iterate และในช่อง Number of iterations ให้กำหนดเป็น 5000 รอบหรือมากกว่า ดังภาพ



ภาพผนวกที่ ค27 การกำหนดจำนวนรอบการทำซ้ำของระบบเปียบวิธีเชิงตัวเลข

28. ทำการปิดอย่างไรโปรแกรมทำงานโดยสังเกตผลเฉลยว่ามีการลู่เข้าค่าได้ค่าหนึ่งหรือขังถ้าผลเฉลยยังไม่ลู่เข้าให้กลับไปปรับที่ค่า Under-Relaxation ของปัญหาให้มีค่าน้อยลงจนผลเฉลยลู่เข้าจะสังเกตได้ว่าเส้นที่เป็นตัวแทนของสมการจะเป็นเส้นตรงจะได้คำตอบของปัญหานั้น ดังภาพ



ภาพผนวกที่ ค28 การลู่เข้าของปัญหา

30. จากขั้นตอนที่ผ่านมาทั้งหมดจะทำให้ได้ผลของการศึกษาค่า Reynolds number ต่อการถ่ายเทความร้อนและความดันต่อกันที่กรณีหนึ่งให้ทำการเปลี่ยนแปลงค่า Reynolds number ใหม่โดยการเปลี่ยนแปลงค่าความเร็วของของไอลอุณหภูมิต่ำและทำการขั้นตอนต่อไปใหม่เพื่อหาผลกระบวนการของค่า Reynolds number ตั้งแต่ 10,000-40,000 ต่อการถ่ายเทความร้อนและความดันต่อกันที่เครื่องแลกเปลี่ยนความร้อนแบบท่อเรียบและเครื่องแลกเปลี่ยนความร้อนแบบท่อเกลียว



**ความคลาดเคลื่อนของโปรแกรมและความคลาดเคลื่อนของสมการที่ใช้ประมาณการไหล  
ในเครื่องแลกเปลี่ยนความร้อนแบบท่อเกลียว**

ค่า Friction Factor ที่ได้จากโปรแกรม โดยวิธีพลศาสตร์ของ ไอลเชิงตัวเลขของ เครื่องแลกเปลี่ยนความร้อนแบบท่อเรียบนั้นจะต้องนำค่าที่ได้มามเปรียบเทียบกับสมการของค่า Friction Factor จากสมการเพื่อหาความคลาดเคลื่อนของ โปรแกรม โดยค่าความคลาดเคลื่อนของ เครื่องแลกเปลี่ยนความร้อนแบบท่อเรียบนั้น แสดงตามตารางผนวกที่ 1

ตารางผนวกที่ 1 แสดงค่า Friction Factor ของเครื่องแลกเปลี่ยนความร้อนแบบท่อเรียบที่คำนวณ ทางพลศาสตร์ของ ไอลเชิงตัวเลข และจากทางทฤษฎีของ Colebrook

Reynolds number	ความเร็ว (m/s)	Friction factor ท่อเรียบ	Friction factor ทางทฤษฎีของท่อเรียบ	% ความ คลาดเคลื่อน
10000	0.53	0.0436	0.0395	9.57
20000	1.12	0.0382	0.0334	12.51
30000	1.64	0.0331	0.0275	16.797
40000	2.14	0.0263	0.0224	14.858

จากการเปรียบเทียบพบว่า ค่าความคลาดเคลื่อนมีค่าสูงสุดประมาณ 13% ความคลาดเคลื่อน จากค่า Friction factor ของท่อเรียบ กับค่า Friction factor จากทางทฤษฎีของท่อเรียบนั้น อาจเกิดจาก การความละเอียดของ mesh ที่ใช้ในการจำลองเครื่องแลกเปลี่ยนความร้อน ไม่ละเอียดมากพอ แต่เนื่องมาจากการข้อจำกัดทางคอมพิวเตอร์ด้านหน่วยความจำและเวลาในการคำนวณทางคอมพิวเตอร์ ทำให้ไม่สามารถทำ mesh ได้ละเอียดมากๆ ได้ แต่อย่างไรก็ตามความคลาดเคลื่อนที่เกิดขึ้น ไม่มาก นักแสดงว่าผลของการคำนวณทางพลศาสตร์ของ ไอลเชิงตัวเลข มีความใกล้เคียงกับผลทางทฤษฎี จึงสามารถใช้วิธีการคำนวณทางพลศาสตร์ของ ไอลเชิงตัวเลขในการประมาณค่า Friction Factor ของท่อเกลียว ได้

จากการวิเคราะห์ค่า **Nusselt number** ของการไหลในท่อเรียบที่ได้จากการคำนวณทางผลศาสตร์ของไอลเชิงตัวเลขเปรียบเทียบกับค่า **Nusselt number** ที่ได้จากการคำนวณตามสมการของ **Dittus-Boelter** ได้แสดงในตารางผนวกที่ ๒

ตารางผนวกที่ ๒ แสดงค่า **Nusselt number** ของท่อเรียบที่คำนวณทางผลศาสตร์ของไอลเชิงตัวเลข และจากทางทฤษฎีของ **Dittus-Boelter**

Reynolds number	ความเร็ว (m/s)	Nu ท่อเรียบ	Nu ทางทฤษฎี ของท่อเรียบ	% ความคลาดเคลื่อน
10000	0.53	68.04	61.86	9.564
20000	1.12	115.42	107.71	6.684
30000	1.64	179.09	148.97	16.81
40000	2.14	208.34	187.53	9.989

ความคลาดของค่า **Nusselt number** ของท่อเรียบกับค่า **Nusselt number** จากทางทฤษฎีของท่อเรียบมีเหตุผลเช่นเดียวกับค่าความคลาดเคลื่อนจากค่า **Friction factor** ของท่อเรียบ กับค่า **Friction factor** จากทางทฤษฎีของท่อเรียบ อันได้แก่ความละเอียดของ Mesh ที่ต้องทำให้เล็กมากๆ แต่ก็มีข้อจำกัดของหน่วยความจำของคอมพิวเตอร์ จึงไม่สามารถทำให้ละเอียดมากกว่านี้

เมื่อพิจารณาค่า **Friction Factor** ของการไหลในเครื่องแลกเปลี่ยนความร้อนแบบท่อเกลียวเปรียบเทียบกับเครื่องแลกเปลี่ยนความร้อนแบบท่อเรียบ โดยวิธีการคำนวณทางผลศาสตร์ของไอลเชิงตัวเลขจะพบว่าค่า **Friction Factor** ของการไหลในเครื่องแลกเปลี่ยนความร้อนแบบท่อเกลียว จะมีค่ามากกว่าการไหลในเครื่องแลกเปลี่ยนความร้อนแบบท่อเรียบ ธรรมชาติที่ค่า **Reynolds number** เดียวกัน อันเนื่องมาจากการไหลในท่อเกลียวนั้นทำให้การไหลเกิดการถูกขัดขวางการไหลโดยเฉพาะบริเวณร่องเกลียว จึงทำให้เกิดความตันตกร่อนในการไหลมากกว่าการไหลในท่อเรียบ ธรรมชาติ ซึ่งผลของการเพิ่มขึ้นของค่า **Friction Factor** ของเครื่องแลกเปลี่ยนความร้อนแบบเกลียวเปรียบเทียบกับท่อเรียบ แสดงในตารางผนวกที่ ๓

ตารางผนวกที่ ง3 แสดงค่า Friction Factor ของท่อเกลียวเปรียบเทียบกับท่อเรียบ และ % การเพิ่มขึ้นของ Friction Factor

Reynolds number	Friction factor	Friction factor	% การเพิ่มขึ้นของ
	ท่อเรียบ	ท่อเกลียว	Friction factor
10000	0.0436	0.0622	29.789
20000	0.0382	0.0537	28.857
30000	0.0331	0.0440	24.724
40000	0.0263	0.0350	24.736

เมื่อพิจารณาค่า Nusselt number ของการไหลในเครื่องแลอกเปลี่ยนความร้อนแบบท่อเกลียว เปรียบเทียบกับเครื่องแลอกเปลี่ยนความร้อนแบบท่อเรียบ จะพบว่าค่า Nusselt number ของการไหล ในเครื่องแลอกเปลี่ยนความร้อนแบบท่อเกลียวจะมีค่ามากกว่าการ ไหลในเครื่องแลอกเปลี่ยนความร้อน แบบท่อเรียบธรรมชาติที่ค่า Reynolds number เดียวกัน อันเนื่องมาจากการเมื่อยของ ไหล ไหลผ่านภายใน ท่อเกลียวนี้ ของ ไหลจะเกิดการ ไหลแบบปั่นป่วนมากกว่าการ ไหลผ่านในท่อเรียบธรรมชาติโดยเฉพาะ บริเวณร่องของท่อเกลียวเมื่อการ ไหลเกิดการปั่นป่วนมากขึ้น จะทำให้เกิดการถ่ายเทความร้อนที่ดีขึ้น ตรงบริเวณนี้ทำให้เครื่องแลอกเปลี่ยนความร้อนแบบท่อเกลียวสามารถแลอกเปลี่ยนความร้อนได้ ดีกว่าเครื่องแลอกเปลี่ยนความร้อนแบบท่อเรียบธรรมชาติจึงทำให้ค่า Nusselt number ในท่อเกลียว มีค่ามากค่า Nusselt number ในท่อเรียบธรรมชาติค่า Nusselt number ของเครื่องแลอกเปลี่ยนความร้อน แบบเกลียว เปรียบเทียบกับเครื่องแลอกเปลี่ยนความร้อนแบบท่อเรียบ แสดงในตารางผนวกที่ ง4

ตารางผนวกที่ ง4 แสดงค่า Nusselt number ของท่อเกลียว และ % การเพิ่มขึ้นของ Nusselt number

Reynolds number	Nu	Nu	% การเพิ่มขึ้นของ
	ท่อเรียบ	ท่อเกลียว	Nu
10000	68.04	101.02	32.286
20000	115.42	174.29	33.776
30000	179.09	268.38	33.272
40000	208.34	369.42	43.602

เมื่อพิจารณาสมการที่ใช้ประมาณค่า friction factor ของการไหลในเครื่องแอลเอปีลี่ยน ความร้อนแบบท่อเกลียวันนี้ ผลของสมการมีความคลาดเคลื่อนกับผลจากวิธีพลศาสตร์ของไหล เชิงคำนวณในกรณีต่างๆ ดังแสดงในตารางผนวกที่ ง5 ถึงตารางที่ ง7

ตารางผนวกที่ ง5 ความคลาดเคลื่อนจากสมการที่ใช้ประมาณค่า friction factor กับค่า friction factor ที่ได้จากวิธีพลศาสตร์ของไหลเชิงคำนวณในกรณีมีการเปลี่ยนแปลงค่า Reynolds number

Reynolds number	friction factor จากวิธีพลศาสตร์ ของไหลเชิงคำนวณ	friction factor จากสมการที่ใช้ประมาณ ค่า friction factor	% ความคลาดเคลื่อน ของ friction factor
10000	0.0622	0.0588	5.35028
15000	0.0579	0.0521	9.846
20000	0.0537	0.0479	10.75
25000	0.0475	0.0448	5.567
30000	0.044	0.0424	3.42
35000	0.0375	0.0405	8.256
40000	0.035	0.0390	11.4834

ตารางผนวกที่ ง6 ความคลาดเคลื่อนจากสมการที่ใช้ประมาณค่า friction factor กับค่า friction factor ที่ได้จากวิธีพลศาสตร์ของไหลเชิงคำนวณในกรณีมีการเปลี่ยนแปลงค่า  $(e/d)$

$(e/d)$	friction factor จากวิธีพลศาสตร์ ของไหลเชิงคำนวณ	friction factor จากสมการที่ใช้ประมาณ ค่า friction factor	% ความคลาดเคลื่อน ของ friction factor
0.04	0.035	0.0390	10.3
0.05	0.0381	0.040107	5.0
0.06	0.0403	0.041018	1.750
0.07	0.0415	0.041804	0.72
0.08	0.0422	0.042498	0.73
0.09	0.044	0.043119	2.02

ตารางผนวกที่ ง 7 ความคลาดเคลื่อนจากสมการที่ใช้ประมาณค่า friction factor กับค่า friction factor ที่ได้จากการวิธีพลศาสตร์ของไอลเซิงคำนวนในกรณีมีการเปลี่ยนแปลงค่า ( $p/d$ )

$(p/d)$	friction factor จากวิธีพลศาสตร์ ของไอลเซิงคำนวน	friction factor จากสมการที่ใช้ประมาณ ค่า friction factor	% ความคลาดเคลื่อน ของ friction factor
1	0.047	0.058718	19.95573
2	0.041	0.045372	9.635178
3	0.035	0.039019	10.3006
4	0.0307	0.035059	12.43369
5	0.0272	0.032266	15.70183
6	0.024	0.030151	20.39948

เมื่อพิจารณาสมการที่ใช้ประมาณค่า Nusselt number ของการไอลในเครื่องแฉกเปลี่ยนความร้อนแบบท่อเกลียวันนี้ ผลของสมการมีความคลาดเคลื่อนกับผลจากวิธีพลศาสตร์ของไอลเซิงคำนวนในกรณีต่างๆ ดังแสดงในตารางผนวกที่ ง 8 ถึง ตารางที่ ง 11

ตารางผนวกที่ ง 8 ความคลาดเคลื่อนจากสมการที่ใช้ประมาณค่า Nusselt number กับค่า Nusselt number ที่ได้จากการวิธีพลศาสตร์ของไอลเซิงคำนวนในกรณีมีการเปลี่ยนแปลงค่า Reynolds number

Reynolds number	Nusselt number จากวิธีพลศาสตร์ ของไอลเซิงคำนวน	Nusselt number จากสมการที่ใช้ประมาณ ค่า Nusselt number	% ความคลาดเคลื่อน ของ Nusselt number
10000	101.2	132.1506	23.42073
15000	143.7	173.7595	17.29947
20000	174.3	211.0059	17.39568
25000	243.5	245.3119	0.738603
30000	268.4	277.443	3.259424
35000	328.7	307.8716	6.76529
40000	369.42	336.9147	9.647926

ตารางผนวกที่ ง9 ความคลาดเคลื่อนจากสมการที่ใช้ประมาณค่า Nusselt number กับค่า Nusselt number ที่ได้จากวิธีผลศาสตร์ของไอลเชิงคำนวนในกรณีมีการเปลี่ยนแปลงค่า ( $e/d$ )

$(e/d)$	Nusselt number จากวิธีผลศาสตร์ ของไอลเชิงคำนวน	Nusselt number จากสมการที่ใช้ประมาณค่า friction factor	% ความคลาดเคลื่อน ของ friction factor
0.04	369.42	356.9147	3.385112
0.05	388.2	364.6617	6.063458
0.06	397	368.5898	7.156224
0.07	408.3	371.9462	8.903699
0.08	409.8	374.88	8.521234
0.09	411.7	377.4882	8.309877

ตารางผนวกที่ ง10 ความคลาดเคลื่อนจากสมการที่ใช้ประมาณค่า Nusselt number กับค่า Nusselt number ที่ได้จากวิธีผลศาสตร์ของไอลเชิงคำนวนในกรณีมีการเปลี่ยนแปลงค่า ( $p/d$ )

$(p/d)$	Nusselt number จากวิธีผลศาสตร์ ของไอลเชิงคำนวน	Nusselt number จากสมการ ที่ใช้ประมาณค่า Nusselt number	% ความคลาดเคลื่อน ของ Nusselt number
1	405.3	385.1531	4.970871
2	390.4	353.9712	9.331154
3	369.42	336.9147	8.799004
4	342.2	325.3138	4.934609
5	338.9	316.5912	6.582716
6	330.7	309.6382	6.368855

ตารางผนวกที่ 11 ความคลาดเคลื่อนจากสมการที่ใช้ประมาณค่า Nusselt number กับค่า Nusselt number ที่ได้จากการวิธีพลศาสตร์ของไอลเชิงคำนวนในกรณีมีการเปลี่ยนแปลงค่า ( $Pr$ )

$Pr$	Nusselt number จากวิธีพลศาสตร์ ของไอลเชิงคำนวน	Nusselt number จากสมการ ที่ใช้ประมาณค่า Nusselt number	% ความคลาดเคลื่อน ของ Nusselt number
0.741	860.62	988.0331	12.89563
1.034	526.55	842.1728	37.4772
1.467	514.86	712.157	27.70414
3.972	447.39	441.7711	1.271901
6.99	369.42	336.9147	9.647926

ตารางผนวกที่ 12 ความคลาดเคลื่อนของสมการประมาณค่า friction factor กับผลการทดลองของ (Dong *et al.*, 2001)

Reynolds number	friction factor จากการทดลอง	friction factor จากสมการที่ใช้ประมาณค่า friction factor	% ความคลาดเคลื่อน ของ friction factor
10000	0.051	0.0588	13.37157
15000	0.048	0.0521	8.044481
20000	0.045	0.0479	6.110203
25000	0.0425	0.0448	5.256807
30000	0.04	0.0424	5.873447
35000	0.039	0.0405	3.931749
40000	0.038	0.0390	2.612081

ตารางผนวกที่ 13 ความคลาดเคลื่อนของสมการประมาณค่า Nusselt number กับผลการทดลองของ (Dong *et al.*, 2001)

Reynolds number	Nusselt number จากการทดลอง	Nusselt number จากสมการที่ใช้ประมาณค่า Nusselt number	% ความคลาดเคลื่อน ของ friction factor
10000	90	132.1506	31.89591
15000	148	173.7595	14.82479
20000	198	211.0059	6.163769
25000	221	245.3119	9.910601
30000	230	277.443	17.1001
35000	267	307.8716	13.27553
40000	300	336.9147	10.95669

## ประวัติการศึกษาและการทำงาน

ชื่อ-นามสกุล	นายภูมิ ชาตุนิศาสน์
วัน เดือน ปี ที่เกิด	19 มกราคม พ.ศ. 2529
สถานที่เกิด	กรุงเทพมหานคร
ประวัติการศึกษา	ปริญญาตรี วิศวกรรมศาสตรบัณฑิต
ทุนการศึกษาที่ได้รับ	มหาวิทยาลัยเกษตรศาสตร์ (กำแพงแสน) พ.ศ. 2551 ทุนอุดหนุนและส่งเสริมวิทยานิพนธ์ระดับปริญญาโท บัณฑิตวิทยาลัย มหาวิทยาลัยเกษตรศาสตร์ ประจำปี งบประมาณ 2551